

สายอากาศโมโนโพลโพลาไรซ์วงกลมย่านความถี่กว้าง
แพร่กระจายคลื่นรอบทิศทางบนระนาบกราวนด์ตัวนำแม่เหล็กประติษฐ์

WIDEBAND OMNIDIRECTIONAL CIRCULARLY POLARIZED MONOPOLE
ANTENNAS ON ARTIFICIAL MAGNETIC CONDUCTOR GROUND PLANE



พิสิษฐ์ จันทร์แปงเงิน
PISIT JANPANGGERN

วิทยานิพนธ์นี้เป็นส่วนหนึ่งของการศึกษาตามหลักสูตรปริญญาวิศวกรรมศาสตรดุษฎีบัณฑิต

สาขาวิชาวิศวกรรมไฟฟ้า

คณะวิศวกรรมศาสตร์

สถาบันเทคโนโลยีพระจอมเกล้าเจ้าคุณทหารลาดกระบัง

พ.ศ. 2566

KMITL-2023-EN-D-018-074

เอกสารนี้เป็นเอกสารที่สงวนไว้สำหรับการใช้งานเพื่อการศึกษาเท่านั้น ไม่อนุญาตให้นำไปใช้ประโยชน์ด้านการค้า
ไม่ว่ากรณีใดๆ ทั้งสิ้น อีกทั้งห้ามมิให้ดัดแปลงเนื้อหา และต้องอ้างอิงถึงเจ้าของเอกสารทุกครั้งที่มีการนำไปใช้

WIDEBAND OMNIDIRECTIONAL CIRCULARLY POLARIZED MONOPOLE
ANTENNAS ON ARTIFICIAL MAGNETIC CONDUCTOR GROUND PLANE



PISIT JANPANGGERN

A THESIS SUBMITTED IN PARTIAL FULFILLMENT
OF THE REQUIREMENT FOR THE DEGREE OF
DOCTOR OF ENGINEERING IN ELECTRICAL ENGINEERING
SCHOOL OF ENGINEERING
KING MONGKUT'S INSTITUTE OF TECHNOLOGY LADKRABANG
2023
KMITL-2023-EN-D-018-074

เอกสารนี้เป็นเอกสารที่สงวนไว้สำหรับการใช้งานเพื่อการศึกษาเท่านั้น ไม่อนุญาตให้นำไปใช้ประโยชน์ด้านการค้า
ไม่ว่ากรณีใดๆ ทั้งสิ้น อีกทั้งห้ามมิให้ดัดแปลงเนื้อหา และต้องอ้างอิงถึงเจ้าของเอกสารทุกครั้งที่มีการนำไปใช้



COPYRIGHT 2023

SCHOOL OF ENGINEERING

KING MONGKUT'S INSTITUTE OF TECHNOLOGY LADKRABANG

เอกสารนี้เป็นเอกสารที่สงวนไว้สำหรับการใช้งานเพื่อการศึกษาเท่านั้น ไม่อนุญาตให้นำไปใช้ประโยชน์ด้านการค้า
ไม่ว่ากรณีใดๆ ทั้งสิ้น อีกทั้งห้ามมิให้ดัดแปลงเนื้อหา และต้องอ้างอิงถึงเจ้าของเอกสารทุกครั้งที่มีการนำไปใช้

หัวข้อวิทยานิพนธ์	สายอากาศโมโนโพลโพลาริซวงกลมย่านความถี่กว้างแพร่กระจายคลื่นรอบทิศทางบนระนาบกราวนด์ตัวนำแม่เหล็กประดิษฐ์
นักศึกษา	พิสิษฐ์ จันแปงเงิน
รหัส	60601166
ปริญญา	วิศวกรรมศาสตรดุษฎีบัณฑิต
สาขาวิชา	วิศวกรรมไฟฟ้า
พ.ศ.	2566
อาจารย์ที่ปรึกษาวิทยานิพนธ์	ศ.ดร.ชวงค์ พงศ์เจริญพานิชย์

บทคัดย่อ

วิทยานิพนธ์นี้นำเสนอการออกแบบสายอากาศโมโนโพลโพลาริซวงกลมแพร่กระจายคลื่นรอบทิศทาง (OCPA) ร่วมกับระนาบกราวนด์ตัวนำแม่เหล็กประดิษฐ์แบบรูปวงแหวนเดี่ยว (SA-AMC) และระนาบกราวนด์ตัวนำแม่เหล็กประดิษฐ์แบบรูปวงแหวนคู่ (DA-AMC) เพื่อทำให้สายอากาศสามารถมีความยืดหยุ่นในการออกแบบของสายอากาศโมโนโพลโพลาริซวงกลมแพร่กระจายคลื่นรอบทิศทาง ที่มีข้อเสียในการออกแบบระนาบกราวนด์ด้านล่างที่ต้องมีขนาดคงที่ตลอดเวลาในการนำไปใช้งานหรือติดตั้ง ในสายอากาศโมโนโพลโพลาริซวงกลมแพร่กระจายคลื่นรอบทิศทางที่มีระนาบกราวนด์ตัวนำแม่เหล็กประดิษฐ์แบบรูปวงแหวนเดี่ยวจะประกอบด้วยองค์ประกอบโมโนโพลพาราซีติกส์เหลี่ยมที่เชื่อมต่อกันในแนวทแยงมุม จำนวน 4 องค์ประกอบ เพื่อทำหน้าที่แปลงโพลาริซเชิงเส้นเป็นโพลาริซวงกลม และระนาบกราวนด์ตัวนำแม่เหล็กประดิษฐ์แบบรูปวงแหวนเดี่ยว ในสายอากาศโมโนโพลโพลาริซวงกลมแพร่กระจายคลื่นรอบทิศทางที่มีระนาบกราวนด์ตัวนำแม่เหล็กประดิษฐ์แบบรูปวงแหวนคู่ ประกอบด้วยองค์ประกอบของโมโนโพลพาราซีติกส์เหลี่ยมที่เชื่อมต่อกันในแนวทแยงมุม จำนวน 4 องค์ประกอบและระนาบกราวนด์ตัวนำแม่เหล็กประดิษฐ์แบบรูปวงแหวนคู่ โดยสายอากาศที่นำเสนอมีความแตกต่างกับสายอากาศโมโนโพลโพลาริซวงกลมแพร่กระจายคลื่นรอบทิศทางแบบดั้งเดิม รัศมีระนาบกราวนด์ตัวนำแม่เหล็กประดิษฐ์ด้านล่าง (R_g) ของสายอากาศโมโนโพลโพลาริซวงกลมแพร่กระจายคลื่นรอบทิศทางที่มีระนาบกราวนด์ตัวนำแม่เหล็กประดิษฐ์แบบ SA- และ DA-AMC สามารถเปลี่ยนแปลงขนาดได้ระหว่าง 18.4 - 188.4 mm และ 29.2 - 119.2 mm ตามลำดับ โดยไม่มีผลต่อความสามารถในการแพร่กระจายคลื่นรอบทิศทาง อิมพีแดนซ์แบนด์วิดท์ และอัตราส่วนแอมพลิจูดแบนด์วิดท์ของสายอากาศโมโนโพลโพลาริซวงกลมแพร่กระจายคลื่นรอบทิศทาง นอกจากนี้ระนาบกราวนด์ตัวนำแม่เหล็กประดิษฐ์แบบ SA- และ DA-AMC ยังช่วยปรับปรุงอิมพีแดนซ์แบนด์วิดท์ ($|S_{11}| \leq -10$ dB) และอัตราส่วนแอมพลิจูดแบนด์วิดท์ ($AR \leq 3$ dB) ในขณะที่สามารถลดกระแสรั่วไหลบนสายนำสัญญาณ จากผลการทดสอบอิมพีแดนซ์แบนด์วิดท์ ($|S_{11}|$) และอัตราส่วนแอมพลิจูดแบนด์วิดท์ (AR) ของสายอากาศโมโนโพลโพลาริซวงกลมแพร่กระจายคลื่นรอบทิศทางที่มีระนาบกราวนด์ตัวนำแม่เหล็กประดิษฐ์แบบ SA-AMC ด้วยขนาดรัศมีระนาบกราวนด์ตัวนำแม่เหล็กประดิษฐ์ที่มีขนาดที่เหมาะสมที่ 18.4 mm มีอิมพีแดนซ์แบนด์วิดท์กว้าง 8.08% (5.34 - 5.79 GHz) และอัตราส่วนแอมพลิจูดแบนด์วิดท์ 4.38% (5.36 - 5.60 GHz) ในขณะที่สายอากาศโมโนโพลโพลาริซวงกลมแพร่กระจายคลื่นรอบทิศทางที่มีระนาบกราวนด์ตัวนำแม่เหล็กประดิษฐ์แบบ DA-AMC ด้วยขนาดรัศมีระนาบกราวนด์ตัวนำแม่เหล็กประดิษฐ์ที่เหมาะสม คือ 29.2 mm มีอิมพีแดนซ์แบนด์วิดท์กว้าง 14.37% (5.10 - 5.89 GHz) และอัตราส่วนแอมพลิจูดแบนด์วิดท์ 19.85% (4.90 - 5.98 GHz)

เอกสารนี้เป็นเอกสารที่สงวนไว้สำหรับการใช้งานเพื่อการศึกษาเท่านั้น ไม่อนุญาตให้นำไปใช้ประโยชน์ด้านการค้า

ไม่ว่ากรณีใดๆ ทั้งสิ้น อีกทั้งห้ามมิให้ดัดแปลงเนื้อหา และต้องอ้างอิงถึงเจ้าของเอกสารทุกครั้งที่มีการนำไปใช้

GHz) ความใหม่ของงานวิจัยนี้อยู่ที่การนำโครงสร้างระนาบกราวนด์ตัวนำแม่เหล็กประดิษฐ์แบบ SA- และ DA-AMC เพื่อเพิ่มความยืดหยุ่นในการออกแบบของระนาบกราวนด์สายอากาศโมโนโพล โพลาริซวงกลมแพร่กระจายคลื่นรอบทิศทางแบบดั้งเดิม โดยเฉพาะอย่างยิ่งการออกแบบของ โครงสร้างตัวนำแม่เหล็กประดิษฐ์ (AMC) ทำให้นักพัฒนาสายอากาศสามารถออกแบบสายอากาศโมโนโพลโพลาริซวงกลมแพร่กระจายคลื่นรอบทิศทางได้อย่างยืดหยุ่นในการสร้างสายอากาศ



เอกสารนี้เป็นเอกสารที่สงวนไว้สำหรับการใช้งานเพื่อการศึกษาเท่านั้น ไม่อนุญาตให้นำไปใช้ประโยชน์ด้านการค้า
ไม่ว่ากรณีใดๆ ทั้งสิ้น อีกทั้งห้ามมิให้ดัดแปลงเนื้อหา และต้องอ้างอิงถึงเจ้าของเอกสารทุกครั้งที่มีการนำไปใช้

Thesis Title	Wideband Omnidirectional Circularly Polarized Monopole Antennas on Artificial Magnetic Conductor Ground Plane
Student	Pisit Janpangngern
Student ID.	60601166
Degree	Doctor of Engineering
Program	Electrical Engineering
Year	2023
Thesis Advisor	Prof. Dr. Chuwong Phongcharoenpanich

ABSTRACT

This thesis proposes omnidirectional circularly polarized monopole antennas (OCPA) with single-annular (SA-AMC) and dual-annular artificial magnetic conductor (DA-AMC) ground planes to circumvent the design rigidity of the conventional OCPA whose inherent shortcoming is fixed bottom ground plane size. The OCPA with SA-AMC ground plane consists of a monopole element, four diagonally adjoined parasitic elements to convert linear to circular polarizations, and an SA-AMC ground plane. The OCPA with DA-AMC ground plane consists of a monopole element, four diagonally adjoined parasitic elements, and a DA-AMC ground plane. As opposed to the conventional OCPA, the bottom ground plane radius (R_g) of the OCPA with SA- and DA-AMC ground planes can be varied between 18.4 – 188.4 mm; and 29.2 – 119.2 mm, respectively, without affecting the omnidirectionality and impedance and AR bandwidths of the OCPA. Furthermore, the SA- and DA-AMC ground planes effectively improve the impedance ($|S_{11}| \leq -10$ dB) and AR bandwidths ($AR \leq 3$ dB) while reducing the leakage current on the coaxial feeder cable. The measured $|S_{11}|$ and AR bandwidths of the OCPA with SA-AMC ground plane, given the optimal R_g of 18.4 mm, are 8.08% (5.34 – 5.79 GHz) and 4.38% (5.36 – 5.60 GHz), while those of the OCPA with DA-AMC ground plane, given the optimal R_g of 29.2 mm, are 14.37% (5.10 – 5.89 GHz) and 19.85% (4.90 – 5.98 GHz). Essentially, the novelty of this research lies in the use of SA- and DA-AMC structures to circumvent the design rigidity of the conventional OCPA. Specifically, the integration of the AMC structures provides the antenna developer with design flexibility in the fabrication of OCPA.

กิตติกรรมประกาศ

วิทยานิพนธ์นี้ประสบความสำเร็จได้ด้วยดีด้วยคำชี้แนะ คำปรึกษา แนวทางการศึกษาและวิจัย จากอาจารย์ปรึกษา ศ.ดร.ชูวงศ์ พงศ์เจริญพาณิชย์ ซึ่งเป็นอาจารย์ที่ปรึกษาวิทยานิพนธ์เป็นผู้ให้ความช่วยเหลือ ประสานงาน และช่วยแก้ปัญหาในโจทย์การวิจัย ดูแลในด้านการศึกษาและงานวิจัย ทั้งในเวลาและนอกเวลาราชการ แม้กระทั่งงบประมาณบางส่วนที่จำเป็นในการดำรงชีวิตในขณะที่ทำการศึกษาอยู่ ตลอดจนการประสิทธิ์ประสาท วิชา องค์ความรู้อันทรงคุณค่าจากประสบการณ์ต่าง ๆ ทั้งในและนอกห้องเรียน รวมทั้งห้องปฏิบัติการ จนนำมาสู่การพัฒนาศักยภาพเพื่อให้เกิดงานวิจัยที่มีคุณค่า ตลอดจนการนำความรู้มาพัฒนาต่อยอดงานวิจัยของตนเองเพื่อใช้ในการทำงานวิจัยในระดับปริญญาเอกให้สำเร็จลุล่วงและนำมาสู่ความสำเร็จในชีวิตการศึกษาของข้าพเจ้า ข้าพเจ้ารู้สึกซาบซึ้งในความอนุเคราะห์และขอขอบพระคุณเป็นอย่างสูง

นอกจากนี้ต้องขอขอบคุณแหล่งทุนวิจัยสนับสนุนโครงการปริญญาเอกกาญจนาภิเษก (คปก.) รุ่นที่ 20 รหัสทุน PHD/0170/2560 ที่สนับสนุนงบประมาณการวิจัย ตลอดจนค่าตีพิมพ์วารสารงานวิจัยในระดับนานาชาติ และค่าครองชีพในการศึกษาตลอดมา

นอกจากนี้ต้องขอขอบคุณอาจารย์ต่างประเทศ Prof. Dr. TAKESHI FUKUSAKO และ Asst. Prof. Dr. RYUJI KUSE ที่ให้สนับสนุนองค์ความรู้ใหม่ๆ ให้คำแนะนำในงานวิจัย ตลอดจนถึงกระบวนการช่วยแก้ไขอธิบายงานวิจัยให้ข้าพเจ้าได้เข้าใจเทคนิคเชิงลึก และพัฒนาองค์ความรู้ได้เพิ่มมากยิ่งขึ้น

ขอขอบคุณสมาชิกในห้องปฏิบัติการสายอากาศและแม่เหล็กไฟฟ้าประยุกต์ (Antenna and Electromagnetic Applications Research Laboratory : AERIAL) ทุกท่าน ทั้งพี่ ๆ และน้อง ๆ ที่คอยช่วยเหลือ สนับสนุนและเสนอความคิดต่าง ๆ อีกทั้งช่วยอภิปรายงานวิจัยของข้าพเจ้าในส่วนที่บกพร่อง ให้ทำการปรับปรุงให้มีความน่าสนใจเพิ่มมากยิ่งขึ้น

สุดท้ายนี้ ข้าพเจ้าขอกราบขอบพระคุณ บิดา มารดา พี่ชายที่เคารพ น้องสาว น้องชาย และว่าที่ภรรยาของข้าพเจ้าที่เป็นกำลังใจและให้การสนับสนุนในทุกเรื่อง ทำให้ข้าพเจ้าสามารถทำวิทยานิพนธ์ฉบับนี้สำเร็จลุล่วงด้วยดี ซึ่งคุณค่าและประโยชน์อันพึงมาจากวิทยานิพนธ์นี้ ข้าพเจ้าขอมอบแต่ผู้มีพระคุณทุกท่าน

พิสิษฐ์ จันแปงเงิน

เอกสารนี้เป็นเอกสารที่สงวนไว้สำหรับการใช้งานเพื่อการศึกษาเท่านั้น ไม่อนุญาตให้นำไปใช้ประโยชน์ด้านการค้า ไม่ว่าจะกรณีใดๆ ทั้งสิ้น อีกทั้งห้ามมิให้ดัดแปลงเนื้อหา และต้องอ้างอิงถึงเจ้าของเอกสารทุกครั้งที่มีการนำไปใช้

สารบัญ

	หน้า
บทคัดย่อภาษาไทย	I
บทคัดย่อภาษาอังกฤษ	III
กิตติกรรมประกาศ	IV
สารบัญ	V
สารบัญตาราง	VIII
สารบัญรูปภาพ	IX
บทที่ 1 บทนำ	1
1.1 ความเป็นมาและความสำคัญ	1
1.2 วัตถุประสงค์และขอบเขตของการศึกษา	3
1.3 เนื้อหาของวิทยานิพนธ์	4
บทที่ 2 ทฤษฎีและงานวิจัยที่เกี่ยวข้อง	6
2.1 สายอากาศไมโครสตริป	6
2.1.1 ทฤษฎีแบบจำลองโพรง (Cavity Model)	9
2.1.2 สายอากาศแถวลำดับและโครงข่ายการป้อนสัญญาณ (Antenna Arrays and Feed Networks).....	13
2.2 การโพลาไรซ์ (Polarization)	16
2.2.1 โพลาไรซ์เชิงเส้น (Linear Polarization).....	17
2.2.2 โพลาไรซ์วงกลม (Circular Polarization).....	18
2.2.3 โพลาไรซ์วงรี (Elliptical Polarization)	18
2.3 คลื่นพื้นผิว (Surface Waves).....	21
2.4 พื้นผิวอิมพีแดนซ์สูง (High-impedance Surfaces).....	22
2.5 อภิวัดสุ (Metamaterial).....	23
2.6 โครงสร้างช่องว่างแถบแม่เหล็กไฟฟ้า (Electromagnetic Band Gap).....	26
2.7 พื้นผิวเลือกความถี่ (Frequency Selective Surface).....	28
2.8 ตัวนำแม่เหล็กเทียม (Artificial Magnetic Conductor)	29
2.9 งานวิจัยที่เกี่ยวข้องที่มีมาก่อน	29
2.9.1 งานวิจัยสายอากาศโพลาไรซ์วงกลมแพร่กระจายคลื่นรอบทิศทางที่มีมาก่อน	30
2.10 สรุป	51

เอกสารนี้เป็นเอกสารที่สงวนไว้สำหรับการใช้งานเพื่อการศึกษาเท่านั้น ไม่อนุญาตให้นำไปใช้ประโยชน์ด้านการค้า
ไม่ว่ากรณีใดๆ ทั้งสิ้น อีกทั้งห้ามมิให้ดัดแปลงเนื้อหา และต้องอ้างอิงถึงเจ้าของเอกสารทุกครั้งที่มีการนำไปใช้

สารบัญ (ต่อ)

	หน้า
บทที่ 3 การออกแบบและการจำลองสายอากาศโมโนโพลโพลาริซวงกลมแพร่กระจายคลื่นรอบทิศทาง	
ทิศทาง.....	52
3.1 บทนำ.....	52
3.2 การออกแบบสายอากาศโมโนโพล.....	52
3.2.1 การศึกษาผลกระทบและปัญหาของสายอากาศโมโนโพล.....	54
3.3 วิวัฒนาการของโมโนโพลโพลาริซวงกลมแพร่กระจายคลื่นรอบทิศทาง (OCPA).....	57
3.3.1 การพัฒนาของสายอากาศ.....	57
3.3.2 สายอากาศโมโนโพลโพลาริซวงกลมแพร่กระจายคลื่นรอบทิศทาง (OCPA).....	61
3.4 การศึกษาพารามิเตอร์.....	63
3.4.1 พาราซิติคส์เหลี่ยม w_1 และ w_2 (ความกว้าง \times ยาว).....	63
3.4.2 รัศมีโพรบโมโนโพล R_p	64
3.4.3 ความสูงของโพรบโมโนโพล L_p	65
3.4.4 รัศมีพาราซิติคส์เหลี่ยมที่เชื่อมต่อกันในแนวทแยง R_{pb}	67
3.4.5 ความสูงจากระนาบกราวด์ตัวนำแม่เหล็กประดิษฐ์ถึงกึ่งกลางพาราซิติค h_{pb}	68
3.4.6 ความกว้างวงขอบพาราซิติคส์เหลี่ยมที่เชื่อมต่อกันในแนวทแยง S_{pb}	69
3.4.7 รัศมีกราวด์บน R_{gt}	70
3.4.8 รัศมีกราวด์ล่าง R_g ของสายอากาศโครงสร้าง A.....	72
3.5 สรุป.....	74
บทที่ 4 การออกแบบและการจำลองสายอากาศโมโนโพลโพลาริซวงกลมแพร่กระจายคลื่นรอบทิศทางร่วมกับระนาบกราวด์ตัวนำแม่เหล็กประดิษฐ์แบบรูปร่างแหวนเดี่ยว และระนาบกราวด์ตัวนำแม่เหล็กประดิษฐ์แบบรูปร่างแหวนคู่	
ทิศทางร่วมกับระนาบกราวด์ตัวนำแม่เหล็กประดิษฐ์แบบรูปร่างแหวนเดี่ยว และระนาบกราวด์ตัวนำแม่เหล็กประดิษฐ์แบบรูปร่างแหวนคู่.....	76
4.1 บทนำ.....	76
4.2 การออกแบบระนาบกราวด์ตัวนำแม่เหล็กประดิษฐ์.....	77
4.2.1 ระนาบกราวด์ตัวนำแม่เหล็กประดิษฐ์แบบรูปร่างแหวนเดี่ยว (SA-AMC).....	77
4.2.2 ระนาบกราวด์ตัวนำแม่เหล็กประดิษฐ์แบบรูปร่างแหวนคู่ (DA-AMC).....	80
4.2.3 สายอากาศโมโนโพลโพลาริซวงกลมแพร่กระจายคลื่นรอบทิศทาง (OCPA) ร่วมกับระนาบกราวด์ตัวนำแม่เหล็กประดิษฐ์แบบรูปร่างแหวนเดี่ยว (SA-AMC).....	82
4.2.4 สายอากาศโมโนโพลโพลาริซวงกลมแพร่กระจายคลื่นรอบทิศทาง (OCPA) ร่วมกับระนาบกราวด์ตัวนำแม่เหล็กประดิษฐ์แบบรูปร่างแหวนคู่ (DA-AMC).....	89
4.3 การศึกษาพารามิเตอร์.....	97
4.3.1 พาราซิติคส์เหลี่ยม w_1 และ w_2 (กว้าง \times ยาว).....	97
4.3.2 รัศมีโพรบโมโนโพล R_p	98
4.3.3 ความสูงของโพรบโมโนโพล L_p	100

เอกสารนี้เป็นเอกสารที่สงวนไว้สำหรับการใช้งานเพื่อการศึกษาเท่านั้น ไม่อนุญาตให้นำไปใช้ประโยชน์ด้านการค้า
ไม่ว่ากรณีใดๆ ทั้งสิ้น อีกทั้งห้ามมิให้ดัดแปลงเนื้อหา และต้องอ้างอิงถึงเจ้าของเอกสารทุกครั้งที่มีการนำไปใช้

สารบัญ (ต่อ)

	หน้า
4.3.4 รัศมีพาราซิติคส์เหลี่ยมที่เชื่อมต่อกันในแนวทแยง R_{pb}	101
4.3.5 ความสูงจากระนาบกราวนด์ตัวนำแม่เหล็กประติษฐ์ถึงกึ่งกลางพาราซิติค h_{pb} ...	102
4.3.6 ความกว้างวงขอบพาราซิติคส์เหลี่ยมที่เชื่อมต่อกันในแนวทแยง S_{pb}	104
4.3.7 รัศมีกราวนด์บน R_{gt}	105
4.3.8 รัศมีกราวนด์ล่าง R_g ของสายอากาศโครงสร้าง B.....	106
4.3.9 รัศมีกราวนด์ล่าง R_g ของสายอากาศโครงสร้าง C.....	109
4.4 สรุป.....	111
บทที่ 5 ผลการจำลองและทดสอบสายอากาศ.....	113
5.1 บทนำ.....	113
5.2 สายอากาศโมนโพลโพลาริซิงวงกลมแพร่กระจายคลื่นรอบทิศทางร่วมกับ ระนาบกราวนด์ตัวนำแม่เหล็กประติษฐ์แบบรูปวงแหวนเดี่ยว (SA-AMC) และแบบรูปวงแหวนคู่ (DA-AMC).....	113
5.3 ขั้นตอนและผลการทดสอบสายอากาศ.....	116
5.3.1 ค่าสัมประสิทธิ์การสะท้อน $ S_{11} $ ของสายอากาศต้นแบบ.....	116
5.3.2 การทดสอบอัตราส่วนแกนของสายอากาศ.....	121
5.3.3 การทดสอบอัตราขยายและประสิทธิภาพของสายอากาศ.....	128
5.3.4 การทดสอบแบบรูปการแพร่กระจายคลื่นของสายอากาศ.....	130
5.4 การเปรียบเทียบสมรรถนะของสายอากาศ.....	137
5.5 การประยุกต์ใช้งาน.....	140
5.6 สรุป.....	141
บทที่ 6 สรุปผลการวิจัยและข้อเสนอแนะ.....	143
6.1 สรุปเนื้อหาของวิทยานิพนธ์.....	144
6.2 ข้อเสนอแนะและแนวทางการพัฒนา.....	146
เอกสารอ้างอิง.....	148
ประวัติผู้เขียน.....	152

เอกสารนี้เป็นเอกสารที่สงวนไว้สำหรับการใช้งานเพื่อการศึกษาเท่านั้น ไม่อนุญาตให้นำไปใช้ประโยชน์ด้านการค้า
ไม่ว่ากรณีใดๆ ทั้งสิ้น อีกทั้งห้ามมิให้ดัดแปลงเนื้อหา และต้องอ้างอิงถึงเจ้าของเอกสารทุกครั้งที่มีการนำไปใช้

สารบัญตาราง

	หน้า
ตารางที่ 2.1 ค่าทางไฟฟ้าของอภิวัด.....	24
ตารางที่ 2.2 สมรรถนะของสายอากาศโพลาริซวงกลมแพร่กระจายคลื่นรอบทิศทาง ของงานวิจัยที่มีมาก่อน.....	50
ตารางที่ 3.1 พารามิเตอร์และขนาดที่เหมาะสมของสายอากาศโมโนโพล.....	54
ตารางที่ 3.2 พารามิเตอร์และขนาดที่เหมาะสมของสายอากาศโมโนโพลโพลาริซวงกลม แพร่กระจายคลื่นรอบทิศทาง.....	62
ตารางที่ 4.1 พารามิเตอร์และขนาดของระนาบกราวด์ตัวนำแม่เหล็กประดิษฐ์แบบ รูปร่างแหวนเดี่ยว.....	78
ตารางที่ 4.2 พารามิเตอร์และขนาดของระนาบกราวด์ตัวนำแม่เหล็กประดิษฐ์แบบ รูปร่างแหวนคู่.....	80
ตารางที่ 4.3 พารามิเตอร์และขนาดของสายอากาศโมโนโพลโพลาริซวงกลม แพร่กระจายคลื่นรอบทิศทาง (OCPA) ร่วมกับระนาบกราวด์ตัวนำแม่เหล็ก ประดิษฐ์แบบรูปร่างแหวนเดี่ยว (SA-AMC).....	84
ตารางที่ 4.4 พารามิเตอร์และขนาดของสายอากาศโมโนโพลโพลาริซวงกลมแพร่กระจายคลื่น รอบทิศทาง (OCPA) ร่วมกับระนาบกราวด์ตัวนำแม่เหล็กประดิษฐ์ แบบรูปร่างแหวนคู่ (DA-AMC).....	90
ตารางที่ 5.1 เปรียบเทียบสมรรถนะของสายอากาศโพลาริซวงกลมแพร่กระจายคลื่น รอบทิศทางแบบทั่วไปกับงานวิจัยที่มีมาก่อน.....	138
ตารางที่ 5.2 เปรียบเทียบสมรรถนะของสายอากาศโมโนโพลโพลาริซวงกลมแพร่กระจาย คลื่นรอบทิศทางของแต่ละโครงสร้างที่นำเสนอ.....	140

เอกสารนี้เป็นเอกสารที่สงวนไว้สำหรับการใช้งานเพื่อการศึกษาเท่านั้น ไม่อนุญาตให้นำไปใช้ประโยชน์ด้านการค้า
ไม่ว่ากรณีใดๆ ทั้งสิ้น อีกทั้งห้ามมิให้ดัดแปลงเนื้อหา และต้องอ้างอิงถึงเจ้าของเอกสารทุกครั้งที่มีการนำไปใช้

สารบัญรูปร่างภาพ

	หน้า
รูปที่ 2.1	โครงสร้างสายอากาศไมโครสตริป 6
รูปที่ 2.2	ตัวอย่างรูปทรงเรขาคณิตแพตช์กระจายสัญญาณของสายอากาศไมโครสตริป..... 7
รูปที่ 2.3	วิธีการนำสัญญาณของสายอากาศไมโครสตริป 7
รูปที่ 2.4	วงจรมุมูลย์การกระตุ้นของสายอากาศไมโครสตริปในแบบต่างๆ..... 9
รูปที่ 2.5	กระจายตัวของประจุไฟฟ้าบนแพตช์กระจายสัญญาณ 9
รูปที่ 2.6	โครงสร้างของแพตช์กระจายสัญญาณรูปสี่เหลี่ยมผืนผ้า 10
รูปที่ 2.7	โหมดของสนามไฟฟ้าภายในโพรง 13
รูปที่ 2.8	โครงข่ายการป้อนสัญญาณที่หมุนวนตามลำดับ (Sequentially-rotated Feed Network)..... 14
รูปที่ 2.9	หม้อแปลงเศษหนึ่งส่วนสี่ของความยาวคลื่น..... 15
รูปที่ 2.10	โครงข่ายการป้อนสัญญาณที่หมุนวนตามลำดับ 16
รูปที่ 2.11	คลื่นระนาบของสนามไฟฟ้าและสนามแม่เหล็ก 17
รูปที่ 2.12	การโพลาริซชันรีในทิศทางการแพร่กระจายคลื่น $+z$ 20
รูปที่ 2.13	คลื่นพื้นผิวบนวัสดุประเภทโลหะ 21
รูปที่ 2.14	คลื่นพื้นผิวของโลหะและคลื่นพื้นผิวอิมพีแดนซ์สูง 22
รูปที่ 2.15	โครงสร้างพื้นผิวอิมพีแดนซ์สูงบนวัสดุฐานรอง 23
รูปที่ 2.16	วงจรมุมูลของพื้นผิวอิมพีแดนซ์สูง 23
รูปที่ 2.17	ตัวอย่างโครงสร้างอภิวัดดู..... 24
รูปที่ 2.18	แผนผังประเภทของอภิวัดดู..... 25
รูปที่ 2.19	ตัวอย่างโครงสร้างช่องว่างแถบแม่เหล็กไฟฟ้า 26
รูปที่ 2.20	ประเภทของโครงสร้างช่องว่างแถบแม่เหล็กไฟฟ้า 27
รูปที่ 2.21	ตัวกรองความถี่ 28
รูปที่ 2.22	โครงสร้างตัวสะท้อน 29
รูปที่ 2.23	โครงสร้างสายอากาศแพตช์โพลาริซชันวงกลมย่านความถี่กว้าง และสัญญาณต่ำแพร่กระจายคลื่นรอบทิศทาง [1]..... 31
รูปที่ 2.24	สมรรถนะของสายอากาศแพตช์โพลาริซชันวงกลมย่านความถี่กว้าง และสัญญาณต่ำแพร่กระจายคลื่นรอบทิศทางจากเอกสารอ้างอิงที่ [1]..... 31
รูปที่ 2.25	โครงสร้างสายอากาศไดอิเล็กทริกเรโซเนเตอร์โพลาริซชันวงกลมแพร่กระจายคลื่น รอบทิศทางโดยประยุกต์ใช้งานร่วมกับโหลดต้านบนแบบอัลฟอร์ดลูบ สำหรับการออกแบบความหลากหลายของแบบรูปการแผ่กระจายคลื่น จากเอกสารอ้างอิงที่ [3] 34

เอกสารนี้เป็นเอกสารที่สงวนไว้สำหรับการใช้งานเพื่อการศึกษาเท่านั้น ไม่อนุญาตให้นำไปใช้ประโยชน์ด้านการค้า
ไม่ว่ากรณีใดๆ ทั้งสิ้น อีกทั้งห้ามมิให้ดัดแปลงเนื้อหา และต้องอ้างอิงถึงเจ้าของเอกสารทุกครั้งที่มีการนำไปใช้

สารบัญรูปภาพ (ต่อ)

หน้า

รูปที่ 2.26	สมรรถนะของสายอากาศโพลาริซวงกลมแพร่กระจายคลื่นรอบทิศทางที่มีขนาดกะทัดรัดโดยใช้สายอากาศไดโพลแบบโค้งงอร่วมกับบอลลูนจากเอกสารอ้างอิงที่ [11]...37
รูปที่ 2.27	สมรรถนะของสายอากาศโพลาริซวงกลมร่วมกับระบบควบคุมทิศทางที่มีแบบรูปการแพร่กระจายคลื่นคล้ายไดโพลจากเอกสารอ้างอิงที่ [12]39
รูปที่ 2.28	สมรรถนะของสายอากาศไดอิเล็กทริกเรโซเนเตอร์ทรงสี่เหลี่ยมแพร่กระจายคลื่นรอบทิศทางที่มีการโพลาริซเชิงเส้นและวงกลมจากเอกสารอ้างอิงที่ [13]41
รูปที่ 2.29	สมรรถนะสายอากาศไดอิเล็กทริกเรโซเนเตอร์แพร่กระจายคลื่นรอบทิศทางร่วมกับระนาบป้อนสัญญาณสำหรับการออกแบบที่แตกต่างกันของโพลาริซวงกลมจากเอกสารอ้างอิงที่ [14]45
รูปที่ 2.30	สมรรถนะของสายอากาศแพร่กระจายคลื่นรอบทิศทางโพลาริซวงกลมร่วมกับแกนไดโพลและพาราซิติคที่เชื่อมติดกันในแนวทแยงจากเอกสารอ้างอิงที่ [23].....48
รูปที่ 3.1	โครงสร้างและพารามิเตอร์สายอากาศโมโนโพล53
รูปที่ 3.2	ผลการจำลองอิมพีแดนซ์เมื่อปรับขนาดพารามิเตอร์ R_p ของรัศมีโพรบโมโนโพล55
รูปที่ 3.3	ผลการจำลองอิมพีแดนซ์เมื่อปรับขนาดพารามิเตอร์ L_p ของความสูงโพรบโมโนโพล ...55
รูปที่ 3.4	ผลการจำลองอิมพีแดนซ์เมื่อปรับขนาดพารามิเตอร์ R_g ของรัศมีระนาบกราวด์56
รูปที่ 3.5	ผลการจำลองแบบรูปการแพร่กระจายคลื่นเมื่อปรับขนาดพารามิเตอร์ R_g ของรัศมีระนาบกราวด์.....57
รูปที่ 3.6	วิวัฒนาการของสายอากาศโมโนโพลโพลาริซวงกลมแพร่กระจายคลื่นรอบทิศทาง (OCPA)58
รูปที่ 3.7	ผลการจำลองคุณลักษณะของ Antenna II และ III59
รูปที่ 3.8	โครงสร้างและพารามิเตอร์สายอากาศโมโนโพลโพลาริซวงกลมแพร่กระจายคลื่นรอบทิศทาง (OCPA).....61
รูปที่ 3.9	ผลการจำลองปรับขนาดพารามิเตอร์ w_1 และ w_2 ของพาราซิติคสี่เหลี่ยม64
รูปที่ 3.10	ผลการจำลองอิมพีแดนซ์และอัตราส่วนแกนเมื่อปรับขนาดพารามิเตอร์ R_p ของรัศมีโพรบโมโนโพล65
รูปที่ 3.11	ผลการจำลองอิมพีแดนซ์และอัตราส่วนแกนเมื่อปรับขนาดพารามิเตอร์ L_p ของความสูงโพรบโมโนโพล66
รูปที่ 3.12	ผลการจำลองอิมพีแดนซ์และอัตราส่วนแกนเมื่อปรับขนาดพารามิเตอร์ R_{pb} ของพาราซิติคสี่เหลี่ยมที่เชื่อมต่อกันในแนวทแยง67
รูปที่ 3.13	ผลการจำลองอิมพีแดนซ์และอัตราส่วนแกนเมื่อปรับขนาดพารามิเตอร์ h_{pb} ของตำแหน่งความสูงพาราซิติคสี่เหลี่ยมมา69
รูปที่ 3.14	ผลการจำลองอิมพีแดนซ์และอัตราส่วนแกนเมื่อปรับขนาดพารามิเตอร์ s_{pb} ของความกว้างวงขอบพาราซิติคสี่เหลี่ยมที่เชื่อมต่อกันในแนวทแยง70
รูปที่ 3.15	ผลการจำลองอิมพีแดนซ์และอัตราส่วนแกนเมื่อปรับขนาดพารามิเตอร์ R_{st} ของรัศมีระนาบกราวด์บน71

เอกสารนี้เป็นเอกสารที่สงวนลิขสิทธิ์ที่รับใช้ในกิจกรรมทางวิชาการเท่านั้น ไม่อนุญาตให้ทำซ้ำเพื่อใช้ประโยชน์ด้านการศึกษา

ไม่ว่ากรณีใดๆ ทั้งสิ้น อีกทั้งห้ามมิให้ดัดแปลงเนื้อหา และต้องอ้างอิงถึงเจ้าของเอกสารทุกครั้งที่มีการนำไปใช้

สารบัญรูปรูปภาพ (ต่อ)

		หน้า
รูปที่ 3.16	ผลการจำลองอิมพีแดนซ์และอัตราส่วนแกนเมื่อปรับขนาดพารามิเตอร์ R_g ของรัศมีระนาบกราวนด์ล่างโครงสร้าง A.....	72
รูปที่ 3.17	ผลการจำลองแบบรูปการแพร่กระจายคลื่นเมื่อปรับขนาดพารามิเตอร์ R_g ของรัศมีระนาบกราวนด์ล่างโครงสร้าง A.....	74
รูปที่ 4.1	โครงสร้างระนาบกราวนด์ตัวนำแม่เหล็กประดิษฐ์แบบรูปวงแหวนเดี่ยว (SA-AMC).....	78
รูปที่ 4.2	การจำลองโมเดลเฟสการสะท้อนของระนาบกราวนด์ตัวนำแม่เหล็กประดิษฐ์แบบรูปวงแหวนเดี่ยว (SA-AMC).....	79
รูปที่ 4.3	ผลการจำลองเฟสการสะท้อนของระนาบกราวนด์ตัวนำแม่เหล็กประดิษฐ์แบบรูปวงแหวนเดี่ยว (SA-AMC).....	79
รูปที่ 4.4	โครงสร้างระนาบกราวนด์ตัวนำแม่เหล็กประดิษฐ์แบบรูปวงแหวนคู่ (DA-AMC).....	80
รูปที่ 4.5	การจำลองโมเดลเฟสการสะท้อนของระนาบกราวนด์ตัวนำแม่เหล็กประดิษฐ์แบบรูปวงแหวนคู่ (DA-AMC).....	81
รูปที่ 4.6	ผลการจำลองเฟสการสะท้อนของระนาบกราวนด์ตัวนำแม่เหล็กประดิษฐ์แบบรูปวงแหวนคู่ (DA-AMC).....	82
รูปที่ 4.7	โครงสร้างสายอากาศโมโนโพลโพลาริซวงกลมแพร่กระจายคลื่นรอบทิศทาง (OCPA) ร่วมกับระนาบกราวนด์ตัวนำแม่เหล็กประดิษฐ์แบบรูปวงแหวนเดี่ยว (SA-AMC) ที่นำเสนอ.....	83
รูปที่ 4.8	ผลการจำลอง $ S_{11} $ ของสายอากาศโมโนโพลโพลาริซวงกลมแพร่กระจายคลื่นรอบทิศทาง (OCPA) ร่วมกับระนาบกราวนด์ตัวนำแม่เหล็กประดิษฐ์แบบรูปวงแหวนเดี่ยว (SA-AMC).....	85
รูปที่ 4.9	ผลการจำลองอัตราส่วนแกนของสายอากาศโมโนโพลโพลาริซวงกลมแพร่กระจายคลื่นรอบทิศทาง (OCPA) ร่วมกับระนาบกราวนด์ตัวนำแม่เหล็กประดิษฐ์แบบรูปวงแหวนเดี่ยว (SA-AMC).....	86
รูปที่ 4.10	ผลการจำลองอัตราขยายของสายอากาศโมโนโพลโพลาริซวงกลมแพร่กระจายคลื่นรอบทิศทาง (OCPA) ร่วมกับระนาบกราวนด์ตัวนำแม่เหล็กประดิษฐ์แบบรูปวงแหวนเดี่ยว (SA-AMC).....	86
รูปที่ 4.11	ผลการจำลองประสิทธิภาพของสายอากาศโมโนโพลโพลาริซวงกลมแพร่กระจายคลื่นรอบทิศทาง (OCPA) ร่วมกับระนาบกราวนด์ตัวนำแม่เหล็กประดิษฐ์แบบรูปวงแหวนเดี่ยว (SA-AMC).....	87
รูปที่ 4.12	ผลการจำลองแบบรูปการแผ่กระจายคลื่นของสายอากาศโมโนโพลโพลาริซวงกลมแพร่กระจายคลื่นรอบทิศทาง (OCPA) ร่วมกับระนาบกราวนด์ตัวนำแม่เหล็กประดิษฐ์แบบรูปวงแหวนเดี่ยว (SA-AMC) ที่ความถี่ 5.5 GHz.....	87
รูปที่ 4.13	กระแสเชิงพื้นผิวสายอากาศโมโนโพลโพลาริซวงกลมแพร่กระจายคลื่นรอบทิศทาง (OCPA) ร่วมกับระนาบกราวนด์ตัวนำแม่เหล็กประดิษฐ์แบบรูปวงแหวนเดี่ยว (SA-AMC) ที่ความถี่ 5.5 GHz.....	88

เอกสารนี้เป็นเอกสารที่สงวนลิขสิทธิ์โดยสถาบันวิจัยวิทยาศาสตร์และเทคโนโลยีแห่งประเทศไทย (วว.) กระทรวงการอุดมศึกษา วิทยาศาสตร์ วิจัยและนวัตกรรม

ไม่ว่ากรณีใดๆ ทั้งสิ้น อีกทั้งห้ามมิให้ดัดแปลงเนื้อหา และต้องอ้างอิงถึงเจ้าของเอกสารทุกครั้งที่มีการนำไปใช้

สารบัญรูปร่างภาพ (ต่อ)

		หน้า
รูปที่ 4.14	โครงสร้างสายอากาศโมโนโพลโพลาริซวงกลมแพร่กระจายคลื่นรอบทิศทาง (OCPA) ร่วมกับระนาบกราวนด์ตัวนำแม่เหล็กประดิษฐ์แบบรูปวงแหวนคู่ (DA-AMC) ที่นำเสนอ	89
รูปที่ 4.15	ผลการจำลอง $ S_{11} $ ของสายอากาศโมโนโพลโพลาริซวงกลมแพร่กระจายคลื่นรอบทิศทาง (OCPA) ร่วมกับระนาบกราวนด์ตัวนำแม่เหล็กประดิษฐ์แบบรูปวงแหวนคู่ (DA-AMC)	91
รูปที่ 4.16	ผลการจำลองอัตราส่วนแกนของสายอากาศโมโนโพลโพลาริซวงกลมแพร่กระจายคลื่นรอบทิศทาง (OCPA) ร่วมกับระนาบกราวนด์ตัวนำแม่เหล็กประดิษฐ์แบบรูปวงแหวนคู่ (DA-AMC)	92
รูปที่ 4.17	ผลการจำลองอัตราขยายของสายอากาศโมโนโพลโพลาริซวงกลมแพร่กระจายคลื่นรอบทิศทาง (OCPA) ร่วมกับระนาบกราวนด์ตัวนำแม่เหล็กประดิษฐ์แบบรูปวงแหวนคู่ (DA-AMC)	93
รูปที่ 4.18	ผลการจำลองประสิทธิภาพของสายอากาศโมโนโพลโพลาริซวงกลมแพร่กระจายคลื่นรอบทิศทาง (OCPA) ร่วมกับระนาบกราวนด์ตัวนำแม่เหล็กประดิษฐ์แบบรูปวงแหวนคู่ (DA-AMC)	93
รูปที่ 4.19	ผลการจำลองแบบรูปการแผ่กระจายคลื่นของสายอากาศโมโนโพลโพลาริซวงกลมแพร่กระจายคลื่นรอบทิศทาง (OCPA) ร่วมกับระนาบกราวนด์ตัวนำแม่เหล็กประดิษฐ์แบบรูปวงแหวนคู่ (DA-AMC) ที่ความถี่ 5.5 GHz	94
รูปที่ 4.20	กระแสเชิงพื้นผิวของสายอากาศโมโนโพลโพลาริซวงกลมแพร่กระจายคลื่นรอบทิศทาง (OCPA) ร่วมกับระนาบกราวนด์ตัวนำแม่เหล็กประดิษฐ์แบบรูปวงแหวนคู่ (DA-AMC) ที่ความถี่ 5.5 GHz	95
รูปที่ 4.21	กระแสเชิงพื้นผิวสายอากาศโครงสร้าง A B และ C	96
รูปที่ 4.22	ผลการจำลองปรับขนาดพารามิเตอร์ w_1 และ w_2 ของพาราซิติคส์เหลี่ยม	98
รูปที่ 4.23	ผลการจำลองอิมพีแดนซ์และอัตราส่วนแกนเมื่อปรับขนาดพารามิเตอร์ R_p ของรัศมีโพรบโมโนโพล	99
รูปที่ 4.24	ผลการจำลองอิมพีแดนซ์และอัตราส่วนแกนเมื่อปรับขนาดพารามิเตอร์ L_p ของความสูงโพรบโมโนโพล	100
รูปที่ 4.25	ผลการจำลองอิมพีแดนซ์และอัตราส่วนแกนเมื่อปรับขนาดพารามิเตอร์ R_{pb} ของพาราซิติคส์เหลี่ยมที่เชื่อมต่อกันในแนวทแยง	102
รูปที่ 4.26	ผลการจำลองอิมพีแดนซ์และอัตราส่วนแกนเมื่อปรับขนาดพารามิเตอร์ h_{pb} ของตำแหน่งความสูงพาราซิติคส์เหลี่ยม	103
รูปที่ 4.27	ผลการจำลองอิมพีแดนซ์และอัตราส่วนแกนเมื่อปรับขนาดพารามิเตอร์ s_{pb} ของความกว้างวงขอบพาราซิติคส์เหลี่ยมที่เชื่อมต่อกันในแนวทแยง	104
รูปที่ 4.28	ผลการจำลองอิมพีแดนซ์และอัตราส่วนแกนเมื่อปรับขนาดพารามิเตอร์ R_{st} ของรัศมีระนาบกราวนด์บน	105

เอกสารนี้เป็นเอกสารที่สงวนลิขสิทธิ์ที่สถาบันวิจัยเทคโนโลยีการศึกษานานาชาติ ไม่อนุญาตให้ผู้อื่นใช้ประโยชน์จากเอกสารนี้

ไม่ว่ากรณีใดๆ ทั้งสิ้น อีกทั้งห้ามมิให้ดัดแปลงเนื้อหา และต้องอ้างอิงถึงเจ้าของเอกสารทุกครั้งที่มีการนำไปใช้

สารบัญรูปภาพ (ต่อ)

		หน้า
รูปที่ 4.29	ผลการจำลองอิมพีแดนซ์เมื่อปรับขนาดพารามิเตอร์ R_g ของรัศมี ระนาบกราวนด์ล่างโครงสร้าง B.....	106
รูปที่ 4.30	ผลการจำลองอัตราส่วนแกนเมื่อปรับขนาดพารามิเตอร์ R_g ของรัศมี ระนาบกราวนด์ล่างโครงสร้าง B.....	107
รูปที่ 4.31	ผลการจำลองแบบรูปการแพร่กระจายคลื่นเมื่อปรับขนาดพารามิเตอร์ R_g ของรัศมีระนาบกราวนด์ล่างโครงสร้าง B.....	108
รูปที่ 4.32	ผลการจำลองอิมพีแดนซ์และอัตราส่วนแกนเมื่อปรับขนาดพารามิเตอร์ R_g ของรัศมีระนาบกราวนด์ล่างโครงสร้าง C.....	109
รูปที่ 4.33	ผลการจำลองอัตราส่วนแกนเมื่อปรับขนาดพารามิเตอร์ R_g ของรัศมี ระนาบกราวนด์ล่างโครงสร้าง C	110
รูปที่ 4.34	ผลการจำลองแบบรูปการแพร่กระจายคลื่นเมื่อปรับขนาดพารามิเตอร์ R_g ของรัศมีระนาบกราวนด์ล่างโครงสร้าง C.....	111
รูปที่ 5.1	โครงสร้างและขนาดของสายอากาศสายอากาศโมโนโพลโพลาริซวงกลม แพร่กระจายคลื่นรอบทิศทางร่วมกับระนาบกราวนด์ตัวนำแม่เหล็กประดิษฐ์ แบบรูปร่างแหวนคู่ (DA-AMC) ที่นำเสนอ	114
รูปที่ 5.2	สายอากาศโมโนโพลโพลาริซวงกลมแพร่กระจายคลื่นรอบทิศทางร่วมกับ ระนาบกราวนด์ตัวนำแม่เหล็กประดิษฐ์แบบรูปร่างแหวนเดี่ยว (SA-AMC) ต้นแบบ....	115
รูปที่ 5.3	สายอากาศโมโนโพลโพลาริซวงกลมแพร่กระจายคลื่นรอบทิศทางร่วมกับ ระนาบกราวนด์ตัวนำแม่เหล็กประดิษฐ์แบบรูปร่างแหวนคู่ (DA-AMC) ต้นแบบ	115
รูปที่ 5.4	การทดสอบค่าสัมประสิทธิ์การสะท้อน $ S_{11} $ ของสายอากาศโมโนโพล โพลาริซวงกลมแพร่กระจายคลื่นรอบทิศทาง (OCPA) ร่วมกับระนาบกราวนด์ ตัวนำแม่เหล็กประดิษฐ์แบบรูปร่างแหวนเดี่ยว (SA-AMC)	117
รูปที่ 5.5	การทดสอบค่าสัมประสิทธิ์การสะท้อน $ S_{11} $ ของสายอากาศโมโนโพล โพลาริซวงกลมแพร่กระจายคลื่นรอบทิศทาง (OCPA) ร่วมกับระนาบกราวนด์ ตัวนำแม่เหล็กประดิษฐ์แบบรูปร่างแหวนคู่ (DA-AMC).....	117
รูปที่ 5.6	การเปรียบเทียบระหว่างผลการจำลองและผลการทดสอบ $ S_{11} $ ของสายอากาศ โมโนโพลโพลาริซวงกลมแพร่กระจายคลื่นรอบทิศทาง (OCPA) ร่วมกับ ระนาบกราวนด์ตัวนำแม่เหล็กประดิษฐ์แบบรูปร่างแหวนเดี่ยว (SA-AMC).....	118
รูปที่ 5.7	การเปรียบเทียบระหว่างผลการจำลองและผลการทดสอบ $ S_{11} $ ของสายอากาศ โมโนโพลโพลาริซวงกลมแพร่กระจายคลื่นรอบทิศทาง (OCPA) ร่วมกับ ระนาบกราวนด์ตัวนำแม่เหล็กประดิษฐ์แบบรูปร่างแหวนคู่ (DA-AMC)	118
รูปที่ 5.8	การทดสอบค่าสัมประสิทธิ์การสะท้อน $ S_{11} $ ของสายอากาศโมโนโพล โพลาริซวงกลมแพร่กระจายคลื่นรอบทิศทาง (OCPA) ร่วมกับระนาบกราวนด์ ตัวนำแม่เหล็กประดิษฐ์แบบรูปร่างแหวนเดี่ยว (SA-AMC) ที่ทำการขยายรัศมี ระนาบกราวนด์ ($R_g = 119.2$ mm และ 188.4 mm).....	119

เอกสารนี้เป็นเอกสารที่สงวนลิขสิทธิ์ของภาควิชาวิศวกรรมไฟฟ้า คณะวิศวกรรมศาสตร์ มหาวิทยาลัยเทคโนโลยีพระจอมเกล้าธนบุรี

ไม่ว่ากรณีใดๆ ทั้งสิ้น อีกทั้งห้ามมิให้ดัดแปลงเนื้อหา และต้องอ้างอิงถึงเจ้าของเอกสารทุกครั้งที่มีการนำไปใช้

สารบัญรูปภาพ (ต่อ)

หน้า

รูปที่ 5.9	การทดสอบค่าสัมประสิทธิ์การสะท้อน $ S_{11} $ ของสายอากาศโมนโพล โพลาริซวงกลมแพร์กระจายคลื่นรอบทิศทาง (OCPA) ร่วมกับระนาบกราวนด์ตัวนำแม่เหล็กประดิษฐ์แบบรูปร่างวงแหวนคู่ (DA-AMC) ที่ทำการขยายรัศมีระนาบกราวนด์ ($R_g = 119.2$ mm)	119
รูปที่ 5.10	การเปรียบเทียบระหว่างผลการจำลองและผลการทดสอบ $ S_{11} $ ของสายอากาศโมนโพลโพลาริซวงกลมแพร์กระจายคลื่นรอบทิศทาง (OCPA) ร่วมกับระนาบกราวนด์ตัวนำแม่เหล็กประดิษฐ์แบบรูปร่างวงแหวนเดี่ยว (SA-AMC) ที่ทำการขยายรัศมีระนาบกราวนด์ ($R_g = 119.2$ mm และ 188.4 mm)	120
รูปที่ 5.11	การเปรียบเทียบระหว่างผลการจำลองและผลการทดสอบ $ S_{11} $ ของสายอากาศโมนโพลโพลาริซวงกลมแพร์กระจายคลื่นรอบทิศทาง (OCPA) ร่วมกับระนาบกราวนด์ตัวนำแม่เหล็กประดิษฐ์แบบรูปร่างวงแหวนคู่ (DA-AMC) ที่ทำการขยายรัศมีระนาบกราวนด์ ($R_g = 119.2$ mm)	121
รูปที่ 5.12	การทดสอบอัตราส่วนแกนของสายอากาศโมนโพลโพลาริซวงกลมแพร์กระจายคลื่นรอบทิศทาง (OCPA) ร่วมกับระนาบกราวนด์ตัวนำแม่เหล็กประดิษฐ์แบบรูปร่างวงแหวนเดี่ยว (SA-AMC) ต้นแบบ	122
รูปที่ 5.13	การทดสอบอัตราส่วนแกนของสายอากาศโมนโพลโพลาริซวงกลมแพร์กระจายคลื่นรอบทิศทาง (OCPA) ร่วมกับระนาบกราวนด์ตัวนำแม่เหล็กประดิษฐ์แบบรูปร่างวงแหวนคู่ (DA-AMC) ต้นแบบ	123
รูปที่ 5.14	การเปรียบเทียบระหว่างผลการจำลองและผลการทดสอบอัตราส่วนแกนของสายอากาศโมนโพลโพลาริซวงกลมแพร์กระจายคลื่นรอบทิศทาง (OCPA) ร่วมกับระนาบกราวนด์ตัวนำแม่เหล็กประดิษฐ์แบบรูปร่างวงแหวนเดี่ยว (SA-AMC) ต้นแบบ	124
รูปที่ 5.15	การเปรียบเทียบผลการจำลองและผลการทดสอบของอัตราส่วนแกนของสายอากาศโมนโพลโพลาริซวงกลมแพร์กระจายคลื่นรอบทิศทาง (OCPA) ร่วมกับระนาบกราวนด์ตัวนำแม่เหล็กประดิษฐ์แบบรูปร่างวงแหวนคู่ (DA-AMC) ต้นแบบ	125
รูปที่ 5.16	การทดสอบอัตราส่วนแกนของสายอากาศโมนโพลโพลาริซวงกลมแพร์กระจายคลื่นรอบทิศทาง (OCPA) ร่วมกับระนาบกราวนด์ตัวนำแม่เหล็กประดิษฐ์แบบรูปร่างวงแหวนเดี่ยว (SA-AMC) ที่ทำการขยายรัศมีระนาบกราวนด์ ($R_g = 119.2$ mm และ 188.4 mm)	126
รูปที่ 5.17	การทดสอบอัตราส่วนแกนของสายอากาศโมนโพลโพลาริซวงกลมแพร์กระจายคลื่นรอบทิศทาง (OCPA) ร่วมกับระนาบกราวนด์ตัวนำแม่เหล็กประดิษฐ์แบบรูปร่างวงแหวนคู่ (DA-AMC) ที่ทำการขยายรัศมีระนาบกราวนด์ ($R_g = 119.2$ mm)	126

เอกสารนี้เป็นเอกสารที่สงวนไว้สำหรับการใช้งานเพื่อการศึกษาเท่านั้น ไม่อนุญาตให้นำไปใช้ประโยชน์ด้านการค้า
ไม่ว่ากรณีใดๆ ทั้งสิ้น อีกทั้งห้ามมิให้ดัดแปลงเนื้อหา และต้องอ้างอิงถึงเจ้าของเอกสารทุกครั้งที่มีการนำไปใช้

สารบัญรูปภาพ (ต่อ)

หน้า

รูปที่ 5.18	การเปรียบเทียบระหว่างผลการจำลองและผลการทดสอบอัตราส่วนแกนของสายอากาศโมโนโพลโพลาริซวงกลมแพร่กระจายคลื่นรอบทิศทาง (OCPA) ร่วมกับระนาบกราวนด์ตัวนำแม่เหล็กประดิษฐ์แบบรูปวงแหวนเดี่ยว (SA-AMC) ต้นแบบ ที่ทำการขยายรัศมีระนาบกราวนด์ ($R_g = 119.2$ mm และ 188.4 mm) .. 127
รูปที่ 5.19	การเปรียบเทียบผลการจำลองและผลการทดสอบของอัตราส่วนแกนของสายอากาศโมโนโพลโพลาริซวงกลมแพร่กระจายคลื่นรอบทิศทาง (OCPA) ร่วมกับระนาบกราวนด์ตัวนำแม่เหล็กประดิษฐ์แบบรูปวงแหวนคู่ (DA-AMC) ต้นแบบ ที่ทำการขยายรัศมีระนาบกราวนด์ ($R_g = 119.2$ mm) 128
รูปที่ 5.20	การเปรียบเทียบระหว่างผลการจำลองและผลการทดสอบอัตราขยายของสายอากาศโมโนโพลโพลาริซวงกลมแพร่กระจายคลื่นรอบทิศทาง (OCPA) ร่วมกับระนาบกราวนด์ตัวนำแม่เหล็กประดิษฐ์แบบรูปวงแหวนเดี่ยว (SA-AMC) ต้นแบบ 129
รูปที่ 5.21	รูปที่ 5.21 การเปรียบเทียบระหว่างผลการจำลองและผลการทดสอบอัตราขยายของสายอากาศโมโนโพลโพลาริซวงกลมแพร่กระจายคลื่นรอบทิศทาง (OCPA) ร่วมกับระนาบกราวนด์ตัวนำแม่เหล็กประดิษฐ์แบบรูปวงแหวนคู่ (DA-AMC) ต้นแบบ..... 130
รูปที่ 5.22	การทดสอบแบบรูปการแผ่กระจายคลื่นของสายอากาศโมโนโพลโพลาริซวงกลมแพร่กระจายคลื่นรอบทิศทาง (OCPA) ร่วมกับระนาบกราวนด์ตัวนำแม่เหล็กประดิษฐ์แบบรูปวงแหวนเดี่ยว (SA-AMC) ต้นแบบ 131
รูปที่ 5.23	การทดสอบแบบรูปการแผ่กระจายคลื่นของสายอากาศโมโนโพลโพลาริซวงกลมแพร่กระจายคลื่นรอบทิศทาง (OCPA) ร่วมกับระนาบกราวนด์ตัวนำแม่เหล็กประดิษฐ์แบบรูปวงแหวนคู่ (DA-AMC) ต้นแบบ 131
รูปที่ 5.24	ผลการจำลองและผลการทดสอบแบบรูปการแผ่กระจายคลื่นของสายอากาศโมโนโพลโพลาริซวงกลมแพร่กระจายคลื่นรอบทิศทาง (OCPA) ร่วมกับระนาบกราวนด์ตัวนำแม่เหล็กประดิษฐ์แบบรูปวงแหวนเดี่ยว (SA-AMC) ต้นแบบ ที่ความถี่ 5.5 GHz 132
รูปที่ 5.25	ผลการจำลองและผลการทดสอบแบบรูปการแผ่กระจายคลื่นของสายอากาศโมโนโพลโพลาริซวงกลมแพร่กระจายคลื่นรอบทิศทาง (OCPA) ร่วมกับระนาบกราวนด์ตัวนำแม่เหล็กประดิษฐ์แบบรูปวงแหวนคู่ (DA-AMC) ต้นแบบ ที่ความถี่ 5.5 GHz..... 133
รูปที่ 5.26	การทดสอบแบบรูปการแผ่กระจายคลื่นของสายอากาศโมโนโพลโพลาริซวงกลมแพร่กระจายคลื่นรอบทิศทาง (OCPA) ร่วมกับระนาบกราวนด์ตัวนำแม่เหล็กประดิษฐ์แบบรูปวงแหวนเดี่ยว (SA-AMC) ต้นแบบที่ทำการขยายรัศมีระนาบกราวนด์ ($R_g = 119.2$ mm และ 188.4 mm) 134

เอกสารนี้เป็นเอกสารที่สงวนไว้สำหรับการใช้งานเพื่อการศึกษาเท่านั้น ไม่อนุญาตให้นำไปใช้ประโยชน์ด้านการค้า
ไม่ว่ากรณีใดๆ ทั้งสิ้น อีกทั้งห้ามมิให้ดัดแปลงเนื้อหา และต้องอ้างอิงถึงเจ้าของเอกสารทุกครั้งที่มีการนำไปใช้

สารบัญรูปภาพ (ต่อ)

หน้า

รูปที่ 5.27	การทดสอบแบบรูปการณั้แพร่กระจายคลื่นของสายอากาศโมนโนโพล โพลารไศ์วงกลมแพร่กระจายคลื่นรอบทิศทาง (OCPA) ร่วมกับระนาบกราวนดั้ตัวนำแม่เหล็กประดิษฐ์แบบรูปวงแหวนคู่ (DA-AMC) ต้นแบบที่ทำการขยายรัศมีระนาบกราวนดั้ ($R_g = 119.2$ mm).....	134
รูปที่ 5.28	ผลการจำลองและผลการทดสอบแบบรูปการณั้แพร่กระจายคลื่นของสายอากาศโมนโนโพลโพลารไศ์วงกลมแพร่กระจายคลื่นรอบทิศทาง (OCPA) ร่วมกับระนาบกราวนดั้ตัวนำแม่เหล็กประดิษฐ์แบบรูปวงแหวนเดี่ยว (SA-AMC) ต้นแบบที่ทำการขยายรัศมีระนาบกราวนดั้ ($R_g = 119.2$ mm และ 188.4 mm) ที่ความถี่ 5.5 GHz.....	135
รูปที่ 5.29	ผลการจำลองและผลการทดสอบแบบรูปการณั้แพร่กระจายคลื่นของสายอากาศโมนโนโพลโพลารไศ์วงกลมแพร่กระจายคลื่นรอบทิศทาง (OCPA) ร่วมกับระนาบกราวนดั้ตัวนำแม่เหล็กประดิษฐ์แบบรูปวงแหวนคู่ (DA-AMC) ต้นแบบที่ทำการขยายรัศมีระนาบกราวนดั้ ($R_g = 119.2$ mm) ที่ความถี่ 5.5 GHz.....	137
รูปที่ 5.30	ระบบการสื่อสารเครือข่ายท้องถิ่นไร้สาย.....	140

เอกสารนี้เป็นเอกสารที่สงวนไว้สำหรับการใช้งานเพื่อการศึกษาเท่านั้น ไม่อนุญาตให้นำไปใช้ประโยชน์ด้านการค้า
ไม่ว่ากรณีใดๆ ทั้งสิ้น อีกทั้งห้ามมิให้ดัดแปลงเนื้อหา และต้องอ้างอิงถึงเจ้าของเอกสารทุกครั้งที่มีการนำไปใช้

บทที่ 1

บทนำ

วิทยานิพนธ์นี้นำเสนอการออกแบบสายอากาศโมโนโพลโพลาริซิงวงกลมแพร่กระจายคลื่นรอบทิศทาง (Omnidirectional Circularly Polarized Antennas: OCPA) ร่วมกับระนาบกราวนด์ตัวนำแม่เหล็กประดิษฐ์แบบรูปร่างวงแหวนเดี่ยว (SA-AMC) และระนาบกราวนด์ตัวนำแม่เหล็กประดิษฐ์แบบรูปร่างวงแหวนคู่ (DA-AMC) เพื่อให้สายอากาศสามารถมีความยืดหยุ่นในการออกแบบระนาบกราวนด์ด้านล่างของสายอากาศโมโนโพลโพลาริซิงวงกลมแพร่กระจายคลื่นรอบทิศทาง ที่มีข้อเสียในการออกแบบระนาบกราวนด์ด้านล่างที่ต้องมีขนาดคงที่ตลอดเวลาในการนำไปใช้งานหรือติดตั้ง ทั้งนี้การนำระนาบกราวนด์ตัวนำแม่เหล็กประดิษฐ์มาประยุกต์ใช้ยังช่วยเพิ่มความกว้างช่วงความถี่ของอิมพีแดนซ์แบนด์วิดท์ และอัตราส่วนแกนแบนด์วิดท์

ความใหม่ในการออกแบบสายอากาศที่นำเสนอคือการนำโครงสร้างระนาบกราวนด์ตัวนำแม่เหล็กประดิษฐ์แบบ SA-AMC และ DA-AMC มาประยุกต์ใช้และออกแบบร่วมกับสายอากาศโมโนโพลโพลาริซิงวงกลมแพร่กระจายคลื่นรอบทิศทาง เพื่อเพิ่มความยืดหยุ่นในการออกแบบของระนาบกราวนด์สายอากาศโมโนโพลโพลาริซิงวงกลมแพร่กระจายคลื่นรอบทิศทางแบบดั้งเดิม เพิ่มความกว้างช่วงความถี่ของอิมพีแดนซ์แบนด์วิดท์ และอัตราส่วนแกนแบนด์วิดท์ โดยเฉพาะอย่างยิ่งการออกแบบของโครงสร้างตัวนำแม่เหล็กประดิษฐ์ (AMC) ทำให้นักพัฒนาสายอากาศสามารถออกแบบสายอากาศโมโนโพลโพลาริซิงวงกลมแพร่กระจายคลื่นรอบทิศทางได้อย่างยืดหยุ่นในการสร้างสายอากาศในอนาคตได้ โดยจะดำเนินการนำเสนอต่อไป

1.1 ความเป็นมาและความสำคัญ

สายอากาศแบบโพลาริซิงวงกลม (CP) นั้นแตกต่างจากสายอากาศแบบโพลาริซิงเชิงเส้น (LP) ซึ่งสายอากาศโพลาริซิงแบบวงกลม (CP) นั้นจะมีคุณสมบัติที่ทนต่อการจางหายของสัญญาณแบบหลากหลายเส้นทางและลดการสูญเสียของโพลาริซิง เนื่องจากการสูญเสียของโพลาริซิงที่ไม่ตรงกันน้อยกว่าโพลาริซิงเชิงเส้น ด้วยเหตุนี้ สายอากาศโพลาริซิงแบบวงกลมจึงถูกใช้งานอย่างแพร่หลายในอุปกรณ์สื่อสารไร้สาย ด้วยการกำเนิดของอุปกรณ์สื่อสารไร้สายขั้นสูงในปัจจุบันและในอนาคต สายอากาศโพลาริซิงแบบวงกลมที่มีการแพร่กระจายคลื่นรอบทิศทาง จึงมีความจำเป็นในการใช้งานมากขึ้นในอนาคตสำหรับการใช้งานในอินเทอร์เน็ตในทุกสรรพสิ่ง (IoT) ระบบขนส่ง (Intelligent Transport Systems : ITS) การสื่อสารระหว่างรถยนต์กับรถยนต์ (Vehicle to Vehicle : V2V) รวมถึงเครือข่ายท้องถิ่นไร้สาย (Wireless Local Area Network : WLAN) เครือข่ายเซ็นเซอร์ดาวเทียมเคลื่อนที่ และเทคโนโลยีสื่อสาร 5G การศึกษาและงานวิจัยจำนวนมากมุ่งเน้นไปที่สายอากาศโพลาริซิงวงกลมแพร่กระจายคลื่นรอบทิศทาง (OCPA) [1] – [23]

สายอากาศโพลาริซิงวงกลมแพร่กระจายคลื่นรอบทิศทางโดยทั่วไปจะประกอบด้วยองค์ประกอบการแพร่กระจายคลื่นในแนวอนที่วางอยู่บนระนาบกราวนด์และองค์ประกอบแนวตั้งตามเอกสารอ้างอิง [1], [4] – [12], [14] – [20] และความแตกต่างของเฟสระหว่างกระแสไฟฟ้าขององค์ประกอบแนวอน (เช่น องค์ประกอบแนวอน) และองค์ประกอบแนวตั้งจะต้องเป็น 90° เพื่อสร้างโพลาริซิงวงกลม การศึกษาของงานวิจัยในก่อนหน้านี้นี้แสดงให้เห็นว่าขนาดหรือรัศมีของระนาบ

เอกสารนี้เป็นเอกสารที่สงวนไว้สำหรับการใช้งานเพื่อการศึกษาเท่านั้น ไม่อนุญาตให้นำไปใช้ประโยชน์ด้านการค้าไม่ว่ากรณีใดๆ ทั้งสิ้น อีกทั้งห้ามมิให้ดัดแปลงเนื้อหา และต้องอ้างอิงถึงเจ้าของเอกสารทุกครั้งที่มีการนำไปใช้

กราวนด์มีผลอย่างมากต่อองค์ประกอบแนวนอนของโพลาริซวงกลมตามเอกสารอ้างอิง [1], [4] – [12], [14] – [20] โดยเฉพาะอย่างยิ่งในเอกสารอ้างอิงที่ [2], [3], [13], [21] – [23] นั้นมีการนำเสนอสายอากาศโมโนโพลโพลาริซวงกลมแพร่กระจายคลื่นรอบทิศทางที่มีองค์ประกอบคล้ายพาราติคโพลาริเซอร์ทำหน้าที่เพื่อแปลงโพลาริซเชิงเส้น (LP) เป็นโพลาริซวงกลม (CP) อย่างไรก็ตาม การศึกษาวิจัยที่มีอยู่นั้นได้ให้ความสำคัญเพียงเล็กน้อยต่อผลกระทบของขนาดหรือรัศมีของระนาบกราวนด์ที่แปรผันต่อค่าอิมพีแดนซ์และแบนด์วิดท์ของอัตราส่วนแกน แบบรูปการแพร่กระจายคลื่นและกระแสไฟรั้วไหลของสายอากาศ

ดังนั้นขนาดระนาบกราวนด์จะมีบทบาทสำคัญในการออกแบบและประสิทธิภาพของสายอากาศโมโนโพลโพลาริซวงกลมแพร่กระจายคลื่นรอบทิศทางในเอกสารอ้างอิงที่ [1], [3], [15] ขนาดระนาบกราวนด์ของสายอากาศโมโนโพลโพลาริซวงกลมแพร่กระจายคลื่นรอบทิศทางที่มีขนาดใหญ่มากเกินไปจะส่งผลให้เกิดโพลาริซแบบไม่เป็นวงกลมหรือการแพร่กระจายคลื่นโพลาริซวงกลมแบบไม่รอบตัว (ลำคลื่นเกิดการยกขึ้น) ในขณะเดียวกัน หากขนาดระนาบกราวนด์มีขนาดเล็กเกินไป จำเป็นต้องใช้บาลันภายนอกเพื่อลดกระแสไฟรั้วบนสายโคแอกเซียล แต่สายอากาศสามารถแพร่กระจายคลื่นรอบทิศทางได้ ดังเอกสารอ้างอิงที่ [11] [14] [15]

อย่างไรก็ตาม เท่าที่ผู้เขียนได้สืบค้นข้อมูลทำให้ทราบได้ว่ามีความพยายามศึกษาอย่างจำกัดและมีข้อมูลน้อยมากในการแก้ไขข้อบกพร่องของสายอากาศโมโนโพลโพลาริซวงกลมแพร่กระจายคลื่นรอบทิศทางแบบทั่วไป โดยเฉพาะอย่างยิ่งในเอกสารอ้างอิงที่ [16] สายอากาศแพตช์วงกลมโพลาริซวงกลมสี่เหลี่ยมด้านเท่าที่มีโหมดโมโนโพลาร์สองโหมดที่เชื่อมต่อกับระนาบกราวนด์ที่ปรับเปลี่ยนโดยจุดเชื่อมต่อกับระนาบกราวนด์ สามารถแพร่กระจายคลื่นโพลาริซวงกลมรอบทิศทางได้ แต่ล้มเหลวในการลดค่ากระแสไฟรั้วบนสายโคแอกเซียล ในเอกสารอ้างอิงที่ [17] สายอากาศแพตช์ที่มีช่องว่าง และ จุดเชื่อมต่อกับระนาบกราวนด์แพร่กระจายคลื่นโพลาริซวงกลมรอบทิศทางแต่มีอิมพีแดนซ์และอัตราส่วนแกนแบนด์วิดท์ที่แคบ

ในงานวิจัยนี้มีการใช้โครงสร้างตัวนำแม่เหล็กประดิษฐ์ (AMC) สองโครงสร้างเพื่อหลีกเลี่ยงข้อจำกัดในการออกแบบของขนาดระนาบกราวนด์ของสายอากาศโมโนโพลโพลาริซวงกลมแพร่กระจายคลื่นรอบทิศทางแบบทั่วไป ในขณะที่ปรับปรุงอิมพีแดนซ์และอัตราส่วนแกนแบนด์วิดท์และยังสามารถลดกระแสไฟรั้วบนโครงสร้างสายอากาศและสายนำสัญญาณได้ โครงสร้างตัวนำแม่เหล็กประดิษฐ์ที่นำเสนอประกอบด้วยโครงสร้างตัวนำแม่เหล็กประดิษฐ์แบบวงแหวนเดี่ยว (SA-AMC) และโครงสร้างตัวนำแม่เหล็กประดิษฐ์แบบวงแหวนคู่ (DA-AMC) ซึ่งใช้เป็นระนาบกราวนด์ของสายอากาศโมโนโพลโพลาริซวงกลมแพร่กระจายคลื่นรอบทิศทาง สำหรับตัวนำแม่เหล็กประดิษฐ์แบบรูปวงแหวนเดี่ยว (SA-AMC) มีวงแหวนจำนวนหนึ่งวงรอบที่มีหน่วยเซลล์รูปพัดเรียงเป็นวงกลมจำนวน 8 หน่วยเซลล์โดยไม่มีการเชื่อมต่อหน่วยเซลล์กับระนาบกราวนด์ ในส่วนระนาบกราวนด์ตัวนำแม่เหล็กประดิษฐ์แบบรูปวงแหวนคู่ DA-AMC มีวงแหวนสองวงรอบ (วงแหวนด้านในและด้านนอก) วงแหวนด้านในและด้านนอกของระนาบกราวนด์ตัวนำแม่เหล็กประดิษฐ์แบบรูปวงแหวนคู่มีหน่วยเซลล์รูปพัดเรียงเป็นวงกลมจำนวน 8 และ 15 หน่วยเซลล์โดยไม่มีการเชื่อมต่อหน่วยเซลล์กับระนาบกราวนด์ สำหรับเทคโนโลยีโครงสร้างตัวนำแม่เหล็กประดิษฐ์ (AMC) ถูกนำมาใช้ในการพัฒนาสายอากาศเพื่อปรับปรุงอิมพีแดนซ์และอัตราส่วนแกนแบนด์วิดท์ให้กว้างมากยิ่งขึ้น การออกแบบมีขนาดสี่เหลี่ยมด้านเท่า และการปรับปรุงการแพร่กระจายคลื่นของสายอากาศ ดังเอกสารอ้างอิง [24] – [31] ซึ่งสายอากาศที่นำเสนอจะมีความแตกต่างจากในเอกสารอ้างอิงที่ [31] โดยโครงสร้างตัวนำเอกสารนี้เป็นเอกสารที่สงวนไว้สำหรับการใช้งานเพื่อการศึกษาเท่านั้น ไม่อนุญาตให้นำไปใช้ประโยชน์ด้านการค้า

ไม่ว่ากรณีใดๆ ทั้งสิ้น อีกทั้งห้ามมิให้ดัดแปลงเนื้อหา และต้องอ้างอิงถึงเจ้าของเอกสารทุกครั้งที่มีการนำไปใช้

แม่เหล็กประติษฐ์ (AMC) รูปวงแหวนที่คล้ายกันต้องมีจุดเชื่อมต่อหน่วยเซลล์กับระนาบกราวด์ในบริเวณจุดกึ่งกลางหน่วยเซลล์ ระนาบภาคกราวด์ตัวนำแม่เหล็กประติษฐ์แบบวงแหวนเดี่ยว SA-AMC และระนาบภาคกราวด์ตัวนำแม่เหล็กประติษฐ์แบบวงแหวนคู่ DA-AMC ที่นำเสนอจะไม่มี การเชื่อมต่อหน่วยเซลล์กับระนาบกราวด์

โดยเฉพาะอย่างยิ่งในงานวิจัยที่นำเสนอนี้ สายอากาศโมโนโพลโพลาริซวงกลมแพร่กระจายคลื่นรอบทิศทาง (OCPA) ร่วมกับระนาบกราวด์ตัวนำแม่เหล็กประติษฐ์แบบรูปวงแหวนเดี่ยว (SA-AMC) และระนาบกราวด์ตัวนำแม่เหล็กประติษฐ์แบบรูปวงแหวนคู่ (DA-AMC) สำหรับย่านความถี่ 5.5 GHz ระนาบกราวด์ตัวนำแม่เหล็กประติษฐ์แบบรูปวงแหวนเดี่ยว SA-AMC และระนาบกราวด์ตัวนำแม่เหล็กประติษฐ์แบบรูปวงแหวนคู่ DA-AMC สามารถปรับปรุงอิมพีแดนซ์แบนด์วิดท์ ($|S_{11}| \leq -10$ dB) และและอัตราส่วนแบนด์วิดท์ ($AR \leq 3$ dB) ของสายอากาศโมโนโพลโพลาริซวงกลมแพร่กระจายคลื่นรอบทิศทาง ในขณะที่สามารถลดกระแสไฟรั่วไหลบนระนาบกราวด์ด้านล่างและสายป้อนสัญญาณโคแอกเซียล กระแสไฟรั่วที่ลดลงอาจเกิดจากพื้นผิวตัวนำแม่เหล็กประติษฐ์ที่มีค่าอิมพีแดนซ์สูงบนโครงสร้างระนาบกราวด์ตัวนำแม่เหล็กประติษฐ์แบบรูปวงแหวนเดี่ยว SA-AMC และระนาบกราวด์ตัวนำแม่เหล็กประติษฐ์แบบรูปวงแหวนคู่ DA-AMC ซึ่งแตกต่างจากสายอากาศโมโนโพลโพลาริซวงกลมแพร่กระจายคลื่นรอบทิศทางแบบทั่วไปที่ประสบปัญหาด้านการออกแบบที่เข้มงวด (เช่น ขนาดระนาบกราวด์ต้องคงที่ $R_g = 39.2$ mm) การนำเทคนิคระนาบกราวด์ตัวนำแม่เหล็กประติษฐ์แบบรูปวงแหวนเดี่ยว SA-AMC หรือระนาบกราวด์ตัวนำแม่เหล็กประติษฐ์แบบรูปวงแหวนคู่ DA-AMC เข้ากับสายอากาศโมโนโพลโพลาริซวงกลมแพร่กระจายคลื่นรอบทิศทางช่วยให้ นักพัฒนาสายอากาศมีความยืดหยุ่นในการออกแบบ (เช่น ตัวนำแม่เหล็กประติษฐ์ AMC ที่ปรับได้ขนาดระนาบกราวด์ในช่วง 18.4 – 188.4 mm สำหรับระนาบกราวด์ตัวนำแม่เหล็กประติษฐ์แบบรูปวงแหวนเดี่ยว SA-AMC และ 29.2 – 119.2 mm สำหรับระนาบกราวด์ตัวนำแม่เหล็กประติษฐ์แบบรูปวงแหวนคู่ DA-AMC)

ยิ่งไปกว่านั้น ในงานวิจัยนี้สายอากาศโมโนโพลโพลาริซวงกลมแพร่กระจายคลื่นรอบทิศทางที่มีระนาบกราวด์ตัวนำแม่เหล็กประติษฐ์แบบรูปวงแหวนเดี่ยว SA-AMC และระนาบกราวด์ตัวนำแม่เหล็กประติษฐ์แบบรูปวงแหวนคู่ DA-AMC ได้ทำการทดลองติดตั้งกับฐานแผ่นตัวนำที่เป็นโลหะอะลูมิเนียมที่มีรัศมีต่างกันที่ 119.2 และ 188.4 mm เพื่อตรวจสอบผลกระทบของฐานการติดตั้งที่มีผลต่อคุณลักษณะของสายอากาศ เช่น แบบรูปการแพร่กระจายคลื่นที่สามารถแพร่กระจายคลื่นรอบทิศทางหรือไม่ของสายอากาศโมโนโพลโพลาริซวงกลมแพร่กระจายคลื่นรอบทิศทาง โดยคำนึงถึงขนาดของฐานการติดตั้งบริเวณด้านล่างสายอากาศ ซึ่งรัศมีระนาบกราวด์มีขนาด (R_g) ที่ 18.4 mm และ 29.2 mm สำหรับโครงสร้างระนาบกราวด์ตัวนำแม่เหล็กประติษฐ์แบบรูปวงแหวนเดี่ยว SA-AMC และระนาบกราวด์ตัวนำแม่เหล็กประติษฐ์แบบรูปวงแหวนคู่ DA-AMC ตามลำดับ

1.2 วัตถุประสงค์และขอบเขตของการศึกษา

วิทยานิพนธ์นี้มีวัตถุประสงค์เพื่อการวิเคราะห์ ออกแบบ ประยุกต์ใช้ระนาบกราวด์ตัวนำแม่เหล็กประติษฐ์รูปพัดที่มีระนาบกราวด์ตัวนำแม่เหล็กประติษฐ์แบบรูปวงแหวนเดี่ยว (SA-AMC) และระนาบกราวด์ตัวนำแม่เหล็กประติษฐ์แบบรูปวงแหวนคู่ (DA-AMC) ร่วมกับสายอากาศโมโนโพลโพลาริซวงกลมแพร่กระจายคลื่นรอบทิศทาง ที่ประกอบไปด้วยสายอากาศโมโนโพล และพาราซิติคสี่เหลี่ยมที่เชื่อมต่อกันในแนวทแยงมุม จำนวน 4 องค์ประกอบ วางรอบสายอากาศโมโนโพล และทำเอกสารนี้เป็นเอกสารที่สงวนไว้สำหรับการใช้งานเพื่อการศึกษาเท่านั้น ไม่อนุญาตให้นำไปใช้ประโยชน์ด้านการค้า ไม่ว่าจะกรณีใดๆ ทั้งสิ้น อีกทั้งห้ามมิให้ดัดแปลงเนื้อหา และต้องอ้างอิงถึงเจ้าของเอกสารทุกครั้งที่มีการนำไปใช้

การสร้างชิ้นงานต้นแบบ และทดสอบเพื่อเปรียบเทียบผลลัพธ์จากการจำลองและการทดสอบ รวมไปถึงผลกระทบต่าง ๆ ที่เกี่ยวข้อง โดยสายอากาศที่ทำการศึกษานั้นจะเป็นสายอากาศโมโนโพลโพลาริซวงกลมแพร์กระจายคลื่นรอบทิศทางร่วมกับระนาบกราวด์ตัวนำแม่เหล็กประดิษฐ์แบบรูปวงแหวนเดี่ยว (SA-AMC) และระนาบกราวด์ตัวนำแม่เหล็กประดิษฐ์แบบรูปวงแหวนคู่ (DA-AMC) ซึ่งออกแบบเพื่อให้สายอากาศสามารถมีความยืดหยุ่นในการออกแบบระนาบกราวด์ของสายอากาศโมโนโพล และเพิ่มแถบความถี่ความถี่ของอิมพีแดนซ์แบนด์วิดท์ ($|S_{11}| \leq -10$ dB) และอัตราส่วนแบนด์วิดท์ ($AR \leq 3$ dB) รวมทั้งลดกระแสรั่วไหลบนสายนำสัญญาณของสายอากาศโมโนโพลโพลาริซวงกลมแพร์กระจายคลื่นรอบทิศทางและครอบคลุมย่านความถี่ WLAN (5.5 GHz)

1.3 เนื้อหาของวิทยานิพนธ์

วิทยานิพนธ์นี้ได้แบ่งเนื้อหาออกเป็นส่วน ๆ โดยแบ่งเนื้อหาได้ทั้งหมด 6 บท ดังต่อไปนี้ บทที่ 1 กล่าวถึงภาพรวมของสายอากาศ วิธีในการออกแบบสายอากาศโมโนโพลโพลาริซวงกลมแพร์กระจายคลื่นรอบทิศทาง (OCPA) ร่วมกับระนาบกราวด์ตัวนำแม่เหล็กประดิษฐ์แบบรูปวงแหวนเดี่ยว (SA-AMC) และระนาบกราวด์ตัวนำแม่เหล็กประดิษฐ์แบบรูปวงแหวนคู่ (DA-AMC) และความแปลกใหม่ในการออกแบบสายอากาศเพื่อให้เป็นไปตามตามวัตถุประสงค์และขอบเขตการศึกษา

บทที่ 2 กล่าวถึงหลักการและทฤษฎีพื้นฐานที่เกี่ยวข้องกับสายอากาศที่ใช้ในการศึกษาและการออกแบบซึ่งในที่นี้คือสายอากาศโมโนโพลโพลาริซวงกลมแพร์กระจายคลื่นรอบทิศทาง (OCPA) แบบต่างๆ ร่วมกับระนาบกราวด์ตัวนำแม่เหล็กประดิษฐ์แบบรูปวงแหวนเดี่ยว (SA-AMC) และระนาบกราวด์ตัวนำแม่เหล็กประดิษฐ์แบบรูปวงแหวนคู่ (DA-AMC) ซึ่งเป็นส่วนสำคัญในการประยุกต์ใช้กับการออกแบบสายอากาศเพื่อให้มีประสิทธิภาพตามที่ต้องการ จากนั้นได้กล่าวถึงการเปรียบเทียบงานวิจัยของสายอากาศที่เกี่ยวข้องที่มีมาก่อน

บทที่ 3 กล่าวถึงการออกแบบและการจำลองสายอากาศโมโนโพลและสายอากาศโมโนโพลโพลาริซวงกลมแพร์กระจายคลื่นรอบทิศทาง (OCPA) ที่มีองค์ประกอบสายอากาศโมโนโพลร่วมกับพาราซีติกส์เหลี่ยมที่เชื่อมต่อกันในแนวทแยงมุม จำนวน 4 องค์ประกอบ วางรอบสายอากาศโมโนโพล โดยเริ่มต้นจากการออกแบบ ศึกษาพารามิเตอร์ต่าง ๆ ตลอดจนจำลองโครงสร้างและการออกแบบเพื่อนำไปสู่โครงสร้างสายอากาศที่น่าเสนอ ซึ่งในที่นี้คือโครงสร้างสายอากาศโมโนโพลโพลาริซวงกลมแพร์กระจายคลื่นรอบทิศทาง (OCPA) ก่อนนำไปร่วมกับระนาบกราวด์ตัวนำแม่เหล็กประดิษฐ์

บทที่ 4 กล่าวถึงการออกแบบและการจำลองสายอากาศโมโนโพลโพลาริซวงกลมแพร์กระจายคลื่นรอบทิศทาง (OCPA) ร่วมกับระนาบกราวด์ตัวนำแม่เหล็กประดิษฐ์แบบรูปวงแหวนเดี่ยว (SA-AMC) และระนาบกราวด์ตัวนำแม่เหล็กประดิษฐ์แบบรูปวงแหวนคู่ (DA-AMC) โดยเริ่มจากศึกษาและออกแบบระนาบกราวด์ตัวนำแม่เหล็กประดิษฐ์แบบรูปวงแหวนเดี่ยว (SA-AMC) ตามด้วยระนาบกราวด์ตัวนำแม่เหล็กประดิษฐ์แบบรูปวงแหวนคู่ (DA-AMC) และสุดท้ายศึกษาการออกแบบสายอากาศโมโนโพลโพลาริซวงกลมแพร์กระจายคลื่นรอบทิศทาง (OCPA) ร่วมกับระนาบกราวด์ตัวนำแม่เหล็กประดิษฐ์แบบรูปวงแหวนเดี่ยว (SA-AMC) และระนาบกราวด์ตัวนำแม่เหล็กประดิษฐ์แบบรูปวงแหวนคู่ (DA-AMC) ตามลำดับ เพื่อให้ได้สายอากาศโมโนโพลโพลาริซวงกลมแพร์กระจายคลื่นรอบทิศทางแถบความถี่กว้างและทำให้สายอากาศสามารถมีความยืดหยุ่นในการออกแบบขนาดรัศมีของระนาบกราวด์

เอกสารนี้เป็นเอกสารที่สงวนไว้สำหรับการใช้งานเพื่อการศึกษาเท่านั้น ไม่อนุญาตให้นำไปใช้ประโยชน์ด้านการค้า ไม่ว่าจะกรณีใดๆ ทั้งสิ้น อีกทั้งห้ามมิให้ดัดแปลงเนื้อหา และต้องอ้างอิงถึงเจ้าของเอกสารทุกครั้งที่มีการนำไปใช้

บทที่ 5 กล่าวถึงการทดสอบสายอากาศและเปรียบเทียบผลลัพธ์ในบทก่อนหน้านี้เพื่อเป็นการยืนยันประสิทธิภาพต่าง ๆ ของสายอากาศ และสามารถพิสูจน์ได้ว่านำไปประยุกต์ใช้งานได้จริง

บทที่ 6 กล่าวถึงข้อสรุปผลการวิจัยโดยภาพรวมของวิทยานิพนธ์ตลอดจนข้อเสนอแนะและแนวทางการพัฒนาสายอากาศเพื่อเพิ่มประสิทธิภาพในด้านต่าง ๆ ต่อไปในงานวิจัยอนาคต



เอกสารนี้เป็นเอกสารที่สงวนไว้สำหรับการใช้งานเพื่อการศึกษาเท่านั้น ไม่อนุญาตให้นำไปใช้ประโยชน์ด้านการค้า
ไม่ว่ากรณีใดๆ ทั้งสิ้น อีกทั้งห้ามมิให้ดัดแปลงเนื้อหา และต้องอ้างอิงถึงเจ้าของเอกสารทุกครั้งที่มีการนำไปใช้

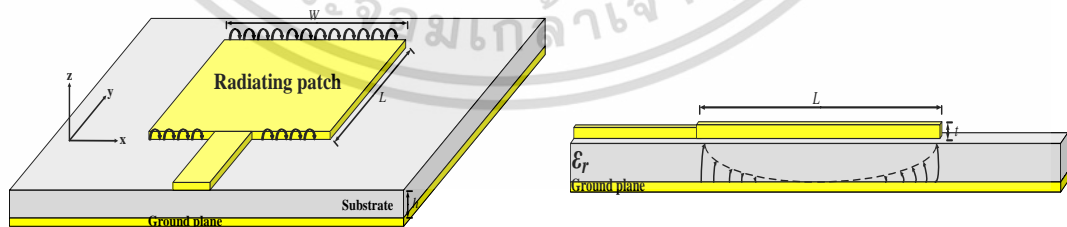
บทที่ 2

ทฤษฎีและงานวิจัยที่เกี่ยวข้อง

ในบทนี้เกี่ยวกับหลักการและทฤษฎีพื้นฐานของสายอากาศไมโครสตริป วิธีการนำสัญญาณในรูปแบบต่าง ๆ สายอากาศแถวลำดับและโครงข่ายการป้อนสัญญาณที่หมุนวนตามลำดับ การโพลาไรซ์ของสายอากาศ การวิเคราะห์คลื่นพื้นผิว พื้นผิวอิมพีแดนซ์สูง อภิวัด รวมไปถึงโครงสร้างช่องว่าง แถบแม่เหล็กไฟฟ้า โครงสร้างพื้นผิวเลือกความถี่ โครงสร้างตัวนำแม่เหล็กเทียม และศึกษางานวิจัยที่เกี่ยวข้องที่มีมาก่อน

2.1 สายอากาศไมโครสตริป

สายอากาศไมโครสตริปมีโครงสร้างพื้นฐานที่ประกอบไปด้วยแพตช์ที่ทำหน้าที่กระจายสัญญาณและสายนำสัญญาณซึ่งทำหน้าที่ป้อนสัญญาณเข้าที่วางตัวอยู่บนวัสดุฐานรองที่มีค่าไดอิเล็กตริก นอกจากนี้อีกด้านคือพื้นหลังที่เรียกว่าระนาบกราวด์ซึ่งทำหน้าที่สะท้อนสัญญาณแสดงได้ดังรูปที่ 2.1(ก) โดยทั่วไปแล้วแพตช์กระจายสัญญาณมักจะทำมาจากวัสดุที่นำไฟฟ้าได้ดี เช่น ทองแดง ทองคำ เป็นต้น ซึ่งมีความหนาแน่นน้อยกว่าความยาวคลื่นมาก ๆ และวางตัวอยู่บนวัสดุฐานรองไดอิเล็กตริกที่มีความหนาแน่นน้อยกว่าความยาวคลื่น ($h \ll \lambda_0$) โดยทั่วไปจะอยู่ที่ประมาณ $(0.003\lambda_0 \leq h \leq 0.05\lambda_0)$ ซึ่งถูกออกแบบมาเพื่อกระตุ้นให้เกิดสนามไฟฟ้าภายใต้แพตช์กระจายสัญญาณและระนาบกราวด์แสดงได้ดังรูปที่ 2.1(ข) ส่วนใหญ่นั้นนิยมใช้วัสดุฐานรองที่มีค่าไดอิเล็กตริกอยู่ที่ประมาณ $(2.2 \leq \epsilon_r \leq 12)$ ซึ่งความหนาแน่นจะมีความสัมพันธ์กับความกว้างแถบความถี่ (Bandwidth) และขนาดของสายอากาศ หลักการทำงานของสายอากาศไมโครสตริปนั้นจะกระจายสัญญาณออกมาที่บริเวณระหว่างขอบของแพตช์กระจายสัญญาณและระนาบกราวด์ โดยการกระจายสัญญาณนั้นจะสัมพันธ์กับความถี่ ความหนาของวัสดุฐานรอง และค่าไดอิเล็กตริกสัมพันธ์ นอกจากนี้สายอากาศแพตช์แบบไมโครสตริปมักถูกนำมาใช้กับวงจรไมโครเวฟด้านอื่น ๆ ได้อย่างมีประสิทธิภาพโดยต้องอาศัยการออกแบบสายอากาศและการออกแบบวงจรที่ดี

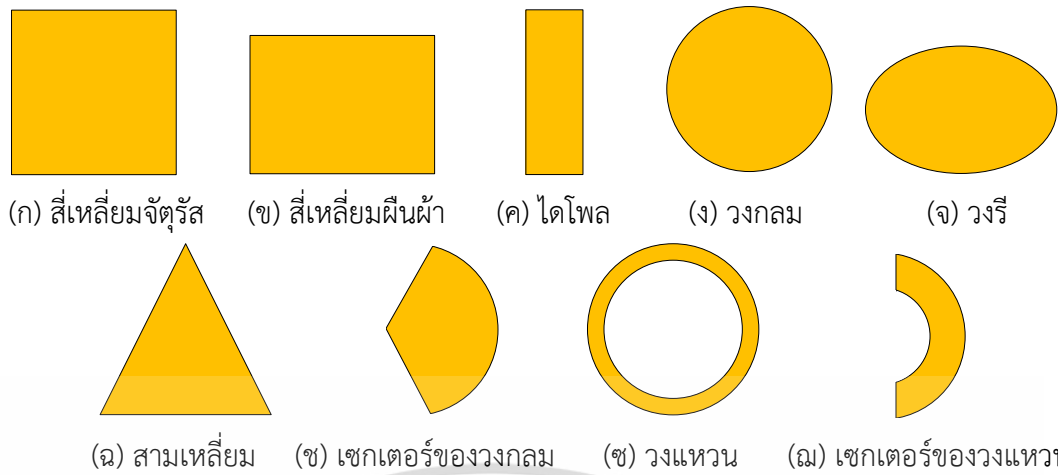


(ก) มุมมองโดยรวม

(ข) มุมมองด้านข้าง

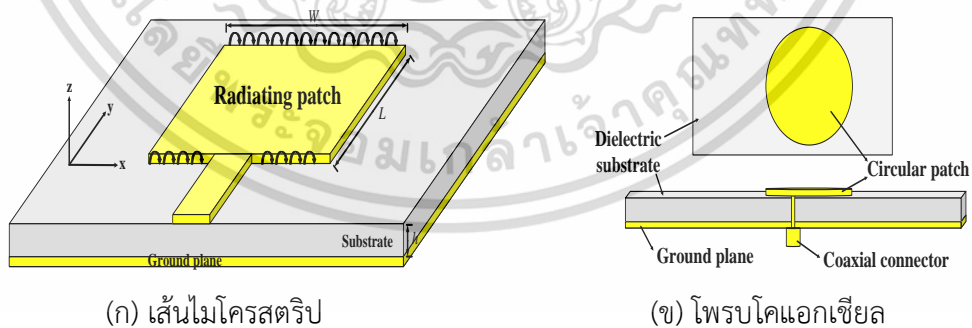
รูปที่ 2.1 โครงสร้างสายอากาศไมโครสตริป [34]

เอกสารนี้เป็นเอกสารที่สงวนไว้สำหรับการใช้งานเพื่อการศึกษาเท่านั้น ไม่อนุญาตให้นำไปใช้ประโยชน์ด้านการค้า ไม่ว่าจะกรณีใดๆ ทั้งสิ้น อีกทั้งห้ามมิให้ดัดแปลงเนื้อหา และต้องอ้างอิงถึงเจ้าของเอกสารทุกครั้งที่มีการนำไปใช้



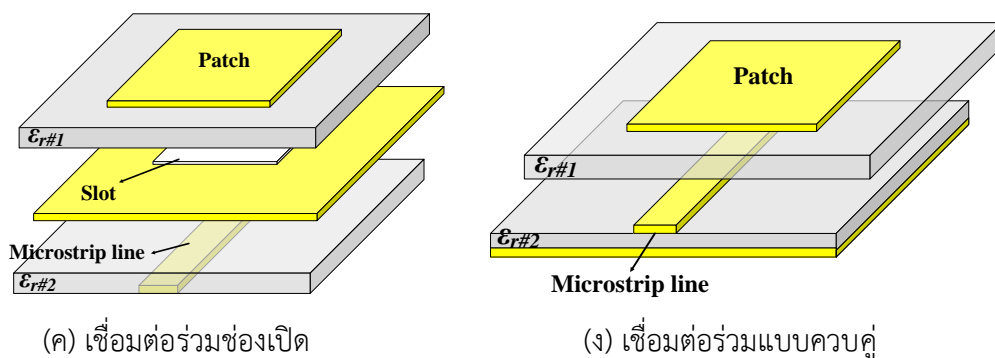
รูปที่ 2.2 ตัวอย่างรูปทรงเรขาคณิตแพตช์กระจายสัญญาณของสายอากาศไมโครสตริป [34]

โดยทั่วไปสายอากาศไมโครสตริปนั้นจะสัมพันธ์กับสายอากาศแพตช์ที่ประกอบไปด้วยแพตช์กระจายสัญญาณและสายนำสัญญาณที่วางบนวัสดุฐานรองไดอิเล็กตริก ซึ่งแพตช์กระจายสัญญาณนำเสนอได้หลากหลายรูปแบบ ได้แก่ รูปสี่เหลี่ยมจัตุรัส รูปสี่เหลี่ยมผืนผ้า รูปไดโพล รูปวงกลม รูปวงรี รูปสามเหลี่ยม รูปเซกเตอร์ของวงกลม รูปวงแหวน รูปเซกเตอร์ของวงแหวน และอีกมากมายแสดงได้ดังรูปที่ 2.2 ส่วนใหญ่รูปร่างแพตช์กระจายสัญญาณที่ได้รับความนิยมนั้นคือรูปสี่เหลี่ยมจัตุรัส รูปสี่เหลี่ยมผืนผ้า รูปไดโพล และรูปวงกลม เนื่องจากง่ายต่อการวิเคราะห์ออกแบบและการสร้างชิ้นงาน แต่มักจะพบปัญหาโดยเฉพาะอย่างยิ่งการแพร่กระจายคลื่นโพลาไรซ์แบบไขว้ต่ำ (Cross-polarization) ส่วนสายอากาศแพตช์รูปไดโพลนั้นจะให้ความกว้างแถบความถี่สูง แต่ใช้พื้นที่ในการออกแบบน้อย ดังนั้นจึงนิยมทำเป็นสายอากาศแถวลำดับ (Antenna Array) การโพลาไรซ์แบบเชิงเส้นและวงกลมนั้นสามารถกระทำได้โดยใช้สายอากาศไมโครสตริปเชิงเดี่ยวหรือสายอากาศไมโครสตริปแถวลำดับ สำหรับวิธีการนำสัญญาณนั้นแบ่งออกเป็น 2 ประเภท คือ การป้อนแบบเดี่ยว (Single feed) หรือ การป้อนแบบหลากหลาย (Multiple feed)



รูปที่ 2.3 วิธีการนำสัญญาณของสายอากาศไมโครสตริป [34]

เอกสารนี้เป็นเอกสารที่สงวนไว้สำหรับการใช้งานเพื่อการศึกษาเท่านั้น ไม่อนุญาตให้นำไปใช้ประโยชน์ด้านการค้า ไม่ว่าจะกรณีใดๆ ทั้งสิ้น อีกทั้งห้ามมิให้ดัดแปลงเนื้อหา และต้องอ้างอิงถึงเจ้าของเอกสารทุกครั้งที่มีการนำไปใช้



(ค) เชื่อมต่อร่วมช่องเปิด

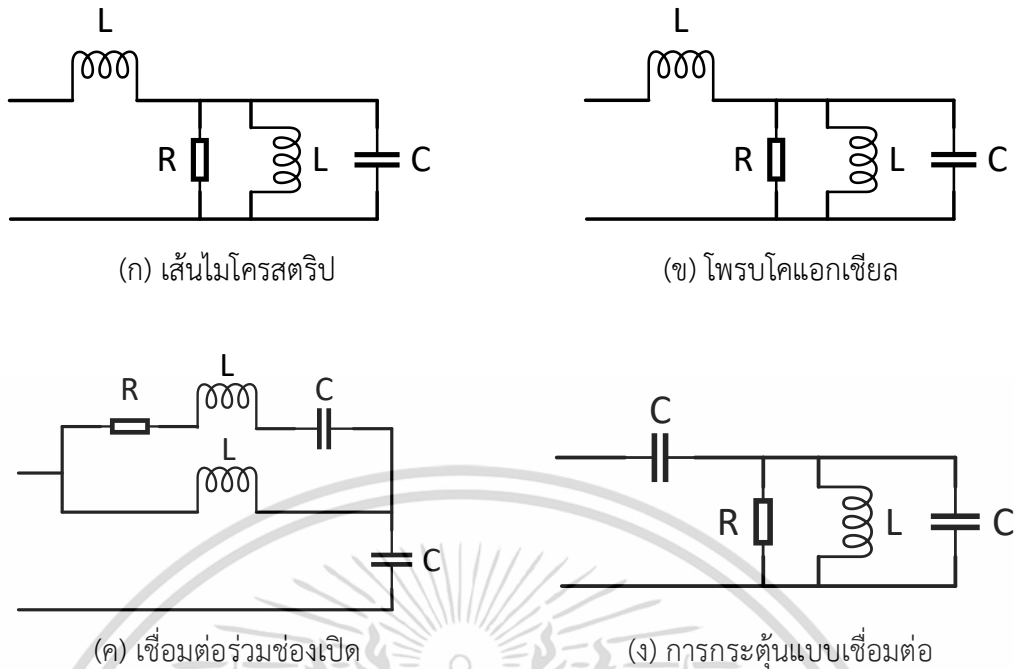
(ง) เชื่อมต่อร่วมแบบควบคู่

รูปที่ 2.3 วิธีการนำสัญญาณของสายอากาศไมโครสตริป [34] (ต่อ)

รูปที่ 2.3 แสดงโครงสร้างวิธีการนำสัญญาณของสายอากาศไมโครสตริปในรูปแบบต่าง ๆ ได้แก่ เส้นไมโครสตริป (Microstrip line) โพรบโคแอกเซียล (Coaxial probe) เชื่อมต่อร่วมช่องเปิด (Aperture coupling) และเชื่อมต่อร่วมแบบควบคู่ (Proximity coupling) ซึ่งสามารถอธิบายได้โดย วงจรสมมูลดังแสดงในรูปที่ 2.4 สำหรับเส้นไมโครสตริปคือ แถบนำไฟฟ้าที่มีความกว้างน้อยมาก ๆ เมื่อเปรียบเทียบกับแพตช์กระจายสัญญาณ ซึ่งเป็นที่นิยมเนื่องมาจากการออกแบบ การแมตชิงอิมพีแดนซ์และสร้างชิ้นงานได้ง่าย อย่างไรก็ตามเมื่อความหนาของวัสดุฐานรองเพิ่มขึ้น คลื่นพื้นผิวเพิ่มขึ้น และการแพร่กระจายสัญญาณเพิ่มขึ้นแต่ในทางกลับกันจะทำให้มีข้อจำกัดความ กว้างแถบความถี่ประมาณ 2 – 5% เท่านั้น

สำหรับโพรบโคแอกเซียลมักจะประกอบไปด้วย ตัวนำด้านใน (Inner conductor) ที่เชื่อมต่อ กับแพตช์กระจายสัญญาณแต่ ตัวนำด้านนอก (Outer conductor) นั้นจะเชื่อมต่อกับระนาบกราวด์ ซึ่งเป็นที่นิยมเนื่องมาจากง่ายต่อการสร้างชิ้นงานและการแมตชิงอิมพีแดนซ์ อย่างไรก็ตามกลับพบว่า มีความกว้างแถบความถี่ที่แคบ (Narrow bandwidth) และยากต่อการออกแบบเมื่อวัสดุฐานรอง มีความหนาตั้งแต่ 0.02λ ขึ้นไป โดยทั้งเส้นไมโครสตริปและโพรบโคแอกเซียลมีความไม่สมมาตรโดย ธรรมชาติทำให้เกิดโหมดความถี่สูงซึ่งจะก่อให้เกิดการแพร่กระจายคลื่นโพลาริซแบบไขว้สูง ดังนั้นเพื่อที่จะแก้ปัญหาเหล่านี้จึงได้มีการออกแบบการนำสัญญาณแบบไม่ติดต่อกัน ได้แก่ เชื่อมต่อร่วม ช่องเปิด และเชื่อมต่อร่วมแบบควบคู่ แสดงดังรูปที่ 2.3(ค) – 2.3(ง) ตามลำดับ

สำหรับการนำสัญญาณแบบเชื่อมต่อร่วมแบบควบคู่มีความยากในการสร้างชิ้นงาน อีกทั้ง ยังมีความกว้างแถบความถี่ที่ต่ำ อย่างไรก็ตามกลับมีการแพร่กระจายคลื่นโพลาริซแบบไขว้ต่ำ โดยปกติการเชื่อมต่อร่วมแบบควบคู่ประกอบไปด้วยวัสดุฐานรองจำนวน 2 ชั้น (ชั้นบน และชั้นล่าง) ซึ่งแยกออกจากกันด้วยระนาบกราวด์ ส่วนด้านล่างของวัสดุฐานรองชั้นล่างนั้นมีเส้นไมโครสตริป ที่ทำหน้าที่ส่งพลังงานควบคู่ไปยังแพตช์กระจายสัญญาณผ่านระนาบกราวด์ที่มีช่องเปิดระหว่างวัสดุ ฐานรองทั้ง 2 ชั้น ซึ่งในการออกแบบจะขึ้นอยู่กับการจัดวางของเส้นไมโครสตริปและแพตช์กระจาย สัญญาณที่เป็นอิสระต่อกัน อีกทั้งฐานรองวัสดุชั้นล่างนิยมใช้วัสดุที่มีค่าไดอิเล็กตริกสูง และใช้วัสดุ ที่มีค่าไดอิเล็กตริกต่ำสำหรับฐานรองวัสดุชั้นบน สำหรับการออกแบบในลักษณะนี้จะมีพารามิเตอร์ที่ หลายค่าได้แก่ ค่าคุณสมบัติทางไฟฟ้าของวัสดุฐานรอง ความกว้างของเส้นไมโครสตริป ขนาดของ ระนาบกราวด์ช่องเปิดและตำแหน่ง ซึ่งการแมตชิงอิมพีแดนซ์นั้นสามารถกระทำได้โดยการควบคุม ความกว้างของเส้นไมโครสตริปและความยาวของช่องเปิด เป็นต้น

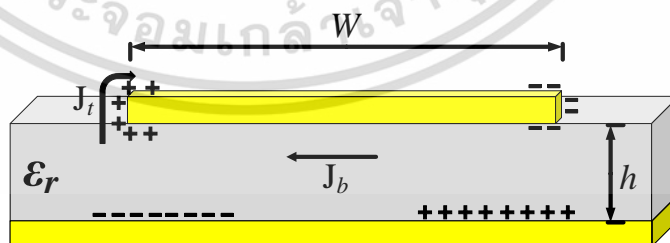


รูปที่ 2.4 วงจรสมมูลการกระตุ้นของสายอากาศไมโครสตริปแบบต่าง ๆ [34]

2.1.1 ทฤษฎีแบบจำลองโพรง (Cavity Model)

สายอากาศไมโครสตริปนั้นมักมีวัสดุฐานรองที่มีค่าไดอิเล็กทริกที่เป็นลักษณะโพรง (Cavity) ทำให้เกิดเรโซแนนซ์ความถี่สูง โดยสนามไฟฟ้าภายในวัสดุฐานรอง (ระหว่างแพตช์กระจายสัญญาณและระนาบกราวด์) สามารถอธิบายได้โดยอาศัยตัวนำไฟฟ้าบริเวณขอบของโพรง (ขอบบนและล่าง) และผนังแม่เหล็กไฟฟ้าบริเวณขอบของแพตช์กระจายสัญญาณ ซึ่งนำไปสู่การประมาณเพื่อคำนวณค่าอิมพีแดนซ์ขาเข้า (Input impedance) และสามารถวิเคราะห์โดยใช้ทฤษฎีท่อนำคลื่น (Waveguides) และทฤษฎีแบบจำลองโพรง

ทฤษฎีแบบจำลองโพรงสามารถอธิบายได้โดยการใช้สนามไฟฟ้าพื้นฐานที่เกิดภายในโพรงและด้านข้าง เมื่อแพตช์กระจายสัญญาณถูกกระตุ้นทำให้เกิดการกระจายตัวของประจุไฟฟ้าทั้งบริเวณด้านบนและด้านล่างพื้นผิวของแพตช์กระจายสัญญาณตลอดจนพื้นผิวของระนาบกราวด์ดังรูปที่ 2.5



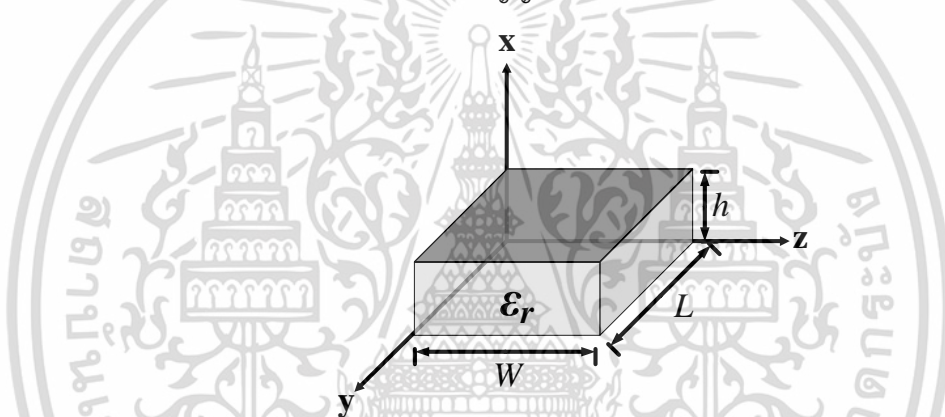
รูปที่ 2.5 การกระจายตัวของประจุไฟฟ้าบนแพตช์กระจายสัญญาณ [34]

การกระจายตัวของประจุไฟฟ้าสามารถควบคุมได้โดยอาศัยกลไกของการดูดและการผลัก โดยกลไกของการดูดนั้นเกิดขึ้นระหว่างประจุที่ตรงกันข้ามกันระหว่างด้านล่างพื้นผิวของแพตช์กระจายสัญญาณและระนาบกราวด์ซึ่งความเข้มของประจุไฟฟ้ามีแนวโน้มเกิดขึ้นบริเวณด้านล่างพื้นผิวของแพตช์กระจายสัญญาณ และกลไกของการผลักรวมกันเกิดขึ้นเมื่อประจุไฟฟ้าบริเวณด้านล่าง

เอกสารนี้เป็นเอกสารที่สงวนลิขสิทธิ์ไว้เพื่อใช้ในการศึกษาเท่านั้น เมื่ออนุญาตให้เผยแพร่เป็นการค้า
ไม่ว่ากรณีใดๆ ทั้งสิ้น อีกทั้งห้ามมิให้ดัดแปลงเนื้อหา และต้องอ้างอิงถึงเจ้าของเอกสารทุกครั้งที่มีการนำไปใช้

พื้นผิวของแพตช์กระจายสัญญาณเคลื่อนที่ไปยังด้านบนพื้นผิวของแพตช์กระจายสัญญาณ โดยการเคลื่อนที่ดังกล่าวนี้ก่อให้เกิดความหนาแน่นของกระแสไฟฟ้า J_b และ J_f บริเวณด้านล่างและด้านบนพื้นผิวของแพตช์กระจายสัญญาณตามลำดับ

เนื่องจากไมโครสตริปส่วนใหญ่ก็มีอัตราส่วนระหว่างความหนาและความกว้างที่น้อยมาก ส่งผลให้เกิดกลไกของการปลักเป็นส่วนใหญ่และความเข้มข้นของประจุไฟฟ้า การไหลของกระแสไฟฟ้าโดยส่วนใหญ่เกิดที่บริเวณภายใต้ของแพตช์กระจายสัญญาณ และเกิดการไหลของกระแสไฟฟ้าเพียงเล็กน้อยเท่านั้นที่บริเวณขอบไปยังด้านบนของแพตช์กระจายสัญญาณ อย่างไรก็ตามการไหลของกระแสไฟฟ้านั้นลดลงเมื่ออัตราส่วนระหว่างความหนาและความกว้างของไมโครสตริปนั้นลดลง เนื่องด้วยข้อจำกัดนี้ทำให้การไหลของกระแสไฟฟ้าไปยังด้านบนนั้นเป็นศูนย์ เป็นเหตุให้แม่เหล็กไฟฟ้านั้นเป็นศูนย์ด้วยที่ บริเวณขอบของแพตช์กระจายสัญญาณ ดังนั้นผนังทั้ง 4 ด้านของไมโครสตริปนั้นเปรียบเสมือนพื้นผิวดำนำแม่เหล็กสมบูรณ์ (Perfect Magnetic Conducting Surfaces) และตัวนำไฟฟ้าสมบูรณ์ (Perfect Electric Conducting) บริเวณด้านบนและด้านล่างของแพตช์กระจายสัญญาณ



รูปที่ 2.6 โครงสร้างของแพตช์กระจายสัญญาณรูปสี่เหลี่ยมผืนผ้า [34]

การวิเคราะห์โหมดของสนามแม่เหล็กไฟฟ้า (TM mode) ภายในโพรงสามารถอธิบายได้โดย ศักย์เวกเตอร์แสดงได้ดังรูปที่ 2.6 ปริมาตรภายใต้แพตช์กระจายสัญญาณสามารถนำเสนอได้ด้วยโพรงรูปสี่เหลี่ยมผืนผ้าที่มีค่าไดอิเล็กตริก (ϵ_r) และกำหนดให้วัสดุฐานรองที่ขนาดเท่ากับแพตช์กระจายสัญญาณ โดยศักย์เวกเตอร์ (A_x) สามารถคำนวณหาค่าได้โดยสมการที่ 2.1

$$\nabla^2 A_x + k^2 A_x = 0 \quad (2.1)$$

ซึ่งผลเฉลยสามารถเขียนได้ด้วยการคำนวณหาตัวแปรแยกตั้งสมการที่ 2.2

$$A_x = [A_1 \cos(k_x x) + B_1 \sin(k_x x)] [A_2 \cos(k_y y) + B_2 \sin(k_y y)] [A_3 \cos(k_z z) + B_3 \sin(k_z z)] \quad (2.2)$$

โดยที่

k_x คือ เลขคลื่นในสุญญากาศในทิศทางแกน x

เอกสารนี้เป็นเอกสารที่สงวนไว้สำหรับการใช้งานเพื่อการศึกษาเท่านั้น ไม่อนุญาตให้นำไปใช้ประโยชน์ด้านการค้า ไม่ว่าจะกรณีใดๆ ทั้งสิ้น อีกทั้งห้ามมิให้ดัดแปลงเนื้อหา และต้องอ้างอิงถึงเจ้าของเอกสารทุกครั้งที่มีการนำไปใช้

k_y คือ เลขคลื่นในสุญญากาศในทิศทางแกน y

k_z คือ เลขคลื่นในสุญญากาศในทิศทางแกน z

สนามไฟฟ้าและสนามแม่เหล็กภายในโพรงซึ่งสัมพันธ์กับศักย์เวกเตอร์ (A_x) ได้จากสมการที่ 2.3

$$\begin{aligned} E_x &= -j \frac{1}{\omega\mu\epsilon} \left(\frac{\partial^2}{\partial x^2} + k^2 \right) A_x, \quad H_x = 0 \\ E_y &= -j \frac{1}{\omega\mu\epsilon} \frac{\partial^2 A_x}{\partial x \partial y}, \quad H_y = \frac{1}{\mu} \frac{\partial A_x}{\partial z} \\ E_z &= -j \frac{1}{\omega\mu\epsilon} \frac{\partial^2 A_x}{\partial x \partial z}, \quad H_z = -\frac{1}{\mu} \frac{\partial A_x}{\partial y} \end{aligned} \quad (2.3)$$

ดังนั้นผลเฉลยสุดท้ายของศักย์เวกเตอร์ (A_x) ภายในโพรงแสดงได้ดังสมการที่ 2.4

$$A_x = A_{mnp} \cos(k_x x') \cos(k_y y') \cos(k_z z') \quad (2.4)$$

โดยที่

A_{mnp} คือ ขนาดของค่าสัมประสิทธิ์แต่ละโหมด mnp

เลขคลื่น k_x, k_y, k_z สามารถคำนวณได้จากสมการที่ 2.5

$$\left. \begin{aligned} k_x &= \left(\frac{m\pi}{h} \right), \quad m = 0, 1, 2, \dots \\ k_y &= \left(\frac{n\pi}{L} \right), \quad n = 0, 1, 2, \dots \\ k_z &= \left(\frac{p\pi}{W} \right), \quad p = 0, 1, 2, \dots \end{aligned} \right\} m = n = p \neq 0 \quad (2.5)$$

โดยที่

mnp คือ จำนวนเลขของสนามไฟฟ้าครึ่งวงกลมที่แปรผันในทิศทาง x, y, z ตามลำดับ

เนื่องจากเลขคลื่น k_x, k_y, k_z อยู่ภายใต้ข้อจำกัดดังสมการที่ 2.6

$$k_x^2 + k_y^2 + k_z^2 = \left(\frac{m\pi}{h} \right)^2 + \left(\frac{n\pi}{L} \right)^2 + \left(\frac{p\pi}{W} \right)^2 = k_r^2 = \omega_x^2 \mu\epsilon \quad (2.6)$$

ความถี่เรโซแนนซ์ภายในโพรงสามารถคำนวณหาได้จากสมการที่ 2.7

เอกสารนี้เป็นเอกสารที่สงวนไว้สำหรับการใช้งานเพื่อการศึกษาเท่านั้น ไม่อนุญาตให้นำไปใช้ประโยชน์ด้านการค้า
ไม่ว่ากรณีใดๆ ทั้งสิ้น อีกทั้งห้ามมิให้ดัดแปลงเนื้อหา และต้องอ้างอิงถึงเจ้าของเอกสารทุกครั้งที่มีการนำไปใช้

$$(f_r)_{mnp} = \frac{1}{2\pi\sqrt{\mu\epsilon}} \sqrt{\left(\frac{m\pi}{h}\right)^2 + \left(\frac{n\pi}{L}\right)^2 + \left(\frac{p\pi}{W}\right)^2} \quad (2.7)$$

ผลเฉลยสุดท้ายของสนามไฟฟ้าและสนามแม่เหล็กภายในโพรงสามารถแสดงได้ดังสมการที่ 2.8

$$\begin{aligned} E_x &= -j \frac{(k^2 - k_x^2)}{\omega\mu\epsilon} A_{mnp} \cos(k_x x') \cos(k_y y') \cos(k_z z') \\ E_y &= -j \frac{k_x k_y}{\omega\mu\epsilon} A_{mnp} \sin(k_x x') \sin(k_y y') \sin(k_z z') \\ E_z &= -j \frac{k_x k_z}{\omega\mu\epsilon} A_{mnp} \sin(k_x x') \cos(k_y y') \sin(k_z z') \\ H_x &= 0 \\ H_y &= -\frac{k_z}{\mu} A_{mnp} \cos(k_x x') \cos(k_y y') \sin(k_z z') \\ H_z &= \frac{k_y}{\mu} A_{mnp} \cos(k_x x') \sin(k_y y') \cos(k_z z') \end{aligned} \quad (2.8)$$

เพื่อคำนวณหาโหมดหลัก (Dominant mode) ที่สอดคล้องกับความถี่เรโซแนนซ์ต่ำสุดสำหรับสายอากาศไมโครสตริปภายใต้ข้อจำกัด $h \ll L$ และ $h \ll W$ และถ้าหาก $L > W > h$ แสดงดังได้รูปที่ 2.7(ก) และสามารถคำนวณโหมดต่ำสุด TM_{10} ได้จากสมการที่ 2.9

$$(f_r)_{010} = \frac{1}{2L\sqrt{\mu\epsilon}} = \frac{v_0}{2L\sqrt{\epsilon_r}} \quad (2.9)$$

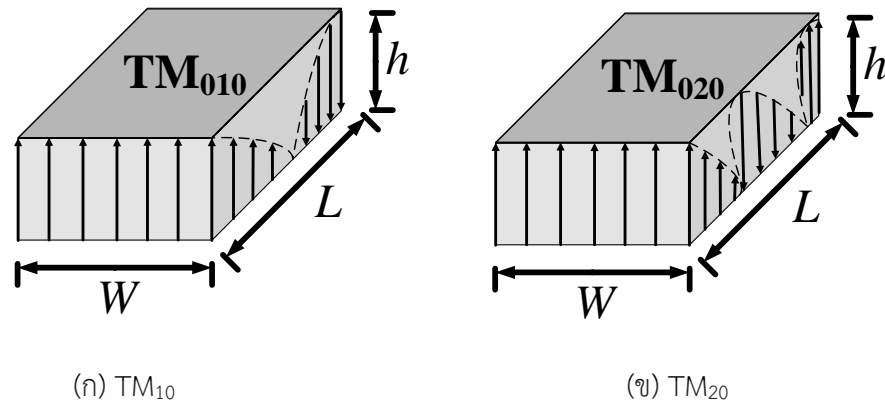
โดยที่

v_0 คือ ความเร็วแสงในสุญญากาศ

ถ้าหาก $L > L/2 > W > h$ แสดงได้ดังรูปที่ 2.7(ข) และสามารถคำนวณหาโหมดที่สอง TM_{20} ได้จากสมการที่ 2.10

$$(f_r)_{020} = \frac{1}{L\sqrt{\mu\epsilon}} = \frac{v_0}{L\sqrt{\epsilon_r}} \quad (2.10)$$

เอกสารนี้เป็นเอกสารที่สงวนไว้สำหรับการใช้งานเพื่อการศึกษาเท่านั้น ไม่อนุญาตให้นำไปใช้ประโยชน์ด้านการค้า
ไม่ว่ากรณีใดๆ ทั้งสิ้น อีกทั้งห้ามมิให้ดัดแปลงเนื้อหา และต้องอ้างอิงถึงเจ้าของเอกสารทุกครั้งที่มีการนำไปใช้

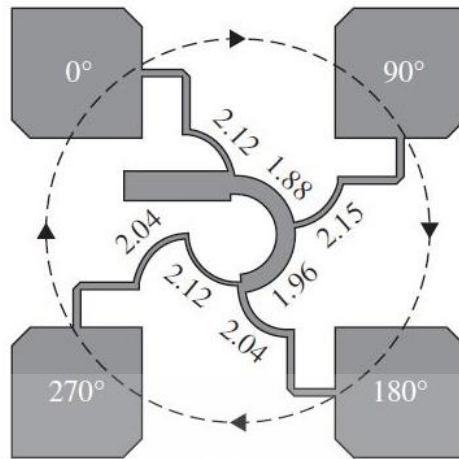


รูปที่ 2.7 โหมดของสนามไฟฟ้าภายในโพรง [34]

การใช้แบบจำลองโพรงในการวิเคราะห์ความถี่เรโซแนนซ์ของสายอากาศไมโครสตริปที่สอดคล้องกับ TM_{10} และ TM_{20} นั้นมีความสำคัญในการอธิบายการเกิดเรโซแนนซ์ของแถบความถี่กว้างสำหรับการออกแบบสายอากาศที่จะนำเสนอต่อไป

2.1.2 สายอากาศแถวลำดับและโครงข่ายการป้อนสัญญาณ (Antenna Arrays and Feed Networks)

ในรายละเอียดข้างต้นนั้นกล่าวถึงสายอากาศไมโครสตริปแบบเดี่ยวซึ่งได้รับความนิยมเป็นอย่างมาก แม้กระนั้นได้ถูกนำมาประยุกต์ใช้งานในรูปแบบของสายอากาศแถวลำดับ (Antenna Array) อีกด้วย เนื่องมาจากสายอากาศไมโครสตริปแบบเดี่ยวนั้นมีอัตราขยาย (Gain) และความกว้างแถบความถี่ต่ำ ดังนั้นสายอากาศแถวลำดับจึงถูกนำมาประยุกต์ใช้เพื่อการรับหรือส่งสัญญาณ (High gain) สำหรับการสื่อสารระยะไกลแต่มีก่ประสบบัญหาก็กับขนาดของสายอากาศที่ใหญ่ขึ้น สายอากาศลำดับแถวไม่เพียงแต่สามารถเพิ่มอัตราขยายได้แต่ยังนำมาประยุกต์ใช้ในการขยายความกว้างแถบความถี่ของการโพลาไรซ์แบบวงกลมได้อีกด้วยโดยอาศัยโครงข่ายการป้อนสัญญาณที่ถูกออกแบบมาเพื่อการแบ่งกำลังงานเท่ากันแต่มีเฟสต่างกัน 90° สำหรับแต่ละองค์ประกอบของสายอากาศแถวลำดับซึ่งโดยส่วนใหญ่มีจำนวน 4 องค์ประกอบสำหรับโพลาไรซ์แบบวงกลม แถบความถี่กว้าง ดังนั้นโครงข่ายการป้อนสัญญาณที่หมุนวนตามลำดับ (Sequentially-rotated Feed Network) จึงถูกนำมาประยุกต์ใช้ในสายอากาศแถวลำดับจำนวน 2×2 องค์ประกอบ แสดงได้ดังรูปที่ 2.8 โดยโครงข่ายการป้อนสัญญาณที่หมุนวนตามลำดับนั้นประกอบไปด้วยพอร์ตขาเข้าจำนวน 1 พอร์ตและพอร์ตขาออกจำนวน 4 พอร์ต (0° 90° 180° 270°)



รูปที่ 2.8 โครงข่ายการป้อนสัญญาณที่หมุนวนตามลำดับ (Sequentially-rotated Feed Network) [35]

จากรูปที่ 2.9 โครงข่ายการป้อนสัญญาณที่หมุนวนตามลำดับใช้หลักการของทฤษฎีสายนำสัญญาณ (Transmission Line Theory) โดยอาศัยการแมตซ์อิมพีแดนซ์แบบหม้อแปลงเศษหนึ่งส่วนสี่ของความยาวคลื่น (Quarter-wavelength Transformer) กล่าวคือ การทำแมตซ์อิมพีแดนซ์ในแต่ละส่วนของโครงข่ายการป้อนสัญญาณหมุนวนตามลำดับที่สัมพันธ์กับสายอากาศแถวลำดับจำนวน 4 องค์ประกอบ โดยใช้ความยาวเป็น $\lambda/4$ ซึ่งเปรียบเสมือนหม้อแปลงที่มีความสัมพันธ์ระหว่างอิมพีแดนซ์คุณลักษณะ (Characteristic Impedance, Z_0) อิมพีแดนซ์ขาเข้า (Input Impedance, Z_{in}) และอิมพีแดนซ์ของโหลด (Load Impedance, Z_L) ซึ่งสามารถแสดงความสัมพันธ์ได้จากสมการที่ 2.11 – 2.14

$$Z_{in} = Z_0 \frac{Z_L + jZ_0 \tanh(\beta l)}{Z_0 + jZ_L \tanh(\beta l)} \quad (2.11)$$

$$\beta = \frac{2\pi}{\lambda}, l = \frac{\lambda}{4}, \beta l = \frac{\pi}{2} \quad (2.12)$$

$$Z_{in} = \lim_{\beta l \rightarrow \pi/2} Z_0 \frac{Z_L + jZ_0 \tanh(\beta l)}{Z_0 + jZ_L \tanh(\beta l)} = Z_0 \frac{jZ_0}{jZ_L} = \frac{Z_0^2}{Z_L} \quad (2.13)$$

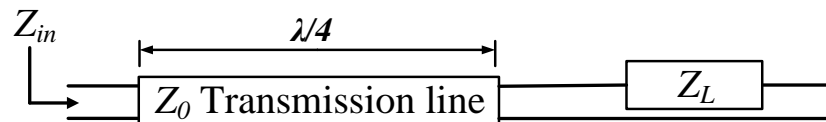
$$\frac{Z_{in}}{Z_0} = \frac{Z_0}{Z_L} \quad (2.14)$$

โดยที่

β คือ เลขคลื่นเชิงมุม

l คือ ความยาวของสายนำสัญญาณ

เอกสารนี้เป็นเอกสารที่สงวนไว้สำหรับการใช้งานเพื่อการศึกษาเท่านั้น ไม่อนุญาตให้นำไปใช้ประโยชน์ด้านการค้า ไม่ว่าจะกรณีใดๆ ทั้งสิ้น อีกทั้งห้ามมิให้ดัดแปลงเนื้อหา และต้องอ้างอิงถึงเจ้าของเอกสารทุกครั้งที่มีการนำไปใช้



รูปที่ 2.9 หม้อแปลงเศษหนึ่งส่วนสี่ของความยาวคลื่น [34]

จากรูปที่ 2.10(ก) – 2.10(ข) แสดงโครงข่ายการป้อนสัญญาณที่หมุนวนตามลำดับแบบการป้อนเดี่ยว (Single Feed) และวงจรสมมูล ตามลำดับ การวิเคราะห์การแบ่งกำลังงานและอิมพีแดนซ์ของโครงข่ายการป้อนสัญญาณที่หมุนวนตามลำดับนั้นสามารถกระทำได้โดยอาศัยวงจรสมมูลดังรูปที่ 2.10(ข) โดยกำหนดให้ อิมพีแดนซ์คุณลักษณะมีค่าเท่ากับ 50Ω และอิมพีแดนซ์ของแต่ละองค์ประกอบของสายอากาศแถวลำดับมีค่าเท่ากับ 70Ω ซึ่งสามารถคำนวณการแบ่งกำลังงานได้จากสมการที่ 2.15 – 2.17

$$Z_{in} = Z_0, P_1 = P_2 = P_3 = P_4 = \frac{1}{4} P_0 \quad (2.15)$$

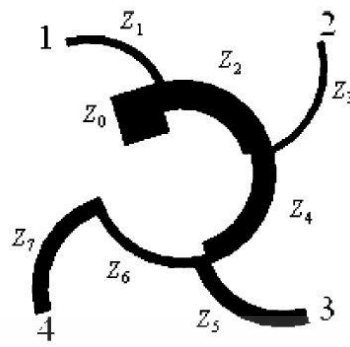
$$Z_{in} = Z_0, P_{in}'' = P_4 = \frac{1}{4} P_0 \quad (2.16)$$

$$P_{in}'' = P_3 + P_{in}''' = \frac{1}{2} P_0, P_{in}' = P_2 + P_{in}'' = \frac{3}{4} P_0 \quad (2.17)$$

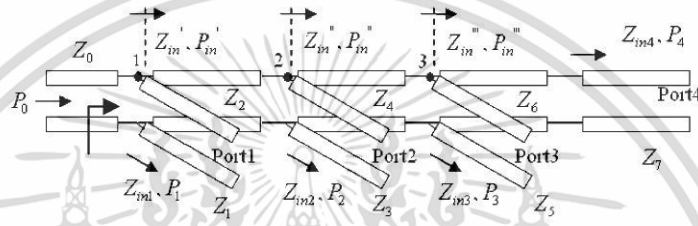
การคำนวณหาค่าอิมพีแดนซ์ของโครงข่ายการป้อนสัญญาณที่หมุนวนตามลำดับโดยใช้หลักการแมตซ์อิมพีแดนซ์แบบหม้อแปลงเศษหนึ่งส่วนสี่ของความยาวคลื่นนั้นสามารถคำนวณหาได้จากสมการที่ 2.18

$$\begin{aligned} Z_{in4} &= \frac{Z_7^2}{Z_f}, Z_{in}''' = \frac{Z_6^2}{Z_{in4}}, Z_{in3} = \frac{Z_5^2}{Z_f} \\ Z_{in5} &= Z_{in}''' \\ Z_{in}'' &= \frac{Z_4^2}{Z_{in3} // Z_{in}'''} = \frac{Z_4^2}{1/2 Z_{in3}}, Z_{in}'' = \frac{1}{2} Z_{in2} \\ Z_{in2} &= \frac{Z_3^2}{Z_f} \\ Z_{in}' &= \frac{Z_2^2}{Z_{in2} // Z_{in}''} = \frac{Z_2^2}{1/3 Z_{in2}} \\ Z_{in1} &= 3Z_{in}', Z_0 = Z_{in1} // Z_{in}' = \frac{1}{4} Z_{in1} \\ Z_{in1} &= \frac{Z_1^2}{Z_f} \end{aligned} \quad (2.18)$$

เอกสารนี้เป็นเอกสารที่สงวนไว้สำหรับการใช้งานเพื่อการศึกษาเท่านั้น ไม่อนุญาตให้นำไปใช้ประโยชน์ด้านการค้า ไม่ว่าจะกรณีใดๆ ทั้งสิ้น อีกทั้งห้ามมิให้ดัดแปลงเนื้อหา และต้องอ้างอิงถึงเจ้าของเอกสารทุกครั้งที่มีการนำไปใช้



(ก) โครงสร้าง



(ข) วงจรสมมูล

รูปที่ 2.10 โครงข่ายการป้อนสัญญาณที่หมุนวนตามลำดับ [35]

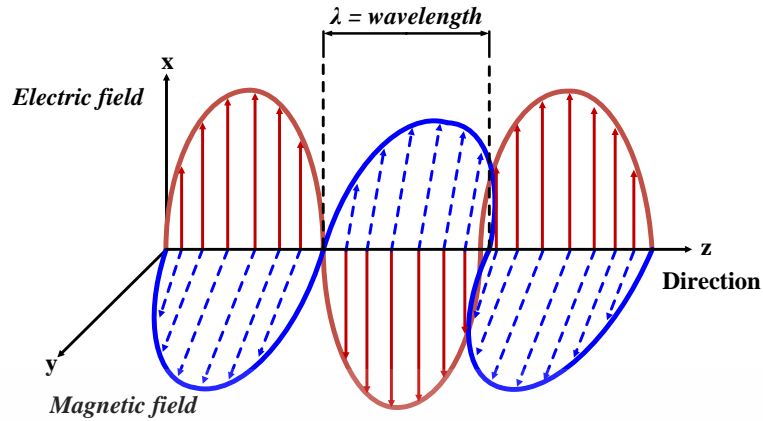
2.2 การโพลาไรซ์ (Polarization)

การโพลาไรซ์ของสายอากาศสามารถอธิบายได้โดยการศึกษาทิศทางของสนามไฟฟ้า (\vec{E}) ที่เปลี่ยนแปลงไปเมื่อเวลาเปลี่ยนซึ่งกระทำโดยวิธีการสังเกต สนามไฟฟ้าจากมุมมองด้านหลังของคลื่นที่แพร่กระจายออกไป โดยทั่วไปการโพลาไรซ์ของคลื่นตามแกนระนาบหรือเรียกว่าคลื่นระนาบจะประกอบไปด้วยสนามไฟฟ้าและสนามแม่เหล็กที่มีทิศทางไม่แน่นอนซึ่งแสดงดังรูปที่ 2.11 และสามารถอธิบายได้จากสมการที่ 2.19

$$\left. \begin{aligned} \vec{E} &= (M_x \hat{a}_x + M_y \hat{a}_y) k^2 e^{-jkz} \\ \vec{H} &= (-M_x \hat{i}_y + M_y \hat{i}_x) (\omega \epsilon - j\sigma) k e^{-jkz} \end{aligned} \right\} \quad (2.19)$$

พบว่าถ้าหากทิศทางเฟสของสนามไฟฟ้า (\vec{E}) และสนามแม่เหล็ก (\vec{H}) มี M_x และ M_y ไม่เท่ากันเมื่อเปลี่ยนแปลงไปตามเวลา การอธิบายของโพลาไรซ์นี้สามารถอธิบายได้โดยสังเกตขนาดแอมพลิจูดสูงสุดของสนามไฟฟ้าในระนาบตั้งฉากกับทิศทางการเคลื่อนที่หลักซึ่งสามารถจำแนกได้ 2 ประเภท คือ การโพลาไรซ์ที่ขนานกับพื้นโลกเรียก การโพลาไรซ์นั้นว่าการโพลาไรซ์แนวนอน (Horizontal Polarization) และการโพลาไรซ์ที่ตั้งฉากกับพื้นโลกเรียกว่า การโพลาไรซ์แบบแนวตั้ง (Vertical Polarization)

เอกสารนี้เป็นเอกสารที่สงวนไว้สำหรับการใช้งานเพื่อการศึกษาเท่านั้น ไม่อนุญาตให้นำไปใช้ประโยชน์ด้านการค้า ไม่ว่าจะกรณีใดๆ ทั้งสิ้น อีกทั้งห้ามมิให้ดัดแปลงเนื้อหา และต้องอ้างอิงถึงเจ้าของเอกสารทุกครั้งที่มีการนำไปใช้



รูปที่ 2.11 คลื่นระนาบของสนามไฟฟ้าและสนามแม่เหล็ก [36]

รูปแบบของการโพลาไรซ์สามารถสังเกตได้จากคุณสมบัติของสนามไฟฟ้าที่แพร่กระจายออกไป โดยอธิบายได้จากขนาดและทิศทางของเวกเตอร์สนามไฟฟ้าที่แปรผันตามเวลาซึ่งสามารถแบ่งการโพลาไรซ์ออกได้เป็น 3 ชนิด คือ การโพลาไรซ์เชิงเส้น (Linear Polarization) การโพลาไรซ์วงกลม (Circular Polarization) และการโพลาไรซ์วงรี (Elliptical Polarization)

การพิจารณาทิศทางการหมุนของสนามไฟฟ้าสามารถแบ่งออกได้เป็น 2 ทิศทาง คือ การหมุนในทิศทางตามเข็มนาฬิกา (Clockwise) เรียกว่า การโพลาไรซ์หมุนขวา (Right-hand Polarization) และการหมุนในทิศทางทวนเข็มนาฬิกา (Counter Clockwise) เรียกว่า การโพลาไรซ์หมุนซ้าย (Left-hand Polarization) โดยระนาบคลื่นในทิศทาง $-z$ ของสนามไฟฟ้า ณ ช่วงเวลาใด ๆ สามารถแสดงได้จากสมการที่ 2.20

$$\vec{E}(z;t) = \hat{a}_x E_x(z;t) + \hat{a}_y E_y(z;t) \quad (2.20)$$

โดยสนามไฟฟ้า ณ ขณะเวลานั้นซึ่งมีความสัมพันธ์กับค่าสนามไฟฟ้าเชิงซ้อนดังสมการที่ 2.21 – 2.22

$$E_x(z;t) = E_{x0} \cos(\omega t + kz + \phi_x) \quad (2.21)$$

$$E_y(z;t) = E_{y0} \cos(\omega t + kz + \phi_y) \quad (2.22)$$

เมื่อ E_{x0} และ E_{y0} คือ ค่าขนาดแอมพลิจูดสูงสุดของสนามไฟฟ้าในทิศทางแกน x และ y ตามลำดับ

2.2.1 โพลาริเซชันเชิงเส้น (Linear Polarization)

การโพลาไรซ์เชิงเส้นสามารถพิจารณาได้จากทิศทางของสนามไฟฟ้า (\vec{E}) ซึ่งมีค่าคงที่ขณะที่คลื่นกำลังแพร่กระจาย โดยการโพลาไรซ์เชิงเส้นมีความต่างเฟสระหว่างสนามไฟฟ้าในแนวตั้งและแนวนอนซึ่งสามารถแสดงดังสมการที่ 2.23

เอกสารนี้เป็นเอกสารที่สงวนไว้สำหรับการใช้งานเพื่อการศึกษาเท่านั้น ไม่อนุญาตให้นำไปใช้ประโยชน์ด้านการค้า ไม่ว่าจะกรณีใดๆ ทั้งสิ้น อีกทั้งห้ามมิให้ดัดแปลงเนื้อหา และต้องอ้างอิงถึงเจ้าของเอกสารทุกครั้งที่มีการนำไปใช้

$$\Delta\phi = \phi_y - \phi_x = n\pi, n = 0, 1, 2, 3, \dots \quad (2.23)$$

การโพลาไรซ์เชิงเส้นสามารถจำแนกออกได้เป็น 3 ชนิด คือ การโพลาไรซ์เชิงเส้นแนวตั้ง (Vertical Polarization) กล่าวคือ สนามไฟฟ้า (\vec{E}) มีทิศทางตั้งฉากกับพื้นโลกในขณะที่คลื่นกำลังเคลื่อนที่ การโพลาไรซ์เชิงเส้นแนวนอน (Horizontal Polarization) คือ สนามไฟฟ้า (\vec{E}) มีทิศทางขนานกับพื้นโลกในขณะที่คลื่นกำลังเคลื่อนที่ และการโพลาไรซ์เชิงเส้นแนวเอียง (Slant Polarization) คือ สนามไฟฟ้า (\vec{E}) มีทิศทางเอียงหรือเฉียงกับพื้นโลกในขณะที่คลื่นกำลังเคลื่อนที่

2.2.2 โพลาริซวงกลม (Circular Polarization)

การโพลาไรซ์วงกลมสามารถพิจารณาได้จากทิศทางของสนามไฟฟ้า (\vec{E}) ที่เปลี่ยนแปลงตลอดเวลาโดยมีแอมพลิจูดของสนามไฟฟ้าหมุนเป็นลักษณะวงกลมเมื่อแปรผันตามเวลา ซึ่งเงื่อนไขการเกิดโพลาไรซ์วงกลมนั้นประกอบไปด้วยตั้งนี้ องค์ประกอบของสนามไฟฟ้าเชิงเส้น (\vec{E}) ทั้ง 2 องค์ประกอบต้องมีขนาดเท่ากันและมีความต่างเฟสเป็นจำนวนเท่าของ $\pm\frac{\pi}{2}$ ในทิศทาง การแพร่กระจายคลื่น โดยหากคลื่นเคลื่อนที่ในทิศทาง +z จะสามารถคำนวณหาความต่างเฟสของสนามไฟฟ้า (\vec{E}) ระหว่างแนวตั้งและแนวนอนได้ดังสมการที่ 2.24 - 2.26

$$E_{x_0} = E_{y_0} \quad (2.24)$$

ซึ่งสัมพันธ์กับ

$$\Delta\phi = \phi_y - \phi_x = +\frac{(1+4n)\pi}{2}; n = 0, 1, 2, 3, \dots \text{ CW} \quad (2.25)$$

$$\Delta\phi = \phi_y - \phi_x = -\frac{(1+4n)\pi}{2}; n = 0, 1, 2, 3, \dots \text{ CCW} \quad (2.26)$$

โดย

CW (Clockwise) คือ สนามไฟฟ้าในทิศทางการหมุนตามเข็มนาฬิกา

CCW (Counter Clockwise) คือ สนามไฟฟ้าในทิศทางการหมุนทวนเข็มนาฬิกา

2.2.3 โพลาริซวงรี (Elliptical Polarization)

การโพลาไรซ์วงรีสามารถพิจารณาได้จากทิศทางของสนามไฟฟ้า (\vec{E}) ที่เปลี่ยนแปลงตลอดเวลาโดยมีแอมพลิจูดของสนามไฟฟ้าหมุนเป็นลักษณะวงกลมเมื่อแปรผันตามเวลาโดยมีเงื่อนไขการเกิดโพลาไรซ์วงรีซึ่งสามารถแบ่งออกได้เป็น 2 กรณี คือ องค์ประกอบของสนามไฟฟ้า (\vec{E}) เชิงเส้นทั้ง 2 องค์ประกอบมีขนาดไม่เท่ากันและมีความต่างเฟสเป็นจำนวนเท่าของ $\pm\pi$ ดังสมการที่ 2.27 - 2.29

เอกสารนี้เป็นเอกสารที่สงวนไว้สำหรับการใช้งานเพื่อการศึกษาเท่านั้น ไม่อนุญาตให้นำไปใช้ประโยชน์ด้านการค้า ไม่ว่าจะกรณีใดๆ ทั้งสิ้น อีกทั้งห้ามมิให้ดัดแปลงเนื้อหา และต้องอ้างอิงถึงเจ้าของเอกสารทุกครั้งที่มีการนำไปใช้

$$E_{x_0} \neq E_{y_0} \quad (2.27)$$

$$\Delta\phi = \phi_y - \phi_x = +\left(\frac{1}{2} + 2n\right)\pi; \quad n = 0, 1, 2, 3 \dots \text{CW} \quad (2.28)$$

$$\Delta\phi = \phi_y - \phi_x = -\left(\frac{1}{2} + 2n\right)\pi; \quad n = 0, 1, 2, 3 \dots \text{CCW} \quad (2.29)$$

จากรูปที่ 2.12 การโพลาไรซ์วงรีนั้นสังเกตได้จากเวกเตอร์ของสนามไฟฟ้าที่แปรผันตามเวลาไปในตำแหน่งต่าง ๆ ในทิศทางมุมเอียง (Tilted Ellipse) โดยสามารถพิจารณาได้จากแกนหลัก (Major Axis) และแกนรอง (Minor Axis) เรียกว่าอัตราส่วนแกน (Axial Ratio : AR) ซึ่งสามารถคำนวณได้ดังสมการที่ 2.30 – 2.32

$$AR = \frac{\text{Major Axis}}{\text{Minor Axis}} = \frac{OA}{OB} = \frac{|E|_{\max}}{|E|_{\min}} \quad (2.30)$$

$$OA = \left[\frac{1}{2} \left\{ E_{x_0}^2 + E_{y_0}^2 + \sqrt{E_{x_0}^4 + E_{y_0}^4 + 2E_{x_0}^2 E_{y_0}^2 \cos(2\Delta\phi)} \right\} \right]^{\frac{1}{2}} \quad (2.31)$$

$$OB = \left[\frac{1}{2} \left\{ E_{x_0}^2 + E_{y_0}^2 - \sqrt{E_{x_0}^4 + E_{y_0}^4 + 2E_{x_0}^2 E_{y_0}^2 \cos(2\Delta\phi)} \right\} \right]^{\frac{1}{2}} \quad (2.32)$$

โดย

OA คือ แกนหลัก

OB คือ แกนรอง

เมื่อมุม τ คือ มุมเอียงของวงรีโดยเทียบกับแกน y ซึ่งคำนวณได้ดังสมการที่ 2.33

$$\tau = \frac{\pi}{2} - \frac{1}{2} \tan^{-1} \left[\frac{2E_x E_y}{E_x^2 + E_y^2} \cos(\Delta\phi) \right] \quad (2.33)$$

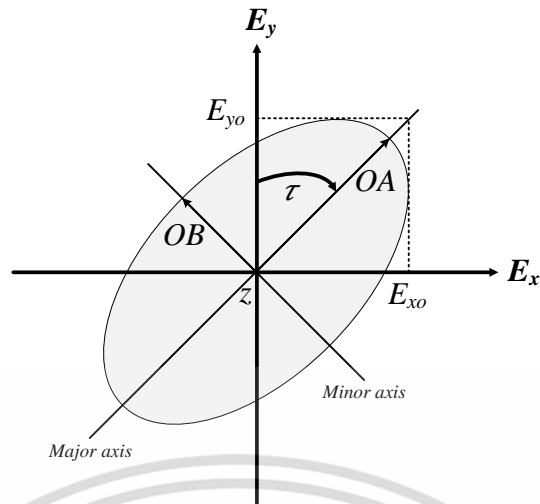
โดย

วงรีในแกนหลัก คือ $\tau = \frac{n\pi}{2}; \quad n = 0, 1, 2, 3 \dots$

วงรีในแกนรอง คือ $E_x(E_y)$ หรือ $E_y(E_x)$

อัตราส่วนแกน คือ $\frac{E_x}{E_y}$ หรือ $\frac{E_y}{E_x}$

เอกสารนี้เป็นเอกสารที่สงวนไว้สำหรับการใช้งานเพื่อการศึกษาเท่านั้น ไม่อนุญาตให้นำไปใช้ประโยชน์ด้านการค้า
ไม่ว่ากรณีใดๆ ทั้งสิ้น อีกทั้งห้ามมิให้ดัดแปลงเนื้อหา และต้องอ้างอิงถึงเจ้าของเอกสารทุกครั้งที่มีการนำไปใช้



รูปที่ 2.12 การโพลาไรซ์วงรีในทิศทางการแพร่กระจายคลื่น +z [36]

ดังที่กล่าวมาในบทความข้างต้น การโพลาไรซ์นั้นสามารถจำแนกออกเป็น 3 กรณีจากการพิจารณา ค่าอัตราส่วนแกน (Axial Ratio, AR) ซึ่งแสดงได้ดังสมการที่ 2.34 – 2.36

กรณีที่ 1 การโพลาไรซ์เชิงเส้นมีค่า $|E|_{\max}$ และ $|E|_{\min} = 0$

$$AR = \frac{|E|_{\max}}{0} = \infty \quad (2.34)$$

กรณีที่ 2 การโพลาไรซ์วงกลมมีค่า $|E|_{\max} = |E|_{\min}$

$$AR = \frac{|E|_{\max}}{|E|_{\min}} = 1 \quad (2.35)$$

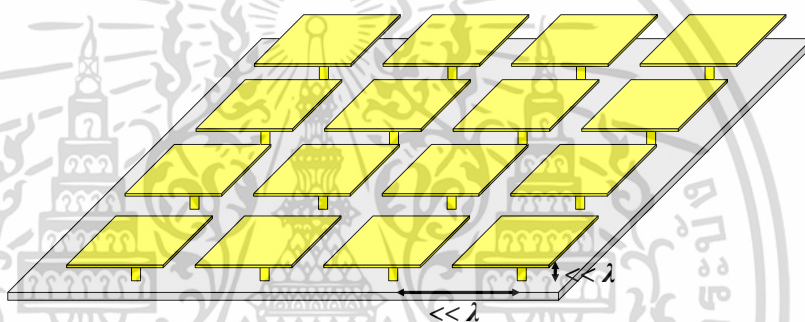
กรณีที่ 3 การโพลาไรซ์วงรีมีค่า $|E|_{\max} > |E|_{\min}$

$$1 < AR < \infty \quad (2.36)$$

นอกจากนี้สายอากาศที่มีคุณสมบัติโพลาไรซ์วงกลมนั้นมีข้อดีกว่าเมื่อเปรียบเทียบกับสายอากาศที่มีคุณสมบัติโพลาไรซ์ประเภทอื่น ๆ ได้แก่ สายอากาศโพลาไรซ์วงกลมนั้นสามารถส่งและรับสัญญาณได้ดีในทุกระนาบทำให้ความเข้มของสัญญาณนั้นไม่สูญหาย สามารถทะลุผ่านสิ่งกีดขวางและแพร่กระจายสัญญาณแบบโค้งงอรอบสิ่งกีดขวางได้ดี และมีความทนทานต่อการเสื่อมสภาพของสัญญาณมากกว่าสายอากาศที่มีโพลาไรซ์ประเภทอื่น ๆ เป็นต้น

2.3 คลื่นพื้นผิว (Surface Waves)

การอธิบายคลื่นพื้นผิวของแม่เหล็กไฟฟ้าในเชิงวิศวกรรมนั้นคือ การเปลี่ยนแปลงของคุณสมบัติทางสนามไฟฟ้าและแม่เหล็กซึ่งเคลื่อนที่บนพื้นผิววัสดุประเภทโลหะซึ่งนิยมนำมาประยุกต์ใช้เพื่อปรับเปลี่ยนคุณสมบัติของพื้นผิวโลหะเพื่อใช้งานในแอปพลิเคชันที่หลากหลาย ได้แก่ พื้นผิวเลือกความถี่ (Frequency Selective Surface : FSS) ถูกออกแบบมาเพื่อทำหน้าที่ในการอนุญาตให้ สะท้อนหรือกรองเฉพาะความถี่ที่ต้องการได้ ตัวนำแม่เหล็กเทียม (Artificial Magnetic Conductor : AMC) ถูกออกแบบมาเพื่อควบคุมการแพร่กระจายหรือควบคุมเฟสในการสะท้อนกลับของคลื่นพื้นผิวรวมถึงควบคุมการโพลาไรซ์ได้ และโครงสร้างช่องว่างแถบแม่เหล็กไฟฟ้า (Electromagnetic Band Gap : EBG) ถูกออกแบบมาเพื่อใช้ในการเปลี่ยนแปลงแบบรูปการแพร่กระจายคลื่นได้ นอกจากนี้ยังถูกนำมาประยุกต์ใช้ในการควบคุมค่าทางไฟฟ้าของแม่เหล็กไฟฟ้าบนพื้นผิวโลหะได้โดยอาศัยการปรับหรือเปลี่ยนค่าของพื้นผิวอิมพีแดนซ์เพื่อให้ทำหน้าที่เป็นตัวสะท้อนหรือดูดซับสัญญาณของสายอากาศได้แสดงได้ดังรูปที่ 2.13



รูปที่ 2.13 คลื่นพื้นผิวบนวัสดุประเภทโลหะ [37]

การเปลี่ยนแปลงค่าของพื้นผิวอิมพีแดนซ์และคุณสมบัติของคลื่นพื้นผิวนั้นสามารถกระทำได้โดยจำแนกออกได้หลากหลายประเภทโดยการเริ่มจากการกำหนดให้พื้นผิวโลหะมีความต้านทาน Z_s และคลื่นพื้นผิวที่กำลังสลายตัวเมื่อมีค่าคงที่การสลายเท่ากับ α ดังรูปที่ 2.13 โดยสามารถใช้สมการของแมกซ์เวลล์ (Maxwell's Equations) เพื่ออธิบายคลื่น TM โหมดบนพื้นผิวที่เปรียบเสมือนเป็นพื้นผิวเหนี่ยวนำ (Inductive Surface) อีกทั้งยังสามารถใช้เพื่อกำหนดความสัมพันธ์ระหว่างความต้านทานของพื้นผิวและคุณสมบัติของคลื่นพื้นผิวซึ่งสามารถอธิบายได้ดังสมการที่ 2.37

$$Z_s = \frac{j\alpha}{\omega\epsilon} \quad (2.37)$$

สำหรับคลื่น TE โหมดบนพื้นผิวที่เปรียบเสมือนเป็นพื้นผิวเก็บประจุ (Capacitive Surface) ซึ่งสามารถอธิบายได้ดังสมการที่ 2.38

$$Z_s = \frac{-j\omega\mu}{\alpha} \quad (2.38)$$

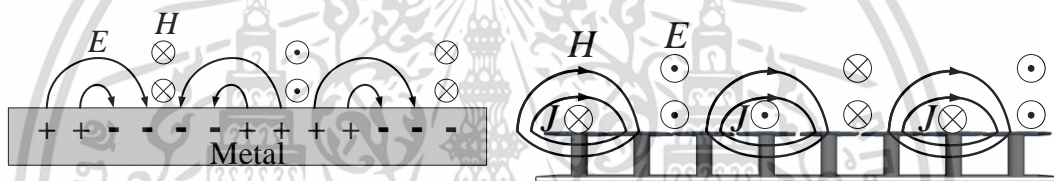
เอกสารนี้เป็นเอกสารที่สงวนไว้สำหรับการใช้งานเพื่อการศึกษาเท่านั้น ไม่อนุญาตให้นำไปใช้ประโยชน์ด้านการค้า ไม่ว่าจะกรณีใดๆ ทั้งสิ้น อีกทั้งห้ามมิให้ดัดแปลงเนื้อหา และต้องอ้างอิงถึงเจ้าของเอกสารทุกครั้งที่มีการนำไปใช้

โดยที่

- ϵ คือ ค่าสภาพยอมไฟฟ้าของพื้นผิว
 μ คือ ค่าซาบซิมแม่เหล็กของพื้นผิว
 ω คือ ความถี่เชิงมุมของคลื่น

โดยคลื่น TM โหมดนั้นต้องอาศัยอิมพีแดนซ์ที่มีค่าเชิงบวก หรือพื้นผิวแบบเหนี่ยวนำ ซึ่งในทางกลับกันคลื่น TE โหมดต้องอาศัยอิมพีแดนซ์ที่มีค่าเชิงลบ หรือพื้นผิวแบบตัวเก็บประจุ

ส่วนใหญ่พื้นผิวโลหะนั้นมีความถี่เชิงมุมเหนี่ยวนำเล็กน้อยตามธรรมชาติ ดังนั้นโดยปกติแล้วพื้นผิวโลหะสามารถรองรับคลื่น TM โหมดได้ในช่วงความถี่แสงเรียกว่าพื้นผิวพลาสมา (Surface Plasmons) ในขณะเดียวกันในช่วงความถี่ไมโครเวฟกลับส่งผลกระทบต่อพื้นผิวโลหะที่มีกระแสพื้นผิวเพียงเล็กน้อยเท่านั้น จากรูปที่ 2.14(ก) แสดงถึงคลื่นพื้นผิว TM โหมดบนโลหะบริสุทธิ์ซึ่งไม่รองรับคลื่นพื้นผิว TE โหมด แต่สำหรับโลหะที่ทำการเคลือบด้วยสารที่มีค่าไดอิเล็กตริกนั้นสามารถรองรับคลื่น TE โหมดที่สัมพันธ์กับความถี่ตัด (Cutoff Frequency) ซึ่งขึ้นอยู่กับค่าคงที่และความหนาของไดอิเล็กตริก



(ก) โครงสร้างโลหะบริสุทธิ์

(ข) โครงสร้าง EBG

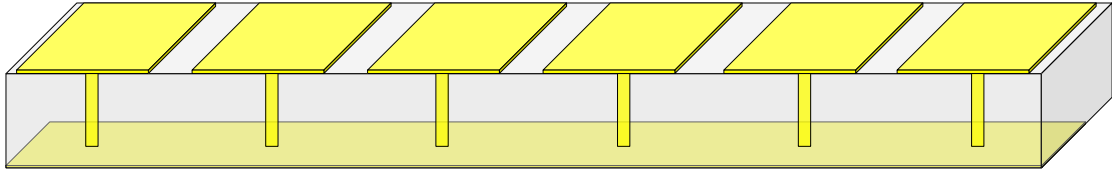
รูปที่ 2.14 คลื่นพื้นผิวของโลหะและคลื่นพื้นผิวอิมพีแดนซ์สูง [37]

จากรูปที่ 2.14(ข) แสดงโครงสร้างช่องว่างแถบแม่เหล็กไฟฟ้า (EBG) ที่มีรูปร่างและการจัดเรียงคล้ายเห็ด (Mushroom-like Structures) สามารถรองรับคลื่นพื้นผิว TE โหมดได้ โดยพื้นผิวโลหะนั้นจะต้องมีคุณสมบัติเป็นพื้นผิวแบบตัวเก็บประจุและความต้านทานของพื้นผิวซึ่งมีลักษณะเหมือนวงจรเรโซแนนซ์ LC ที่ต่อขนานกัน อีกทั้งยังสามารถรองรับคลื่น TM ซึ่งมีคุณสมบัติทางพื้นผิวแบบเหนี่ยวนำ ณ ความถี่ต่ำ และรองรับคลื่น TE ซึ่งมีคุณสมบัติทางพื้นผิวเป็นแบบตัวเก็บประจุ ณ ความถี่สูง

2.4 พื้นผิวอิมพีแดนซ์สูง (High-impedance Surfaces)

จากรูปที่ 2.15 แสดงถึงโครงสร้างพื้นผิวอิมพีแดนซ์สูง (High-impedance surface : HIS) ที่สร้างบนวัสดุฐานรองที่มีค่าไดอิเล็กตริกซึ่งประกอบไปด้วยแผ่นโลหะบางขนาดเล็กมาก ๆ เมื่อเทียบกับความคลื่นที่ใช้ ($\ll \lambda$) เทียบเท่า 2 มิติที่จัดเรียงกันเป็นตาราง นอกจากนี้ยังมีแท่งโลหะเชื่อมต่อระหว่างแผ่นโลหะที่จัดเรียงตารางและระนาบกราวด์โลหะซึ่งมีลักษณะคล้ายเห็ดเพื่อก่อให้เกิดการเหนี่ยวนำไฟฟ้าซึ่งถูกเรียกว่า Lumped Element

เอกสารนี้เป็นเอกสารที่สงวนไว้สำหรับการใช้งานเพื่อการศึกษาเท่านั้น ไม่อนุญาตให้นำไปใช้ประโยชน์ด้านการค้า ไม่ว่าจะกรณีใดๆ ทั้งสิ้น อีกทั้งห้ามมิให้ดัดแปลงเนื้อหา และต้องอ้างอิงถึงเจ้าของเอกสารทุกครั้งที่มีการนำไปใช้



รูปที่ 2.15 โครงสร้างพื้นผิวอิมพีแดนซ์สูงบนวัสดุฐานรอง [37]

จากรูปที่ 2.16 แสดงการจำลองวงจรสมมูลของพื้นผิวอิมพีแดนซ์สูงซึ่งโครงสร้างพื้นผิวอิมพีแดนซ์สูงนั้นก่อให้เกิดสนามไฟฟ้าระหว่างช่องว่างของแผ่นโลหะจัดเรียงรายคาบในแต่ละแผ่น ทำให้สามารถอธิบายได้โดยใช้การจำลองวงจรเรโซแนนซ์ LC เมื่อกำหนดให้ช่องว่างของแผ่นโลหะที่จัดเรียงรายคาบนั้นเป็นตัวเก็บประจุ C โดยจะเกิดการเหนี่ยวนำกระแสผ่านระหว่างแท่งโลหะและระนาบกราวด์ซึ่งสามารถกำหนดให้เป็นตัวเหนี่ยวนำ L โดยสามารถแสดงได้ดังสมการที่ 2.39

$$Z_s = \frac{j\omega L}{1 - \omega^2 LC} \quad (2.39)$$

เมื่อความถี่เรโซแนนซ์สามารถคำนวณได้ดังสมการที่ 2.40

$$\omega_0 = \frac{1}{\sqrt{LC}} \quad (2.40)$$



(ก) ตัวเก็บประจุและตัวเหนี่ยวนำ
ของพื้นผิวอิมพีแดนซ์สูง

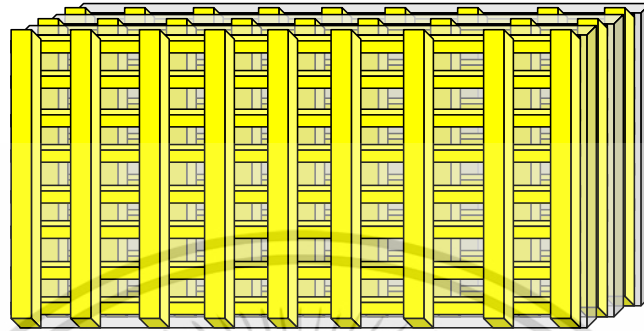
(ข) วงจรเรโซแนนซ์ LC แบบขนาน

รูปที่ 2.16 วงจรสมมูลของพื้นผิวอิมพีแดนซ์สูง [37]

2.5 อภิวัด (Metamaterial)

วัสดุที่ประดิษฐ์ขึ้นโดยใช้ทฤษฎีทางด้านวิศวกรรม (Engineering Materials) ประกอบไปด้วย วัสดุทั่วไป (Ordinary Material) วัสดุที่ประกอบขึ้น (Composite Material) วัสดุคริสตัลโฟโตนิก (Photonic Crystals) และอภิวัด (Metamaterial) ซึ่งเป็นวัสดุที่จะกล่าวถึงในหัวข้อนี้ อภิวัดนั้นมีคุณสมบัติทางไฟฟ้าที่ไม่ปรากฏอยู่ตามธรรมชาติโดยทั่วไป ซึ่งคุณสมบัติของอภิวัดเหล่านั้นส่วนใหญ่จะเกิดมาจากโครงสร้างของอภิวัดรวมไปถึงการจัดเรียงรายคาบของวัสดุประเภทโลหะขนาดเล็กกว่าความยาวคลื่นมาก ๆ ดังรูปที่ 2.17 ซึ่งคุณสมบัติทางไฟฟ้าของอภิวัดนั้นเกิดในระดับมาโครในรูปแบบของค่าสภาพยอมไฟฟ้าประสิทธิผล (Effective Permittivity : ϵ_{eff}) และเอกสารนี้เป็นเอกสารที่สงวนไว้สำหรับการใช้งานเพื่อการศึกษาเท่านั้น ไม่อนุญาตให้นำไปใช้ประโยชน์ในการค้า ไม่ว่ากรณีใดๆ ทั้งสิ้น อีกทั้งห้ามมิให้ดัดแปลงเนื้อหา และต้องอ้างอิงถึงเจ้าของเอกสารทุกครั้งที่มีการนำไปใช้

ค่าความซึมซาบแม่เหล็กประสิทธิผล (Effective Permeability : μ_{eff}) โดยส่วนใหญ่แล้วอภิวัดจะถูกจัดวางเรียงรายคาบบนวัสดุตัวกลางที่มีค่าไดอิเล็กตริกซึ่งจะมีขนาด รูปร่าง ตำแหน่งการจัดเรียง รายคาบ และองค์ประกอบอื่น ๆ ทำให้เกิดผลกระทบต่อแม่เหล็กไฟฟ้าที่มีคุณสมบัติไม่ปรากฏอยู่ตามธรรมชาติโดยทั่วไปและมีความแตกต่างกันไปตามการประยุกต์ใช้งาน



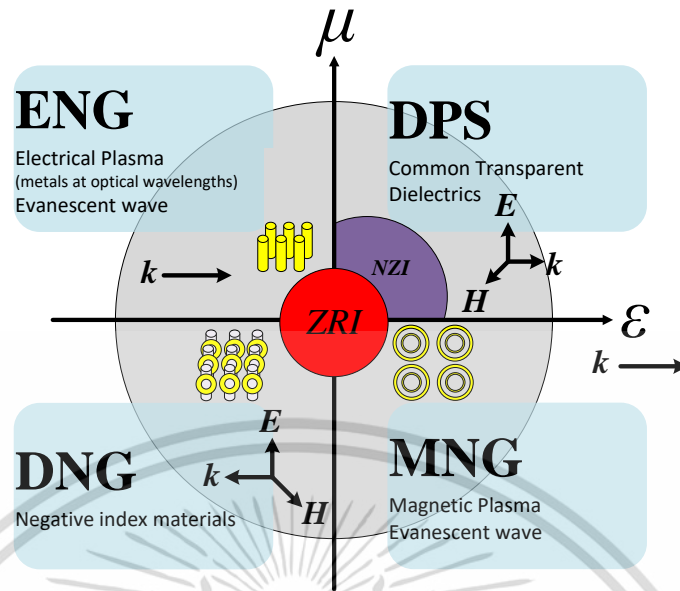
รูปที่ 2.17 ตัวอย่างโครงสร้างอภิวัด [37]

จากตารางที่ 2.1 และรูปที่ 2.18 แสดงค่าทางไฟฟ้าและประเภทของอภิวัดตามลำดับเมื่อจำแนกตามค่าสภาพยอมไฟฟ้าและค่าความซึมซาบแม่เหล็กประสิทธิผล พบว่าด้านซ้ายมือของตัวกลาง (Right-handed medium) จะมีค่าสภาพยอมไฟฟ้า ($\epsilon > 0$) และค่าความซึมซาบแม่เหล็ก ($\mu > 0$) เป็นบวกทั้งคู่เรียกวัสดุชนิดนี้ว่า Double Positive Medium (DPS) ส่งผลให้วัสดุมีดัชนีหักเห (Refractive Index: n) เป็นบวกจาก $n = \pm\sqrt{\epsilon\mu}$ ซึ่งสามารถพบได้โดยทั่วไปในธรรมชาติ และด้านซ้ายมือของตัวกลาง (Left-handed medium) ค่าสภาพยอมไฟฟ้า ($\epsilon < 0$) และค่าความซึมซาบแม่เหล็ก ($\mu < 0$) เป็นลบทั้งคู่ส่งผลให้วัสดุมีดัชนีหักเห (Refractive Index: n) เป็นลบจาก $n = \pm\sqrt{\epsilon\mu}$ เรียกวัสดุชนิดนี้ว่า Double Negative Medium (DNG) ซึ่งเป็นวัสดุที่ไม่สามารถพบได้โดยทั่วไปตามธรรมชาติ

ตารางที่ 2.1 ค่าทางไฟฟ้าของอภิวัด

ค่าสภาพยอมไฟฟ้า (ϵ)	ค่าความซึมซาบแม่เหล็ก (μ)	รายละเอียด
$\epsilon = -\epsilon_0$	$\mu = -\mu_0$	มีคุณสมบัติตรงกันข้ามกับอากาศในด้านซ้ายมือของตัวกลางจะได้เลนส์ที่สมบูรณ์
$\epsilon = 0$	$\mu = 0$	เป็นคุณสมบัติที่ไม่มีอยู่จริงทำให้เกิดปรากฏการณ์ Perfect Tunneling Effect
$\epsilon > -\epsilon_0$	$\mu = \mu_0$	เป็นคุณสมบัติที่ไม่ปรากฏตามธรรมชาติ
$\epsilon = \mu$		มีคุณสมบัติอิมพีแดนซ์แมตซึ่งทั้งด้านซ้ายมือและขวามือทำให้ไม่เกิดการสะท้อนกลับ

เอกสารนี้เป็นเอกสารที่สงวนไว้สำหรับการใช้งานเพื่อการศึกษาเท่านั้น ไม่อนุญาตให้นำไปใช้ประโยชน์ด้านการค้า ไม่ว่าจะกรณีใดๆ ทั้งสิ้น อีกทั้งห้ามมิให้ดัดแปลงเนื้อหา และต้องอ้างอิงถึงเจ้าของเอกสารทุกครั้งที่มีการนำไปใช้



รูปที่ 2.18 แผนผังประเภทของอภิวัด [37]

นอกจากนี้ประเภทของอภิวัดที่มีค่าสภาพยอมไฟฟ้า (ϵ) หรือ ค่าความซึมซาบแม่เหล็ก (μ) ค่าใดค่าหนึ่งที่เป็นลบซึ่งไม่ปรากฏทั่วไปตามธรรมชาตินั้นเรียกอภิวัดชนิดนี้ว่า Single Negative Medium (SNG) สามารถจำแนกออกได้เป็น 2 ประเภท ดังนี้

- **Negative Permittivity Medium** กล่าวคือมีค่าสภาพยอมไฟฟ้า (ϵ) เป็นลบแต่มีค่าความซึมซาบแม่เหล็ก (μ) เป็นบวก ดังนั้นเพื่อศึกษาอภิวัดดังกล่าวจึงจำเป็นต้องกระตุ้นคลื่นพื้นผิวพลาสมา (Surface Plasmons) ที่มีพื้นผิวของวัสดุที่หยาบ ไดอิเล็กทริกเชื่อมต่อกันสำหรับสัญญาณที่มีรูปทรงเป็นครึ่งทรงโลกหรือปริซึม และโครงสร้างแถบโลหะ เป็นต้น
- **Negative Permeability Medium** กล่าวคือมีค่าความซึมซาบแม่เหล็ก (μ) เป็นลบแต่มีค่าสภาพยอมไฟฟ้า (ϵ) เป็นบวก ส่วนใหญ่มักจะพบได้ในการจัดเรียงรายคาบที่มีผลต่อการตอบสนองทางแม่เหล็กในย่านความถี่ไมโครเวฟหรือย่านความถี่สูงด้วยวัสดุที่มีค่าความซึมซาบแม่เหล็กประเภท แท่งนาโนคู่ (Coupled Nanorods) แผ่นนาโน (Nanoplates) แถบโลหะแถวลำดับ (Metallic Strips Array) และเรโซเนเตอร์แบบวงแหวนแยก (Split-Ring Resonator : SRR) เป็นต้น

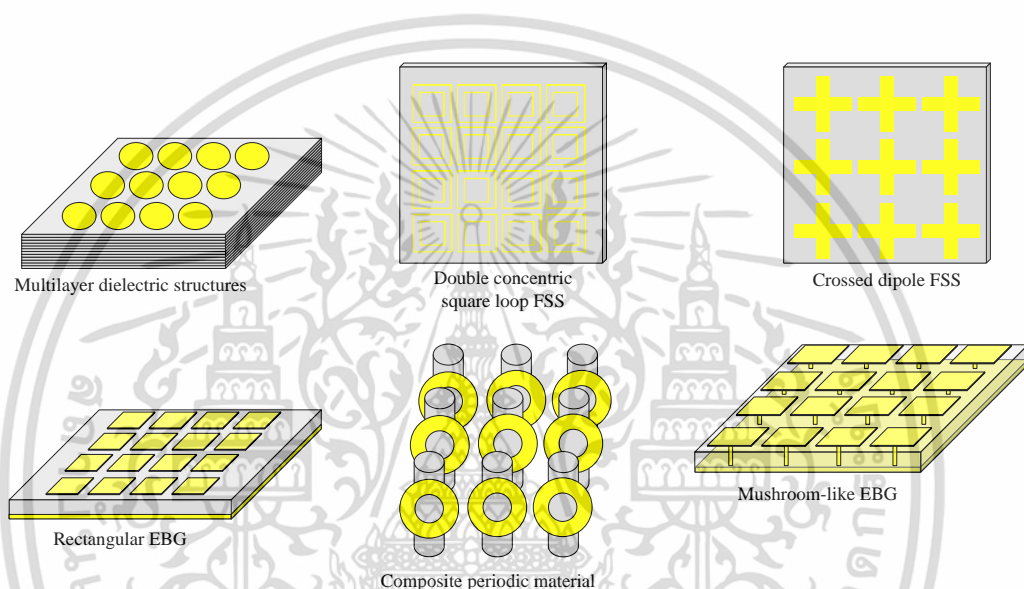
อีกหนึ่งคุณสมบัติที่น่าสนใจของอภิวัดคือ วัสดุที่มีค่าดัชนีหักเหเป็นศูนย์ ($n=0$) เรียกอภิวัดชนิดนี้ว่า Zero Refractive Index (ZRI) และวัสดุที่มีดัชนีหักเหมีค่าใกล้เคียงศูนย์ ($n \rightarrow 0$) เรียกอภิวัดชนิดนี้ว่า Near Zero Refractive Index (NZI) โดยเมื่อค่า $n=0$ หรือ $n \rightarrow 0$ จาก $n = \pm\sqrt{\epsilon\mu}$ สามารถพิจารณาออกได้เป็น 4 ประเภท ดังนี้

- **Epsilon Near Zero (ENZ)** เมื่อ $\epsilon=0$ หรือ $\epsilon \rightarrow 0$ และ $\mu \geq 1$
- **Mu Near Zero (MNZ)** เมื่อ $\mu=0$ หรือ $\mu \rightarrow 0$ และ $\epsilon \geq 1$
- **Double Zero Index (DZI)** เมื่อ $\epsilon = \mu = 0$
- **Mu-Epsilon Near Zero (MENZ)** เมื่อ $\epsilon \rightarrow 0$ และ $\mu \rightarrow 0$

เอกสารนี้เป็นเอกสารที่สงวนไว้สำหรับการใช้งานเพื่อการศึกษาเท่านั้น ไม่อนุญาตให้นำไปใช้ประโยชน์ด้านการค้า ไม่ว่าจะกรณีใดๆ ทั้งสิ้น อีกทั้งห้ามมิให้ดัดแปลงเนื้อหา และต้องอ้างอิงถึงเจ้าของเอกสารทุกครั้งที่มีการนำไปใช้

2.6 โครงสร้างช่องว่างแถบแม่เหล็กไฟฟ้า (Electromagnetic Band Gap)

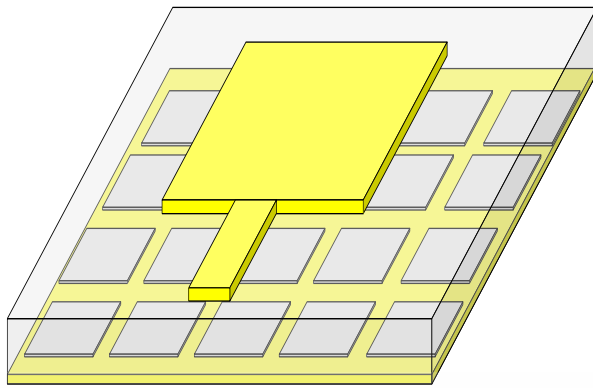
เมื่อกล่าวถึงความสัมพันธ์ของคลื่นแม่เหล็กไฟฟ้ากับโครงสร้างรายคาบ (Periodic Structures) นั้น มักจะนิยมใช้งานในด้านของแถบหยุดความถี่ (Frequency Stop Bands) แถบความถี่ผ่าน (Pass Bands) และช่องว่างแถบ (Band Gaps) เป็นต้น โดยเฉพาะอย่างยิ่งโครงสร้างช่องว่างแถบแม่เหล็กไฟฟ้า (Electromagnetic Band Gap : EBG) ได้รับความนิยมในการประยุกต์ใช้งานที่หลากหลายดังรูปที่ 2.19 สามารถเรียกได้ว่าเป็นโครงสร้างเทียมรายคาบ (Artificial Periodic Structures) ซึ่งสามารถทำหน้าที่ในการป้องกันหรือช่วยให้การแพร่กระจายคลื่นของแม่เหล็กไฟฟ้าในย่านความถี่เฉพาะได้ในหลายทิศทาง



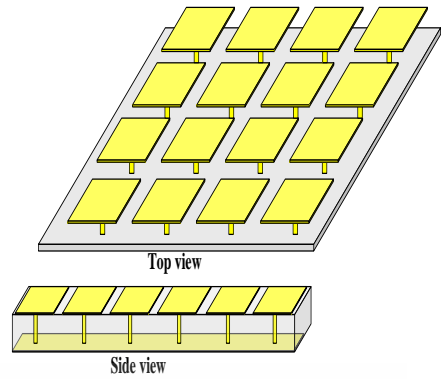
รูปที่ 2.19 ตัวอย่างโครงสร้างช่องว่างแถบแม่เหล็กไฟฟ้า [38]

จากรูปที่ 2.19 โครงสร้างช่องว่างแถบแม่เหล็กไฟฟ้า (EBG Structures) มักจะประกอบไปด้วยการจัดเรียงรายคาบของวัสดุตัวนำประเภทโลหะซึ่งสร้างบนวัสดุฐานรองที่มีค่าไดอิเล็กตริก โดยทั่วไปสามารถแบ่งออกเป็น 3 ประเภทซึ่งถูกกำหนดโดยค่าทางเรขาคณิต ดังนี้

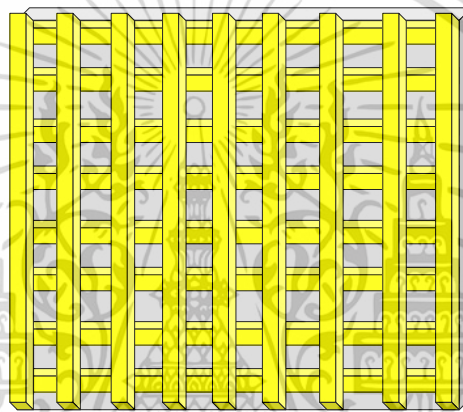
- Three-dimensional volumetric structures โครงสร้างปริมาตรสามมิติ
- Two-dimensional planar surfaces โครงสร้างพื้นผิวระนาบสองมิติ
- One-dimensional transmission lines โครงสร้างสายนำสัญญาณหนึ่งมิติ



(ก) โครงสร้างสายนำสัญญาณหนึ่งมิติ



(ข) โครงสร้างพื้นผิวดระนาบสองมิติ



(ค) โครงสร้างปริมาตรสามมิติ

รูปที่ 2.20 ประเภทของโครงสร้างช่องว่างแถบแม่เหล็กไฟฟ้า [38]

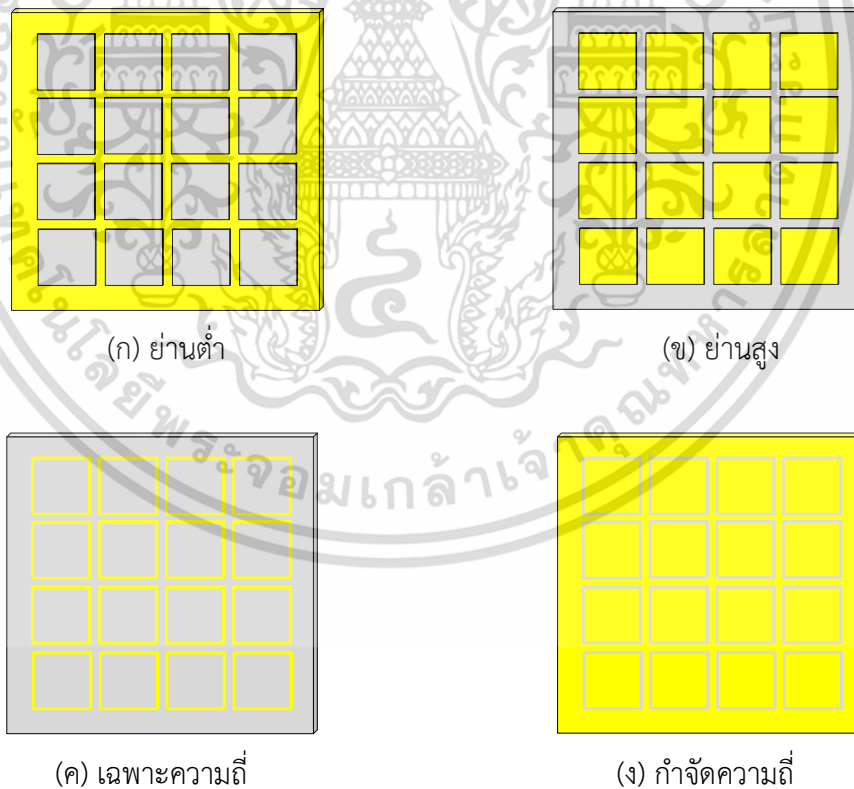
จากรูปที่ 2.20 แสดงตัวอย่างโครงสร้างช่องว่างแถบแม่เหล็กไฟฟ้าในแต่ละประเภทโดยในรูปที่ 2.20(ก) แสดงโครงสร้างสายนำสัญญาณหนึ่งมิติ (EBG Transmission Line Structures) ซึ่งมีโครงสร้างแบบเส้นไม่โครงสร้างปสร้างบนวัสดุฐานรองที่มีค่าไดอิเล็กตริก ในรูปที่ 2.20(ข) แสดงโครงสร้างพื้นผิวดระนาบสองมิติที่มีการจัดเรียงรายคาบซึ่งมีโครงสร้างคล้ายเห็ด (Mushroom-Like EBG Structures) และรูปที่ 2.20(ค) แสดงโครงสร้างปริมาตรสามมิติโดยมีโครงสร้างคล้ายกับท่อนไม้รูปแบบชั้นวางซ้อน (Woodpile EBG Structures) ซึ่งในข้อความที่กล่าวมาข้างต้นนั้นโครงสร้างช่องว่างแถบแม่เหล็กไฟฟ้าในแต่ละประเภทจะมีคุณสมบัติแตกต่างกันโดยขึ้นอยู่กับการประยุกต์ใช้งานแต่โดยส่วนใหญ่แล้วการประยุกต์ใช้งานทางด้านวิศวกรรมสายอากาศมักนิยมใช้โครงสร้างพื้นผิวดระนาบสองมิติ (2-D EBG structures) เนื่องจากมีขนาดเล็ก น้ำหนักเบา ใช้ต้นทุนต่ำ เป็นต้น

เอกสารนี้เป็นเอกสารที่สงวนไว้สำหรับการใช้งานเพื่อการศึกษาเท่านั้น ไม่อนุญาตให้นำไปใช้ประโยชน์ด้านการค้าไม่ว่ากรณีใดๆ ทั้งสิ้น อีกทั้งห้ามมิให้ดัดแปลงเนื้อหา และต้องอ้างอิงถึงเจ้าของเอกสารทุกครั้งที่มีการนำไปใช้

2.7 พื้นผิวเลือกความถี่ (Frequency Selective Surface)

โดยปกติแล้วโครงสร้างของพื้นผิวเลือกความถี่ (Frequency Selective Surface : FSS) มีการจัดเรียงในลักษณะระยาศบซึ่งประดิษฐ์มาจากวัสดุประเภทโลหะที่มีความหนาน้อยกว่าความยาวคลื่นมาก ๆ เทียบเท่า 2 มิติที่สร้างบนวัสดุฐานรองที่มีค่าไดอิเล็กตริก ซึ่งรูปร่างและโครงสร้างของพื้นผิวเลือกความถี่นั้นโดยส่วนใหญ่แล้วจะขึ้นอยู่กับการใช้งานที่สามารถออกแบบให้พื้นผิวเลือกความถี่มีคุณสมบัติที่ตอบสนองในเชิงความถี่ที่แตกต่างกันและทำให้เกิดความสามารถในการเปลี่ยนแปลงการแพร่กระจายคลื่นแม่เหล็กไฟฟ้าได้ ได้แก่ ตัวกรองความถี่ (Filter) วัสดุดูดซับคลื่นแม่เหล็กไฟฟ้า (Microwave Absorber) ตัวสะท้อน (Reflector) รวมไปถึงวัสดุเทียมประเภทตัวนำแม่เหล็กเทียม (Artificial Magnetic Conductor) และช่องว่างแถบแม่เหล็กไฟฟ้า (Electromagnetic Band Gap)

นอกจากนี้คุณสมบัติพื้นฐานของพื้นผิวเลือกความถี่ (FSS) นั้นสามารถออกแบบให้มีคุณสมบัติในการสะท้อนและการส่งผ่านความถี่เฉพาะได้โดยอาศัยคลื่นที่เข้ามาตกกระทบบนโครงสร้างของพื้นผิวเลือกความถี่ทำให้เกิดความถี่เรโซแนนซ์ อีกทั้งสามารถนำคุณสมบัติดังกล่าวมาประยุกต์ใช้งานในด้านของตัวกรองความถี่ย่านต่ำ (Low Pass Filter : LPF) ตัวกรองความถี่ย่านสูง (High Pass Filter : HPF) ตัวกรองเฉพาะย่านความถี่ (Band Pass Filter : BPF) และตัวกรองกำจัดความถี่ (Notch Filter) ดังรูปที่ 2.21 ตามลำดับ



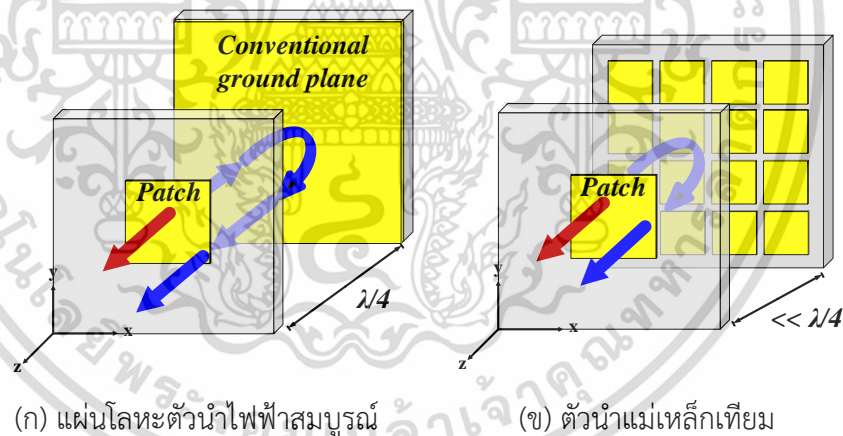
รูปที่ 2.21 ตัวกรองความถี่ [39]

เอกสารนี้เป็นเอกสารที่สงวนไว้สำหรับการใช้งานเพื่อการศึกษาเท่านั้น ไม่อนุญาตให้นำไปใช้ประโยชน์ด้านการค้า ไม่ว่าจะกรณีใดๆ ทั้งสิ้น อีกทั้งห้ามมิให้ดัดแปลงเนื้อหา และต้องอ้างอิงถึงเจ้าของเอกสารทุกครั้งที่มีการนำไปใช้

2.8 ตัวนำแม่เหล็กเทียม (Artificial Magnetic Conductor)

โครงสร้างตัวนำแม่เหล็กเทียม (Artificial Magnetic Conductor : AMC) นั้นจัดได้ว่าเป็นวัสดุประเภทอภิวัดอีกประเภทหนึ่งที่ได้รับคามนิยมในการประยุกต์ใช้งานทางด้านวิศวกรรมสายอากาศซึ่งมีโครงสร้างการจัดเรียงรายคาบของวัสดุประเภทโลหะที่สร้างบนวัสดุฐานรองที่มีค่าไดอิเล็กตริกและมีโครงสร้างใกล้เคียงกับโครงสร้างช่องว่างแถบแม่เหล็กไฟฟ้า (EBG Structures) แต่จะแตกต่างกันตรงที่โครงสร้างตัวนำแม่เหล็กเทียม (AMC Structure) นั้นจะไม่มีแท่งโลหะเชื่อมต่อระหว่างแผ่นโลหะและระนาบกราวด์ ซึ่งวัสดุฐานรองนั้นจะถูกเจาะรูเพื่อใส่แท่งโลหะ (Via Holes) ทำให้โครงสร้างตัวนำแม่เหล็กเทียมนั้นมีข้อดีทางการออกแบบและสร้างชิ้นงานได้ง่าย ใช้ต้นทุนต่ำ เป็นต้น อีกทั้งมักนิยมนำไปใช้ในการเพิ่มอัตราขยายของสายอากาศทำหน้าที่เปรียบเสมือนตัวสะท้อนซึ่งโดยส่วนใหญ่จะทำมาจากแผ่นโลหะตัวนำไฟฟ้าสมบูรณ์ (Perfect Electric Conductor : PEC) เพื่อสะท้อนมุมเท่ากับ 0°

จากรูปที่ 2.22(ก) โครงสร้างตัวสะท้อนที่ทำมาจากแผ่นโลหะตัวนำไฟฟ้าสมบูรณ์ (PEC) นั้นโดยทั่วไปแล้วจะถูกนำไปวางไว้ด้านหลังของสายอากาศซึ่งจะต้องมีระยะห่างระหว่างแพตช์กระจายสัญญาณและระนาบกราวด์อย่างน้อย $\lambda/4$ ของความยาวคลื่นทำให้ขนาดของสายอากาศโดยรวมนั้นมีขนาดใหญ่ขึ้น แต่ในทางกลับกันหากนำโครงสร้างตัวนำแม่เหล็กเทียม (AMC) มาประยุกต์ใช้จะทำให้ระยะห่างระหว่างแพตช์กระจายสัญญาณและระนาบกราวด์นั้นลดลงน้อยกว่า $\ll \lambda/4$ ของความยาวคลื่น ส่งผลให้ขนาดของสายอากาศโดยรวมนั้นลดลงดังรูปที่ 2.22(ข)



(ก) แผ่นโลหะตัวนำไฟฟ้าสมบูรณ์

(ข) ตัวนำแม่เหล็กเทียม

รูปที่ 2.22 โครงสร้างตัวสะท้อน [39]

2.9 งานวิจัยที่เกี่ยวข้องที่มีมาก่อนหน้า

เนื่องด้วยการออกแบบสายอากาศโมโนโพลโพลาริซวงกลมแพร่กระจายคลื่นรอบทิศทาง (OCPA) ร่วมกับระนาบกราวด์ตัวนำแม่เหล็กประดิษฐ์แบบรูปวงแหวนเดี่ยว (SA-AMC) และระนาบกราวด์ตัวนำแม่เหล็กประดิษฐ์แบบรูปวงแหวนคู่ (DA-AMC) เพื่อให้สายอากาศสามารถมีความยืดหยุ่นในการออกแบบของสายอากาศโมโนโพลโพลาริซวงกลมแพร่กระจายคลื่นรอบทิศทาง ที่มีข้อเสียในการออกแบบระนาบกราวด์ด้านล่างที่ต้องมีขนาดคงที่ตลอดเวลาในการนำไปใช้งานหรือติดตั้ง ทั้งนี้การนำระนาบกราวด์ตัวนำแม่เหล็กประดิษฐ์ยังช่วยเพิ่มความกว้างช่วงความถี่ของเอกสารนี้เป็นเอกสารที่สงวนไว้สำหรับการใช้งานเพื่อการศึกษาเท่านั้น ไม่อนุญาตให้นำไปใช้ประโยชน์ด้านการค้า ไม่ว่าจะกรณีใดๆ ทั้งสิ้น อีกทั้งห้ามมิให้ดัดแปลงเนื้อหา และต้องอ้างอิงถึงเจ้าของเอกสารทุกครั้งที่มีการนำไปใช้

อิมพีแดนซ์แบนด์วิดท์ และอัตราส่วนแบนด์วิดท์ ดังนั้นจึงจำเป็นต้องอาศัยพื้นผิวอภิวัด (Metasurface) ในการนำมาประยุกต์ใช้งานร่วมกับสายอากาศดังกล่าวซึ่งเป็นความท้าทายและมีความแปลกใหม่สำหรับวิทยานิพนธ์เล่มนี้เป็นอย่างมาก อีกทั้งการนำพื้นผิวอภิวัดมาประยุกต์ใช้งานกับสายอากาศประเภทต่าง ๆ ก็ได้รับความนิยมนกันอย่างแพร่หลาย

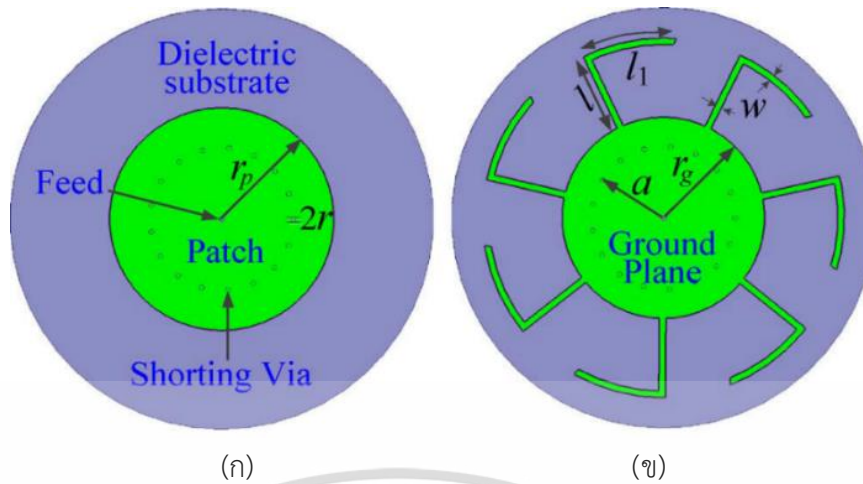
2.9.1 งานวิจัยสายอากาศโพลาริซวงกลมแพร่กระจายคลื่นรอบทิศทางที่มีมาก่อน

สำหรับงานวิจัยที่เกี่ยวข้องกับสายอากาศโมโนโพลโพลาริซวงกลมแพร่กระจายคลื่นรอบทิศทาง (OCPA) ที่มีมาก่อนหน้านั้นจะได้นำเสนอสายอากาศที่เป็นโพลาริซวงกลมแพร่กระจายคลื่นรอบทิศทางเพื่อออกแบบสายอากาศให้สามารถแพร่กระจายคลื่นรอบทิศทางโพลาริซวงกลมได้ เช่น ในเอกสารอ้างอิงที่ [1] ในส่วนเทคนิคไดอิเล็กทริกเรโซเนเตอร์แสดงในเอกสารอ้างอิงที่ [3], [13], [14] เทคนิคการใช้ไดโพลแบบโค้งงอในเอกสารอ้างอิงที่ [11] การใช้เทคนิคป้อนสัญญาณที่ต่างเฟสกัน 90° ในเอกสารอ้างอิงที่ [12] และการใช้เทคนิคพาราซิติคเพื่อแปลงโพลาริซเชิงเส้นเป็นโพลาริซวงกลมในเอกสารอ้างอิงที่ [23] โดยโครงสร้างและคุณลักษณะของงานวิจัยที่กล่าวมาข้างต้นมีดังต่อไปนี้

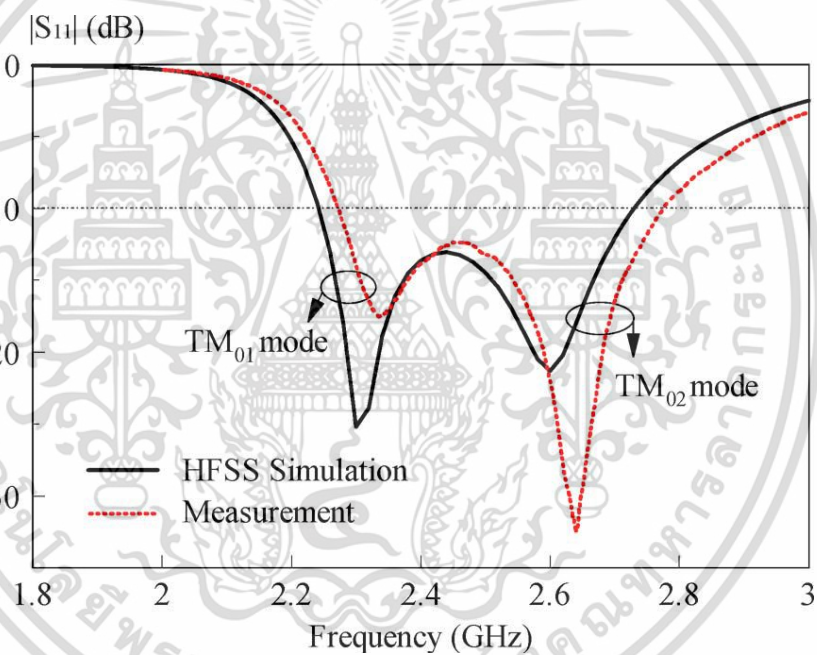
2.9.1.1 สายอากาศแพตช์โพลาริซวงกลมย่านความถี่กว้างและสัญญาณต่ำแพร่กระจายคลื่นรอบทิศทาง

งานวิจัยแรกเป็นสายอากาศแพตช์โพลาริซวงกลมย่านความถี่กว้างและสัญญาณต่ำแพร่กระจายคลื่นรอบทิศทางเป็นงานวิจัยในเอกสารอ้างอิงที่ [1] เป็นผลงานของ Y. M. Pan S. Y. Zheng และ B. J. Hu ที่ได้รับการตีพิมพ์เมื่อปี ค.ศ. 2014 จากรูปที่ 2.23(ก) - (ข) แสดงโครงสร้างของสายอากาศมีขนาดมิติ $1.362 \lambda_L \times 1.362 \lambda_L \times 0.023 \lambda_L$ เมื่อ λ_L คือความยาวคลื่นซึ่งสอดคล้องกับความถี่ต่ำสุด (2.27 GHz) ที่ใช้งานของสายอากาศ ซึ่งมีวัสดุฐานรองชนิด FR-4 จำนวน 1 ชั้น ทองแดง 2 หน้าหนา $H = 3.0 \text{ mm}$ โครงสร้างสายอากาศชั้นบนประกอบไปด้วยแพตช์กระจายสัญญาณรูปวงจักรจำนวน 7 องค์ประกอบที่มีการเจาะเส้นลวดเชื่อมต่อจำนวน $N = 16$ จุด โดยเชื่อมต่อแพตช์กระจายสัญญาณด้านบนกับระนาบกราวด์ (Ground Plane) ชั้นล่างที่มีการป้อนสัญญาณแบบคอนเนคเตอร์ SMA จากรูปที่ 2.24(ก) - 2.23(ง) แสดงผลการทดสอบของค่า $|S_{11}|$ ($|S_{11}| \leq -10$) เท่ากับ 19.84% (2.27 - 2.77 GHz) อัตราส่วนแบนด์วิดท์ (ARBW ≤ 3) เท่ากับ 19.27% (2.25 - 2.73 GHz) อัตราขยายสูงสุดในแนวด้านหน้าสายอากาศ (3-dB boresight gain) เท่ากับ 2.32 dBic ที่ความถี่ 2.64 GHz และมีแบบรูปการแพร่กระจายคลื่นในระนาบ y-z และระนาบ x-z ที่ความถี่ 2.44 GHz ดังรูปที่ 2.24(ง)

เอกสารนี้เป็นเอกสารที่สงวนไว้สำหรับการใช้งานเพื่อการศึกษาเท่านั้น ไม่อนุญาตให้นำไปใช้ประโยชน์ด้านการค้า ไม่ว่าจะกรณีใดๆ ทั้งสิ้น อีกทั้งห้ามมิให้ดัดแปลงเนื้อหา และต้องอ้างอิงถึงเจ้าของเอกสารทุกครั้งที่มีการนำไปใช้



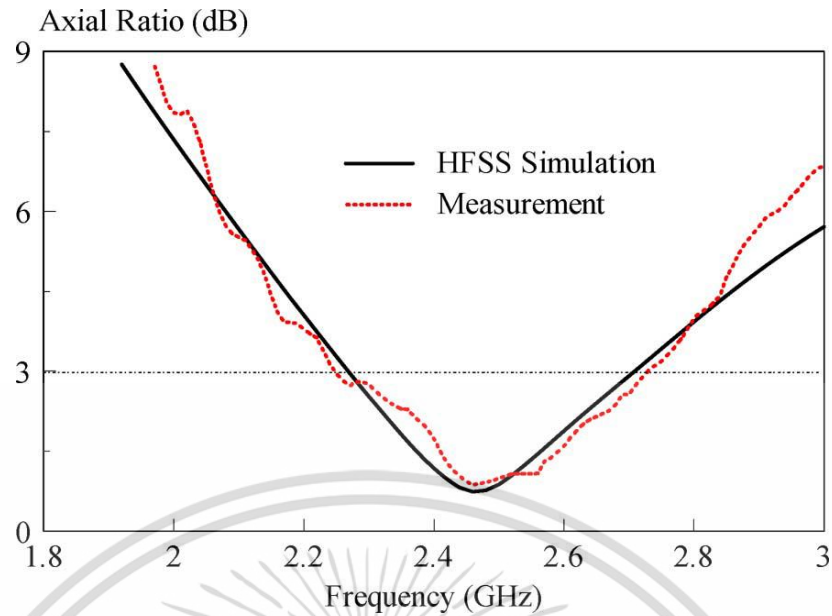
รูปที่ 2.23 โครงสร้างสายอากาศแพตช์โพลาไรซ์วงกลมย่านความถี่กว้างและสัณฐานต่ำแพร่กระจายคลื่นรอบทิศทาง: (ก) มุมมองด้านหน้า (ข) มุมมองด้านล่าง [1]



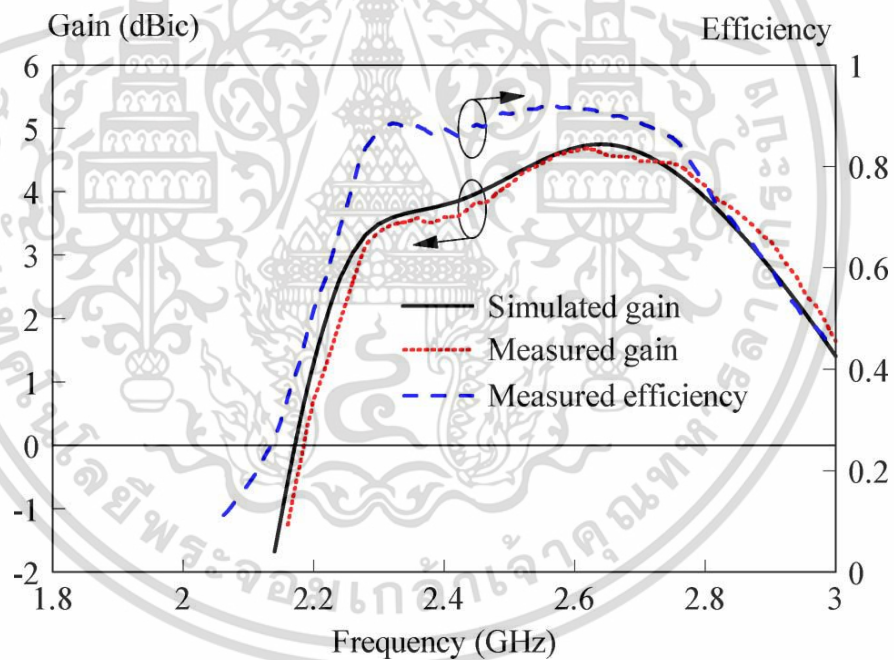
(ก) ผลการจำลองและผลการทดสอบค่า $|S_{11}|$

รูปที่ 2.24 สมรรถนะของสายอากาศแพตช์โพลาไรซ์วงกลมย่านความถี่กว้างและสัณฐานต่ำแพร่กระจายคลื่นรอบทิศทางเอกสารอ้างอิงที่ [1]

เอกสารนี้เป็นเอกสารที่สงวนไว้สำหรับการใช้งานเพื่อการศึกษาเท่านั้น ไม่อนุญาตให้นำไปใช้ประโยชน์ด้านการค้า
ไม่ว่ากรณีใดๆ ทั้งสิ้น อีกทั้งห้ามมิให้ดัดแปลงเนื้อหา และต้องอ้างอิงถึงเจ้าของเอกสารทุกครั้งที่มีการนำไปใช้



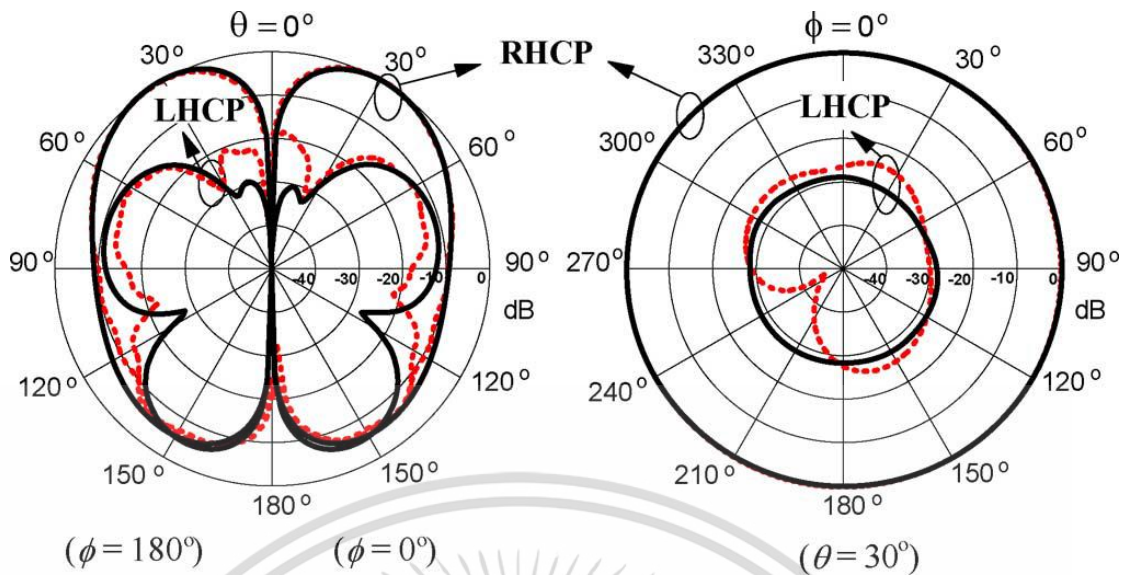
(ข) ผลการจำลองและผลการทดสอบค่าอัตราส่วนแกน



(ค) ผลการจำลองและผลการทดสอบอัตราขยายและประสิทธิภาพสายอากาศ

รูปที่ 2.24 สมรรถนะของสายอากาศแพตช์โพลาริซิงวงกลมย่านความถี่กว้างและสัณฐานต่ำ
แพร่กระจายคลื่นรอบทิศทางเอกสารอ้างอิงที่ [1] (ต่อ)

เอกสารนี้เป็นเอกสารที่สงวนไว้สำหรับการใช้งานเพื่อการศึกษาเท่านั้น ไม่อนุญาตให้นำไปใช้ประโยชน์ด้านการค้า
ไม่ว่ากรณีใดๆ ทั้งสิ้น อีกทั้งห้ามมิให้ดัดแปลงเนื้อหา และต้องอ้างอิงถึงเจ้าของเอกสารทุกครั้งที่มีการนำไปใช้



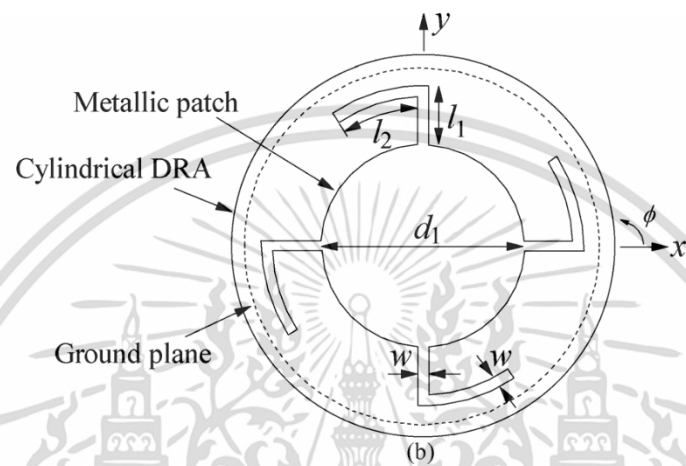
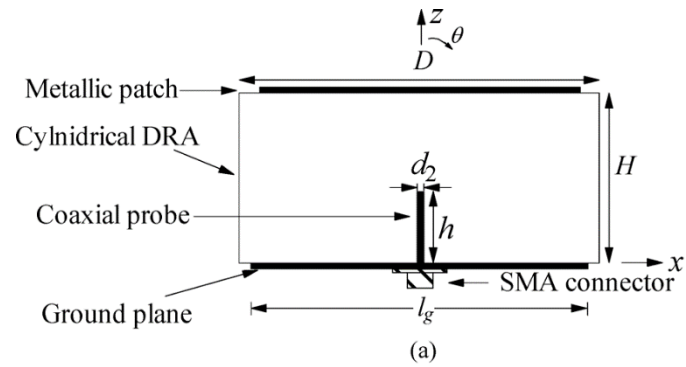
(ง) ผลการจำลองและผลการทดสอบแบบรูปการแพร่กระจายคลื่น ในระนาบ $y-z$ และระนาบ $x-z$ ที่ความถี่ 2.44 GHz

รูปที่ 2.24 สมรรถนะของสายอากาศแพทช์โพลาไรซ์วงกลมย่านความถี่กว้างและสัญญาณต่ำแพร่กระจายคลื่นรอบทิศทางเอกสารอ้างอิงที่ [1] (ต่อ)

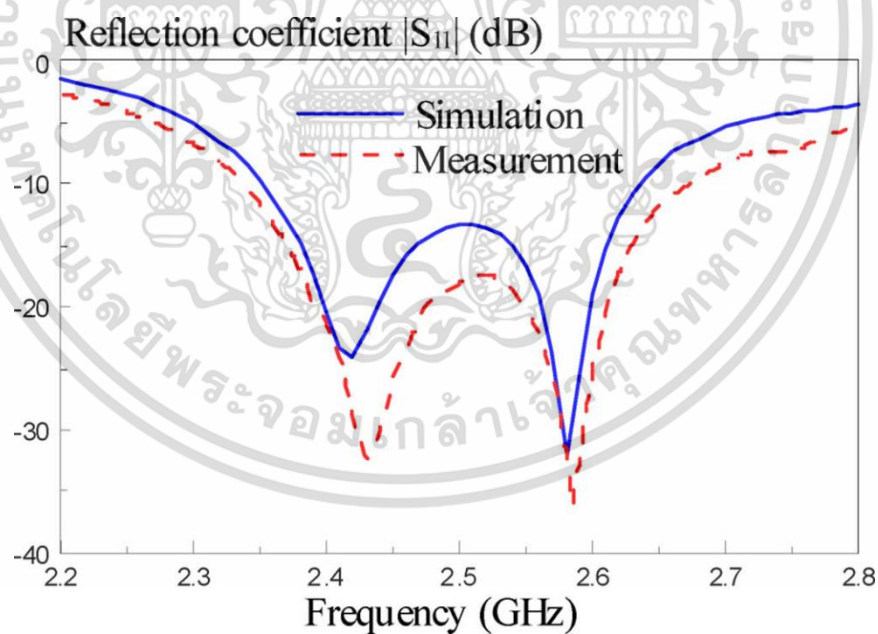
2.9.1.2 สายอากาศไดอิเล็กทริกเรโซเนเตอร์โพลาไรซ์วงกลมแพร่กระจายคลื่นรอบทิศทางร่วมกับ โหลดต้านบนแบบอัลฟอร์ดูปสำหรับการออกแบบความหลากหลายของแบบรูปการแพร่กระจายคลื่น

งานวิจัยที่สองเป็นสายอากาศไดอิเล็กทริกเรโซเนเตอร์โพลาไรซ์วงกลมแพร่กระจายคลื่นรอบทิศทาง โดยประยุกต์ใช้งานร่วมกับโหลดต้านบนแบบอัลฟอร์ดูปสำหรับการออกแบบความหลากหลายของแบบรูปการแพร่กระจายคลื่นจากเอกสารอ้างอิงที่ [3] เป็นผลงานของ W. W. Li และ K. W. Leung ที่ได้รับการตีพิมพ์เมื่อปี ค.ศ. 2013 จากรูปที่ 2.25(ก) โครงสร้างของสายอากาศมีขนาดมิติ $49 \text{ mm} \times 49 \text{ mm} \times 22 \text{ mm}$ ซึ่งมีแผ่นอลูมิเนียมเป็นระนาบกราวด์ ที่มีโพรมโม่โนโพลอยู่กึ่งกลางของสายอากาศ เช่นเดียวกับจุดป้อนสัญญาณที่เชื่อมต่อด้วยคอนเนคเตอร์ SMA และมีไดอิเล็กทริกเรโซเนเตอร์รูปทรงระบอวางบนระนาบกราวด์แผ่นอลูมิเนียมล้อมรอบโพรมโม่โนโพลเอาไว้กึ่งกลางของไดอิเล็กทริกเรโซเนเตอร์ จากรูปที่ 2.25(ข) – (จ) แสดงผลการทดสอบแบนด์วิดท์ของค่าสัมประสิทธิ์การสะท้อนเท่ากับ 13.2% (2.34– 2.67 GHz) อัตราส่วนแแกนแบนด์วิดท์เท่ากับ 10.5% (2.26– 2.51 GHz) อัตราขยายสูงสุดได้เท่ากับ 1.8 dBic ที่ความถี่ 2.4 GHz และมีแบบรูปการแพร่กระจายคลื่นแบบรอบตัว ในระนาบ $x-z$ และระนาบ $y-z$ ที่ความถี่ 2.4 GHz มีค่า XPL ระหว่าง RHCP กับ LHCP มากกว่า 15 dB ดังรูปที่ 2.24(จ)

เอกสารนี้เป็นเอกสารที่สงวนไว้สำหรับการใช้งานเพื่อการศึกษาเท่านั้น ไม่อนุญาตให้นำไปใช้ประโยชน์ด้านการค้าไม่ว่ากรณีใดๆ ทั้งสิ้น อีกทั้งห้ามมิให้ดัดแปลงเนื้อหา และต้องอ้างอิงถึงเจ้าของเอกสารทุกครั้งที่มีการนำไปใช้



(ก) โครงสร้างสายอากาศ

(ข) ผลการจำลองและผลการทดสอบค่าสัมประสิทธิ์การสะท้อนกลับ ($|S_{11}|$)

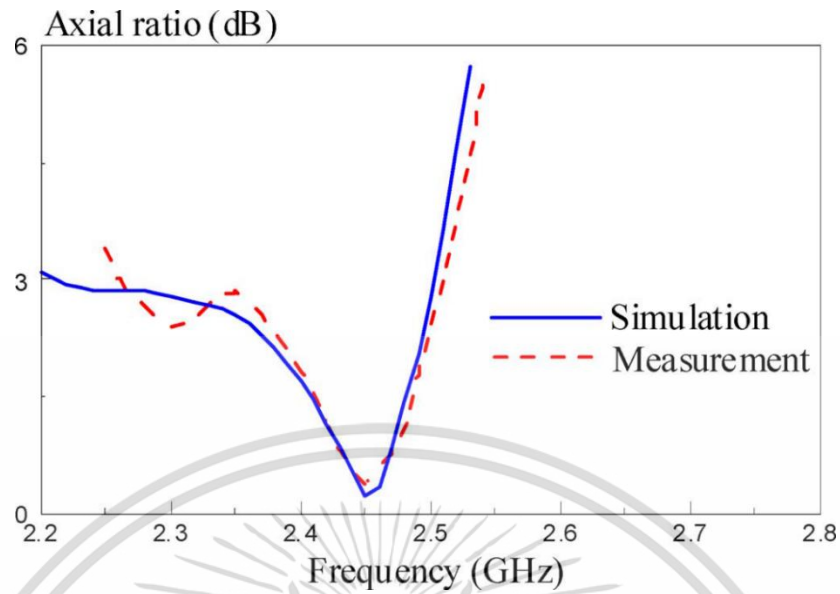
รูปที่ 2.25 โครงสร้างสายอากาศไดอิเล็กทริกเรโซเนเตอร์โพลาริซวงกลมแพร่กระจายคลื่นรอบ

ทิศทางโดยประยุกต์ใช้งานร่วมกับโหนดด้านบนแบบอัลพอร์ตลูบสำหรับการออกแบบความ

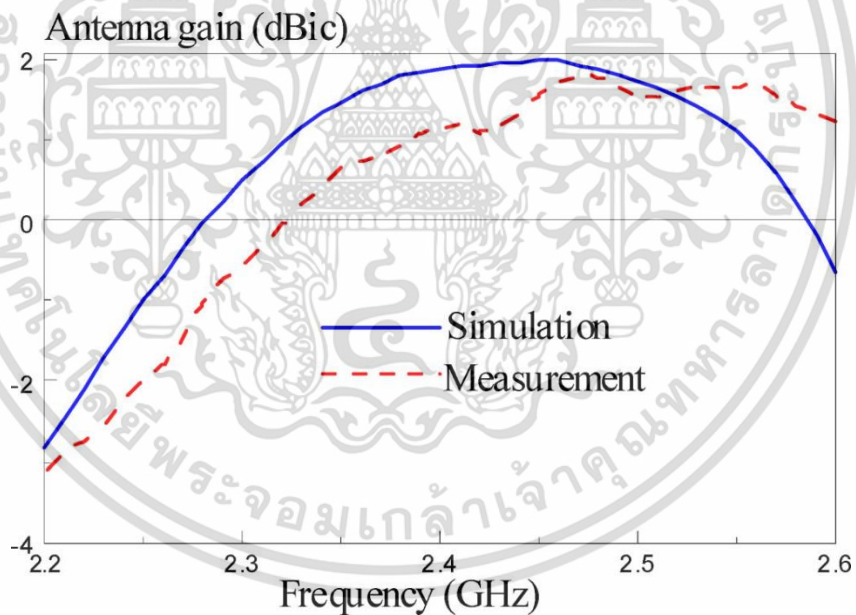
หลากหลายของแบบรูปการแพร่กระจายคลื่นจากเอกสารอ้างอิงที่ [3]

เอกสารนี้เป็นเอกสารที่สงวนไว้สำหรับการใช้งานเพื่อการศึกษาเท่านั้น ไม่อนุญาตให้นำไปใช้ประโยชน์ด้านการค้า

ไม่ว่ากรณีใดๆ ทั้งสิ้น อีกทั้งห้ามมิให้ดัดแปลงเนื้อหา และต้องอ้างอิงถึงเจ้าของเอกสารทุกครั้งที่มีการนำไปใช้



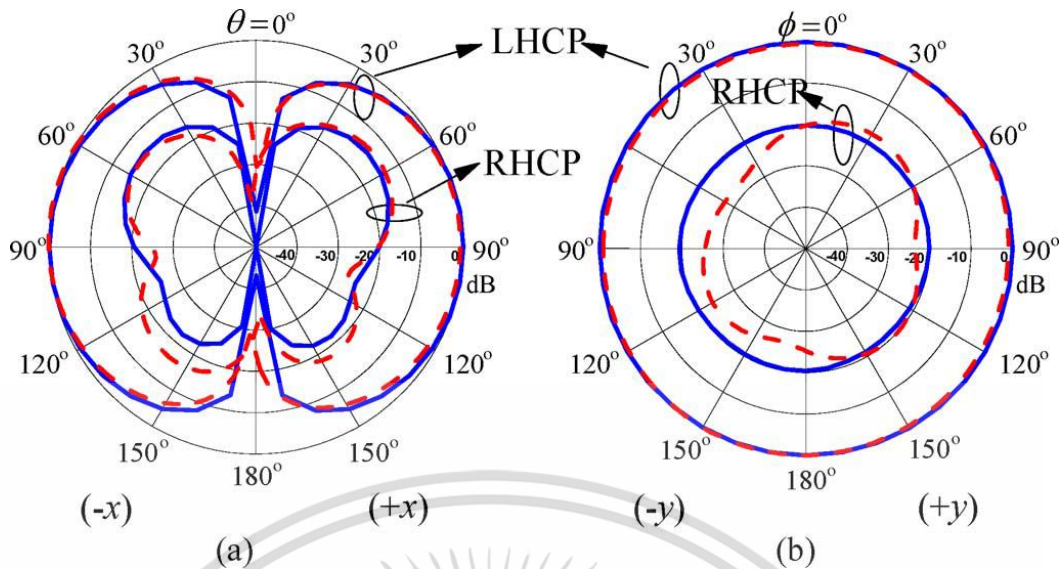
(ค) ผลการทดสอบอัตราส่วนแกน



(ง) ผลการทดสอบอัตราขยาย

รูปที่ 2.25 โครงสร้างสายอากาศไดอิเล็กตริกเรโซเนเตอร์โพลาริซิงวงกลมแพร่กระจายคลื่นรอบทิศทางโดยประยุกต์ใช้งานร่วมกับโหนดด้านบนแบบอัลพอร์ตลูบสำหรับการออกแบบความหลากหลายของแบบรูปการแพร่กระจายคลื่นจากเอกสารอ้างอิงที่ [3] (ต่อ)

เอกสารนี้เป็นเอกสารที่สงวนไว้สำหรับการใช้งานเพื่อการศึกษาเท่านั้น ไม่อนุญาตให้นำไปใช้ประโยชน์ด้านการค้า ไม่ว่าจะกรณีใดๆ ทั้งสิ้น อีกทั้งห้ามมิให้ดัดแปลงเนื้อหา และต้องอ้างอิงถึงเจ้าของเอกสารทุกครั้งที่มีการนำไปใช้



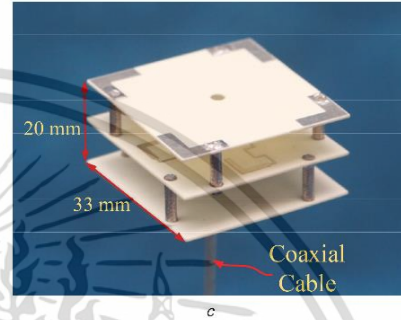
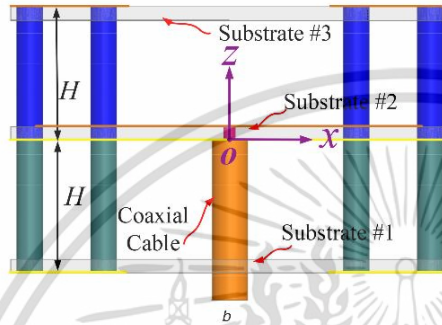
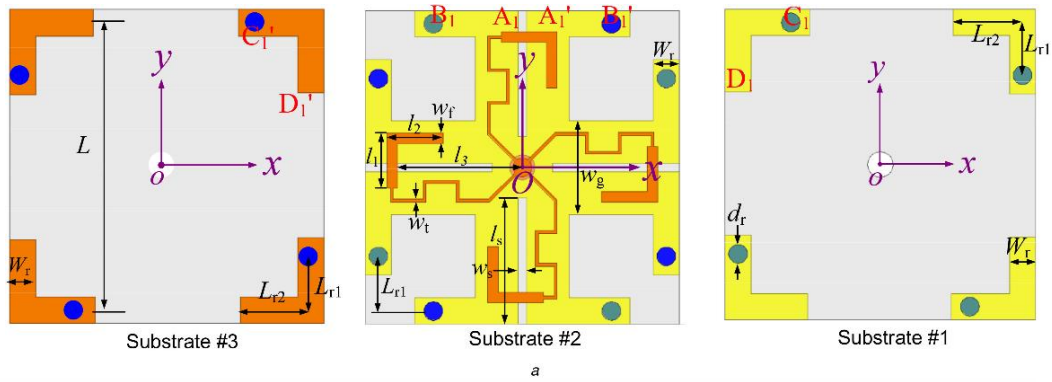
(จ) ผลการทดสอบแบบรูปการแพร่กระจายคลื่น ในระนาบ $x-z$ และระนาบ $x-y$ ที่ความถี่ 2.4 GHz

รูปที่ 2.25 โครงสร้างสายอากาศไดโพลไฟฟ้าเรโซเนเตอร์โพลาริซิงกลมแพร่กระจายคลื่นรอบทิศทางโดยประยุกต์ใช้งานร่วมกับโหนดด้านบนแบบอัลพอร์ตสำหรับการทำงานแบบความหลากหลายของแบบรูปการแพร่กระจายคลื่นจากเอกสารอ้างอิงที่ [3] (ต่อ)

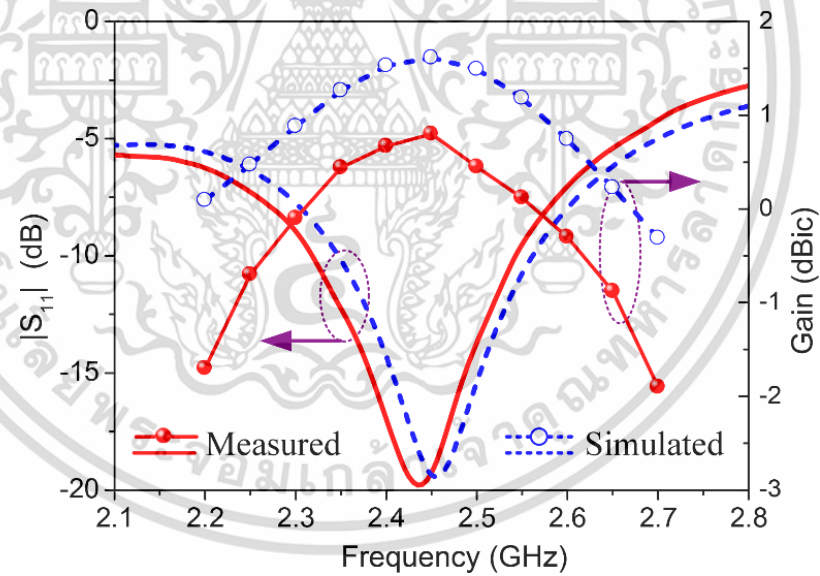
2.9.1.3 สายอากาศโพลาริซิงกลมแพร่กระจายคลื่นรอบทิศทางที่มีขนาดกะทัดรัดโดยใช้สายอากาศไดโพลแบบโค้งงอร่วมกับบาลัน

งานวิจัยที่สามเป็นสายอากาศโพลาริซิงกลมแพร่กระจายคลื่นรอบทิศทางที่มีขนาดกะทัดรัดโดยใช้สายอากาศไดโพลแบบโค้งงอร่วมกับบาลันจากเอกสารอ้างอิงที่ [11] เป็นผลงานของ Y. Yu J. Xiong และ H. Li ที่ได้รับการตีพิมพ์เมื่อปี ค.ศ. 2017 จากรูปที่ 2.26(ก) โครงสร้างของสายอากาศมีขนาดมิติ $0.255 \lambda_L \times 0.255 \lambda_L \times 0.155 \lambda_L$ ที่ความถี่ 2.32 GHz ซึ่งมีวัสดุฐานรองจำนวน 3 ชั้นวางซ้อนห่างกัน โดยวัสดุฐานรองชั้นบนสุด (วัสดุฐานรอง 3) จะประกอบไปด้วยแขนไดโพลแบบโค้งงอรูปตัวแอล จำนวน 4 องค์ประกอบ วางในตำแหน่งมุมทั้ง 4 ของโครงสร้างสายอากาศ ซึ่งบริเวณปลายจะเชื่อมกับแท่งตัวนำ (สีน้ำเงิน) ส่วนวัสดุฐานรองชั้นที่ 2 จะเป็นแผ่นซับสเตรตแบบสองหน้า ชั้นบนจะเป็นเส้นสตริปป้อนแบบแบ่งกำลังงานจำนวน 4 เส้น ทำหน้าที่เป็นบาลันและป้อนสัญญาณให้กับโพรบตัวแอลทั้ง 4 ตัว เพื่อเป็นตัวแพร่กระจายคลื่น โดยชั้นล่างจะเป็นระนาบกราวด์ที่ทำการเจาะรูเพื่อให้ได้โครงสร้างสายอากาศไดโพล ทำให้เกิดการเหนี่ยวนำและแพร่กระจายคลื่นอีกทอดหนึ่ง ในส่วนของวัสดุฐานรองชั้นที่ 1 จะคล้ายกับวัสดุฐานรองชั้นบนสุด จะมีส่วนแตกต่างกันก็คือจุดที่เชื่อมต่อกับแท่งตัวนำ (สีเขียว) ที่เชื่อมต่อบริเวณปลายแขนไดโพลแบบโค้งงอรูปตัวแอลคนละด้านกัน มีการป้อนสัญญาณโดยใช้สายนำสัญญาณโคแอกเชียลป้อนบริเวณจุดกึ่งกลางของโครงสร้างสายอากาศ จากรูปที่ 2.26(ข) – 2.25(ง) แสดงผลการทดสอบแบนด์วิดท์ของ $|S_{11}|$ กว้างเท่ากับ 9% (220 MHz) แบนด์วิดท์ของอัตราส่วนแอมพลิจูดเท่ากับ 290 MHz (2.32 – 2.61 GHz) อัตราขยายสูงสุดเท่ากับ 1.2 dBic ที่ความถี่ 2.45 GHz และมีแบบรูปการแพร่กระจายคลื่นแบบรอบตัว ในระนาบ $x-y$ และระนาบ $x-z$ ที่ความถี่ 2.45 GHz มีค่า XPL ประมาณ -19 dB ดังรูปที่ 2.25(ง)

เอกสารนี้เป็นเอกสารที่สงวนไว้สำหรับการใช้งานเพื่อการศึกษาเท่านั้น ไม่อนุญาตให้นำไปใช้ประโยชน์ด้านการค้า ไม่ว่าจะกรณีใดๆ ทั้งสิ้น อีกทั้งห้ามมิให้ดัดแปลงเนื้อหา และต้องอ้างอิงถึงเจ้าของเอกสารทุกครั้งที่มีการนำไปใช้



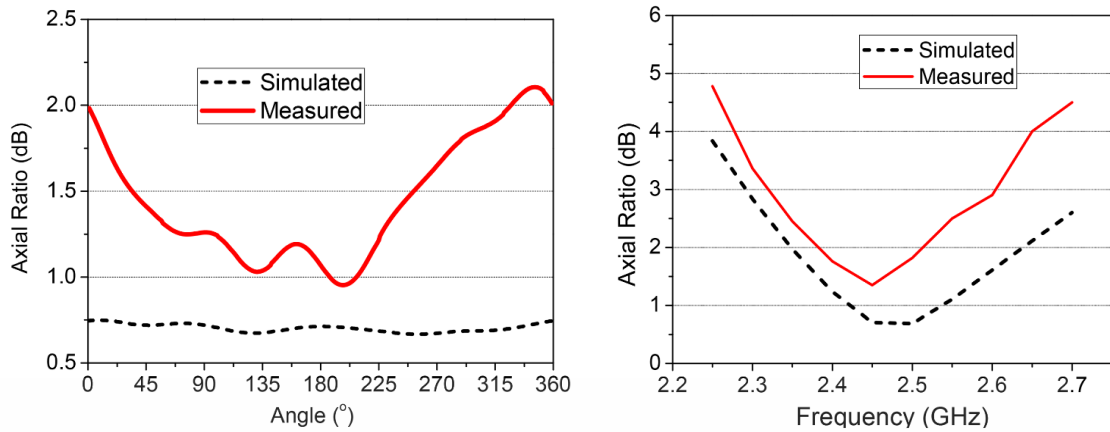
(ก) สายอากาศโพลาริซวงกลมแพร์กระจายคลื่นรอบทิศทางที่มีขนาดกะทัดรัด โดยใช้สายอากาศไดโพลแบบโค้งงอร่วมกับบาลูน



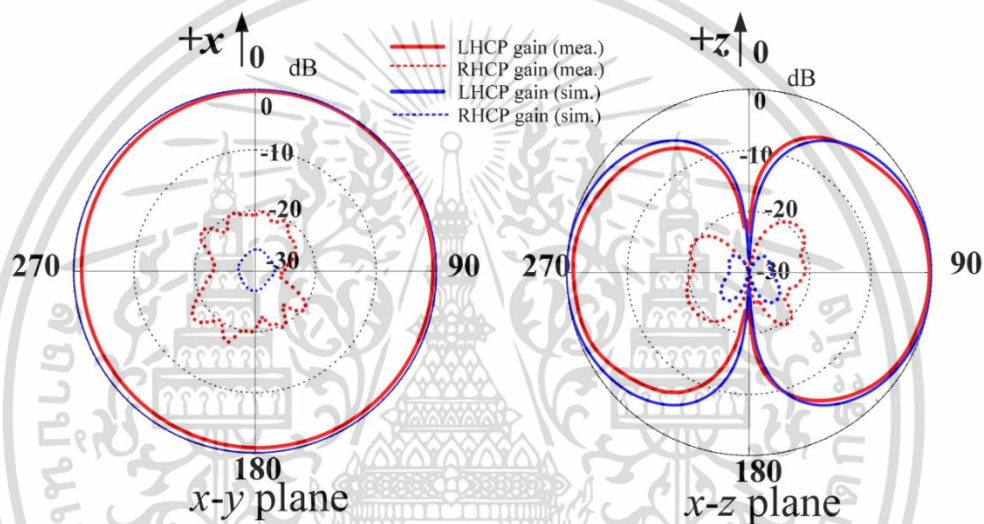
(ข) ผลการจำลองและทดสอบ $|S_{11}|$ และอัตรายาย

รูปที่ 2.26 สมรรถนะของสายอากาศโพลาริซวงกลมแพร์กระจายคลื่นรอบทิศทางที่มีขนาดกะทัดรัด โดยใช้สายอากาศไดโพลแบบโค้งงอร่วมกับบาลูนจากเอกสารอ้างอิงที่ [11] (ต่อ)

เอกสารนี้เป็นเอกสารที่สงวนไว้สำหรับการใช้งานเพื่อการศึกษาเท่านั้น ไม่อนุญาตให้นำไปใช้ประโยชน์ด้านการค้า ไม่ว่าจะกรณีใดๆ ทั้งสิ้น อีกทั้งห้ามมิให้ดัดแปลงเนื้อหา และต้องอ้างอิงถึงเจ้าของเอกสารทุกครั้งที่มีการนำไปใช้



(ค) ผลการจำลองและทดสอบอัตราส่วนแกนต่อมุมมองและความถี่



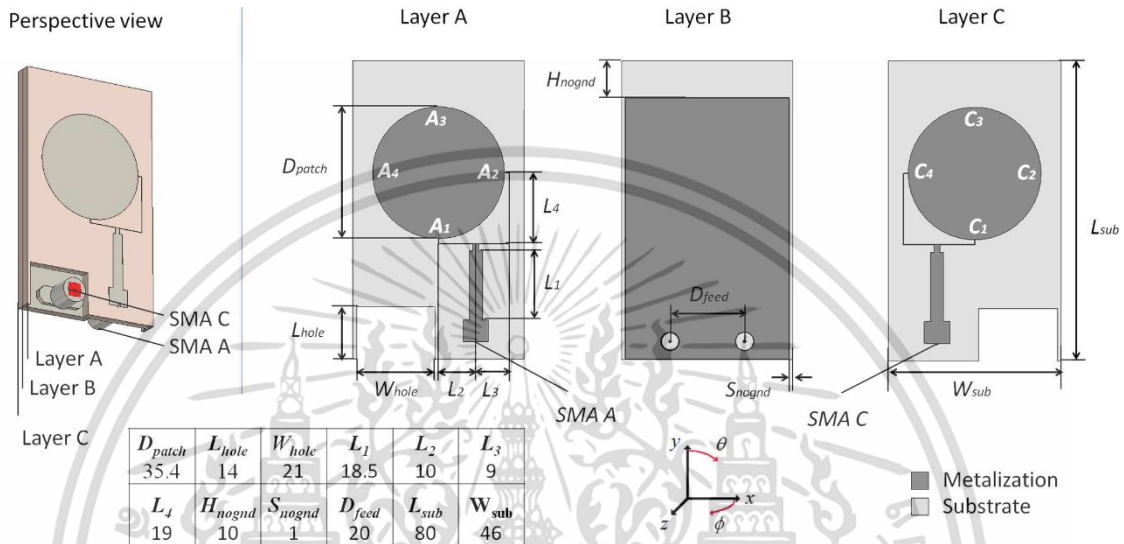
(ง) ผลการจำลองและทดสอบแบบรูปการแพร่กระจายคลื่น ในระนาบ x-y และระนาบ x-z ที่ความถี่ 2.45 GHz

รูปที่ 2.26 สมรรถนะของสายอากาศโพลาริซวงกลมแพร่กระจายคลื่นรอบทิศทางที่มีขนาดกะทัดรัด โดยใช้สายอากาศไดโพลแบบโค้งงอร่วมกับบาลันจากเอกสารอ้างอิงที่ [11] (ต่อ)

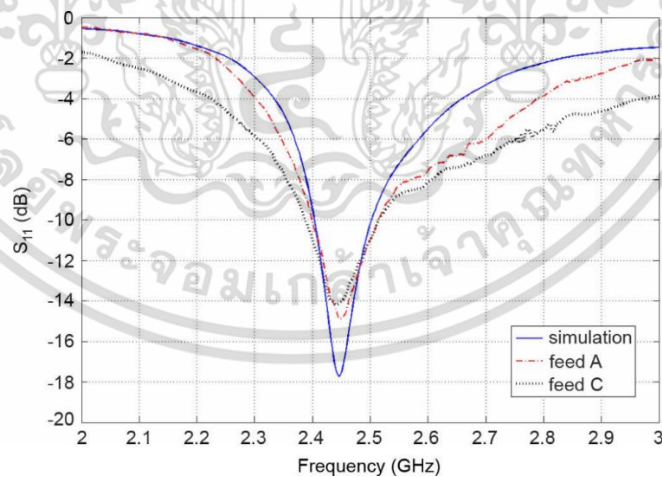
2.9.1.4 สายอากาศโพลาริซวงกลมร่วมกับระบบควบคุมทิศทางที่มีแบบรูปการแพร่กระจายคลื่นคล้ายไดโพล

งานวิจัยที่สี่เป็นสายอากาศโพลาริซวงกลมร่วมกับระบบควบคุมทิศทางที่มีแบบรูปการแพร่กระจายคลื่นคล้ายไดโพลจากเอกสารอ้างอิงที่ [12] เป็นผลงานของ A Narbudowicz และ X Baoc และคณะ ที่ได้รับการตีพิมพ์เมื่อปี ค.ศ. 2014 จากรูปที่ 2.27(ก) แสดงโครงสร้างของสายอากาศมีขนาดมิติ $0.640 \lambda_L \times 0.368 \lambda_L \times 0.048 \lambda_L$ ที่ความถี่ 2.40 GHz ซึ่งมีวัสดุฐานรองจำนวน 2 ชั้นซ้อนติดกัน โดยวัสดุฐานรองชั้นบน (ชั้น A) ประกอบไปด้วยสายอากาศไมโครสตริปแพตช์แผ่นวงกลมที่มีการป้อนสัญญาณโดยใช้ตัวแบ่งกำลังงานที่ทำหน้าที่ป้อนเฟสที่ต่างกัน 90° ซึ่งใช้คอนเนคเตอร์ SMA ในการป้อนสัญญาณ ส่วนชั้น B จะเป็นแผ่นระนาบกราวด์ และชั้น C จะเป็นสายอากาศองค์ประกอบและวัสดุฐานรองชั้นล่างประกอบไปด้วยไมโครสตริปแพตช์แผ่นวงกลมคล้ายเอกสารนี้เป็นเอกสารที่สงวนไว้สำหรับการใช้งานเพื่อการศึกษาเท่านั้น ไม่อนุญาตให้นำไปใช้ประโยชน์ด้านการค้า ไม่ว่าจะกรณีใดๆ ทั้งสิ้น อีกทั้งห้ามมิให้ดัดแปลงเนื้อหา และต้องอ้างอิงถึงเจ้าของเอกสารทุกครั้งที่มีการนำไปใช้

กับสายอากาศชั้น A แตกต่างกันที่จุดบ่อนสัญญาณจะถูกบ่อนคนละฝั่งกัน จากรูปที่ 2.27(ข) – 2.27(ง) แสดงผลการจำลองและทดสอบแบนด์วิดท์ของ $|S_{11}|$ เท่ากับ 4.48% (2.4 – 2.51 GHz) แบนด์วิดท์ของอัตราส่วนแกลนเท่ากับ 1.2% (2.464 – 2.494 GHz) อัตราขยายสูงสุดเท่ากับ 2 dBic ที่ความถี่ 2.47 GHz และมีแบบรูปการแผ่กระจายคลื่นรอบทิศทาง ในระนาบ x-z และระนาบ y-z ที่ความถี่ 5.3 GHz ดังรูปที่ 2.27(ง)



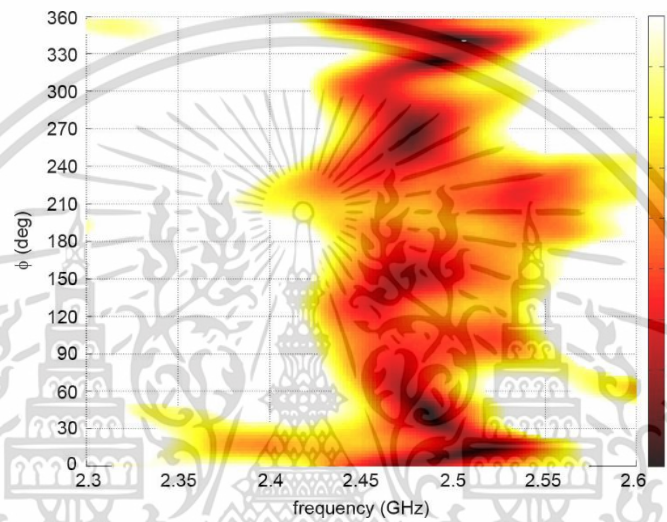
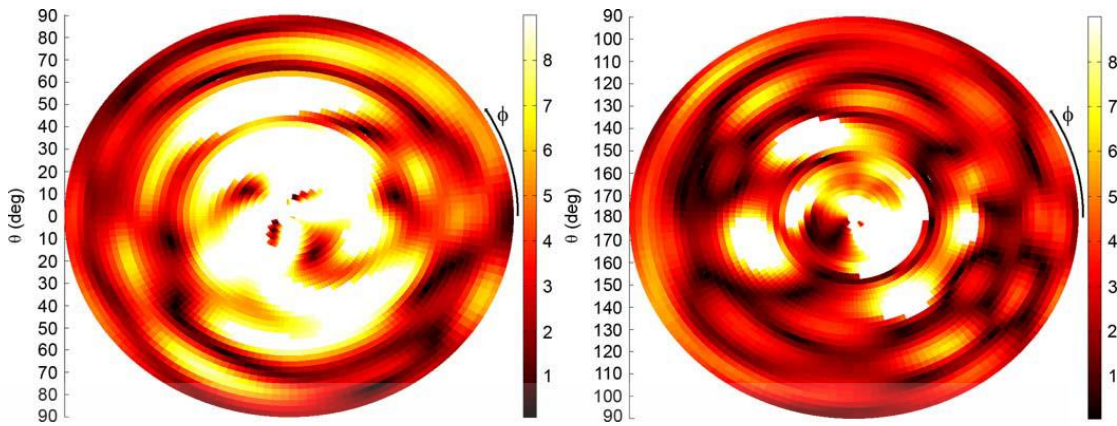
(ก) สายอากาศโพลาริซวงกลมร่วมกับระบบควบคุมทิศทางที่มีแบบรูปการแผ่กระจายคลื่นคล้ายไดโพล



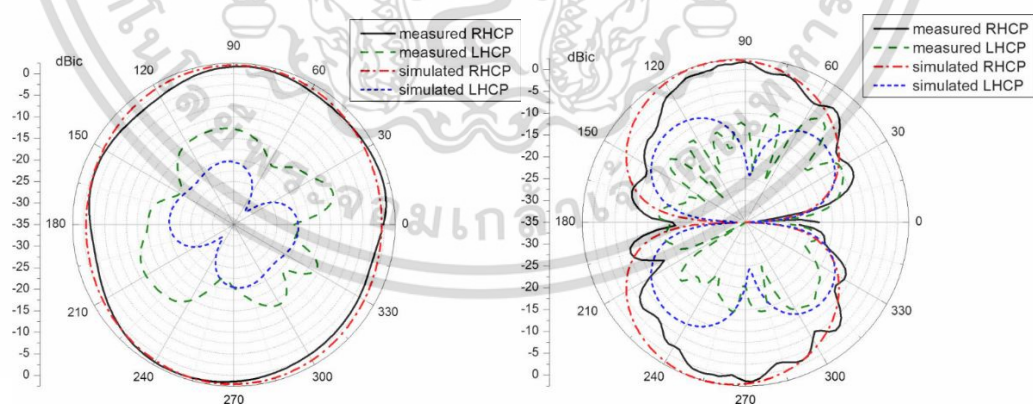
(ข) ผลการจำลองและการทดสอบ $|S_{11}|$

รูปที่ 2.27 สมรรถนะของสายอากาศโพลาริซวงกลมร่วมกับระบบควบคุมทิศทางที่มีแบบรูปการแผ่กระจายคลื่นคล้ายไดโพลจากเอกสารอ้างอิงที่ [12]

เอกสารนี้เป็นเอกสารที่สงวนไว้สำหรับการใช้งานเพื่อการศึกษาเท่านั้น ไม่อนุญาตให้นำไปใช้ประโยชน์ด้านการค้า ไม่ว่ากรณีใดๆ ทั้งสิ้น อีกทั้งห้ามมิให้ดัดแปลงเนื้อหา และต้องอ้างอิงถึงเจ้าของเอกสารทุกครั้งที่มีการนำไปใช้



(ค) ผลการทดสอบอัตราส่วนแกนในฟังก์ชันของมุมและความถี่



(ง) ผลการจำลองและทดสอบแบบรูปการแพร่กระจายคลื่น ในระนาบ x-z และระนาบ y-z ที่ความถี่ 2.47 GHz สำหรับการทดสอบและที่ความถี่ 2.46 GHz สำหรับการจำลอง

รูปที่ 2.27 สมรรถนะของสายอากาศโพลาริซิงกลมร่วมกับระบบควบคุมทิศทางที่มีแบบรูปการแพร่กระจายคลื่นคล้ายไดโพลจากเอกสารอ้างอิงที่ [12] (ต่อ)

เอกสารนี้เป็นเอกสารที่สงวนไว้สำหรับการใช้งานเพื่อการศึกษาเท่านั้น ไม่อนุญาตให้นำไปใช้ประโยชน์ด้านการค้า ไม่ว่ากรณีใดๆ ทั้งสิ้น อีกทั้งห้ามมิให้ดัดแปลงเนื้อหา และต้องอ้างอิงถึงเจ้าของเอกสารทุกครั้งที่มีการนำไปใช้

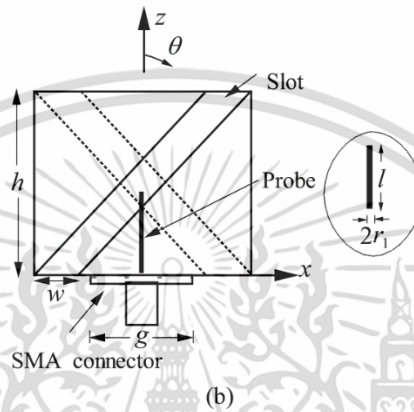
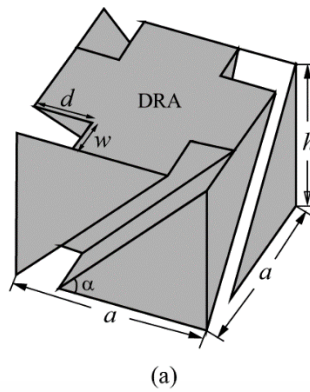
2.9.1.5 สายอากาศไดอิเล็กทริกเรโซเนเตอร์ทรงสี่เหลี่ยมแปรรูปกระจายคลื่นรอบทิศทางที่มีการโพลาไรซ์เชิงเส้นและวงกลม

งานวิจัยที่ห้สายอากาศไดอิเล็กทริกเรโซเนเตอร์ทรงสี่เหลี่ยมแปรรูปกระจายคลื่นรอบทิศทางที่มีการโพลาไรซ์เชิงเส้นและวงกลมจากเอกสารอ้างอิงที่ [13] เป็นผลงานของ Y. M. Pan K. W. Leung และ K. Lu ที่ได้รับการตีพิมพ์เมื่อปี ค.ศ. 2012 จากรูปที่ 2.28(ก) โครงสร้างของสายอากาศมีขนาดมิติ $0.299 \lambda_L \times 0.299 \lambda_L \times 0.253 \lambda_L$ ที่ความถี่ 2.30 GHz ซึ่งสายอากาศประกอบด้วยสายอากาศโมโนโพล ทำหน้าที่แพร่กระจายคลื่นแบบรอบตัวโพลาไรซ์เชิงเส้นแนวตั้ง ร่วมกับไดอิเล็กทริกเรโซเนเตอร์ทรงสี่เหลี่ยมที่มีการเซาะร่องทั้ง 4 ด้านไดอิเล็กทริกเรโซเนเตอร์ทรงสี่เหลี่ยม เพื่อทำหน้าที่แปลงโพลาไรซ์เชิงเส้นแนวตั้งเป็นโพลาไรซ์วงกลม จากรูปที่ 2.28(ข) – 2.28(จ) แสดงผลการทดสอบแบนด์วิดท์ของ $|S_{11}|$ เท่ากับ 24.42% (5 – 6.5 GHz) แบนด์วิดท์ของอัตราส่วนแกนเท่ากับ 7.3% (2.39 – 2.57 GHz) อัตราขยายสูงสุดเท่ากับ 1.6 dBic ที่ความถี่ 2.6 GHz และมีแบบรูปการแพร่กระจายคลื่นแบบรอบทิศทาง แสดงตั้งในระนาบ x-z และระนาบ y-z ที่ความถี่ 2.46 GHz ดังรูปที่ 2.28(จ)

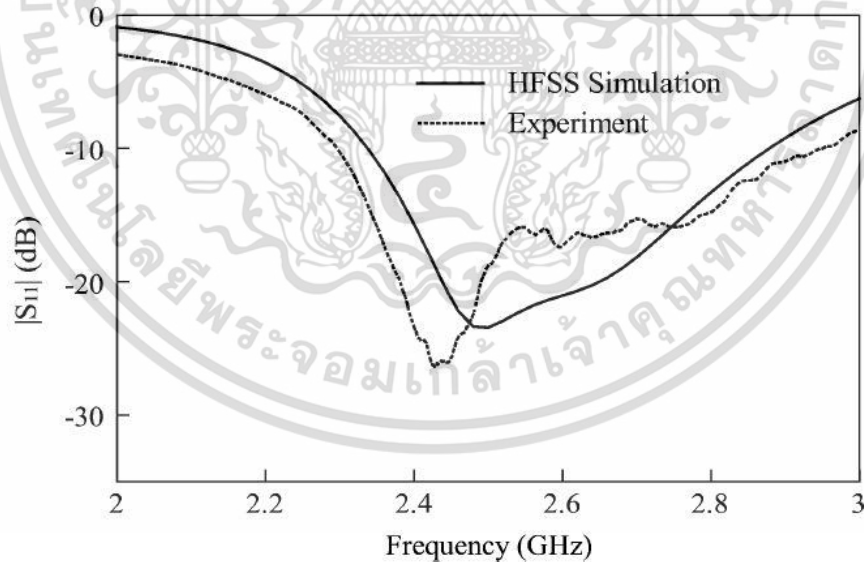


(ก) สายอากาศไดอิเล็กทริกเรโซเนเตอร์ทรงสี่เหลี่ยมแปรรูปกระจายคลื่นรอบทิศทางที่มีการโพลาไรซ์เชิงเส้นและวงกลมต้นแบบ

รูปที่ 2.28 สมรรถนะของสายอากาศไดอิเล็กทริกเรโซเนเตอร์ทรงสี่เหลี่ยมแปรรูปกระจายคลื่นรอบทิศทางที่มีการโพลาไรซ์เชิงเส้นและวงกลมจากเอกสารอ้างอิงที่ [13]



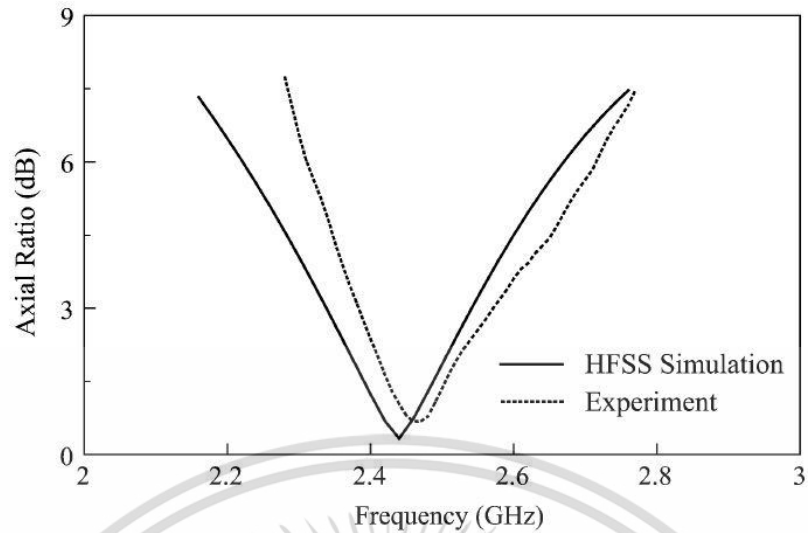
(ก) โครงสร้างสายอากาศไดอิเล็กทริกเรโซเนเตอร์ทรงสี่เหลี่ยมแพร์กระจายคลื่น
รอบทิศทางที่มีการโพลาริเซชันเชิงเส้นและวงกลม



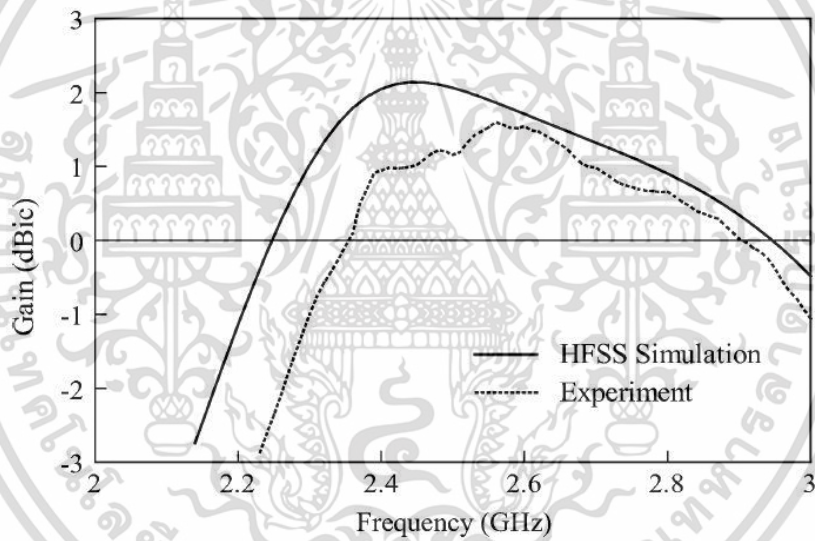
(ข) ผลการจำลองและทดสอบ $|S_{11}|$

รูปที่ 2.28 สมรรถนะของสายอากาศไดอิเล็กทริกเรโซเนเตอร์ทรงสี่เหลี่ยมแพร์กระจายคลื่น
รอบทิศทางที่มีการโพลาริเซชันเชิงเส้นและวงกลมจากเอกสารอ้างอิงที่ [13] (ต่อ)

เอกสารนี้เป็นเอกสารที่สงวนไว้สำหรับการใช้งานเพื่อการศึกษาเท่านั้น ไม่อนุญาตให้นำไปใช้ประโยชน์ด้านการค้า
ไม่ว่ากรณีใดๆ ทั้งสิ้น อีกทั้งห้ามมิให้ดัดแปลงเนื้อหา และต้องอ้างอิงถึงเจ้าของเอกสารทุกครั้งที่มีการนำไปใช้



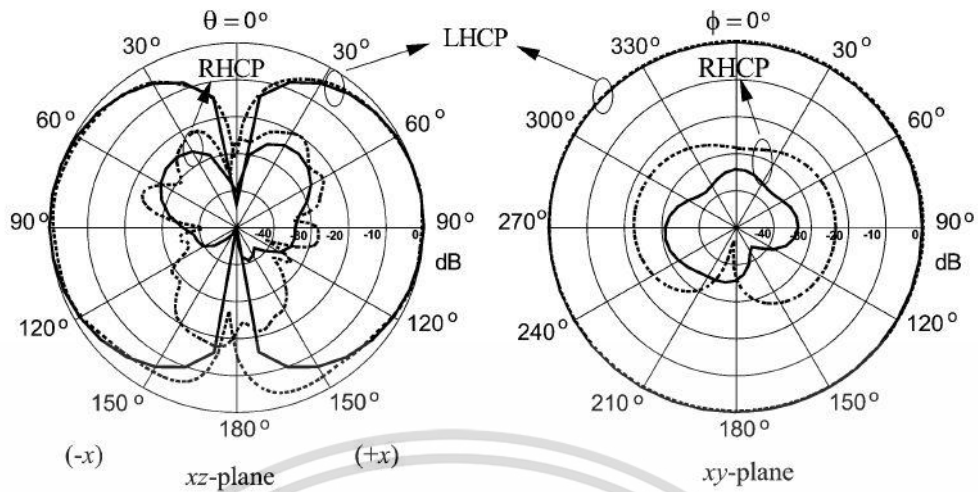
(ค) ผลการจำลองและทดสอบอัตราส่วนแกน



(ง) ผลจำลองและการทดสอบอัตราขยาย

รูปที่ 2.28 สมรรถนะของสายอากาศไดอิเล็กทริกเรโซเนเตอร์ทรงสี่เหลี่ยมแพร่กระจายคลื่น รอบทิศทางที่มีการโพลาไรซ์เชิงเส้นและวงกลมจากเอกสารอ้างอิงที่ [13] (ต่อ)

เอกสารนี้เป็นเอกสารที่สงวนไว้สำหรับการใช้งานเพื่อการศึกษาเท่านั้น ไม่อนุญาตให้นำไปใช้ประโยชน์ด้านการค้า ไม่ว่ากรณีใดๆ ทั้งสิ้น อีกทั้งห้ามมิให้ดัดแปลงเนื้อหา และต้องอ้างอิงถึงเจ้าของเอกสารทุกครั้งที่มีการนำไปใช้



----- Measured (2.46 GHz) ——— Simulated (2.44 GHz)

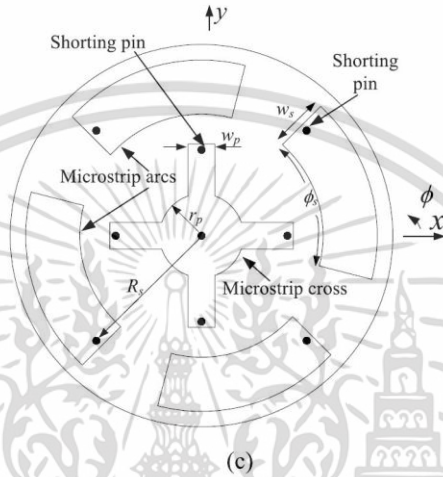
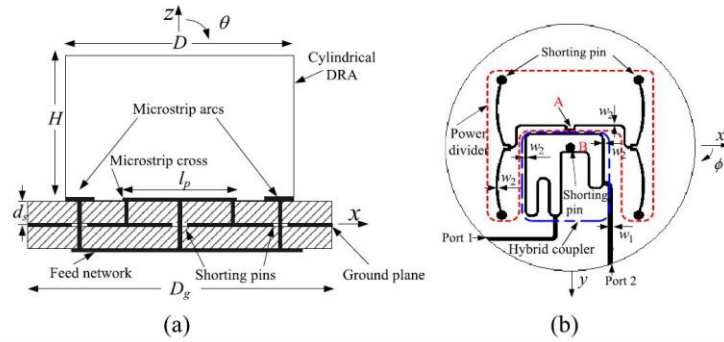
(จ) ผลการจำลองและทดสอบแบบรูปการแพร่กระจายคลื่น ในระนาบ x-z และระนาบ y-z ที่ความถี่ 2.46 GHz สำหรับผลทดสอบ และที่ความถี่ 2.44 GHz สำหรับผลจำลอง

รูปที่ 2.28 สมรรถนะของสายอากาศไดอิเล็กทริกเรโซเนเตอร์ทรงสี่เหลี่ยมแพร่กระจายคลื่น รอบทิศทางที่มีการโพลาไรซ์เชิงเส้นและวงกลมจากเอกสารอ้างอิงที่ [13] (ต่อ)

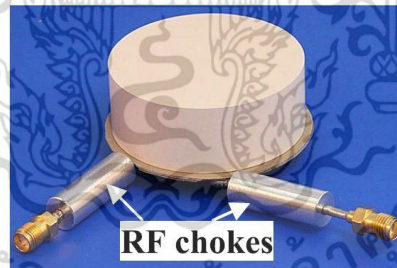
2.9.1.6 สายอากาศไดอิเล็กทริกเรโซเนเตอร์แพร่กระจายคลื่นรอบทิศทางร่วมกับระนาบป้อนสัญญาณสำหรับการออกแบบที่แตกต่างกันของโพลาไรซ์วงกลม

งานวิจัยที่หกเป็นสายอากาศไดอิเล็กทริกเรโซเนเตอร์แพร่กระจายคลื่นรอบทิศทางร่วมกับระนาบป้อนสัญญาณสำหรับการออกแบบที่แตกต่างกันของโพลาไรซ์วงกลมจากเอกสารอ้างอิงที่ [14] เป็นผลงานของ W. Li K. W. Leung และ N. Yang ที่ได้รับการตีพิมพ์เมื่อปี ค.ศ. 2018 จากรูปที่ 2.29(ก) โครงสร้างของสายอากาศมีขนาดมิติ $0.418 \lambda_L \times 0.418 \lambda_L \times 0.158 \lambda_L$ ที่ความถี่ 2.37 GHz ซึ่งมีวัสดุฐานรองจำนวน 2 ชั้นซ้อนติดกัน โดยวัสดุฐานรองชั้นล่างจะประกอบไปด้วยโครงข่ายป้อนสัญญาณจำนวน 2 พอร์ต 4 เอาต์พุต ที่เชื่อมต่อไปยังวัสดุฐานรองชั้นบน ระหว่างชั้นสเตรทชั้นบนและล่างจะมีระนาบกราวด์เป็นตัวคั่น สำหรับวัสดุฐานรองชั้นบนจะประกอบไปด้วยไมโครสตริปแพตช์ที่มีรูปทรงไขว้บริเวณกึ่งกลาง และมีไมโครสตริปแพตช์ที่เรียกว่าแขน จำนวน 4 องค์กรประกอบโดยไดอิเล็กทริกเรโซเนเตอร์ทรงกระบอกจะวางอยู่บนวัสดุฐานรอง จากรูปที่ 2.29(ข) – 2.29(ฉ) แสดงผลการทดสอบแบนด์วิดท์ของ $|S_{11}|$ เท่ากับ 10.4% (2.37 – 2.63 GHz) แบนด์วิดท์ของอัตราส่วนแกนเท่ากับ 8.91.4% (2.36 – 2.58 GHz) อัตราขยายสูงสุดเท่ากับ 1.56 dBic ที่ความถี่ 2.46 GHz และมีแบบรูปการแผ่กระจายคลื่นแบบรอบตัว แสดงดังในระนาบ x-z และระนาบ y-z ที่ความถี่ 2.44 GHz ดังรูปที่ 2.29(จ) – (ฉ)

เอกสารนี้เป็นเอกสารที่สงวนไว้สำหรับการใช้งานเพื่อการศึกษาเท่านั้น ไม่อนุญาตให้นำไปใช้ประโยชน์ด้านการค้า ไม่ว่าจะกรณีใดๆ ทั้งสิ้น อีกทั้งห้ามมิให้ดัดแปลงเนื้อหา และต้องอ้างอิงถึงเจ้าของเอกสารทุกครั้งที่มีการนำไปใช้



(ก) โครงสร้างสายอากาศไดอิเล็กทริกเรโซเนเตอร์แพร์กระจายคลื่นรอบทิศทางร่วมกับระนาบป้อนสัญญาณสำหรับการออกแบบที่แตกต่างกันของโพลาริเซชันวงกลม



(a)

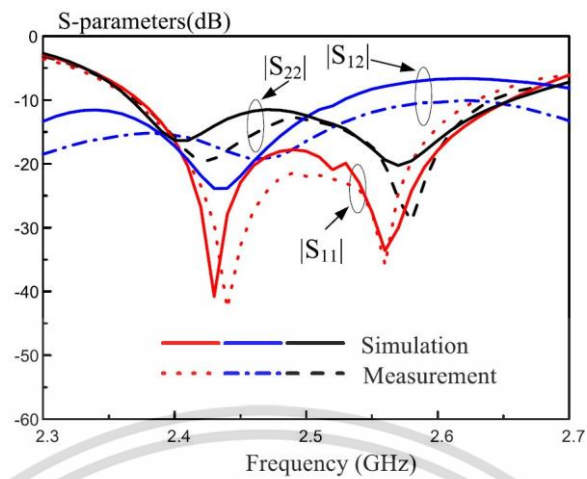
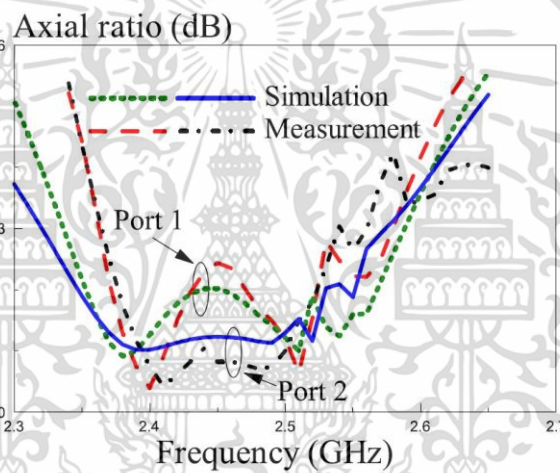


(b)

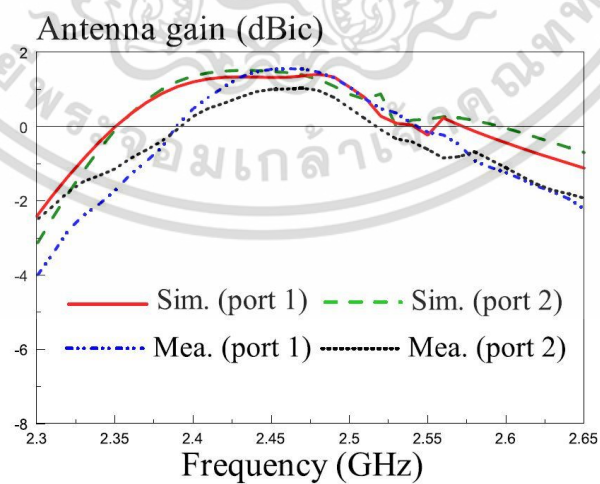
(c)

(ข) สายอากาศไดอิเล็กทริกเรโซเนเตอร์แพร์กระจายคลื่นรอบทิศทางร่วมกับระนาบป้อนสัญญาณสำหรับการออกแบบที่แตกต่างกันของโพลาริเซชันวงกลมต้นแบบ

รูปที่ 2.29 สมรรถนะสายอากาศไดอิเล็กทริกเรโซเนเตอร์แพร์กระจายคลื่นรอบทิศทางร่วมกับระนาบป้อนสัญญาณสำหรับการออกแบบที่แตกต่างกันของโพลาริเซชันวงกลมจากเอกสารอ้างอิงที่ [14] เอกสารนี้เป็นเอกสารที่สงวนไว้สำหรับการใช้งานเพื่อการศึกษาเท่านั้น ไม่อนุญาตให้นำไปใช้ประโยชน์ด้านการค้า ไม่ว่าจะกรณีใดๆ ทั้งสิ้น อีกทั้งห้ามมิให้ดัดแปลงเนื้อหา และต้องอ้างอิงถึงเจ้าของเอกสารทุกครั้งที่มีการนำไปใช้

(ข) ผลการทดสอบ $|S_{11}|$ 

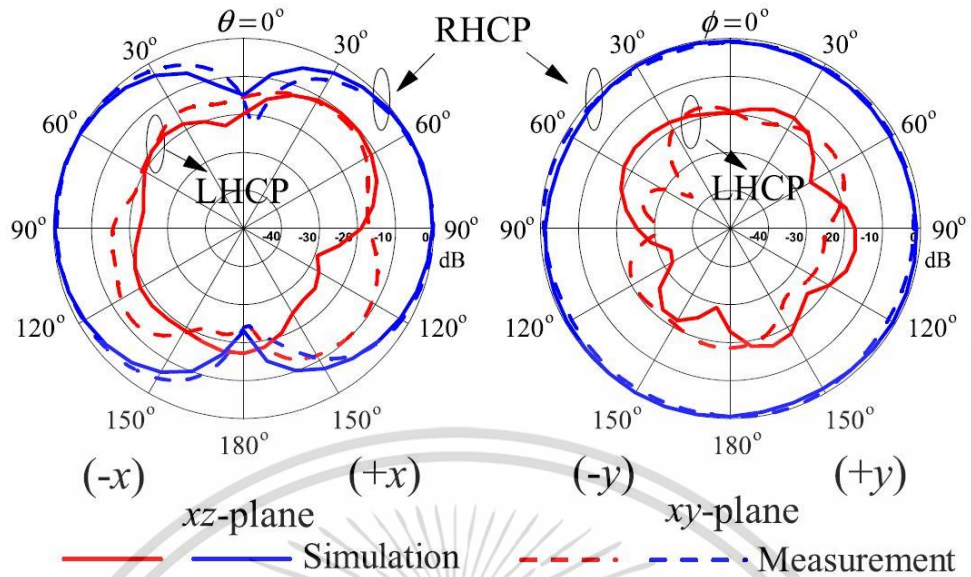
(ค) ผลการทดสอบอัตราส่วนแกน



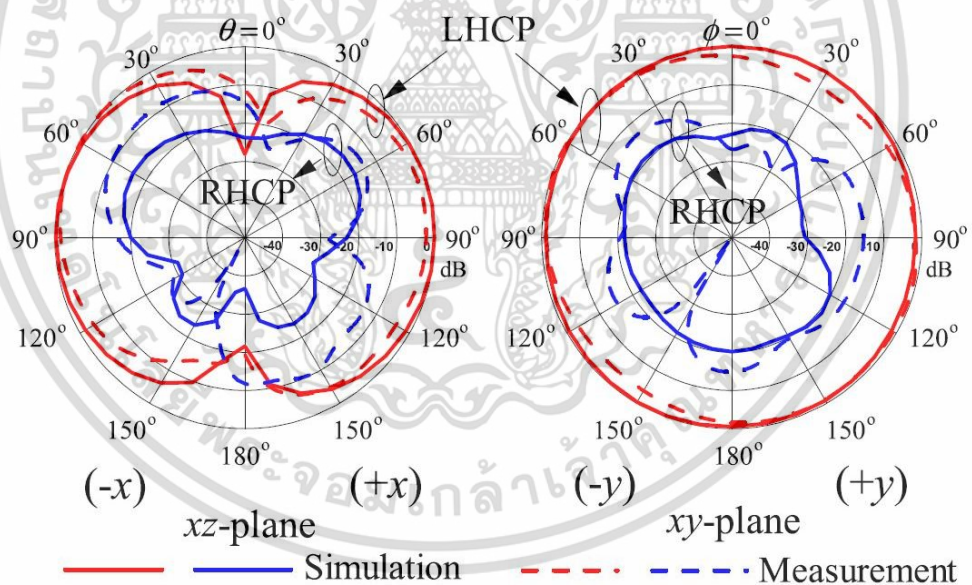
(ง) ผลการทดสอบอัตราขยาย

รูปที่ 2.29 สมรรถนะสายอากาศไดอิเล็กตริกเรโซเนเตอร์แพร่กระจายคลื่นรอบทิศทางร่วมกับระบบป้อนสัญญาณสำหรับการออกแบบที่แตกต่างกันของโพลาริซิงกลมจากเอกสารอ้างอิงที่ [14] (ต่อ)

เอกสารนี้เป็นเอกสารที่สงวนไว้สำหรับการใช้งานเพื่อการศึกษาเท่านั้น ไม่อนุญาตให้นำไปใช้ประโยชน์ด้านการค้า ไม่ว่าจะกรณีใดๆ ทั้งสิ้น อีกทั้งห้ามมิให้ดัดแปลงเนื้อหา และต้องอ้างอิงถึงเจ้าของเอกสารทุกครั้งที่มีการนำไปใช้



(จ) ผลการจำลองและการทดสอบแบบรูปการแพร่กระจายคลื่น ในระนาบ $x-z$ และระนาบ $x-y$ ที่ความถี่ 2.44 GHz จุดบ่อนสัญญาณ 1



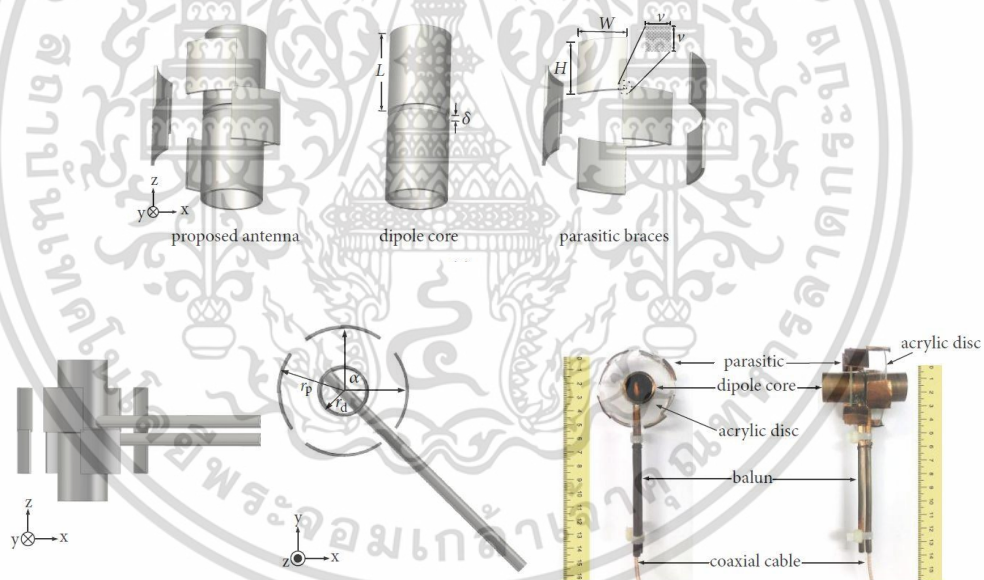
(ข) ผลการจำลองและการทดสอบแบบรูปการแพร่กระจายคลื่น ในระนาบ $x-z$ และระนาบ $x-y$ ที่ความถี่ 2.44 GHz จุดบ่อนสัญญาณ 2

รูปที่ 2.29 สายอากาศไดอิเล็กทริกเรโซเนเตอร์แพร่กระจายคลื่นรอบทิศทางร่วมกับระนาบบ่อนสัญญาณสำหรับการออกแบบที่แตกต่างกันของโพลาริซวงกลมจากเอกสารอ้างอิงที่ [14] (ต่อ)

เอกสารนี้เป็นเอกสารที่สงวนไว้สำหรับการใช้งานเพื่อการศึกษาเท่านั้น ไม่อนุญาตให้นำไปใช้ประโยชน์ด้านการค้า ไม่ว่าจะกรณีใดๆ ทั้งสิ้น อีกทั้งห้ามมิให้ดัดแปลงเนื้อหา และต้องอ้างอิงถึงเจ้าของเอกสารทุกครั้งที่มีการนำไปใช้

2.9.1.7 สายอากาศแพร่กระจายคลื่นรอบทิศทางโพลาไรซ์วงกลมร่วมกับแกนไดโพล และ พาราซิติกที่เชื่อมติดกันในแนวทแยงสำหรับประยุกต์ใช้งานย่านความถี่ ISM

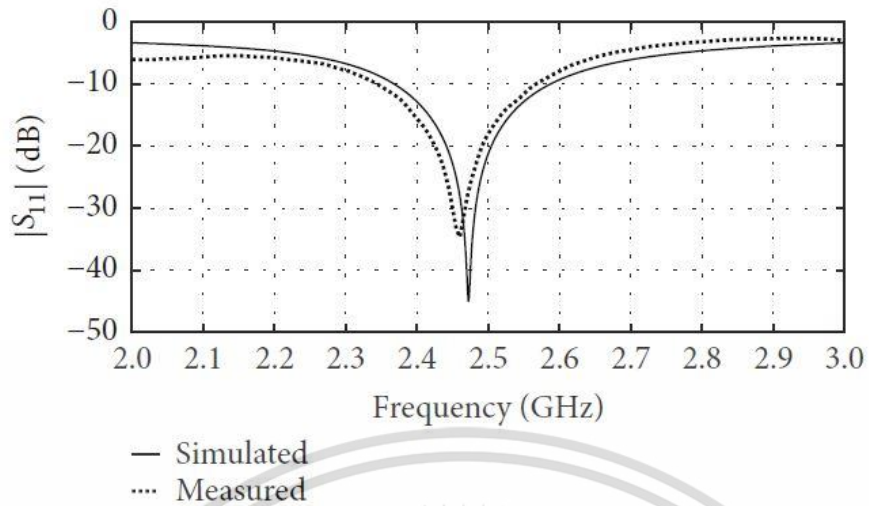
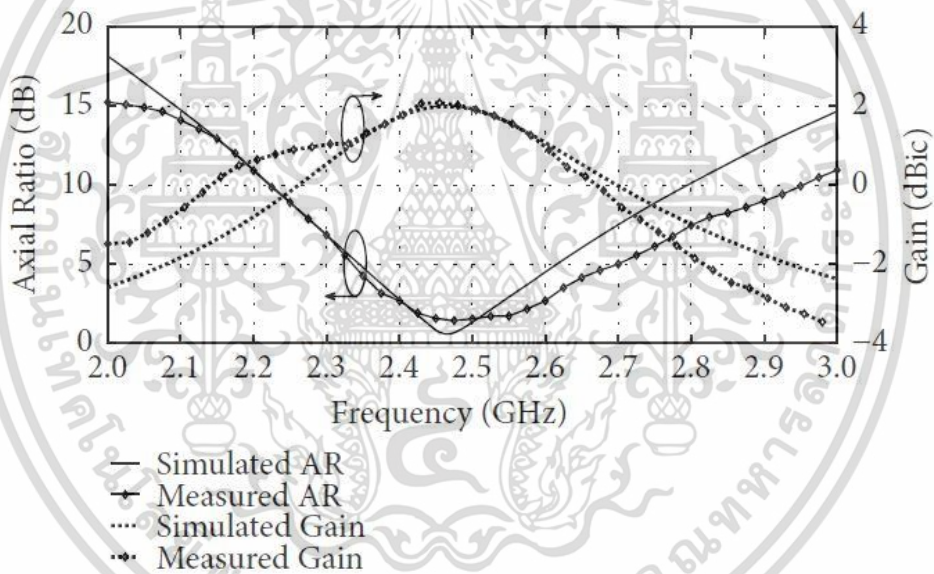
งานวิจัยที่เจ็ดเป็นสายอากาศแพร่กระจายคลื่นรอบทิศทางโพลาไรซ์วงกลมร่วมกับแกนไดโพล และพาราซิติกที่เชื่อมติดกันในแนวทแยงสำหรับประยุกต์ใช้งานย่านความถี่ ISM จากเอกสารอ้างอิงที่ [23] เป็นผลงานของ P. Dangkham S. Dentri C. Phongcharoenpanich และ P. Akkaraekthalin ที่ได้รับการตีพิมพ์เมื่อปี ค.ศ. 2019 จากรูปที่ 2.30(ก) โครงสร้างของสายอากาศมีขนาดมิติ $0.407 \lambda_L \times 0.407 \lambda_L \times 0.438 \lambda_L$ ที่ความถี่ 2.35 GHz ซึ่งสายอากาศประกอบด้วยสายอากาศไดโพลกลาง พาราซิติกสี่เหลี่ยมที่มีจุดเชื่อมต่อในแนวทแยง จำนวน 4 องค์ประกอบ วางรอบสายอากาศไดโพลทำหน้าที่แปลงโพลาไรซ์เชิงเส้นแนวตั้งเป็นโพลาไรซ์วงกลม โดยมีบาลันเป็นตัวแมตชิง ลดกระแสรั่วไหล และมีหน้าที่แปลงกระแสที่ไม่บาลานซ์จากสายนำสัญญาณเป็นบาลานซ์เพื่อป้อนสัญญาณให้กับสายอากาศไดโพล ซึ่งสายอากาศมีจุดป้อนสัญญาณเดียว จากรูปที่ 2.30(ข) – 2.30(ง) แสดงผลการทดสอบแบนด์วิดท์ของ $|S_{11}|$ เท่ากับ 8.94% (2.35 – 2.57 GHz) แบนด์วิดท์ของอัตราส่วนแกนเท่ากับ 8.0% (2.4 – 2.6 GHz) อัตราขยายสูงสุดเท่ากับ 2.07 dBic ที่ความถี่ 2.45 GHz และมีแบบรูปการแผ่กระจายคลื่นแบบรอบตัว ดังแสดงในระนาบ x-z และระนาบ y-z ที่ความถี่ 2.45 GHz ดังรูปที่ 2.30(ง)



(ก) โครงสร้างสายอากาศแพร่กระจายคลื่นรอบทิศทางโพลาไรซ์วงกลมร่วมกับแกนไดโพล และพาราซิติกที่เชื่อมติดกันในแนวทแยง

รูปที่ 2.30 สมรรถนะของสายอากาศแพร่กระจายคลื่นรอบทิศทางโพลาไรซ์วงกลมร่วมกับแกนไดโพล และพาราซิติกที่เชื่อมติดกันในแนวทแยงจากเอกสารอ้างอิงที่ [23]

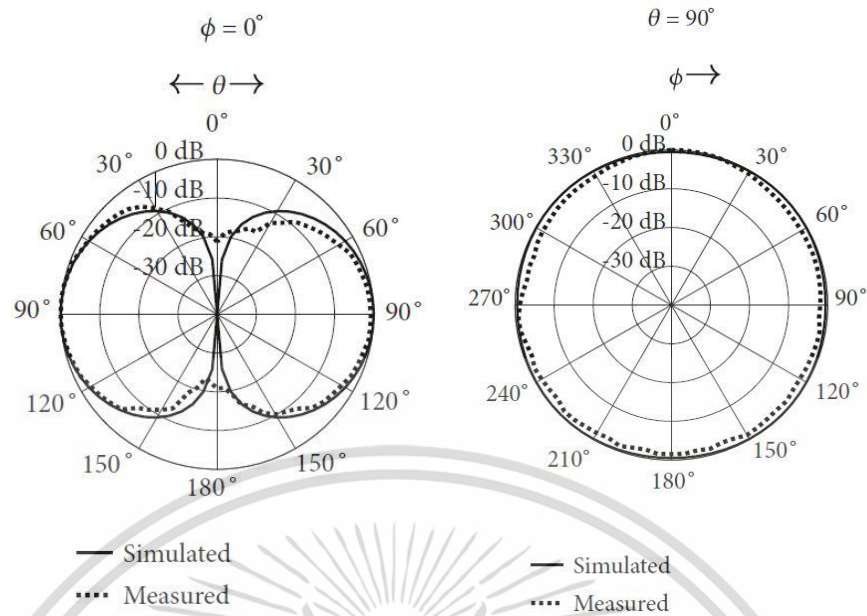
เอกสารนี้เป็นเอกสารที่สงวนไว้สำหรับการใช้งานเพื่อการศึกษาเท่านั้น ไม่อนุญาตให้นำไปใช้ประโยชน์ด้านการค้า ไม่ว่าจะกรณีใดๆ ทั้งสิ้น อีกทั้งห้ามมิให้ดัดแปลงเนื้อหา และต้องอ้างอิงถึงเจ้าของเอกสารทุกครั้งที่มีการนำไปใช้

(ข) ผลการทดสอบ $|S_{11}|$ 

(ค) ผลการทดสอบอัตราส่วนแกนและอัตราขยาย

รูปที่ 2.30 สมรรถนะของสายอากาศแพร่กระจายคลื่นรอบทิศทางโพลาไรซ์วงกลมร่วมกับแกนไดโพล และพาราซิติคที่เชื่อมติดกันในแนวทแยงจากเอกสารอ้างอิงที่ [23] (ต่อ)

เอกสารนี้เป็นเอกสารที่สงวนไว้สำหรับการใช้งานเพื่อการศึกษาเท่านั้น ไม่อนุญาตให้นำไปใช้ประโยชน์ด้านการค้า ไม่ว่ากรณีใดๆ ทั้งสิ้น อีกทั้งห้ามมิให้ดัดแปลงเนื้อหา และต้องอ้างอิงถึงเจ้าของเอกสารทุกครั้งที่มีการนำไปใช้



(ง) ผลการทดสอบแบบรูปการแพร่กระจายคลื่น ในระนาบ x-z และระนาบ y-z ที่ความถี่ 5 GHz

รูปที่ 2.30 สมรรถนะของสายอากาศแพร่กระจายคลื่นรอบทิศทางโพลาริซวงกลมร่วมกับแกนไดโพล และพาราซิติคที่เชื่อมติดกันในแนวทแยงจากเอกสารอ้างอิงที่ [23] (ต่อ)

ตารางที่ 2.2 สรุปสมรรถนะของสายอากาศโพลาริซวงกลมแพร่กระจายคลื่นรอบทิศทางจากงานวิจัยที่มีมาก่อนหน้า ซึ่งแสดงผลในรูปแบบของอิมพีแดนซ์แบนด์วิดท์ อัตราส่วนแกนแบนด์วิดท์ อัตราขยายสูงสุด และขนาดของสายอากาศเมื่อเทียบกับความยาวคลื่น ดังที่ได้กล่าวมาในบทความข้างต้นแล้วจึงสามารถสรุปได้ดังนี้

ตารางที่ 2.2 สมรรถนะของสายอากาศโพลาริซวงกลมแพร่กระจายคลื่นรอบทิศทางของงานวิจัยที่มีมาก่อน

งานวิจัย ก่อนหน้า	อิมพีแดนซ์ แบนด์วิดท์	อัตราส่วนแกน แบนด์วิดท์	อัตราขยายสูงสุด (dBic)	ขนาดของสายอากาศ ต่อความยาวคลื่น
[1]	19.84% 2.27-2.77GHz	17.67% 2.27-2.71 GHz	3.75	$0.682 \lambda_L \times 0.979 \lambda_L \times$ $0.050 \lambda_L$ ที่ 3.32 GHz
[3]	13.17% 2.34-2.67 GHz	10.50% 2.26-2.51 GHz	1.12	$1.816 \lambda_L \times 1.816 \lambda_L \times$ $0.380 \lambda_L$ ที่ 8.25 GHz
[11]	9.00% 2.32-2.54 GHz	11.76% 2.32-2.61 GHz	1.20	$1.190 \lambda_L \times 1.190 \lambda_L \times$ $0.053 \lambda_L$ ที่ 4.60 GHz

เอกสารนี้เป็นเอกสารที่สงวนไว้สำหรับการใช้งานเพื่อการศึกษาเท่านั้น ไม่อนุญาตให้นำไปใช้ประโยชน์ด้านการค้า
ไม่ว่ากรณีใดๆ ทั้งสิ้น อีกทั้งห้ามมิให้ดัดแปลงเนื้อหา และต้องอ้างอิงถึงเจ้าของเอกสารทุกครั้งที่มีการนำไปใช้

[12]	4.48% 2.40-2.51 GHz	1.21% 2.46-2.48 GHz	1.90	$0.710 \lambda_L \times 0.710 \lambda_L \times$ $0.060 \lambda_L$ ที่ 4.45 GHz
[13]	24.42% 2.30-2.94 GHz	7.25% 2.39-2.57 GHz	0.91	$0.790 \lambda_L \times 0.790 \lambda_L \times$ $0.067 \lambda_L$ ที่ 5.00 GHz
[14]	10.40% 2.37-2.63 GHz	8.90% 2.36-2.58 GHz	1.56	$0.683 \lambda_L \times 0.683 \lambda_L \times$ $0.058 \lambda_L$ ที่ 5.00 GHz
[23]	9.37% 2.34-2.57 GHz	8.00% 2.40-2.60GHz	2.07	$0.860 \lambda_L \times 0.890 \lambda_L \times$ $0.038 \lambda_L$ ที่ 5.11 GHz

2.10 สรุป

ในบทนี้ได้กล่าวถึงหลักการและทฤษฎีพื้นฐานที่เกี่ยวข้องของสายอากาศไมโครสตริป สายอากาศโมโนโพล วิธีการบ่อนสัญญาณของสายอากาศแถวลำดับและโครงข่ายการบ่อนสัญญาณที่ หมุนวนตามลำดับ การโพลาไรซ์ของสายอากาศ ทฤษฎีของอภิวัด (Metamaterial) ที่เกี่ยวข้องกับ คลื่นพื้นผิว (Surface waves) พื้นผิวอิมพีแดนซ์สูง (High-impedance surfaces) โครงสร้างช่องว่าง แถบแม่เหล็กไฟฟ้า (Electromagnetic Band Gap) โครงสร้างพื้นผิวเลือกความถี่ (Frequency selective surface) โครงสร้างตัวนำแม่เหล็กเทียม (Artificial Magnetic Conductor) และศึกษา เปรียบเทียบงานวิจัยที่มีมาก่อน

จากข้อความข้างต้นนั้น ได้กล่าวถึงหลักการและทฤษฎีพื้นฐานต่าง ๆ ที่สามารถนำไป ประยุกต์ใช้ในการออกแบบสายอากาศสายอากาศโมโนโพลโพลาไรซ์วงกลมแพร่กระจายคลื่นรอบ ทิศทาง (OCPA) อีกทั้งเพื่อที่จะนำไปสู่การออกแบบสายอากาศโมโนโพลโพลาไรซ์วงกลมแพร่กระจาย คลื่นรอบทิศทางร่วมกับระนาบกราวด์ตัวนำแม่เหล็กประดิษฐ์แบบรูปร่างแหวนเดี่ยว (SA-AMC) และ ระนาบกราวด์ตัวนำแม่เหล็กประดิษฐ์แบบรูปร่างแหวนคู่ (DA-AMC) เพื่อให้สายอากาศสามารถมี ความยืดหยุ่นในการออกแบบของสายอากาศโมโนโพลโพลาไรซ์วงกลมแพร่กระจายคลื่นรอบทิศทาง ที่มีข้อเสียในการออกแบบระนาบกราวด์ด้านล่างที่ต้องมีขนาดคงที่ตลอดเวลาในการนำไปใช้งานหรือ ติดตั้ง ทั้งนี้การนำระนาบกราวด์ตัวนำแม่เหล็กประดิษฐ์ยังช่วยเพิ่มความกว้างช่วงความถี่ของ อิมพีแดนซ์แบนด์วิดท์ และอัตราส่วนแบนด์วิดท์ และประสิทธิภาพของสายอากาศโดยรวมอีก ด้วย

บทที่ 3

การออกแบบและการจำลอง สายอากาศโมโนโพลโพลาริซวงกลม แพร่กระจายคลื่นรอบทิศทาง

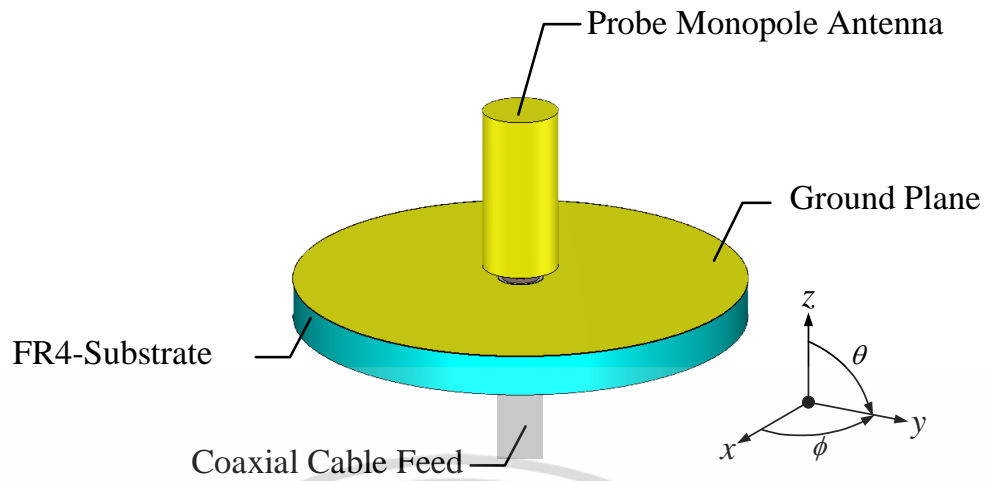
3.1 บทนำ

ในบทนี้จะกล่าวถึงทฤษฎีและหลักการออกแบบสายอากาศโมโนโพลโพลาริซวงกลมแพร่กระจายคลื่นรอบทิศทาง (OCPA) ซึ่งประกอบไปด้วย 2 ส่วน ได้แก่ สายอากาศโมโนโพลและพาราซิติคส์เหลี่ยมที่เชื่อมต่อกันในแนวทแยงจำนวน 4 องค์กรประกอบ โดยสายอากาศโมโนโพลนั้นจะประกอบไปด้วยโพรบโมโนโพลและระนาบกราวด์เต็มรูปวงกลม ในส่วนของพาราซิติคส์เหลี่ยมเชื่อมต่อกันในแนวทแยงจำนวน 4 องค์กรประกอบนั้นได้ถูกนำมาจัดเรียงและโค้งตามรัศมีวงกลมรอบโครงสร้างสายอากาศโมโนโพล เพื่อทำหน้าที่แปลงโพลาริซเชิงเส้นเป็นโพลาริซวงกลม โดยใช้ทฤษฎีที่ได้กล่าวมาแล้วในบทที่ 2 ในการออกแบบสายอากาศสายอากาศโมโนโพลโพลาริซวงกลมแพร่กระจายคลื่นรอบทิศทางนั้นจะใช้โปรแกรม CST Microwave Studio Suite ในการหาค่าที่เหมาะสมของสายอากาศโมโนโพลโพลาริซวงกลมแพร่กระจายคลื่นรอบทิศทาง โดยจะทำการศึกษาถึงผลกระทบต่อค่าพารามิเตอร์ต่าง ๆ ที่เกี่ยวข้องกับสายอากาศดังกล่าว

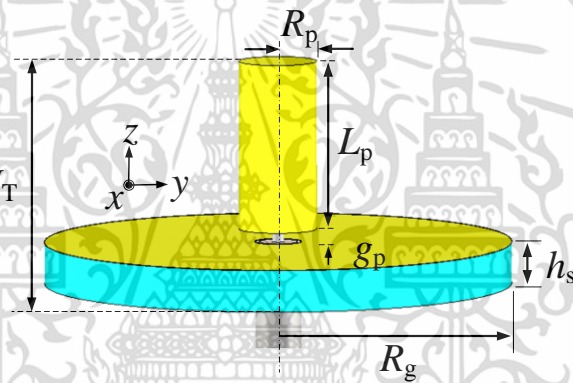
3.2 การออกแบบสายอากาศโมโนโพล

การออกแบบสายอากาศโมโนโพลในวิทยานิพนธ์นี้นั้นมีองค์ประกอบหลักอยู่ 3 ส่วน ได้แก่ โพรบ ระนาบกราวด์ และวัสดุฐานรอง ซึ่งสายอากาศถูกออกแบบขึ้นบนวัสดุฐานรอง (Substrate) ชนิด FR-4 รุ่น Chukoh CGP-500A ที่มีค่าสภาพยอมไฟฟ้าสัมพัทธ์ (Relative permittivity : ϵ_r) เท่ากับ 2.6 มีค่าการสูญเสียแทนเจนต์ (Tangent loss : $\tan \delta$) เท่ากับ 0.0025 จำนวน 1 ชั้น ความหนาของวัสดุฐานรอง (h_s) เท่ากับ 3.2 mm ด้านบนถูกเคลือบด้วยทองแดงหนา 18 μm ที่เป็นส่วนของระนาบกราวด์ เจาะรูบริเวณกึ่งกลางระนาบกราวด์วงกลม เพื่อเป็นจุดป้อนสัญญาณให้กับโพรบ ซึ่งโพรบจะเป็นแท่งทองแดงจะถูกวางไว้บริเวณกึ่งกลางสายอากาศ การป้อนสัญญาณจะใช้สายนำสัญญาณโคแอกเซียลในการจำลองผล ขนาดโดยรวมของสายอากาศโมโนโพลเท่ากับ 36.0 mm \times 36.0 mm \times 20.4 mm ($R_g \times R_g \times H_T$) โดยโครงสร้างสายอากาศโมโนโพลนั้นแสดงได้ดังรูปที่ 3.1 ในส่วน ตารางที่ 3.1 จะเป็นการกำหนดพารามิเตอร์และขนาดที่เหมาะสมของสายอากาศโมโนโพล

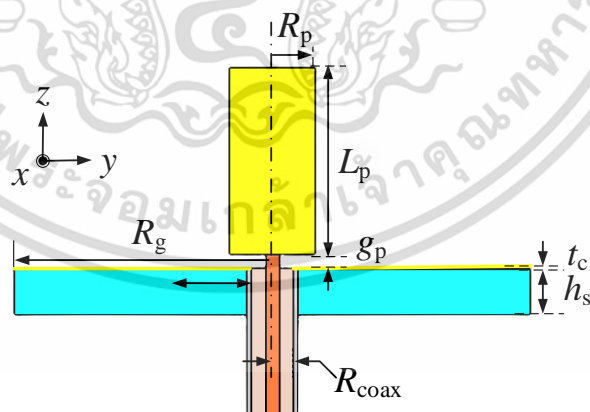
เอกสารนี้เป็นเอกสารที่สงวนไว้สำหรับการใช้งานเพื่อการศึกษาเท่านั้น ไม่อนุญาตให้นำไปใช้ประโยชน์ด้านการค้า
ไม่ว่ากรณีใดๆ ทั้งสิ้น อีกทั้งห้ามมิให้ดัดแปลงเนื้อหา และต้องอ้างอิงถึงเจ้าของเอกสารทุกครั้งที่มีการนำไปใช้



(ก) องค์ประกอบสายอากาศโมโนโพล



(ข) พารามิเตอร์สายอากาศโมโนโพล



(ข) ภาพตัดขวางสายอากาศโมโนโพล

รูปที่ 3.1 โครงสร้างและพารามิเตอร์สายอากาศโมโนโพล

เอกสารนี้เป็นเอกสารที่สงวนไว้สำหรับการใช้งานเพื่อการศึกษาเท่านั้น ไม่อนุญาตให้นำไปใช้ประโยชน์ด้านการค้า
ไม่ว่ากรณีใดๆ ทั้งสิ้น อีกทั้งห้ามมิให้ดัดแปลงเนื้อหา และต้องอ้างอิงถึงเจ้าของเอกสารทุกครั้งที่มีการนำไปใช้

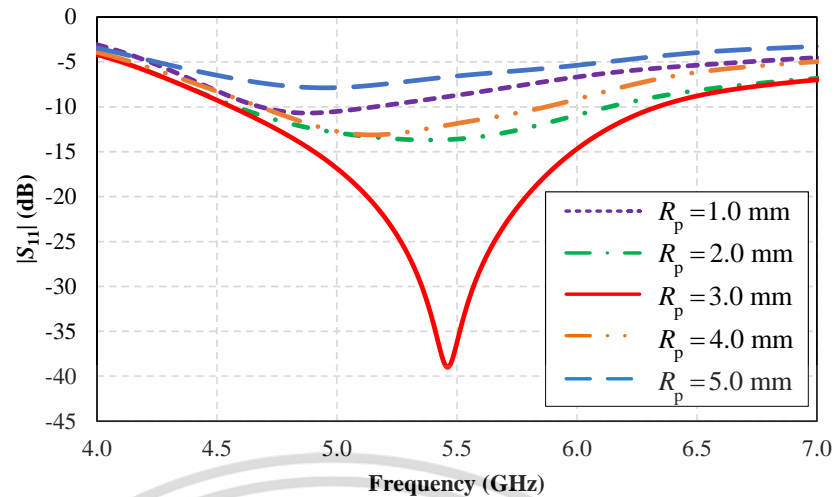
ตารางที่ 3.1 พารามิเตอร์และขนาดที่เหมาะสมของสายอากาศโมโนโพล

พารามิเตอร์	ขนาด (mm)	ขนาดทางไฟฟ้า (m)	หมายเหตุ
L_p	16.20	$0.297 \lambda_c$	ความสูงโพรบ
R_p	3.90	$0.071 \lambda_c$	รัศมีโพรบ
g_p	1.00	$0.018 \lambda_c$	ช่องว่างโพรบกับ ระนาบกราวด์
R_g	18.00	$0.330 \lambda_c$	รัศมีกราวด์
h_s	3.20	$0.058 \lambda_c$	ความสูงวัสดุฐานรอง
t_c	0.018	$0.0003 \lambda_c$	ความสูงทองแดง วัสดุฐานรอง
R_{coax}	1.80	$0.0003 \lambda_c$	รัศมีสายนำสัญญาณ โคแอกเชียล
H_T	20.40	$0.374 \lambda_c$	ความสูงรวม

3.2.1 การศึกษาผลกระทบและปัญหาของสายอากาศโมโนโพล

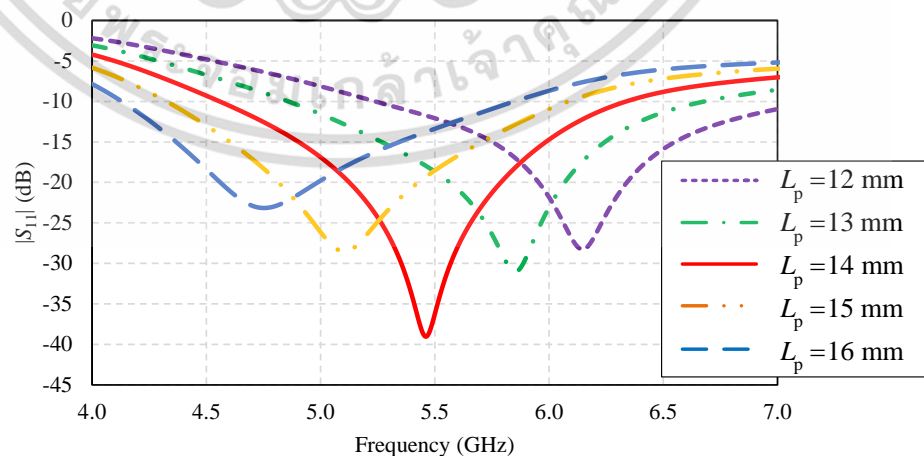
ในส่วนนี้จะทำการศึกษาผลการเปลี่ยนแปลงและผลกระทบที่ส่งผลเสียของพารามิเตอร์ที่เกี่ยวข้องกับสายอากาศโมโนโพลที่มีการโปลาไรซ์เชิงเส้นแนวตั้ง โดยพารามิเตอร์ที่ทำการศึกษานั้น ได้แก่ รัศมีโพรบของโมโนโพล R_p ความสูงของโพรบ L_p และรัศมีกราวด์ล่าง R_g ซึ่งเป็นพารามิเตอร์ที่สำคัญในการออกแบบของสายอากาศที่น่าเสนอนี้ จึงจะถูกระบุอย่างละเอียดเพิ่มเติมจากพารามิเตอร์อื่น ๆ

รูปที่ 3.2 แสดงผลการจำลอง $|S_{11}|$ ของสายอากาศโมโนโพล โดยพารามิเตอร์ที่ทำการปรับคือรัศมีโพรบโมโนโพล R_p โดยทำการปรับขนาด R_p ระหว่าง 1.0 mm ถึง 5.0 mm พบว่า เมื่อ $R_p = 1.0$ mm และ 5.0 mm อิมพีแดนซ์แบนด์วิดท์ ($|S_{11}| \leq -10$ dB) ไม่สามารถครอบคลุมย่านความถี่กลาง 5.5 GHz ในขณะที่ $R_p = 2.0$ mm 3.0 mm และ 5.0 mm สามารถครอบคลุมย่านความถี่ 5.0 GHz ได้ แต่เมื่อพิจารณา $|S_{11}|$ ต่ำสุดคือ $R_p = 3.0$ mm จึงสรุปได้ว่า เมื่อทำการขยายขนาดรัศมีโพรบโมโนโพล R_p ให้มีขนาดใหญ่มากขึ้นจะทำให้ $|S_{11}|$ มีอิมพีแดนซ์แมตซ์ซึ่งเปลี่ยนแปลงไป ซึ่งการนำไปใช้งานจริงนั้นองค์ประกอบส่วนนี้จะไม่สัมพันธ์กับฐานวางสายอากาศโดยตรงอยู่แล้ว แต่ก็มีข้อระวังคือห้ามวางส่วนโพรบใกล้วัสดุโลหะต่าง ๆ



รูปที่ 3.2 ผลการจำลองอิมพีแดนซ์เมื่อปรับขนาดพารามิเตอร์ R_p ของรัศมีโพรบไมโนโพล

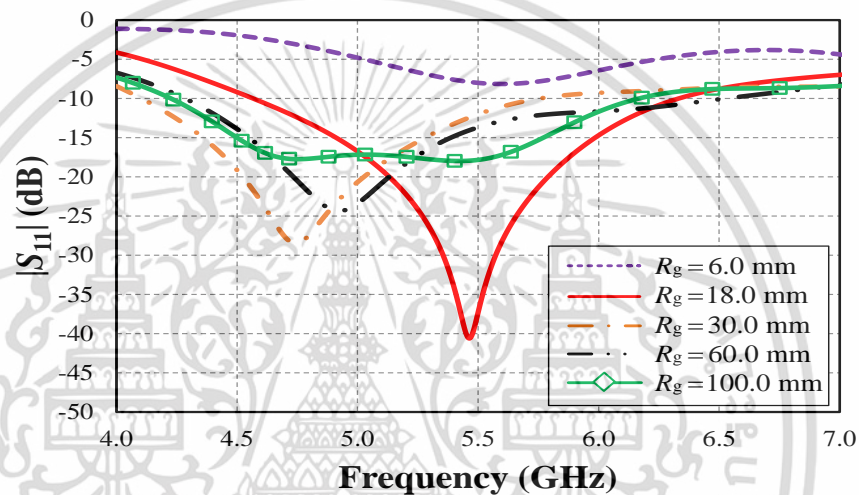
รูปที่ 3.3 แสดงผลการจำลอง $|S_{11}|$ ของสายอากาศไมโนโพล โดยพารามิเตอร์ที่ทำการปรับ คือความสูงโพรบไมโนโพล L_p โดยทำการปรับขนาดความสูง L_p ระหว่าง 12 mm ถึง 16 mm พบว่าเมื่อ $L_p = 12$ mm อิมพีแดนซ์แมตซ์ซึ่งต่ำสุด ($|S_{11}| = -28$ dB) อยู่ที่ย่านความถี่ 6.2 GHz ในขณะที่ทำการเพิ่มความสูงขึ้นเป็น $L_p = 13$ mm ถึง 15 mm พบว่าอิมพีแดนซ์แมตซ์ซึ่งต่ำสุดของการปรับขนาดแต่ละค่าจะเลื่อนความถี่ไปยังย่านความถี่ต่ำที่ 5.8 GHz 5.49 GHz 5.15 GHz และ 4.75 GHz ตามขนาดของความสูงโพรบที่สัมพันธ์กับความยาวทางไฟฟ้าของย่านความถี่เรโซแนนซ์ จึงสรุปได้ว่าเมื่อทำการเพิ่มความสูงโพรบไมโนโพล L_p ให้มีขนาดความสูงเพิ่มมากขึ้นจะทำให้ $|S_{11}|$ มีอิมพีแดนซ์แมตซ์ซึ่งเปลี่ยนแปลงไปในย่านความถี่ต่ำ ในส่วนการนำไปใช้งานจริงนั้นองค์ประกอบส่วนนี้จะไม่สัมพันธ์กับฐานวางสายอากาศโดยตรงอยู่แล้ว แต่ก็มีข้อระวังคือห้ามวางส่วนโพรบใกล้วัสดุโลหะต่าง ๆ



รูปที่ 3.3 ผลการจำลองอิมพีแดนซ์เมื่อปรับขนาดพารามิเตอร์ L_p ของความสูงโพรบไมโนโพล

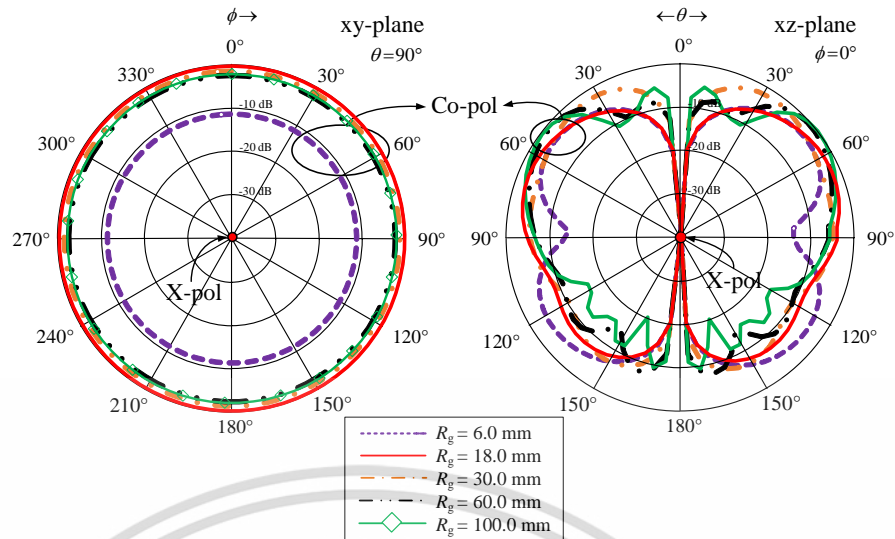
เอกสารนี้เป็นเอกสารที่สงวนไว้สำหรับการใช้งานเพื่อการศึกษาเท่านั้น ไม่อนุญาตให้นำไปใช้ประโยชน์ด้านการค้า ไม่ว่ากรณีใดๆ ทั้งสิ้น อีกทั้งห้ามมิให้ดัดแปลงเนื้อหา และต้องอ้างอิงถึงเจ้าของเอกสารทุกครั้งที่มีการนำไปใช้

จากรูปที่ 3.4 แสดงผลการจำลอง $|S_{11}|$ ของสายอากาศโมโนโพลที่ทำการขยายรัศมีระนาบกราวนด์ ($R_g = 6.0$ mm ถึง 100 mm) โดยผลการจำลองของ $|S_{11}| \leq -10$ dB มีช่วงความถี่ที่เปลี่ยนแปลงอยู่ระหว่าง 4.1 GHz – 6.7 GHz ในส่วนของผลกระทบที่เกิดขึ้นของการเปลี่ยนขนาดรัศมีระนาบกราวนด์จากผลการจำลองพบว่ามีความเปลี่ยนแปลงของค่า $|S_{11}|$ แบนด์วิดท์และอิมพีแดนซ์แมตซ์ซึ่งสูงมาก จึงสรุปได้ว่าสายอากาศโมโนโพลที่ไม่มีระนาบกราวนด์ตัวนำแม่เหล็กประดิษฐ์ไม่สามารถทนต่อผลกระทบของการเปลี่ยนขนาดระนาบกราวนด์กลาง และเป็นข้อสังเกตที่สำคัญอีกข้อหนึ่งคือ หากขนาดระนาบกราวนด์มีขนาดที่เล็กมากเกินไปจะส่งผลให้อิมพีแดนซ์แมตซ์ซึ่งสูญเสียไป $|S_{11}| > -10$ dB



รูปที่ 3.4 ผลการจำลองอิมพีแดนซ์เมื่อปรับขนาดพารามิเตอร์ R_g ของรัศมีระนาบกราวนด์

จากรูปที่ 3.5 แสดงผลการจำลองแบบรูปการแพร่กระจายคลื่นของสายอากาศโมโนโพลที่ทำการขยายรัศมีระนาบกราวนด์ ($R_g = 6$ mm ถึง 100 mm) ที่ความถี่ 5.5 GHz จากผลการจำลองแสดงให้เห็นว่าสายอากาศโมโนโพลจะแพร่กระจายคลื่นแบบรอบทิศทางได้แสดงดังระนาบ xy-plane แต่เมื่อพิจารณา xz-plane จะมีลำคลื่นหลักยกขึ้นในมุมระหว่าง $\theta = 60^\circ$ ถึง 45° ที่ $R_g = 18$ mm ถึง 100 mm ซึ่งสายอากาศที่ทนต่อการเปลี่ยนแปลงขนาดระนาบกราวนด์ควรจะจะมีลำคลื่นยกขึ้นเล็กน้อยเท่านั้น (ครอบคลุมการแพร่กระจายคลื่นแบบรอบตัว $\theta = 90^\circ$) สำหรับค่า XPL ของสายอากาศโมโนโพลนั้นต่ำกว่า -40 dB ทั้งระนาบ xy-plane และ xz-plane ซึ่งถือว่าเป็นค่าปกติของสายอากาศโพลาริซิงเส้นที่มีโพลาริซิงซ์ต่ำ จากผลการจำลองที่ความถี่กลาง 5.5 GHz ที่ R_g ขนาดต่าง ๆ สรุปได้ว่าสายอากาศโมโนโพล นั้นได้รับผลกระทบต่อการขยายระนาบกราวนด์ที่มาก โดยมีความเปลี่ยนแปลงทั้ง $|S_{11}|$ และแบบรูปการแพร่กระจายคลื่น ไม่สามารถนำไปประยุกต์ใช้บนฐานวางตัวนำทางไฟฟ้า หรือวัสดุอื่น ๆ ได้ โดยจะมีผลกระทบรุนแรงต่อคุณลักษณะของสายอากาศ



รูปที่ 3.5 ผลการจำลองแบบรูปการแพร่กระจายคลื่นเมื่อปรับขนาดพารามิเตอร์ R_g ของรัศมีระนาบกราวนด์

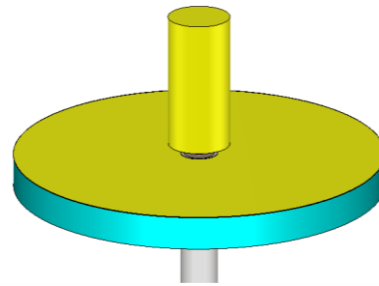
3.3 วิวัฒนาการของโมโนโพลโพลาริซวงกลมแพร่กระจายคลื่นรอบทิศทาง (OCPA)

การพัฒนาสายอากาศโมโนโพลโพลาริซวงกลมแพร่กระจายคลื่นรอบทิศทาง (OCPA) นั้นสามารถแบ่งออกเป็น 3 ส่วนหลัก ๆ ได้แก่ การพัฒนาของสายอากาศไดโพล สายอากาศไดโพลแบบกราวนด์สองชั้น และคุณลักษณะของสายอากาศโมโนโพลโพลาริซวงกลมแพร่กระจายคลื่นรอบทิศทาง (OCPA) หรือโครงสร้าง A โดยเนื้อหาในส่วนถัดไปจะแสดงถึงขั้นตอนการพัฒนาและปรับปรุงสายอากาศเพื่อให้ครอบคลุมย่านความถี่เครือข่ายท้องถิ่นไร้สาย (อิมพีแดนซ์และอัตราส่วนแกน) และรวมไปถึงการวิเคราะห์การเกิดความถี่เรโซแนนซ์ของสายอากาศโมโนโพลโพลาริซวงกลมแพร่กระจายคลื่นรอบทิศทาง (OCPA) สำหรับการศึกษาความสามารถในการแปลงโพลาริซวงกลมของพาราซีติกส์เหลี่ยมที่เชื่อมต่อในแนวทแยงก็ถูกศึกษาด้วยเช่นกัน

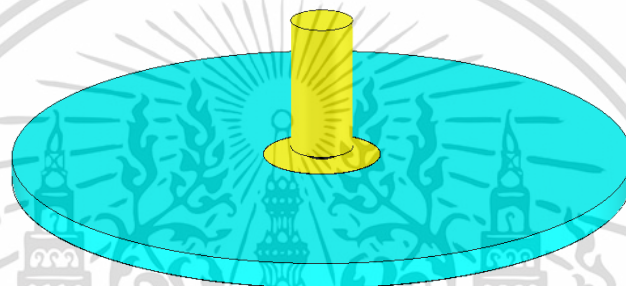
3.3.1 การพัฒนาของสายอากาศ

จากรูปที่ 3.6 แสดงขั้นตอนการพัฒนาของสายอากาศโมโนโพลโพลาริซวงกลมแพร่กระจายคลื่นรอบทิศทาง (OCPA) ที่มีการโพลาริซวงกลมนานความถี่กว้างประกอบไปด้วย 3 ขั้นตอน ได้แก่ ขั้นแรก (Antenna I) ขั้นที่สอง (Antenna II) และขั้นที่สาม (Antenna III) จากรูปที่ 3.6(ก) แสดงโครงสร้าง Antenna I เป็นการออกแบบสายอากาศไดโพลที่ประกอบไปด้วย โพรบ ระนาบกราวนด์ และวัสดุฐานรอง ซึ่งถูกศึกษาในหัวข้อก่อนหน้านี้แล้วนั้น สำหรับรูปที่ 3.6(ข) แสดงโครงสร้าง Antenna II ประกอบด้วยโพรบ ระนาบกราวนด์บน ระนาบกราวนด์ล่าง และวัสดุฐานรอง ซึ่งการใช้เทคนิคระนาบกราวนด์สองชั้นเป็นการลดผลกระทบที่เกิดจากการเปลี่ยนแปลงขนาดระนาบกราวนด์ล่าง ในกรณีนำไปติดตั้งบนฐานรองตัวนำ และวัสดุอื่น ๆ ในรูปที่ 3.6(ค) แสดงโครงสร้าง Antenna III โดยจะถูกรวมเข้ากับพาราซีติกส์เหลี่ยมที่เชื่อมต่อในแนวทแยงจำนวน 4 องค์กรประกอบ เพื่อเป็นการแปลงโพลาริซเชิงเส้นเป็นโพลาริซวงกลมทำให้สายอากาศโมโนโพลเดิมที่มีโพลาริซเชิงเส้นแพร่กระจายคลื่นรอบทิศทางเปลี่ยนแปลงเป็นสายอากาศโมโนโพลโพลาริซวงกลมแพร่กระจายคลื่น

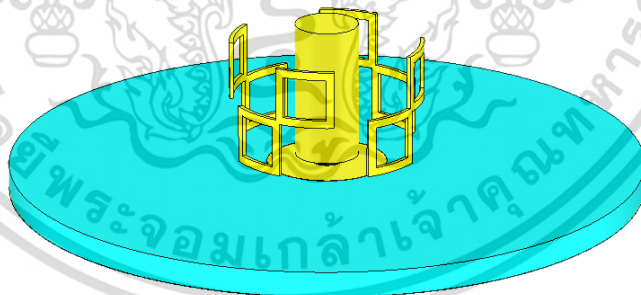
รอบทิศทาง (OCPA) สำหรับการใช้งานเพื่อการศึกษาเท่านั้น ไม่อนุญาตให้นำไปใช้ประโยชน์ด้านการค้า ไม่ว่าจะกรณีใดๆ ทั้งสิ้น อีกทั้งห้ามมิให้ดัดแปลงเนื้อหา และต้องอ้างอิงถึงเจ้าของเอกสารทุกครั้งที่มีการนำไปใช้



(ก) Antenna I



(ข) Antenna II



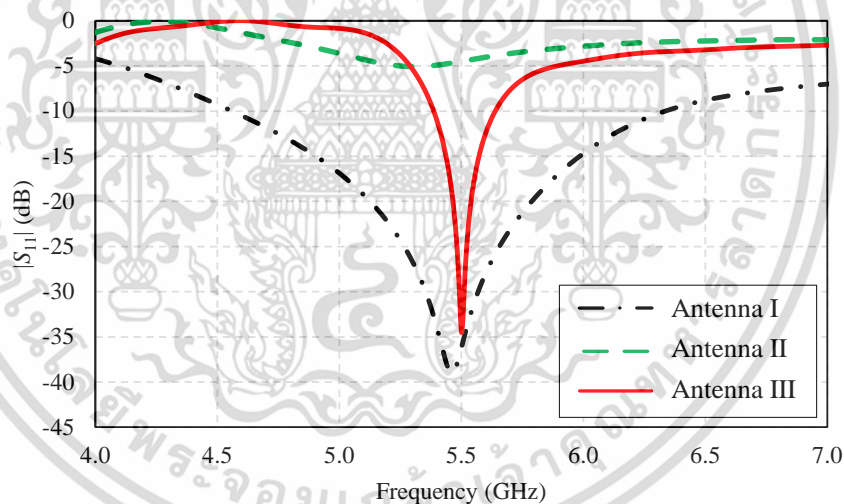
(ค) Antenna III

รูปที่ 3.6 วิวัฒนาการของสายอากาศไมโนโลฟฟลาไรซ์วงกลมแพร่กระจายคลื่นรอบทิศทาง (OCPA)

จากรูปที่ 3.7(ก)- (ค) แสดงผลการจำลองของค่าอิมพีแดนซ์โดยพิจารณาจาก $|S_{11}| \leq -10$ dB ค่าอัตราส่วนแอมพลิจูดโดยพิจารณาจาก $AR \leq 3$ dB และแบบรูปการแพร่กระจายคลื่นของโครงสร้าง Antenna I Antenna II และ Antenna III ตามลำดับ จากรูปที่ 3.3(ก) Antenna I มีช่วงความถี่เรโซแนนซ์ต่ำสุดอยู่ที่ความถี่ 5.49 GHz ค่าอิมพีแดนซ์แบนด์วิดท์ ($|S_{11}| \leq -10$ dB) ครอบคลุมช่วงความถี่ 4.51 – 5.15 GHz ซึ่งครอบคลุมแถบความถี่ประยุกต์ใช้งานเครือข่ายท้องถิ่นไร้สายได้ และ

เอกสารนี้เป็นเอกสารที่สงวนลิขสิทธิ์ของมหาวิทยาลัยเทคโนโลยีพระจอมเกล้าเจ้าคุณทหารลาดกระบัง เมื่อผู้ใดเห็นว่าเป็นประโยชน์ในการศึกษาวิจัยหรือการเผยแพร่ข้อมูลทางวิชาการ กรุณาแจ้งเจ้าของลิขสิทธิ์ก่อนการนำข้อมูลไปใช้

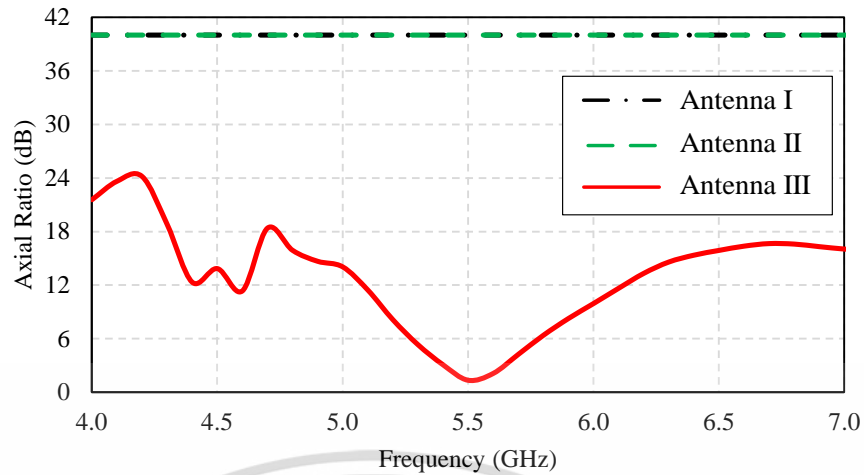
Antenna II ความถี่เรโซแนนซ์ต่ำสุดอยู่ที่ความถี่ 5.25 GHz ค่าอิมพีแดนซ์แบนด์วิดท์ไม่สามารถครอบคลุมช่วงความถี่ใช้งานได้ เนื่องจากระนาบกราวด์บนมีขนาดเล็กจึงส่งผลให้ค่าอิมพีแดนซ์แมตซ์ซึ่งสูญเสียไป ในส่วนของค่าอิมพีแดนซ์ของ Antenna III เรโซแนนซ์ต่ำสุดอยู่ที่ความถี่ 5.50 GHz ค่าอิมพีแดนซ์แบนด์วิดท์ ($|S_{11}| \leq -10$ dB) ครอบคลุมช่วงความถี่ 5.39 – 5.63 GHz ซึ่งยังไม่สามารถครอบคลุมครอบคลุมแถบความถี่ประยุกต์ใช้งานเครือข่ายท้องถิ่นไร้สายได้ทั้งหมด แต่เมื่อทำการพิจารณาจากรูปที่ 3.3(ข) โครงสร้าง Antenna I ค่าอัตราส่วนแชนมีค่ามากกว่า 3 dB ($AR > 3$ dB) อย่างมาก ($AR = 40$ dB) ซึ่งถือว่าเป็นการโพลาไรซ์เชิงเส้นตามทฤษฎีเบื้องต้นของสายอากาศโมโนโพล ในส่วนของ Antenna II มีค่าอัตราส่วนแชนมีค่ามากกว่า 3 dB ($AR > 3$ dB) เช่นเดียวกับ) โครงสร้าง Antenna I เนื่องจากยังเป็นการโพลาไรซ์เชิงเส้นอยู่ และสุดท้ายโครงสร้าง Antenna III ที่ทำการเพิ่มพาราคิติกส์เหลี่ยมที่เชื่อมต่อในแนวทแยงเข้าไปดังแสดงในรูปที่ 3.6(ค) ค่าอัตราส่วนแชนมีค่า $AR \leq 3$ dB ครอบคลุมช่วงความถี่ย่าน 5.40 – 5.63 GHz สามารถแพร่กระจายคลื่นโพลาไรซ์วงกลมได้ จากผลการจำลอง $|S_{11}|$ และอัตราส่วนแชนพบว่าโครงสร้าง Antenna I และ II มีค่าอัตราส่วนแชนเกินกว่า 3 dB (ประมาณ 40 dB) ทำให้ Antenna I และ II มีคุณสมบัติเป็นโพลาไรซ์เชิงเส้น แต่โครงสร้าง Antenna III สามารถแพร่กระจายคลื่นโพลาไรซ์วงกลมได้ แม้ว่าจะไม่ครอบคลุมช่วงความถี่ใช้งานเครือข่ายท้องถิ่นไร้สายได้ทั้งหมด ซึ่งโครงสร้าง Antenna III จะถูกนำไปพัฒนาต่อไป



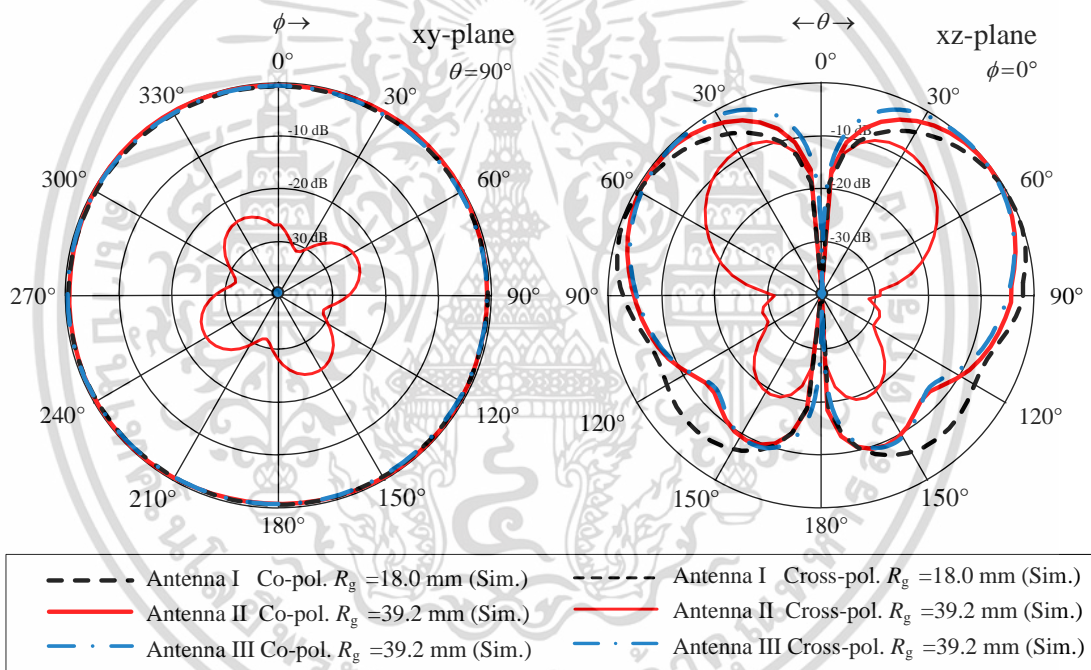
(ก) อิมพีแดนซ์

รูปที่ 3.7 ผลการจำลองคุณลักษณะของ Antenna I II และ III

เอกสารนี้เป็นเอกสารที่สงวนไว้สำหรับการใช้งานเพื่อการศึกษาเท่านั้น ไม่อนุญาตให้นำไปใช้ประโยชน์ด้านการค้า ไม่ว่าจะกรณีใดๆ ทั้งสิ้น อีกทั้งห้ามมิให้ดัดแปลงเนื้อหา และต้องอ้างอิงถึงเจ้าของเอกสารทุกครั้งที่มีการนำไปใช้



(ข) อัตราส่วนแกน



(ค) แบบรูปการแผ่กระจายคลื่น

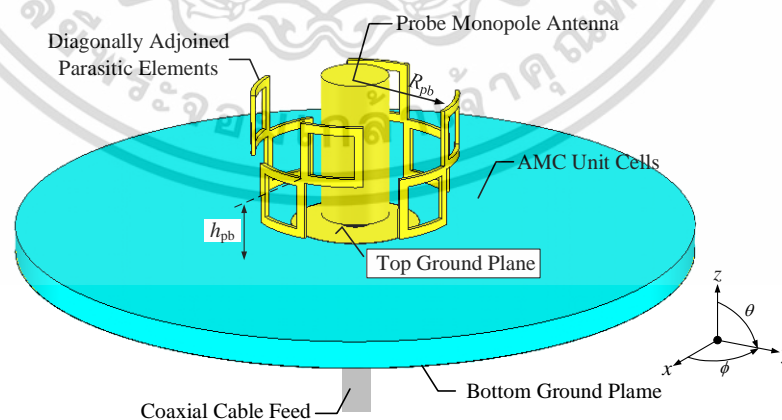
รูปที่ 3.7 ผลการจำลองคุณลักษณะของ Antenna I II และ III (ต่อ)

จากรูปที่ 3.7(ค) แสดงผลการจำลองแบบรูปการแผ่กระจายคลื่นของโครงสร้าง Antenna I II และ III ที่ทำการเปรียบเทียบแบบรูปการแผ่กระจายคลื่นของสายอากาศทั้ง 3 โครงสร้างที่ถูกพัฒนาตามลำดับ โดยโครงสร้าง Antenna I มีขนาดรัศมีระนาบกราวด์ $R_g = 18.0$ mm แสดงแบบรูปการแผ่กระจายคลื่นที่ความถี่ 5.5 GHz จากผลการจำลองแสดงให้เห็นว่าสายอากาศ Antenna I สามารถแผ่กระจายคลื่นแบบรอบทิศทางได้ ซึ่งสังเกตได้จากระนาบ xy-plane แต่เมื่อทำการพิจารณาในส่วนระนาบ xz-plane จะเห็นว่าสายอากาศแผ่กระจายคลื่นได้ดีในมุม $\theta = 60^\circ$ นั้นหมายความว่าลำคลื่นหลักมีมุมยกขึ้นจากทิศทางรอบตัวเป็นมุม 30° แม้ว่าขนาดระนาบกราวด์จะเอกสารนี้เป็นเอกสารที่สงวนไว้สำหรับการใช้งานเพื่อการศึกษาเท่านั้น ไม่อนุญาตให้นำไปใช้ประโยชน์ด้านการค้า ไม่ว่ากรณีใดๆ ทั้งสิ้น อีกทั้งห้ามมิให้ดัดแปลงเนื้อหา และต้องอ้างอิงถึงเจ้าของเอกสารทุกครั้งที่มีการนำไปใช้

มีขนาดรัศมีเล็กเพียง 18.0 mm ก็ตาม และเมื่อทำการพิจารณา Antenna II จะเห็นว่าขนาดระนาบกราวนด์จะเพิ่มขึ้นเป็น $R_g = 39.2$ mm ส่งผลให้แบบรูปการแพร่กระจายคลื่นของสายอากาศจะมีลำคลื่นหลักยกขึ้นเพิ่มจากเดิมไปที่มุม $\theta = 50^\circ$ ซึ่งไม่สามารถครอบคลุมการแพร่กระจายคลื่นแบบรอบตัวได้ เนื่องจากมีความกว้างครึ่งกำลัง (HPBW) ไม่ครอบคลุมมุม $\theta = 90^\circ$ ในส่วนโครงสร้าง Antenna III ที่มีขนาดรัศมี $R_g = 39.2$ mm พบว่าแบบรูปการแพร่กระจายคลื่นของสายอากาศจะมีลำคลื่นหลักยกขึ้นเพิ่มจากเดิมไปที่มุม $\theta = 45^\circ$ ซึ่งไม่สามารถครอบคลุมการแพร่กระจายคลื่นแบบรอบตัวได้เช่นกัน ในส่วนค่า XPL ทั้ง Antenna I II และ III มีค่าต่ำกว่า -20 dB ในทิศทางรอบตัว $\theta = 90^\circ$ ทั้งระนาบ xy-plane และ xz-plane จากผลการจำลองแบบรูปการแพร่กระจายคลื่นของโครงสร้าง Antenna I II และ III สรุปได้ว่าสายอากาศ Antenna I และ II มีการโพลาริเซชันเชิงเส้น ส่วน Antenna III มีการโพลาริเซชันวงกลม โดยทั้งสามโครงสร้างนั้นสามารถแพร่กระจายคลื่นแบบรอบตัวได้ แต่ในทางกลับกันพบว่าได้รับผลกระทบต่อระนาบกราวนด์ที่สูง ไม่สามารถนำไปประยุกต์ใช้บนฐานวางตัวนำทางไฟฟ้า หรือวัสดุอื่น ๆ ได้ โดยมีผลกระทบรุนแรงต่อคุณลักษณะของสายอากาศ จำเป็นต้องมีการศึกษาเทคนิคใหม่เพิ่มเติมต่อไปในบทที่ 4

3.3.2 สายอากาศโมโนโพลโพลาริเซชันวงกลมแพร่กระจายคลื่นรอบทิศทาง (OCPA)

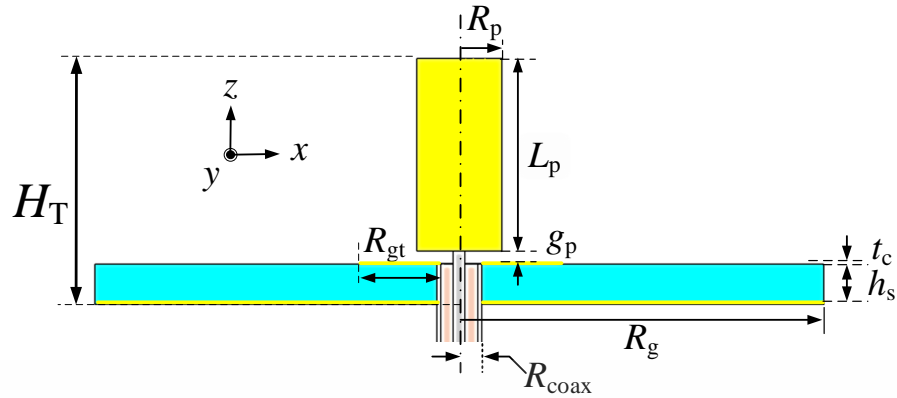
จากรูปที่ 3.8(ก)-(ค) แสดงโครงสร้างสายอากาศโมโนโพลโพลาริเซชันวงกลมแพร่กระจายคลื่นรอบทิศทาง (OCPA) หรือโครงสร้าง A โดยสายอากาศโครงสร้าง A นั้นจะใช้ระนาบกราวนด์ที่เป็นทองแดงปกติ ประกอบด้วยระนาบกราวนด์บนและล่างนำมาออกแบบร่วมกับสายอากาศโมโนโพลที่ได้ถูกออกแบบไว้ก่อนหน้านี้แล้วนั้น ซึ่งองค์ประกอบที่สำคัญที่ถูกเพิ่มเข้าไปคือพาราซิติกสี่เหลี่ยมที่เชื่อมต่อในแนวทแยงจำนวน 4 องค์ประกอบ โดยถูกจำลองขึ้นบนวัสดุฐานรองชนิด FR-4 รุ่น Chukoh CGP-500A จำนวน 1 ชั้น 2 หน้า (ชั้นบนและชั้นล่าง) โดยไม่มีช่องว่างอากาศระหว่างวัสดุฐานรอง ความหนาของวัสดุฐานรองคือ (h_s) ค่าคงที่ไดอิเล็กตริก (ϵ_r) และค่าการสูญเสียแทนเจนต์ ($\tan \delta$) เท่ากับ 4.3 และ 0.0025 ตามลำดับ โดยขนาดของสายอากาศเท่ากับ 78.4 mm \times 78.4 mm \times 20.4 mm ($R_g \times R_g \times H_D$) พารามิเตอร์และขนาดของสายอากาศแสดงในตารางที่ 3.2



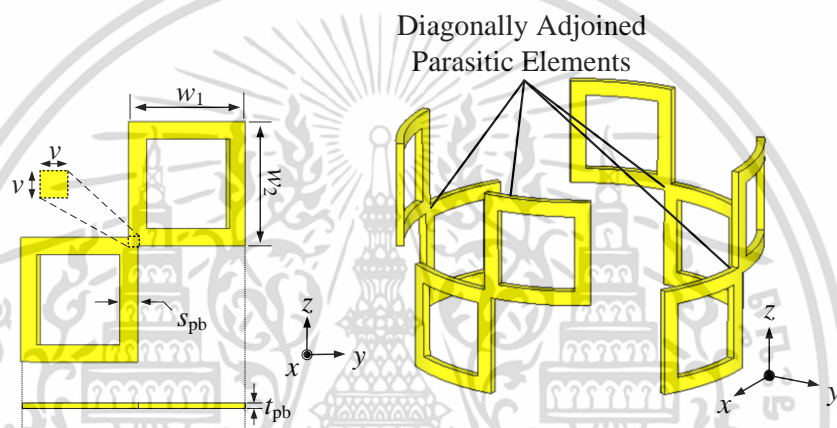
(ก) องค์ประกอบสายอากาศโมโนโพลโพลาริเซชันวงกลมแพร่กระจายคลื่นรอบทิศทาง (OCPA)

รูปที่ 3.8 โครงสร้างและพารามิเตอร์สายอากาศโมโนโพลโพลาริเซชันวงกลมแพร่กระจายคลื่นรอบทิศทาง (OCPA)

เอกสารนี้เป็นเอกสารที่สงวนไว้สำหรับการใช้งานเพื่อการศึกษาเท่านั้น ไม่อนุญาตให้นำไปใช้ประโยชน์ด้านการค้า ไม่ว่าจะกรณีใดๆ ทั้งสิ้น อีกทั้งห้ามมิให้ดัดแปลงเนื้อหา และต้องอ้างอิงถึงเจ้าของเอกสารทุกครั้งที่มีการนำไปใช้



(ข) ภาพตัดขวางสายอากาศไมโนโพล



(ค) มุมมองด้านหน้าและการวางพาราซิติคี่เหลี่ยม

รูปที่ 3.8 โครงสร้างและพารามิเตอร์สายอากาศไมโนโพลโพลาไรซ์วงกลมแพร่กระจายคลื่นรอบทิศทาง (OCPA) (ต่อ)

ตารางที่ 3.2 พารามิเตอร์และขนาดที่เหมาะสมของสายอากาศไมโนโพลโพลาไรซ์วงกลมแพร่กระจายคลื่นรอบทิศทาง

พารามิเตอร์	ขนาด (mm)	ขนาดทางไฟฟ้า (m)	หมายเหตุ
L_p	16.20	$0.297 \lambda_c$	ความสูงโพรบไมโนโพล
R_p	3.90	$0.071 \lambda_c$	รัศมีโพรบไมโนโพล
g_p	1.00	$0.018 \lambda_c$	ช่องว่างโพรบไมโนโพลกับ ระนาบกราวด์ AMC
w_1	7.20	$0.132 \lambda_c$	ความกว้างพาราซิติค
w_2	7.20	$0.132 \lambda_c$	ความยาวพาราซิติค
s_{pb}	1.00	$0.018 \lambda_c$	ความกว้างวงขอบพาราซิติค

เอกสารนี้เป็นเอกสารที่สงวนไว้สำหรับการใช้งานเพื่อการศึกษานี้ ไม่อนุญาตให้นำไปใช้ประโยชน์อื่นใด

ไม่ว่ากรณีใดๆ ทั้งสิ้น อีกทั้งห้ามมิให้ดัดแปลงเนื้อหา และต้องอ้างอิงถึงเจ้าของเอกสารทุกครั้งที่มีการนำไปใช้

พารามิเตอร์	ขนาด (mm)	ขนาดทางไฟฟ้า (m)	หมายเหตุ
v	0.50	$0.0092 \lambda_c$	ขนาดกว้าง × ยาว ของจุดเชื่อมต่อพาราซิติค
R_{pb}	11.50	$0.211 \lambda_c$	รัศมีพาราซิติค
h_{pb}	11.50	$0.211 \lambda_c$	ความสูงจากกึ่งกลางพาราซิติคถึงระนาบกราวด์ AMC
t_{pb}	0.50	$0.0092 \lambda_c$	ความหนาพาราซิติค
R_{gt}	7.40	$0.135 \lambda_c$	รัศมีกราวด์บน
R_g	18.40	$0.337 \lambda_c$	รัศมีกราวด์ล่าง
h_s	3.20	$0.058 \lambda_c$	ความสูงวัสดุฐานรอง
t_c	0.018	$0.0003 \lambda_c$	ความหนาทองแดงวัสดุฐานรอง
R_{coax}	1.80	$0.0003 \lambda_c$	รัศมีสายนำสัญญาณโคแอกเชียล
H_T	20.40	$0.374 \lambda_c$	ความสูงรวม

3.4 การศึกษาพารามิเตอร์

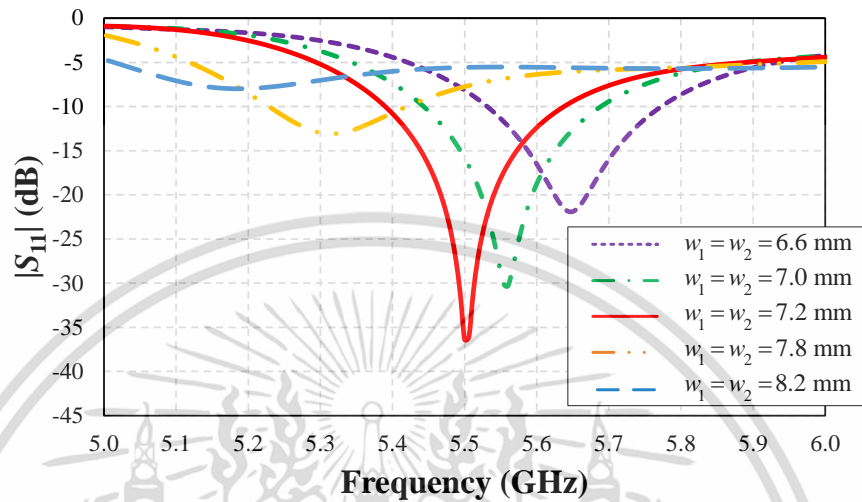
ในส่วนนี้จะทำการศึกษาผลการเปลี่ยนแปลงของพารามิเตอร์ที่เกี่ยวข้องกับสายอากาศโมโนโพลโพลาริซวงกลมแพร่กระจายคลื่นรอบทิศทาง (OCPA) ซึ่งมีผลต่อค่าอิมพีแดนซ์และค่าอัตราส่วนแกนของสายอากาศโมโนโพลโพลาริซวงกลมแพร่กระจายคลื่นรอบทิศทาง โดยพารามิเตอร์ที่ทำการศึกษานั้นได้แก่ ความกว้าง×ยาว ของพาราซิติคสี่เหลี่ยม w_1 และ w_2 รัศมีโพรบของโมโนโพล R_p ความสูงของโพรบ L_p รัศมีพาราซิติค R_{pb} ความสูงจากกึ่งกลางพาราซิติคถึงระนาบกราวด์ตัวนำแม่เหล็กประดิษฐ์ h_{pb} ความกว้างวงขอบพาราซิติค s_{pb} รัศมีกราวด์บน R_{gt} และรัศมีกราวด์ล่าง R_g ซึ่งเป็นพารามิเตอร์ที่สำคัญในการออกแบบของสายอากาศที่นำเสนอนี้ จึงจะถูกวิเคราะห์อย่างละเอียดเพิ่มเติมจากพารามิเตอร์อื่น ๆ ซึ่งจะถูกริบายในช่วงท้ายในบทนี้

3.4.1 พาราซิติคสี่เหลี่ยม w_1 และ w_2 (ความกว้าง × ยาว)

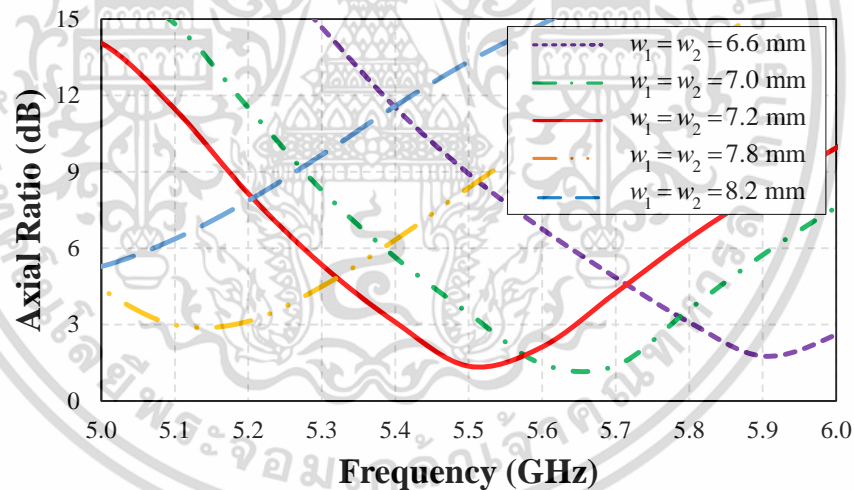
รูปที่ 3.9(ก)-(ข) แสดงผลการจำลอง $|S_{11}|$ และอัตราส่วนแกน (AR) ของสายอากาศโมโนโพลโพลาริซวงกลมแพร่กระจายคลื่นรอบทิศทาง (OCPA) ที่มีขนาดพารามิเตอร์ w_1 และ w_2 เท่ากัน พารามิเตอร์ที่ทำการปรับคือความ กว้าง × ยาว ของพาราซิติคสี่เหลี่ยมที่เชื่อมต่อกันในแนวทแยง โดยทำการปรับขนาด w_1 และ w_2 ระหว่าง 6.6 ถึง 8.2 mm พบว่า เมื่อ w_1 และ $w_2 = 6.6$ อิมพีแดนซ์แบนด์วิดท์ ($|S_{11}| \leq -10$ dB) คือ 5.53 – 5.77 GHz ครอบคลุมช่วงย่านความถี่สูง แต่ไม่ครอบคลุมย่านความถี่ต่ำ เช่นเดียวกับผลการจำลองค่าอัตราส่วนแกนมีค่าน้อยกว่า 3dB ($AR \leq 3$ dB) เมื่อ w_1 และ $w_2 = 6.6$ 7.0 และ 7.2 mm แต่จะมีค่าอัตราส่วนแกนมากกว่า 3 dB เมื่อ w_1 และ $w_2 = 7.8$

ไม่ว่ากรณีใดๆ ทั้งสิ้น อีกทั้งห้ามมิให้ดัดแปลงเนื้อหา และต้องอ้างอิงถึงเจ้าของเอกสารทุกครั้งที่มีการนำไปใช้

และ 8.2 mm ตามลำดับ เมื่อทำการพิจารณาทั้ง $|S_{11}|$ และอัตราส่วนแกนจึงสรุปได้ว่า การขยายขนาดความกว้างของพาราซิติคส์เหลี่ยมที่เชื่อมต่อกันในแนวทแยงให้มีขนาดใหญ่มากขึ้นจะทำให้ $|S_{11}|$ และอัตราส่วนแกนเลื่อนความถี่ไปยังขอบด้านความถี่ต่ำ ซึ่งค่าที่เหมาะสมคือ w_1 และ $w_2 = 7.2$ mm เนื่องจากอิมพีแดนซ์แมตซ์ซึ่งต่ำสุดที่ความถี่กลาง 5.5 GHz



(ก) ค่าสัมประสิทธิ์การสะท้อน



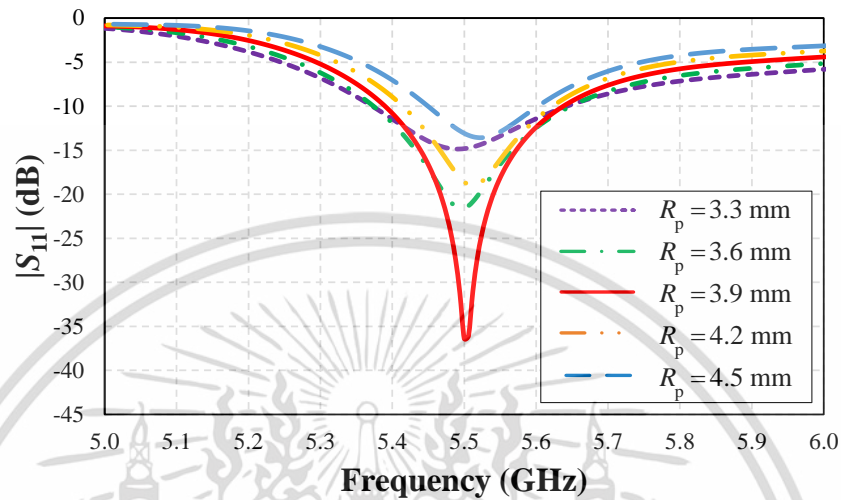
(ข) ค่าอัตราส่วนแกน

รูปที่ 3.9 ผลการจำลองปรับขนาดพารามิเตอร์ w_1 และ w_2 ของพาราซิติคส์เหลี่ยม

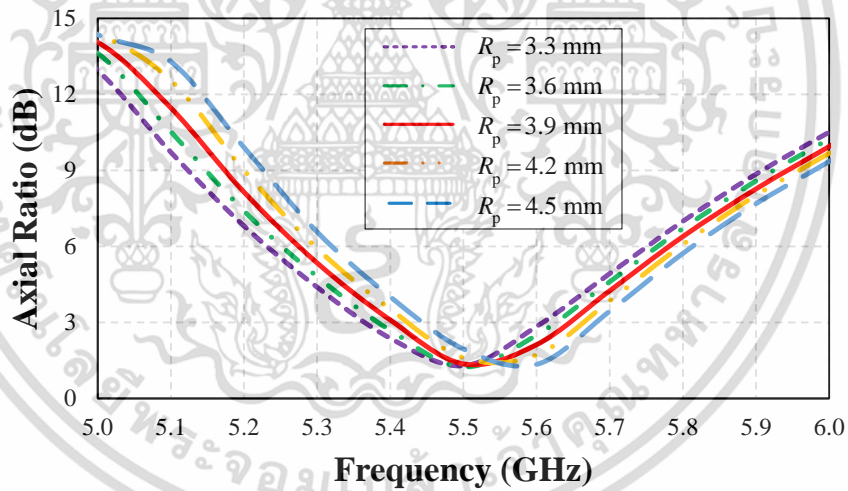
3.4.2 รัศมีโพรบโมนโพล R_p

รูปที่ 3.10(ก)-(ข) แสดงผลการจำลอง $|S_{11}|$ และอัตราส่วนแกน (AR) ของสายอากาศโมนโพลโพลารไรซ์วงกลมแพร่กระจายคลื่นรอบทิศทาง (OCPA) พารามิเตอร์ที่ทำการปรับคือรัศมีโพรบโมนโพล R_p โดยทำการปรับขนาด R_p ระหว่าง 3.3 ถึง 4.5 mm จากผลการจำลอง $|S_{11}|$ พบว่า เมื่อ $R_p = 3.3$ ถึง 4.5 mm อิมพีแดนซ์แบนด์วิดท์ ($|S_{11}| \leq -10$ dB) สามารถครอบคลุมย่านความถี่กลาง 5.5 GHz แต่อิมพีแดนซ์แมตซ์ซึ่งค่อนข้างเปลี่ยนแปลง เมื่อเปรียบเทียบกับอิมพีแดนซ์แบนด์วิดท์เอกสารนี้เป็นเอกสารที่สงวนไว้สำหรับการใช้งานเพื่อการศึกษาเท่านั้น ไม่อนุญาตให้นำไปใช้ประโยชน์ด้านการค้า ไม่ว่าจะกรณีใดๆ ทั้งสิ้น อีกทั้งห้ามมิให้ดัดแปลงเนื้อหา และต้องอ้างอิงถึงเจ้าของเอกสารทุกครั้งที่มีการนำไปใช้

ในขณะที่ผลการจำลองค่าอัตราส่วนแแกนนั้นยังคงมีค่าต่ำกว่า 3 dB ($AR \leq 3$ dB) สำหรับย่านความถี่ใช้กลาง เมื่อทำการปรับ $R_p = 3.0$ ถึง 4.2 mm จึงสรุปได้ว่า เมื่อทำการขยายขนาดรัศมีโพรบโมโนโพล R_p ให้มีขนาดใหญ่มากขึ้นจะทำให้อิมพีแดนซ์แมตซ์ซึ่งเปลี่ยนแปลงไป ซึ่งค่าที่เหมาะสมคือ $R_p = 3.9$ mm เนื่องจากค่าอิมพีแดนซ์แมตซ์ซึ่งและอัตราส่วนแแกนนั้นมีค่าต่ำสุด



(ก) ค่าสัมประสิทธิ์การสะท้อน



(ข) ค่าอัตราส่วนแแกน

รูปที่ 3.10 ผลการจำลองอิมพีแดนซ์และอัตราส่วนแแกนเมื่อปรับขนาดพารามิเตอร์ R_p ของรัศมีโพรบโมโนโพล

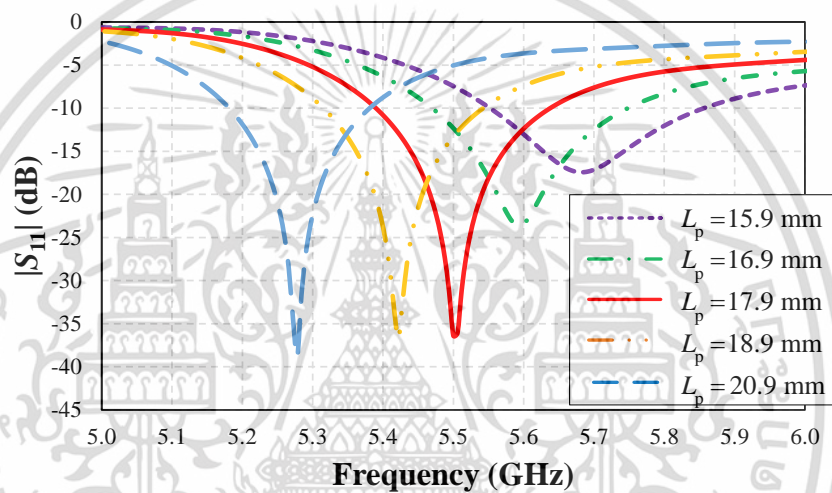
3.4.3 ความสูงของโพรบโมโนโพล L_p

รูปที่ 3.11(ก)-(ข) แสดงผลการจำลอง $|S_{11}|$ และอัตราส่วนแแกน (AR) ของสายอากาศโมโนโพลโพลารไรซ์วงกลมแพร่กระจายคลื่นรอบทิศทาง (OCPA) พารามิเตอร์ที่ทำการปรับคือความสูงของโพรบโมโนโพล L_p โดยทำการปรับขนาด L_p ระหว่าง 15.9 mm ถึง 20.9 mm พบว่า เมื่อ $L_p = 15.9$ mm อิมพีแดนซ์แบนด์วิดท์ ($|S_{11}| \leq -10$ dB) สามารถครอบคลุมย่านความถี่สูง 5.8 GHz ได้ แต่

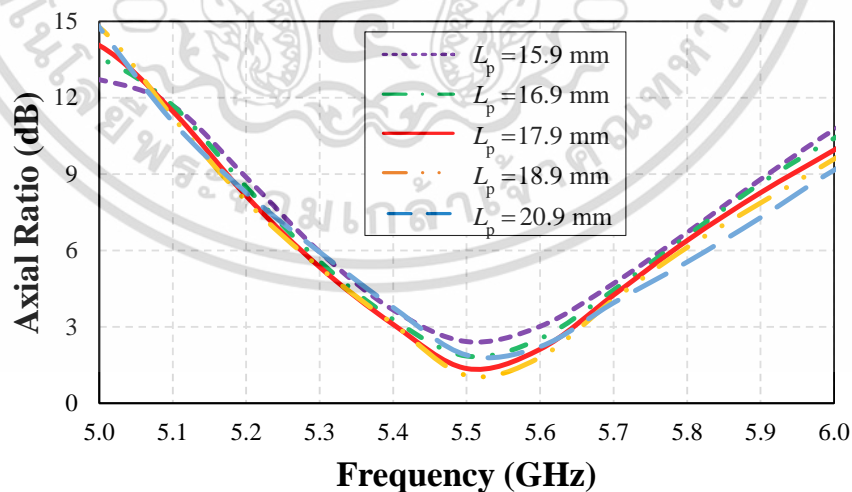
อิมพีแดนซ์แบนด์วิดท์ไม่ครอบคลุมย่านความถี่ต่ำ (5.15 GHz) และเมื่อทำการปรับ $L_p = 16.9$ mm

ไม่ว่ากรณีใดๆ ทั้งสิ้น อีกทั้งห้ามมิให้ดัดแปลงเนื้อหา และต้องอ้างอิงถึงเจ้าของเอกสารทุกครั้งที่มีการนำไปใช้

ถึง 20.9 mm พบว่าความถี่เรโซแนนซ์เลื่อนไปทางความถี่ต่ำตามความยาวทางไฟฟ้าที่เพิ่มขึ้นของความสูงโพรบ ซึ่งค่า L_p ที่เหมาะสมคือ 17.9 mm ในขณะที่ผลการจำลองค่าอัตราส่วนเกนนั้นยังคงมีค่าต่ำกว่า 3dB ($AR \leq 3$ dB) ในช่วงย่านความถี่กลาง แม้ว่า จะทำการปรับ $R_p = 15.9$ ถึง 20.9 mm แล้วก็ตาม กลับส่งผลกระทบต่อค่าอัตราส่วนเกนน้อยมาก จากผลจำลองจึงสรุปได้ว่า $|S_{11}|$ และอัตราส่วนเกน เมื่อทำการเพิ่มความสูงของโพรบโมโนโพล L_p ให้มีความสูงเพิ่มมากขึ้นจะทำให้ $|S_{11}|$ มีอิมพีแดนซ์แมตซ์ซึ่งเปลี่ยนแปลงไปในทิศทางย่านความถี่ต่ำ โดยเป็นไปตามทฤษฎีของสายอากาศโมโนโพลที่ความยาวโพรบเพิ่มขึ้น ค่าความยาวทางไฟฟ้าก็จะเพิ่มตาม ทำให้เกิดการตอบสนองต่ออิมพีแดนซ์แมตซ์ซึ่งในย่านความถี่ต่ำ ในกรณีนี้รัศมีของโพรบโมโนโพล และรัศมีระนาบกราวนด์ต้องคงที่ สำหรับค่า L_p ที่เหมาะสมคือ $L_p = 17.9$ mm เนื่องจาก $|S_{11}|$ และอัตราส่วนเกน (AR) มีค่าต่ำสุดในช่วงความถี่กลาง 5.5 GHz ในส่วนค่าอัตราส่วนเกนนั้นความสูงโพรบโมโนโพล L_p มีผลกระทบที่ค่อนข้างน้อย



(ก) ค่าสัมประสิทธิ์การสะท้อน



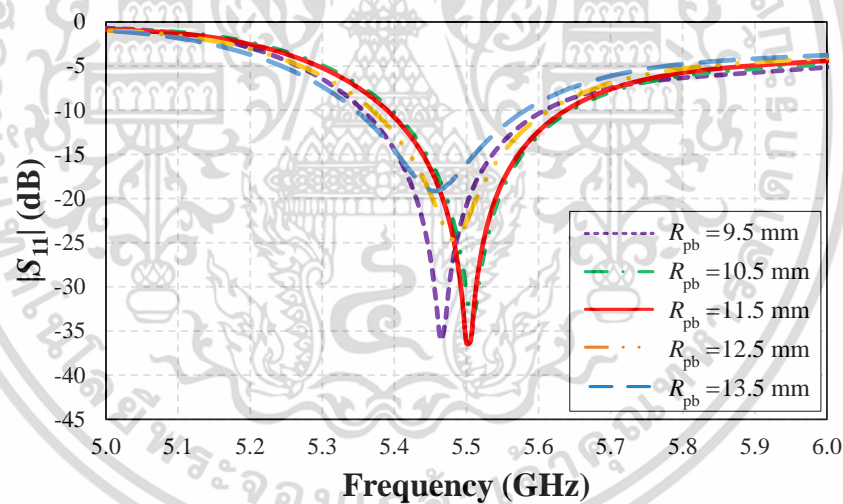
(ข) ค่าอัตราส่วนเกน

รูปที่ 3.11 ผลการจำลองอิมพีแดนซ์และอัตราส่วนเกนเมื่อปรับขนาดพารามิเตอร์ L_p ของความสูงโพรบโมโนโพล

เอกสารนี้เป็นเอกสารที่สงวนไว้สำหรับการใช้งานเพื่อการศึกษาเท่านั้น ไม่อนุญาตให้นำไปใช้ประโยชน์ด้านการค้า ไม่ว่าจะกรณีใดๆ ทั้งสิ้น อีกทั้งห้ามมิให้ดัดแปลงเนื้อหา และต้องอ้างอิงถึงเจ้าของเอกสารทุกครั้งที่มีการนำไปใช้

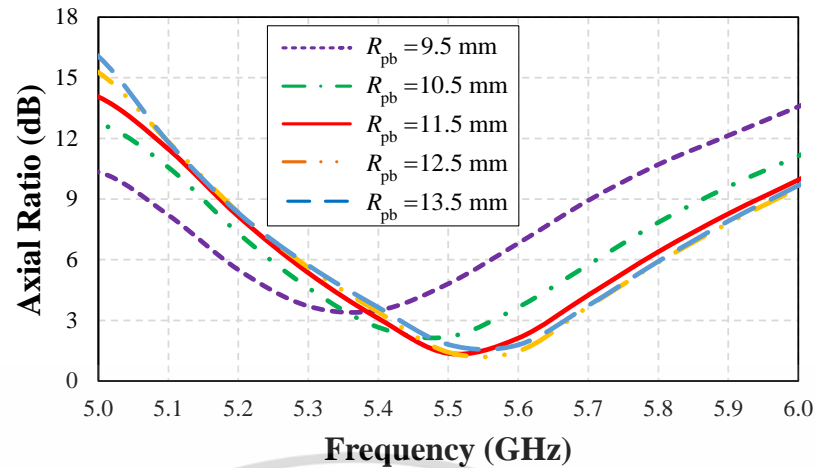
3.4.4 รัศมีพาราซิติกส์เหลี่ยมที่เชื่อมต่อกันในแนวทแยง R_{pb}

รูปที่ 3.12(ก)-(ข) แสดงผลการจำลอง $|S_{11}|$ และอัตราส่วนแแกน (AR) ของสายอากาศโมโนโพลโพลาไรซ์วงกลมแพร่กระจายคลื่นรอบทิศทาง (OCPA) พารามิเตอร์ที่ทำการปรับคือรัศมีพาราซิติกส์เหลี่ยมที่เชื่อมต่อกันในแนวทแยง R_{pb} โดยทำการปรับขนาด R_{pb} ระหว่าง 9.5 ถึง 13.5 mm พบว่า เมื่อ $R_{pb} = 9.5$ ถึง 13.5 mm อิมพีแดนซ์แบนด์วิดท์ ($|S_{11}| \leq -10$ dB) สามารถครอบคลุมช่วงย่านความถี่กลางได้ (5.5 GHz) และจะเห็นได้ว่าค่าอิมพีแดนซ์แบนด์วิดท์มีผลการเปลี่ยนแปลงเพียงเล็กน้อย โดยเลื่อนจากความถี่กลาง 5.5 GHz ไปยังความถี่ 5.45 GHz ซึ่งค่าอิมพีแดนซ์แมตซ์ซิ่งซึ่งยังมีค่าที่ต่ำกว่า -10 dB อีกด้วย แต่ในขณะเดียวกันเมื่อมาทำการพิจารณาผลการจำลองค่าอัตราส่วนแแกน นั้น ที่ $R_{pb} = 9.5$ mm ค่าอัตราส่วนแแกนมีค่ามากกว่า 3dB ($AR > 3$ dB) ตลอดช่วงย่านความถี่ใช้งาน (5.15 - 5.875 GHz) จากนั้นทำการปรับ $R_p = 10.5$ ถึง 13.5 mm ตามลำดับ พิจารณาอัตราส่วนแแกนจึงสรุปได้ว่า เมื่อทำการเพิ่มรัศมีพาราซิติกส์เหลี่ยมที่เชื่อมต่อกันในแนวทแยง R_{pb} ให้มีรัศมีเพิ่มมากขึ้นจะทำให้อัตราส่วนแแกนแบนด์วิดท์มีการเปลี่ยนแปลงไปในทิศทางที่ค่าอัตราส่วนแแกนลดต่ำลง $AR \leq 3$ dB แต่ความถี่ก็จะเลื่อนไปยังความถี่สูง (5.5 GHz ไปยัง 5.6 GHz) สำหรับค่า R_{pb} ที่เหมาะสมคือ $R_{pb} = 11.5$ mm เนื่องจากครอบคลุมย่านความถี่กลางที่ออกแบบ (5.5 GHz) ในส่วนค่าอัตราส่วนแแกนนั้นขนาดรัศมีพาราซิติกส์เหลี่ยมที่เชื่อมต่อกันในแนวทแยง R_{pb} มีผลกระทบที่ค่อนข้างมากกว่า $|S_{11}|$ โดยเฉพาะหากระยะรัศมี $R_{pb} < 10.5$ mm



(ก) ค่าสัมประสิทธิ์การสะท้อน

รูปที่ 3.12 ผลการจำลองอิมพีแดนซ์และอัตราส่วนแแกนเมื่อปรับขนาดพารามิเตอร์ R_{pb} ของพาราซิติกส์เหลี่ยมที่เชื่อมต่อกันในแนวทแยง

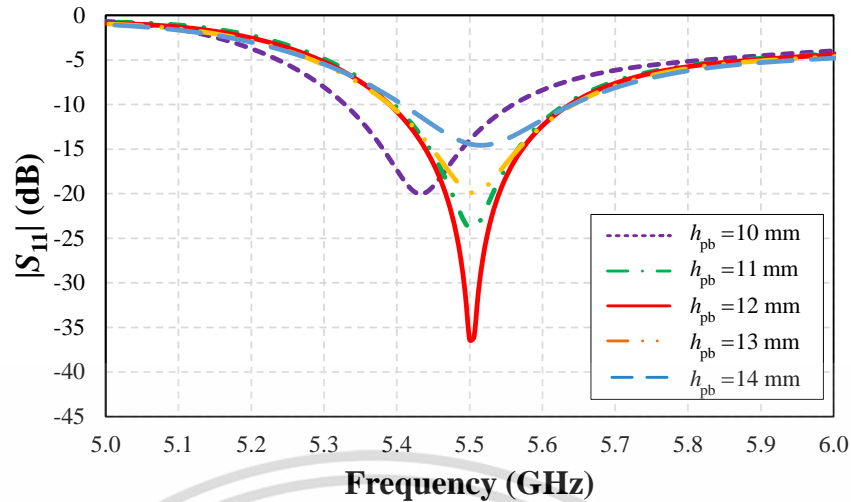


(ข) ค่าอัตราส่วนแกน

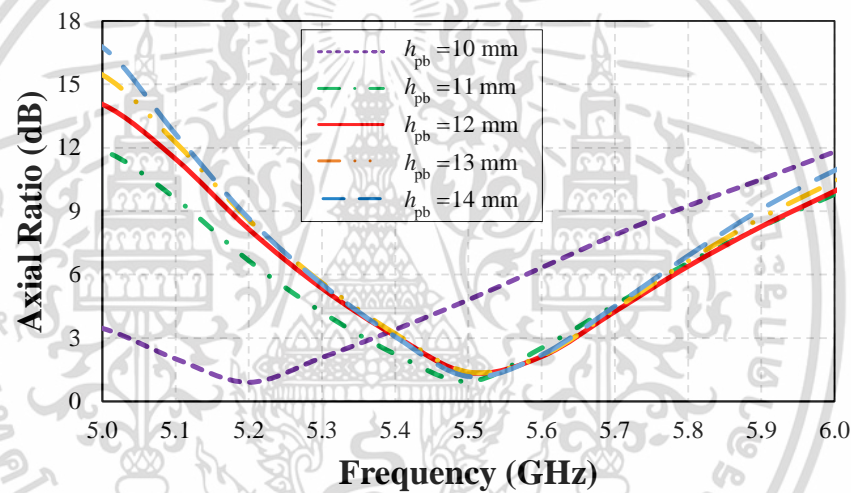
รูปที่ 3.12 ผลการจำลองอิมพีแดนซ์และอัตราส่วนแกนเมื่อปรับขนาดพารามิเตอร์ R_{pb} ของพาราซีติกสี่เหลี่ยมที่เชื่อมต่อกันในแนวทแยง (ต่อ)

3.4.5 ความสูงจากระนาบกราวด์ตัวนำแม่เหล็กประดิษฐ์ถึงกึ่งกลางพาราซีติก h_{pb}

รูปที่ 3.13(ก)-(ข) แสดงผลการจำลอง $|S_{11}|$ และอัตราส่วนแกน (AR) ของสายอากาศโมโนโพลโพลาริซิงวงกลมแพร่กระจายคลื่นรอบทิศทาง (OCPA) พารามิเตอร์ที่ทำการปรับคือความสูงจากระนาบกราวด์ตัวนำแม่เหล็กประดิษฐ์ถึงกึ่งกลางพาราซีติก h_{pb} โดยทำการปรับตำแหน่งความสูงของพาราซีติก h_{pb} ระหว่าง 10 ถึง 14 mm พบว่า เมื่อ $h_{pb} = 10.5$ mm อิมพีแดนซ์แบนด์วิดท์ ($|S_{11}| \leq -10$ dB) สามารถครอบคลุมย่านความถี่ใช้งานได้ในช่วงความถี่ต่ำ และช่วงความถี่กลาง (5.15 GHz และ 5.5 GHz) แต่ไม่สามารถครอบคลุมย่านความถี่สูงได้ และเมื่อทำการปรับ $h_{pb} = 11$ mm ถึง 14 mm พบว่ามีความกว้างอิมพีแดนซ์แบนด์วิดท์ค่อนข้างคงที่ และอิมพีแดนซ์แมตซ์ซิงยังมีค่าที่ต่ำกว่า -10 dB แต่มีแนวโน้มที่อิมพีแดนซ์แมตซ์ซิงจะสูญเสียไป เมื่อ $h_{pb} > 12$ mm และเมื่อทำการพิจารณาผลการจำลองค่าอัตราส่วนแกนนั้น ที่ $h_{pb} = 10$ mm พบว่าค่าอัตราส่วนแกนมีการเลื่อนไปทางความถี่ต่ำที่ 5.42 GHz แต่ยังคงครอบคลุมย่านความถี่กลางที่ออกแบบอยู่ และเมื่อทำการปรับความสูงพาราซีติกมาที่ $h_{pb} = 11.0$ mm ถึง 14mm ค่าอัตราส่วนแกนมีค่าที่ต่ำกว่า 3 dB ในช่วงย่านความถี่กลาง 5.5 GHz และมีผลการเปลี่ยนแปลงที่ค่อนข้างน้อย จากการพิจารณาค่าอัตราส่วนแกนจึงสรุปได้ว่า เมื่อทำการเพิ่มความสูงของพาราซีติก h_{pb} ระหว่าง 11.0 ถึง 14 mm จะทำให้อัตราส่วนแกนแบนด์วิดท์มีค่า $AR \leq 3$ dB และการเกิดโพลาริซิงวงกลมในย่านความถี่กลาง โดยเฉพาะหาก $h_{pb} = 12.0$ mm ซึ่งเป็นค่า h_{pb} ที่เหมาะสม เนื่องจากครอบคลุมย่านความถี่กลาง 5.5 GHz ที่ออกแบบ



(ก) ค่าสัมประสิทธิ์การสะท้อน



(ข) ค่าอัตราส่วนแกน

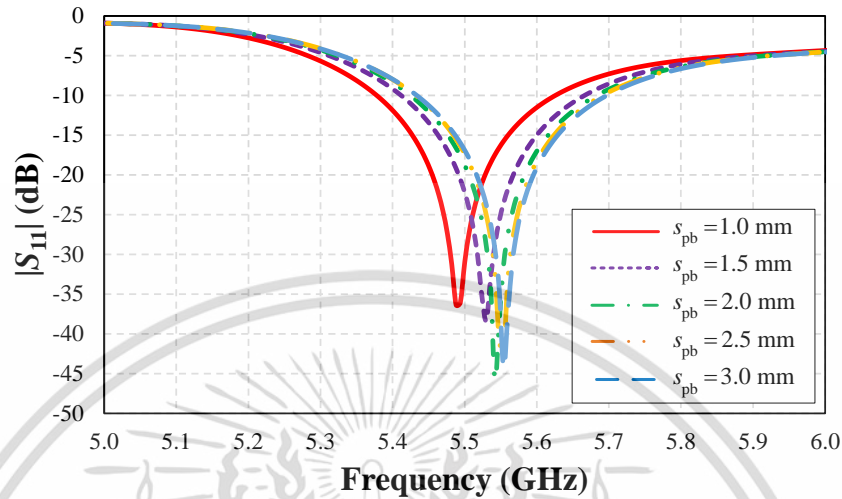
รูปที่ 3.13 ผลการจำลองอิมพีแดนซ์และอัตราส่วนแกนเมื่อปรับขนาดพารามิเตอร์ h_{pb} ของตำแหน่งความสูงพาราซิติคส์เหลี่ยม

3.4.6 ความกว้างวงขอบพาราซิติคส์เหลี่ยมที่เชื่อมต่อกันในแนวทแยง S_{pb}

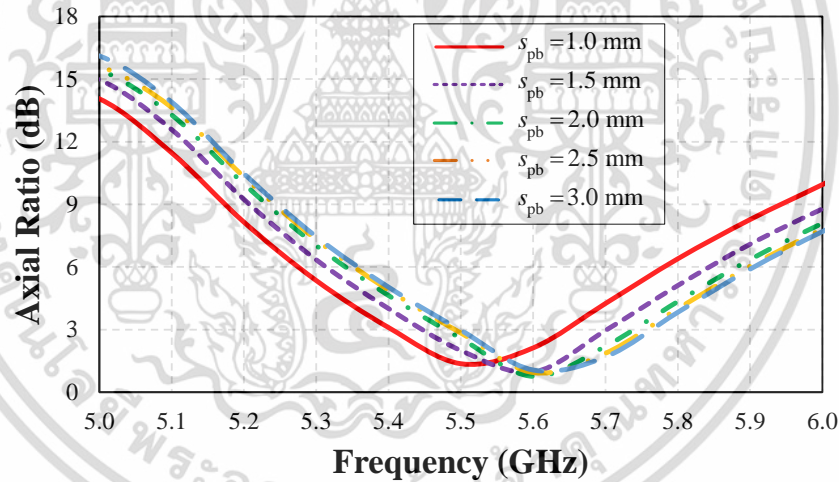
รูปที่ 3.14(ก)-(ข) แสดงผลการจำลอง $|S_{11}|$ และอัตราส่วนแกน (AR) ของสายอากาศโมโนโพลโพลาริซิงวงกลมแพร่กระจายคลื่นรอบทิศทาง (OCPA) พารามิเตอร์ที่ทำการปรับคือความกว้างวงขอบพาราซิติคส์เหลี่ยมที่เชื่อมต่อกันในแนวทแยง s_{pb} โดยทำการปรับขนาด s_{pb} ระหว่าง 1.0 mm ถึง 3.0 mm พบว่า เมื่อ $R_{pb} = 1.0$ ถึง 3.0 mm มีอิมพีแดนซ์แบนด์วิดท์ ($|S_{11}| \leq -10$ dB) สามารถครอบคลุมย่านความถี่กลางที่ 5.5 GHz ได้ เพียงแต่หากทำการเพิ่มขนาดความกว้างวงขอบพาราซิติคส์เหลี่ยมที่เชื่อมต่อกันในแนวทแยง s_{pb} ความถี่เรโซแนนซ์จะเลื่อนขึ้นไปทางความถี่สูงเล็กน้อย และพบว่าการปรับขนาด s_{pb} ส่งผลต่อค่าอิมพีแดนซ์แบนด์วิดท์น้อยมาก เช่นเดียวกับผลการจำลองค่าอัตราส่วนแกนพบว่าค่าความกว้างวงขอบพาราซิติคส์เหลี่ยมที่เชื่อมต่อกันในแนวทแยง s_{pb} เมื่อมีค่า

เอกสารนี้เป็นเอกสารที่สงวนไว้สำหรับการใช้งานเพื่อการศึกษาเท่านั้น เมื่ออนุญาตให้เผยแพร่ข้อมูลนี้ การตีพิมพ์โดยไม่ได้รับอนุญาต หรือการนำข้อมูลนี้ไปใช้ในทางที่ผิดโดยไม่ได้รับอนุญาต จะถือว่าผิดกฎหมาย และต้องอ้างอิงถึงเจ้าของเอกสารทุกครั้งที่มีการนำไปใช้

$s_{pb} = 1.0$ mm ถึง 3.0 mm ค่าอัตราส่วนแอมป์ยังคงมีค่าต่ำกว่า 3dB ($AR \leq 3$ dB) ครอบคลุมช่วงความถี่กลาง 5.5 GHz แม้ว่าความถี่เรโซแนนซ์จะเลื่อนขึ้นไปทางความถี่สูงเล็กน้อยแต่ค่าตามแนวโน้มของค่า $|S_{11}|$ และค่า s_{pb} ที่เหมาะสมคือ $R_{pb} = 1.0$ mm



(ก) ค่าสัมประสิทธิ์การสะท้อน



(ข) ค่าอัตราส่วนแกน

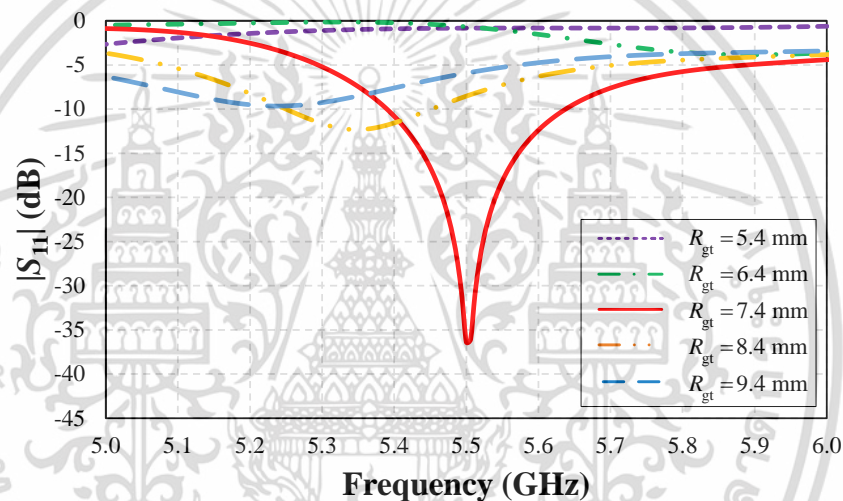
รูปที่ 3.14 ผลการจำลองอิมพีแดนซ์และอัตราส่วนแกนเมื่อปรับขนาดพารามิเตอร์ s_{pb} ของความกว้างวงขอบพาราซิติคสี่เหลี่ยมที่เชื่อมต่อกันในแนวทแยง

3.4.7 รัศมีกราวนด์บน R_{gt}

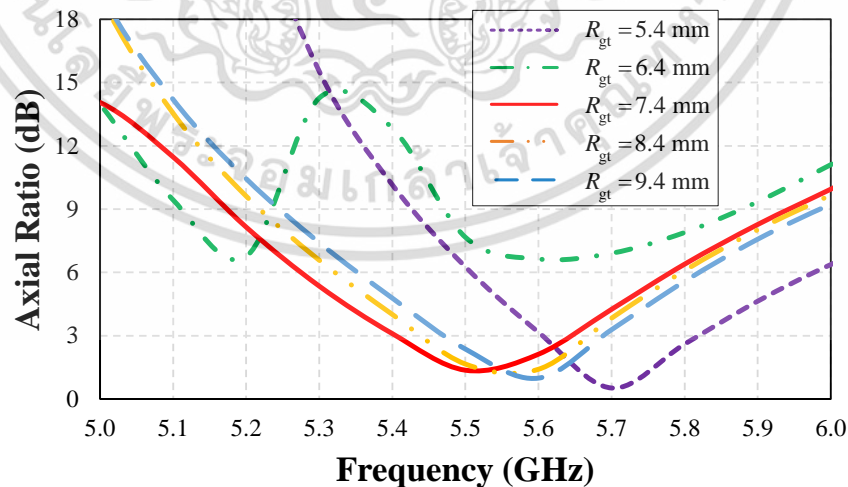
รูปที่ 3.15(ก)-(ข) แสดงผลการจำลอง $|S_{11}|$ และอัตราส่วนแกน (AR) ของสายอากาศโมโนโพลโพลาริซิงกลมแพร่กระจายคลื่นรอบทิศทาง (OCPA) โดยพารามิเตอร์ที่ทำการปรับคือรัศมีกราวนด์บน R_{gt} โดยทำการปรับขนาดรัศมีกราวนด์บน R_{gt} ระหว่าง 5.4 mm ถึง 9.4 mm พบว่าเมื่อ $R_{gt} = 5.4$ mm 6.4 mm และ 9.4 mm อิมพีแดนซ์แบนด์วิดท์ ($|S_{11}| \leq -10$ dB) ไม่สามารถครอบคลุมย่านความถี่ใช้งานได้ทั้งหมด และเมื่อทำการปรับ $R_{gt} = 7.4$ mm พบว่ามีความกว้าง

เอกสารนี้เป็นเอกสารที่สงวนไว้สำหรับการใช้งานเพื่อการศึกษาเท่านั้น ไม่นำไปใช้ประโยชน์ด้านการค้า
ไม่ว่ากรณีใดๆ ทั้งสิ้น อีกทั้งห้ามมิให้ดัดแปลงเนื้อหา และต้องอ้างอิงถึงเจ้าของเอกสารทุกครั้งที่มีการนำไปใช้

อิมพีแดนซ์แบนด์วิดท์ครอบคลุมความถี่กลาง 5.5 GHz ในขณะที่ $R_{gt} = 8.4$ mm ถึงแม้จะมีค่า ($|S_{11}| \leq -10$ dB) แต่ว่าความถี่เรโซแนนซ์เลื่อนไปยังความถี่ต่ำที่ 5.31 GHz ดังนั้นเมื่อพิจารณาค่าผลการจำลอง $|S_{11}|$ พบว่าขนาดที่เหมาะสมคือ $R_{gt} = 7.4$ mm สามารถครอบคลุมย่านความถี่กลางของงานเครือข่ายท้องถิ่นไร้สาย WLAN (5.5 GHz) และเมื่อทำการพิจารณาผลการจำลองค่าอัตราส่วนแกนนั้น ที่ $R_{gt} = 7.4$ mm อัตราส่วนแกน ($AR \leq 3$ dB) ครอบคลุมตลอดช่วงย่านความถี่กลาง 5.5 GHz สำหรับค่าอัตราส่วนแกนที่ $R_{gt} = 5.4$ mm พบว่าอัตราส่วนแกนต่ำสุดเลื่อนไปทางความถี่ด้านสูงที่ 5.7 GHz ในส่วน $R_{gt} = 6.4$ 8.4 และ 9.4 mm แม้จะมีค่าอัตราส่วนแกนมีค่าต่ำกว่า 3 dB แต่มีแนวโน้มที่อัตราส่วนแกนต่ำสุดจะเลื่อนไปยังช่วงย่านความถี่สูง จากผลการจำลอง $|S_{11}|$ และอัตราส่วนแกน (AR) สรุปได้ว่ารัศมีกราวนด์บน R_{gt} มีผลกระทบต่อคุณลักษณะต่อสายอากาศอย่างมาก แต่เนื่องจากมีการออกแบบให้มีระนาบกราวนด์สองชั้นแยกออกจากกันจึงสามารถลดผลกระทบเมื่อนำสายอากาศไปติดตั้งบนฐานตัวนำ หรือวัสดุอื่น ๆ ได้



(ก) ค่าสัมประสิทธิ์การสะท้อน



(ข) ค่าอัตราส่วนแกน

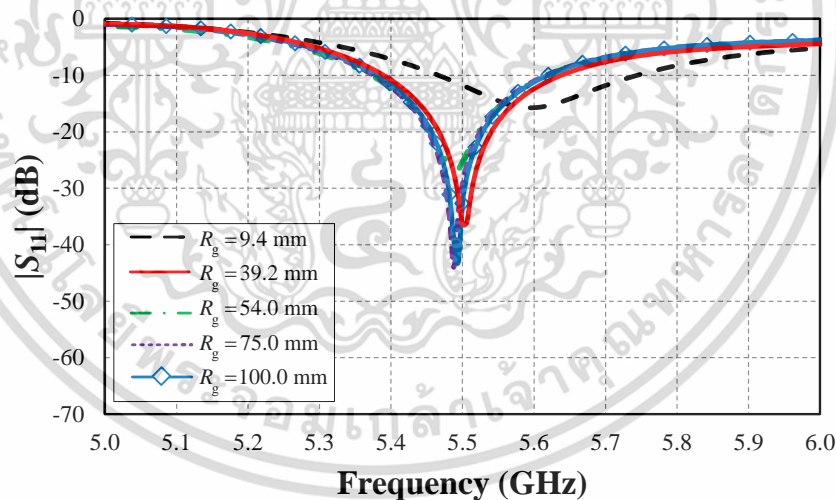
รูปที่ 3.15 ผลการจำลองอิมพีแดนซ์และอัตราส่วนแกนเมื่อปรับขนาดพารามิเตอร์ R_{gt} ของรัศมีระนาบกราวนด์บน

เอกสารนี้เป็นเอกสารที่สงวนไว้สำหรับการใช้งานเพื่อการศึกษาเท่านั้น ไม่อนุญาตให้นำไปใช้ประโยชน์ด้านการค้า ไม่ว่าจะกรณีใดๆ ทั้งสิ้น อีกทั้งห้ามมิให้ดัดแปลงเนื้อหา และต้องอ้างอิงถึงเจ้าของเอกสารทุกครั้งที่มีการนำไปใช้

3.4.8 รัศมีกราวด์ล่าง R_g ของสายอากาศโครงสร้าง A

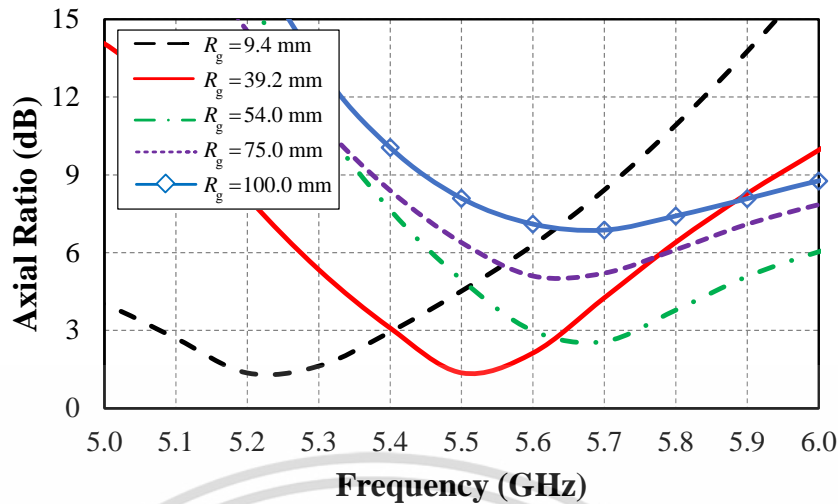
จากรูปที่ 3.16 (ก) – (ข) แสดงผลการจำลองของค่าอิมพีแดนซ์ ($|S_{11}| \leq -10$ dB) และค่าอัตราส่วนแแกน ($AR \leq 3$ dB) ของสายอากาศโมโนโพลโพลาไรซ์วงกลมแพร่กระจายคลื่นรอบทิศทาง (OCPA) ที่ทำการขยายรัศมีระนาบกราวด์ล่าง ($R_g = 9.4$ mm ถึง 100.0 mm) เมื่อทำการพิจารณาค่า $|S_{11}|$ พบว่ารัศมีระนาบกราวด์ล่างที่ขนาด $R_g = 9.4$ mm จะทำให้ความถี่เรโซแนนซ์เลื่อนไปทางความถี่สูงและสูญเสียอิมพีแดนซ์แมตซ์ซึ่งไปบางส่วน แต่เมื่อทำการเพิ่มขนาดรัศมีที่ $R_g = 39.2$ mm ถึง 100.0 mm ค่า $|S_{11}|$ มีการเปลี่ยนแปลงที่น้อยมาก นั้นหมายความว่ามีการมีระนาบกราวด์บนและระนาบกราวด์ล่างที่แยกออกจากกันช่วยลดผลกระทบของอิมพีแดนซ์ของสายอากาศ

ในทางกลับกันค่าอัตราส่วนแแกน ($AR \leq 3$ dB) เมื่อ $R_g = 9.4$ mm พบว่าอัตราส่วนแแกนต่ำสุดเลื่อนไปทางช่วงความถี่ต่ำ และเมื่อทำการเพิ่มขนาดรัศมีระนาบกราวด์ล่างที่ขนาด $R_g = 39.2$ mm ค่าอัตราส่วนแแกนมีค่าต่ำกว่า 3 dB สามารถครอบคลุมย่านความถี่กลาง 5.5 GHz ได้ แต่เมื่อทำการขยายระนาบกราวด์เป็น $R_g = 54.0$ mm ค่าอัตราส่วนแแกนจะเลื่อนไปทางความถี่สูงและเริ่มที่จะมีแนวโน้มค่าอัตราส่วนแแกนเพิ่มสูงมากขึ้นจากเดิมจนกว่ารัศมีระนาบกราวด์ล่างจะมีขนาดใหญ่กว่า 54 mm ส่งผลให้ค่าอัตราส่วนแแกนมีค่ามากกว่า 3 dB จึงสรุปได้ว่าการเพิ่มรัศมีระนาบกราวด์ล่าง R_g ของสายอากาศโครงสร้าง ส่งผลกระทบบต่อค่าอัตราส่วนแแกนอย่างมากและจะสูญเสียการเกิดโพลาไรซ์วงกลมไป เมื่อ $R_g > 54.0$ mm



(ก) อิมพีแดนซ์

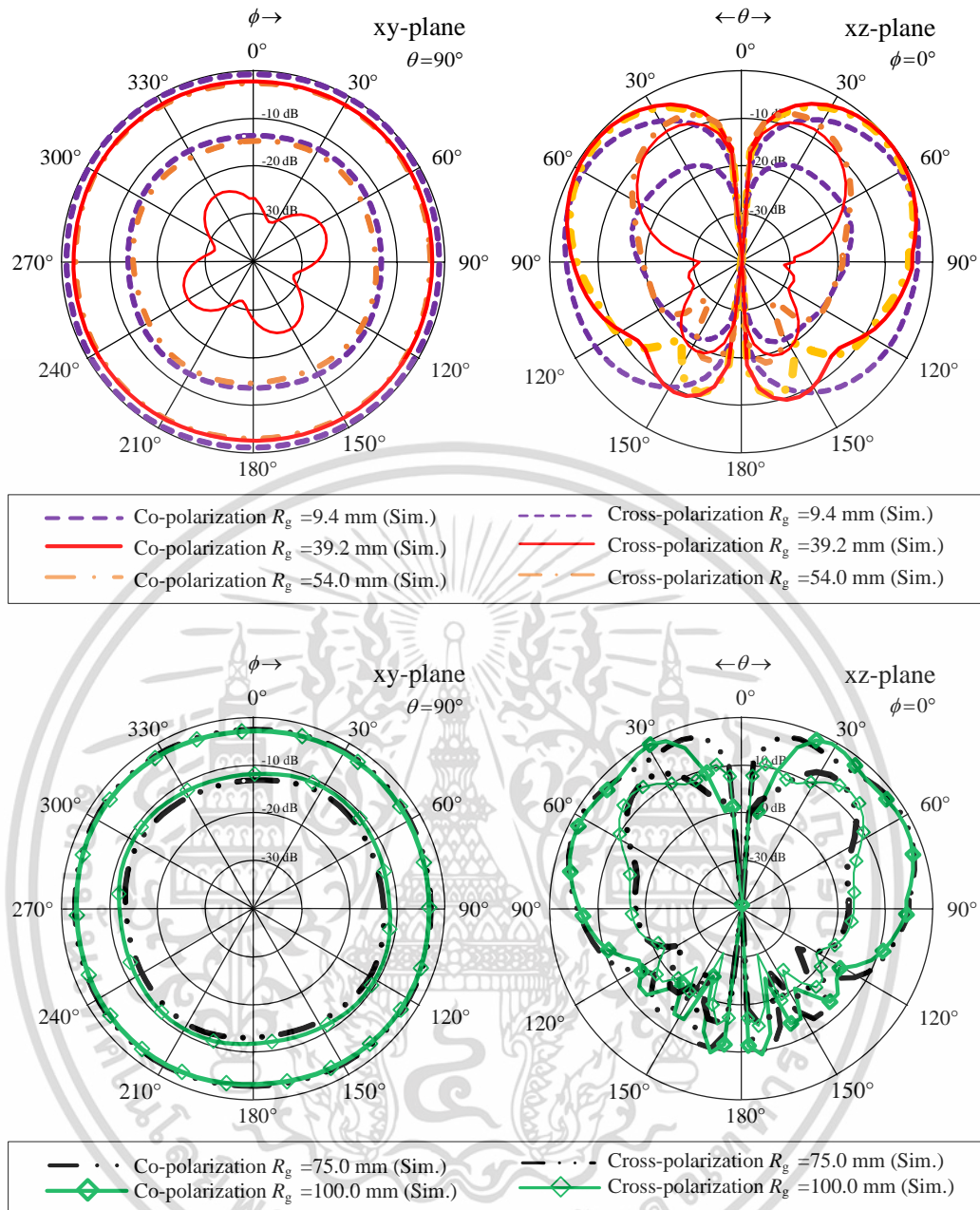
รูปที่ 3.16 ผลการจำลองอิมพีแดนซ์และอัตราส่วนแแกนเมื่อปรับขนาดพารามิเตอร์ R_g ของรัศมีระนาบกราวด์ล่างโครงสร้าง A



(ข) อัตราส่วนแกน

รูปที่ 3.16 ผลการจำลองอิมพีแดนซ์และอัตราส่วนแกนเมื่อปรับขนาดพารามิเตอร์ R_g ของรัศมีระนาบกราวด์ล่างโครงสร้าง A (ต่อ)

จากรูปที่ 3.17 แสดงผลการจำลองแบบรูปการแพร่กระจายคลื่นของสายอากาศโมนโพล โพลาริซวงกลมแพร่กระจายคลื่นรอบทิศทาง (OCPA ที่ทำการขยายรัศมีระนาบกราวด์ ($R_g = 9.4$ mm ถึง 100.0 mm) ที่ความถี่ 5.5 GHz จากผลการจำลองแสดงให้เห็นว่าสายอากาศโครงสร้าง A ที่นำเสนอสามารถแพร่กระจายคลื่นแบบรอบทิศทางได้ดีที่ $R_g = 9.4$ mm (ค่าอิมพีแดนซ์และค่าอัตราส่วนแกนไม่ดี) ซึ่งสังเกตได้จากระนาบ xy-plane ในส่วนระนาบ xz-plane จะเห็นว่าสายอากาศแพร่กระจายคลื่นได้ดีในมุม $\theta = 90^\circ$ และเมื่อทำการขยายระนาบกราวด์เพิ่มขึ้นเป็น $R_g = 39.2$ mm 54.0 mm 75.0 mm และ 100.0 mm สายอากาศจะมีลำคลื่นยกขึ้นอย่างมากไปที่มุม $\theta = 50^\circ, 45^\circ, 30^\circ, 20^\circ$ ตามลำดับ (ไม่สามารถครอบคลุมการแพร่กระจายคลื่นแบบรอบตัว) ซึ่งค่า XPL ต่ำกว่า -10 dB ในทิศทางลำคลื่นหลัก ทั้งระนาบ xy-plane และ xz-plane จากผลการจำลองที่ความถี่กลาง 5.5 GHz ที่ R_g ขนาดต่าง ๆ สรุปได้ว่าสายอากาศที่นำเสนอโครงสร้าง A นั้นได้รับผลกระทบต่อการขยายระนาบกราวด์ที่สูงไม่มีความเหมาะสมในการนำไปประยุกต์ใช้บนฐานวางตัวนำทางไฟฟ้า หรือวัสดุอื่น ๆ ได้ โดยมีผลกระทบรุนแรงต่อคุณลักษณะของสายอากาศ



รูปที่ 3.17 ผลการจำลองแบบรูปการแพร่กระจายคลื่นเมื่อปรับขนาดพารามิเตอร์ R_g ของรัศมีระนาบกราวด์ล่างโครงสร้าง A

3.5 สรุป

ในบทนี้ได้ทำการจำลอง ออกแบบ และศึกษาผลกระทบของพารามิเตอร์ต่าง ๆ ที่เกี่ยวข้องกับสายอากาศโมโนโพลและสายอากาศโมโนโพลโพลาริซวงกลมแพร่กระจายคลื่นรอบทิศทาง (OCPA) หรือโครงสร้าง A ที่นำเสนอ โดยการศึกษาขนาดและส่วนประกอบต่างๆ ที่ส่งผลต่อคุณลักษณะของสายอากาศโมโนโพล เพื่อเป็นแนวทางในการทำการปรับปรุงโครงสร้างให้เป็นไปตามวัตถุประสงค์ที่ออกแบบสายอากาศ จากผลการศึกษาองค์ประกอบสายอากาศโมโนโพลพบว่าสามารถแพร่กระจายคลื่นรอบทิศทาง มีอิมพีแดนซ์แมตซ์ซิ่งและอิมพีแดนซ์แบนด์วิดท์ที่ดี แต่ส่วนเอกสารนี้เป็นเอกสารที่สงวนไว้สำหรับการใช้งานเพื่อการศึกษาค้นคว้า ไม่อนุญาตให้นำไปใช้ประโยชน์ด้านการค้า ไม่ว่าจะกรณีใดๆ ทั้งสิ้น อีกทั้งห้ามมิให้ดัดแปลงเนื้อหา และต้องอ้างอิงถึงเจ้าของเอกสารทุกครั้งที่มีการนำไปใช้

องค์ประกอบระนาบกราวนด์มีผลกระทบรุนแรงต่อคุณลักษณะของสายอากาศอย่างมาก ไม่สามารถนำไปประยุกต์ใช้บนฐานวางตัวนำทางไฟฟ้า หรือวัสดุอื่น ๆ ได้ รวมไปถึงการพิจารณาความสามารถในการเกิดโพลาไรซ์วงกลมภายใต้เงื่อนไขของสนามไฟฟ้าที่มีแอมพลิจูดเท่ากันและมีความต่างเฟสที่ตั้งฉากกัน $\pm 90^\circ$ จึงเกิดการพัฒนาสายอากาศโมโนโพลโพลาไรซ์วงกลมแพร่กระจายคลื่นรอบทิศทาง (OCPA) ขึ้น โดยสายอากาศโมโนโพลโพลาไรซ์วงกลมแพร่กระจายคลื่นรอบทิศทางถูกจำลองบนโปรแกรม CST Microwave Studio Suit ส่วนกระบวนการพัฒนาสายอากาศโมโนโพลโพลาไรซ์วงกลมแพร่กระจายคลื่นรอบทิศทาง (Antenna III) นั้นสามารถกระทำได้โดย 3 ขั้นตอน (Antenna I Antenna II และ Antenna III) ซึ่งผลการจำลองของ Antenna III มีค่าอิมพีแดนซ์เท่ากับ 5.39 – 5.63 GHz และค่าอัตราส่วนแกนเท่ากับ 5.40 – 5.63 GHz ดังนั้นสายอากาศดังกล่าวครอบคลุมแถบความถี่บางช่วงของเครือข่ายท้องถิ่นไร้สาย (5.15 – 5.875 GHz) ทั้งหมดและมีคุณสมบัติเป็นสายอากาศโพลาไรซ์วงกลมหมุนซ้าย (LHCP) โดยสามารถพิจารณาได้จากการหมุนของกระแสเชิงพื้นผิวในทิศทางทวนเข็มนาฬิกา (+z) บนสายอากาศดังกล่าว นอกจากนี้ได้ทำการศึกษาพารามิเตอร์ที่สำคัญที่มีผลกระทบต่อสายอากาศโมโนโพลโพลาไรซ์วงกลมแพร่กระจายคลื่นรอบทิศทาง ได้แก่ ความกว้าง×ยาว ของพาราซิติคสี่เหลี่ยม w_1 และ w_2 รัศมีโพรบของโมโนโพล R_p ความสูงของโพรบ L_p รัศมีพาราซิติค R_{pb} ความสูงจากกึ่งกลางพาราซิติคถึงระนาบกราวนด์ตัวนำแม่เหล็กประดิษฐ์ h_{pb} ความกว้างของขอบพาราซิติค s_{pb} รัศมีกราวนด์บน R_{gt} และรัศมีกราวนด์ล่าง R_{gl} ซึ่งเป็นพารามิเตอร์ที่สำคัญในการออกแบบของสายอากาศที่นำเสนอนี้ เพื่อให้ได้ค่าที่เหมาะสมที่สุดสำหรับสายอากาศโมโนโพลโพลาไรซ์วงกลมแพร่กระจายคลื่นรอบทิศทาง (OCPA) และในบทต่อไปจะได้ทำการออกแบบสายอากาศโมโนโพลโพลาไรซ์วงกลมแพร่กระจายคลื่นรอบทิศทาง (OCPA) ร่วมกับระนาบกราวนด์ตัวนำแม่เหล็กประดิษฐ์แบบรูปร่างวงแหวนเดี่ยว (SA-AMC) และระนาบกราวนด์ตัวนำแม่เหล็กประดิษฐ์แบบรูปร่างวงแหวนคู่ (DA-AMC) สำหรับการสื่อสารเครือข่ายท้องถิ่นไร้สาย (WLAN) ย่านความถี่ 5.5 GHz

เอกสารนี้เป็นเอกสารที่สงวนไว้สำหรับการใช้งานเพื่อการศึกษาเท่านั้น ไม่อนุญาตให้นำไปใช้ประโยชน์ด้านการค้า ไม่ว่าจะกรณีใดๆ ทั้งสิ้น อีกทั้งห้ามมิให้ดัดแปลงเนื้อหา และต้องอ้างอิงถึงเจ้าของเอกสารทุกครั้งที่มีการนำไปใช้

บทที่ 4

การออกแบบและการจำลองสายอากาศโมโนโพล โพลาริซวงกลมแพร่กระจายคลื่นรอบทิศทางร่วมกับ ระนาบกราวนด์ตัวนำแม่เหล็กประดิษฐ์แบบรูปร่างวงแหวนเดี่ยว และระนาบกราวนด์ตัวนำแม่เหล็กประดิษฐ์แบบรูปร่างวงแหวนคู่

4.1 บทนำ

ในบทนี้ จะกล่าวถึงทฤษฎีและหลักการออกแบบสายอากาศโมโนโพลโพลาริซวงกลมแพร่กระจายคลื่นรอบทิศทาง (OCPA) ร่วมกับระนาบกราวนด์ตัวนำแม่เหล็กประดิษฐ์แบบรูปร่างวงแหวนเดี่ยว (SA-AMC) และระนาบกราวนด์ตัวนำแม่เหล็กประดิษฐ์แบบรูปร่างวงแหวนคู่ (DA-AMC) สำหรับการสื่อสารเครือข่ายท้องถิ่นไร้สาย (WLAN) ย่านความถี่ 5.5 GHz โดยสายอากาศโมโนโพลโพลาริซวงกลมแพร่กระจายคลื่นรอบทิศทาง (OCPA) ร่วมกับระนาบกราวนด์ตัวนำแม่เหล็กประดิษฐ์แบบรูปร่างวงแหวนเดี่ยว (SA-AMC) สายอากาศนั้นจะประกอบไปด้วยสายอากาศโมโนโพล และพาราซีติกส์เหลี่ยมที่เชื่อมต่อกันในแนวทแยงมุม จำนวน 4 องค์ประกอบ วางรอบสายอากาศโมโนโพล และมีระนาบกราวนด์ตัวนำแม่เหล็กประดิษฐ์แบบรูปร่างวงแหวนเดี่ยวที่มีจำนวนหน่วยเซลล์ 8 หน่วย ซึ่งในการออกแบบสายอากาศโมโนโพลโพลาริซวงกลมแพร่กระจายคลื่นรอบทิศทาง (OCPA) นั้นได้กล่าวมาแล้วในบทที่ 3 ในส่วนสายอากาศโมโนโพลโพลาริซวงกลมแพร่กระจายคลื่นรอบทิศทาง (OCPA) นั้น สายอากาศจะประกอบไปด้วยสายอากาศโมโนโพล และพาราซีติกส์เหลี่ยมที่เชื่อมต่อกันในแนวทแยงมุม จำนวน 4 องค์ประกอบ วางรอบสายอากาศโมโนโพล และมีระนาบกราวนด์ตัวนำแม่เหล็กประดิษฐ์แบบรูปร่างวงแหวนคู่ที่มีจำนวนหน่วยเซลล์วงใน 8 หน่วย และวงนอก 15 หน่วย เพื่อปรับปรุงความกว้างอิมพีแดนซ์แบนด์วิดท์ (Impedance Bandwidth : IBW) ความกว้างอัตราส่วนแกนแบนด์วิดท์ (Axial Ratio Bandwidth : ARBW) และอัตราขยายแบนด์วิดท์ (Boresight Gain Bandwidth) ของสายอากาศโมโนโพลโพลาริซวงกลมแพร่กระจายคลื่นรอบทิศทาง (OCPA) ร่วมกับระนาบกราวนด์ตัวนำแม่เหล็กประดิษฐ์แบบรูปร่างวงแหวนเดี่ยว (SA-AMC) และระนาบกราวนด์ตัวนำแม่เหล็กประดิษฐ์แบบรูปร่างวงแหวนคู่ (DA-AMC) โดยจะใช้โปรแกรม CST Microwave Studio Suite ในการหาค่าที่เหมาะสมของสายอากาศโมโนโพลโพลาริซวงกลมแพร่กระจายคลื่นรอบทิศทาง (OCPA) ร่วมกับระนาบกราวนด์ตัวนำแม่เหล็กประดิษฐ์แบบรูปร่างวงแหวนเดี่ยว (SA-AMC) และระนาบกราวนด์ตัวนำแม่เหล็กประดิษฐ์แบบรูปร่างวงแหวนคู่ (DA-AMC) รวมไปถึงการศึกษาคุณลักษณะของเฟสการสะท้อนแบนด์วิดท์ของพื้นผิวอภิวัดศุ (Metasurface) ประเภทระนาบกราวนด์ตัวนำแม่เหล็กประดิษฐ์ (Artificial Magnetic Conductor : AMC) และค่าพารามิเตอร์ต่าง ๆ ของสายอากาศ

เอกสารนี้เป็นเอกสารที่สงวนไว้สำหรับการใช้งานเพื่อการศึกษาเท่านั้น ไม่อนุญาตให้นำไปใช้ประโยชน์ด้านการค้า
ไม่ว่ากรณีใดๆ ทั้งสิ้น อีกทั้งห้ามมิให้ดัดแปลงเนื้อหา และต้องอ้างอิงถึงเจ้าของเอกสารทุกครั้งที่มีการนำไปใช้

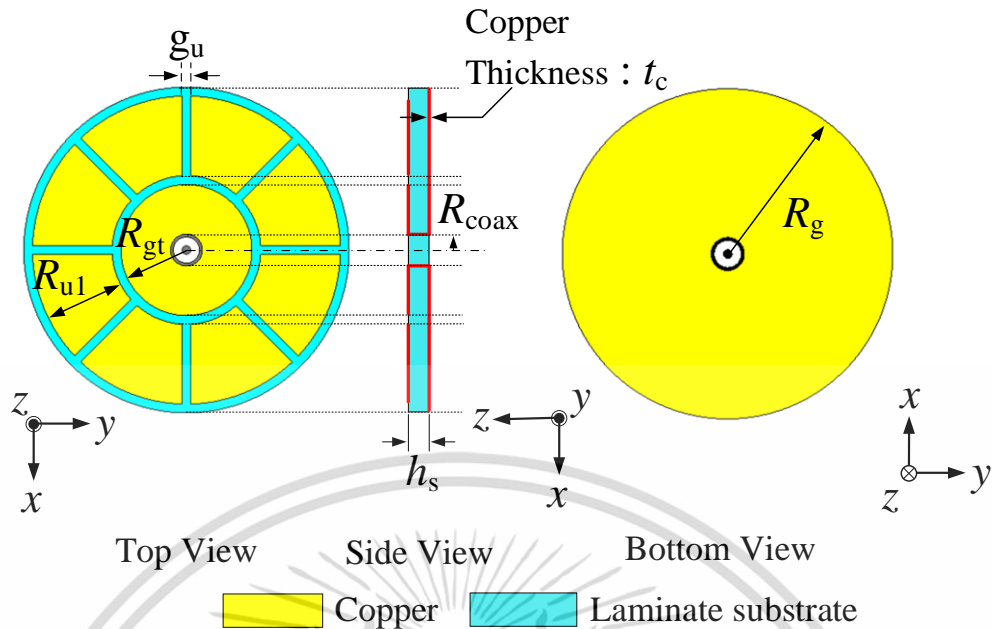
4.2 การออกแบบระบบระบายความร้อนตัวนำแม่เหล็กประดิษฐ์

การออกแบบสายอากาศโมโนโพลโพลาริซวงกลมแพร่กระจายคลื่นรอบทิศทาง (OCPA) ร่วมกับระบบระบายความร้อนตัวนำแม่เหล็กประดิษฐ์แบบรูปวงแหวนเดี่ยว (SA-AMC) และสายอากาศโมโนโพลโพลาริซวงกลมแพร่กระจายคลื่นรอบทิศทาง (OCPA) ร่วมกับระบบระบายความร้อนตัวนำแม่เหล็กประดิษฐ์แบบรูปวงแหวนคู่ (DA-AMC) สามารถแบ่งออกเป็น 3 ส่วน ได้แก่

1. การออกแบบสายอากาศโมโนโพลโพลาริซวงกลมแพร่กระจายคลื่นรอบทิศทาง (OCPA) ดังที่กล่าวมาในบทที่ 3 ที่ผ่านมา
2. การออกแบบระบบระบายความร้อนตัวนำแม่เหล็กประดิษฐ์แบบรูปวงแหวนเดี่ยว (SA-AMC) อิมพีแดนซ์ เฟสการสะท้อนและจากวงจรสมมูล ซึ่งจะกล่าวในบทที่ 4 นี้
3. การออกแบบสายอากาศโมโนโพลโพลาริซวงกลมแพร่กระจายคลื่นรอบทิศทาง (OCPA) ร่วมกับระบบระบายความร้อนตัวนำแม่เหล็กประดิษฐ์แบบรูปวงแหวนเดี่ยว (SA-AMC) และสายอากาศโมโนโพลโพลาริซวงกลมแพร่กระจายคลื่นรอบทิศทาง (OCPA) ร่วมกับระบบระบายความร้อนตัวนำแม่เหล็กประดิษฐ์แบบรูปวงแหวนคู่ (DA-AMC) โดยจะถูกอธิบายในบทที่ 5

4.2.1 ระบบระบายความร้อนตัวนำแม่เหล็กประดิษฐ์แบบรูปวงแหวนเดี่ยว (SA-AMC)

จากรูปที่ 4.1 แสดงโครงสร้างระบบระบายความร้อนตัวนำแม่เหล็กประดิษฐ์แบบรูปวงแหวนเดี่ยว (SA-AMC) ที่มีองค์ประกอบหน่วยเซลล์จำนวน 8 หน่วย มีขนาดหน่วยเซลล์เป็น (R_{u1}) และมีระยะห่างระหว่างหน่วยเซลล์เป็น (g_u) มีระบบระบายความร้อนที่มีขนาดรัศมี (R_{gt}) ทำการเจาะรูบริเวณกึ่งกลางของระบบระบายความร้อนตัวนำแม่เหล็กประดิษฐ์เท่ากับขนาดรัศมี (R_{coax}) ของสายนำสัญญาณโคแอกเซียลเพื่อเป็นจุดป้อนสัญญาณของโพรบโมโนโพล ระบบระบายความร้อนตัวนำแม่เหล็กประดิษฐ์ที่เป็นส่วนสำคัญต่อการติดตั้งสายอากาศ ซึ่งจะทำให้การศึกษาโดยละเอียดเป็นลำดับถัดไป ระบบระบายความร้อนตัวนำแม่เหล็กประดิษฐ์แบบรูปวงแหวนเดี่ยวถูกสร้างขึ้นบนวัสดุฐานรองชนิด FR-4 รุ่น Chukoh CGP-500A จำนวน 1 ชั้น 2 หน้า (ชั้นบนและชั้นล่าง) โดยไม่มีช่องว่างอากาศระหว่างวัสดุฐานรอง ความหนาของวัสดุฐานรองคือ (h_s) ค่าคงที่ไดอิเล็กตริก (ϵ_r) และค่าการสูญเสียแทนเจนต์ $(\tan \delta)$ เท่ากับ 4.3 และ 0.0025 ตามลำดับ และตารางแสดงพารามิเตอร์และขนาดของระบบระบายความร้อนตัวนำแม่เหล็กประดิษฐ์แบบรูปวงแหวนเดี่ยว (SA-AMC) แสดงดังตารางที่ 4.1



รูปที่ 4.1 โครงสร้างระนาบกราวนด์ตัวนำแม่เหล็กประดิษฐ์แบบรูวงแหวนเดี่ยว (SA-AMC)

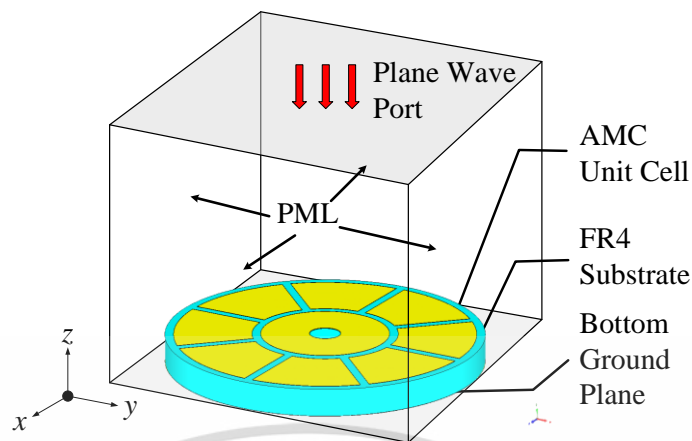
ตารางที่ 4.1 พารามิเตอร์และขนาดของระนาบกราวนด์ตัวนำแม่เหล็กประดิษฐ์แบบรูวงแหวนเดี่ยว

พารามิเตอร์	ขนาด (mm)	ขนาดทางไฟฟ้า (m)	หมายเหตุ
R_{u1}	9.00	$0.165 \lambda_c$	รัศมีหน่วยเซลล์
R_{gt}	7.40	$0.135 \lambda_c$	รัศมีกราวนด์บน
g_u	1.00	$0.018 \lambda_c$	ช่องว่างหน่วยเซลล์
R_g	18.40	$0.337 \lambda_c$	รัศมีกราวนด์ล่าง
h_s	3.20	$0.058 \lambda_c$	ความสูงวัสดุฐานรอง
t_c	0.018	$0.0003 \lambda_c$	ความสูงทองแดง วัสดุฐานรอง
R_{coax}	1.80	$0.0003 \lambda_c$	รัศมีสายนำสัญญาณ โคแอกเซียล

*หมายเหตุ λ_c คือ ความยาวคลื่นในสภาวะอากาศว่างที่ความถี่กลาง 5.5 GHz

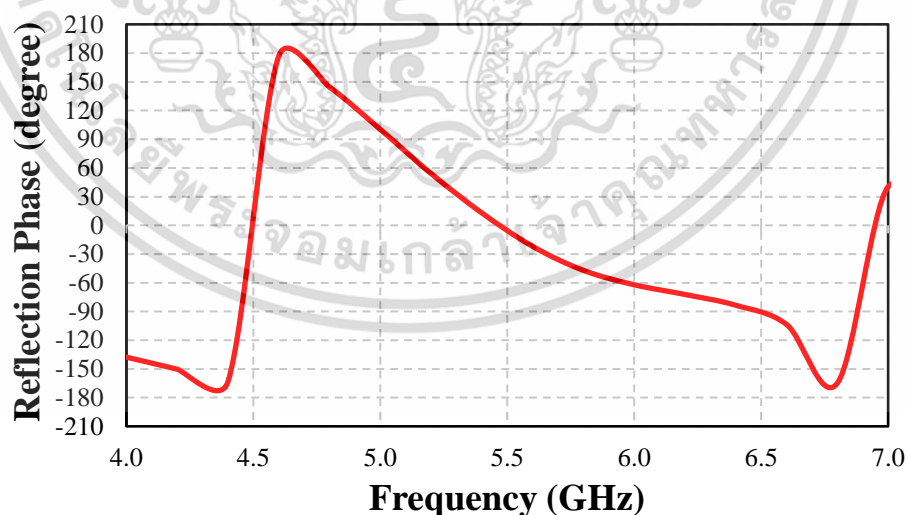
ในรูปที่ 4.2 แสดงรูปแบบการจำลองโมเดลของแบบจำลองระนาบกราวนด์ตัวนำแม่เหล็กประดิษฐ์ (เช่น โครงสร้าง B) เพื่อจำลองผลเฟสการสะท้อน โดยการจำลองผลดำเนินการโดยใช้โปรแกรม CST Microwave Studio ที่มีการจำลองสนามไฟฟ้าตกกระทบในแนวตั้งฉาก โดยที่โครงสร้างระนาบกราวนด์ตัวนำแม่เหล็กประดิษฐ์ทั้งหมดถูกปิดล้อมในขอบเขตการดูดซับแมตซ์ซึ่งอย่างสมบูรณ์ (Perfectly Matched Layer : PML) ผลการจำลองเฟสการสะท้อนที่ 0° ควรจะมีเฟสการสะท้อนได้ใกล้เคียงกับความถี่เป้าหมายที่ 5.5 GHz หรือครอบคลุมย่านความถี่ใช้งาน

ไม่ว่ากรณีใดๆ ทั้งสิ้น อีกทั้งห้ามมิให้ดัดแปลงเนื้อหา และต้องอ้างอิงถึงเจ้าของเอกสารทุกครั้งที่มีการนำไปใช้



รูปที่ 4.2 การจำลองโมเดลเฟสการสะท้อนของระนาบกราวด์ตัวนำแม่เหล็กประดิษฐ์แบบรูปวงแหวนเดี่ยว (SA-AMC)

ในรูปที่ 4.3 แสดงผลการจำลองเฟสการสะท้อน จะเห็นว่าที่ความถี่เป้าหมาย (5.5 GHz) เฟสการสะท้อนของระนาบกราวด์ตัวนำแม่เหล็กประดิษฐ์แบบรูปวงแหวนเดี่ยว (SA-AMC) ต่อไปนี้ กำหนดเป็นโครงสร้าง B มีค่าเท่ากับศูนย์ โดยมีแบนด์วิดท์ของเฟสการสะท้อน (ความกว้างแถบความถี่ของ AMC) อยู่ระหว่าง -90° (ขอบบนของย่านความถี่สูงสุด) และ $+90^{\circ}$ (ขอบล่างของย่านความถี่ต่ำสุด) ครอบคลุมความถี่ 5.1 – 6.5 GHz คิดเป็น 24.13% ครอบคลุมย่านความถี่ใช้งานเครือข่ายท้องถิ่นไร้สาย (WLAN)

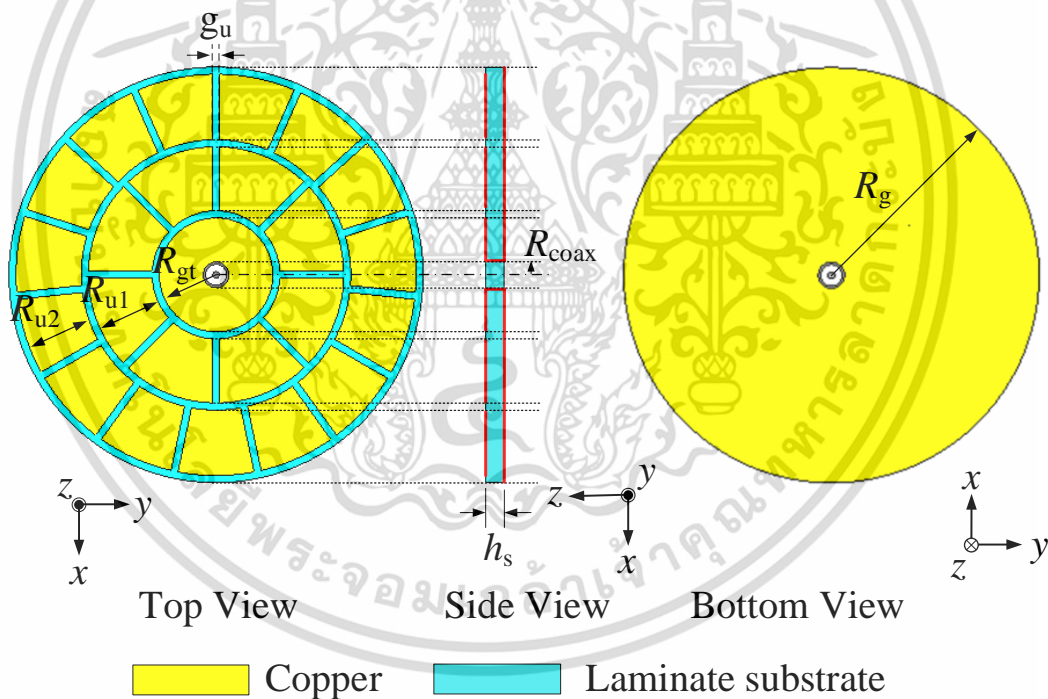


รูปที่ 4.3 ผลการจำลองเฟสการสะท้อนของระนาบกราวด์ตัวนำแม่เหล็กประดิษฐ์แบบรูปวงแหวนเดี่ยว (SA-AMC)

เอกสารนี้เป็นเอกสารที่สงวนไว้สำหรับการใช้งานเพื่อการศึกษาเท่านั้น ไม่อนุญาตให้นำไปใช้ประโยชน์ด้านการค้า ไม่ว่าจะกรณีใดๆ ทั้งสิ้น อีกทั้งห้ามมิให้ดัดแปลงเนื้อหา และต้องอ้างอิงถึงเจ้าของเอกสารทุกครั้งที่มีการนำไปใช้

4.2.2 ระบายกราวนด์ตัวนำแม่เหล็กประดิษฐ์แบบรูปวงแหวนคู่ (DA-AMC)

จากรูปที่ 4 แสดงโครงสร้างระบายกราวนด์ตัวนำแม่เหล็กประดิษฐ์แบบรูปวงแหวนคู่ (DA-AMC) ที่มีองค์ประกอบหน่วยเซลล์วงในจำนวน 8 หน่วย และหน่วยเซลล์วงนอกจำนวน 15 หน่วย มีขนาดหน่วยเซลล์วงในเป็น (R_{u1}) และขนาดหน่วยเซลล์วงนอกเป็น (R_{u2}) ซึ่งมีระยะห่างระหว่างหน่วยเซลล์เป็น (g_u) มีระบายกราวนด์บนที่มีขนาดรัศมี (R_g) ทำการเจาะรูบริเวณกึ่งกลางของระบายกราวนด์ตัวนำแม่เหล็กประดิษฐ์เท่ากับขนาดรัศมี (R_{coax}) ของสายนำสัญญาณโคแอกเซียลเพื่อเป็นจุดป้อนสัญญาณของโพรบไมโนโทล ระบายกราวนด์ล่างคือ R_g ที่เป็นส่วนสำคัญต่อการติดตั้งสายอากาศ ซึ่งจะทำให้การศึกษาโดยละเอียดเป็นลำดับถัดไปเช่นเดียวกับระบายกราวนด์ตัวนำแม่เหล็กประดิษฐ์แบบรูปวงแหวนเดี่ยว ระบายกราวนด์ตัวนำแม่เหล็กประดิษฐ์แบบรูปวงแหวนคู่ถูกสร้างขึ้นบนวัสดุฐานรองชนิด FR-4 รุ่น Chukoh CGP-500A จำนวน 1 ชั้น 2 หน้า (ชั้นบนและชั้นล่าง) โดยไม่มีช่องว่างอากาศระหว่างวัสดุฐานรอง ความหนาของวัสดุฐานรองคือ (h_s) ค่าคงที่ไดอิเล็กตริก (ϵ_r) และค่าการสูญเสียแทนเจนต์ ($\tan \delta$) เท่ากับ 4.3 และ 0.0025 ตามลำดับ และตารางแสดงพารามิเตอร์และขนาดของระบายกราวนด์ตัวนำแม่เหล็กประดิษฐ์แบบรูปวงแหวนคู่ (DA-AMC) แสดงดังตารางที่ 4.2



รูปที่ 4.4 โครงสร้างระบายกราวนด์ตัวนำแม่เหล็กประดิษฐ์แบบรูปวงแหวนคู่ (DA-AMC)

ตารางที่ 4.2 พารามิเตอร์และขนาดของระบายกราวนด์ตัวนำแม่เหล็กประดิษฐ์แบบรูปวงแหวนคู่

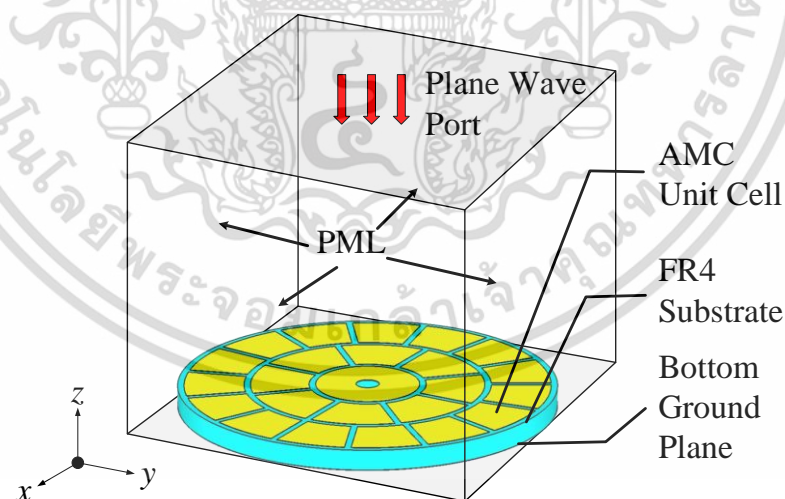
พารามิเตอร์	ขนาด (mm)	ขนาดทางไฟฟ้า (m)	หมายเหตุ
R_{u1}	9.00	$0.165 \lambda_c$	รัศมีหน่วยเซลล์วงใน
R_{u2}	9.20	$0.168 \lambda_c$	รัศมีหน่วยเซลล์วงนอก

เอกสารนี้เป็นเอกสารที่สงวนไว้สำหรับการใช้งานเพื่อการศึกษาเท่านั้น ไม่อนุญาตให้นำไปใช้ประโยชน์ด้านการค้า ไม่ว่าจะกรณีใดๆ ทั้งสิ้น อีกทั้งห้ามมิให้ดัดแปลงเนื้อหา และต้องอ้างอิงถึงเจ้าของเอกสารทุกครั้งที่มีการนำไปใช้

พารามิเตอร์	ขนาด (mm)	ขนาดทางไฟฟ้า (m)	หมายเหตุ
R_{gt}	7.40	$0.135 \lambda_c$	รัศมีกราวด์บน
g_u	1.00	$0.018 \lambda_c$	ช่องว่างหน่วยเซลล์
R_g	18.40	$0.337 \lambda_c$	รัศมีกราวด์ล่าง
h_s	3.20	$0.058 \lambda_c$	ความสูงวัสดุฐานรอง
t_c	0.018	$0.0003 \lambda_c$	ความสูงทองแดง วัสดุฐานรอง
R_{coax}	1.80	$0.0003 \lambda_c$	รัศมีสายนำสัญญาณโคแอก เซียม

*หมายเหตุ λ_c คือ ความยาวคลื่นในสภาวะอากาศว่างที่ความถี่กลาง 5.5 GHz

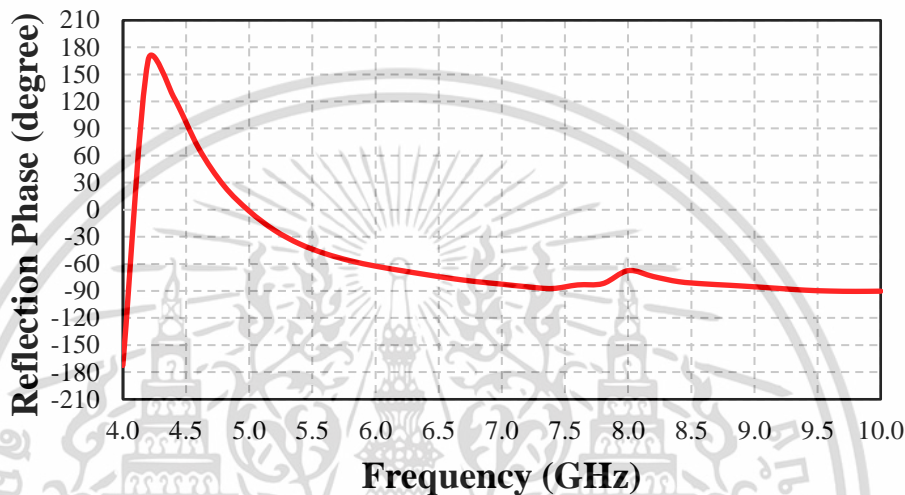
ในรูปที่ 4.5 แสดงรูปแบบการจำลองโมเดลของแบบจำลองระนาบกราวด์ตัวนำแม่เหล็กประดิษฐ์ (เช่น โครงสร้าง C) เพื่อจำลองผลเฟสการสะท้อน โดยการจำลองผลดำเนินการโดยใช้โปรแกรม CST Microwave Studio ที่มีการจำลองสนามไฟฟ้าตกกระทบในแนวตั้งฉาก โดยที่โครงสร้างระนาบกราวด์ตัวนำแม่เหล็กประดิษฐ์ทั้งหมดถูกปิดล้อมในขอบเขตการดูดซับแมตซ์ซึ่งอย่างสมบูรณ์ (Perfectly Matched Layer : PML) ผลการจำลองเฟสการสะท้อนที่ 0° ทำให้ได้กลับความถี่เป้าหมายที่ 5.5 GHz



รูปที่ 4.5 การจำลองโมเดลเฟสการสะท้อนของระนาบกราวด์ตัวนำแม่เหล็กประดิษฐ์แบบรูปวงแหวนคู่ (DA-AMC)

ในรูปที่ 4.6 แสดงผลการจำลองเฟสการสะท้อน จะเห็นได้ว่าที่ความถี่ 5.0 GHz เฟสการสะท้อนของระนาบกราวด์ตัวนำแม่เหล็กประดิษฐ์แบบรูปวงแหวนคู่ (DA-AMC) ต่อไปนี้กำหนดเป็นเอกสารนี้เป็นเอกสารที่สงวนไว้สำหรับการใช้งานเพื่อการศึกษาเท่านั้น ไม่อนุญาตให้นำไปใช้ประโยชน์ด้านการค้า ไม่ว่าจะกรณีใดๆ ทั้งสิ้น อีกทั้งห้ามมิให้ดัดแปลงเนื้อหา และต้องอ้างอิงถึงเจ้าของเอกสารทุกครั้งที่มีการนำไปใช้

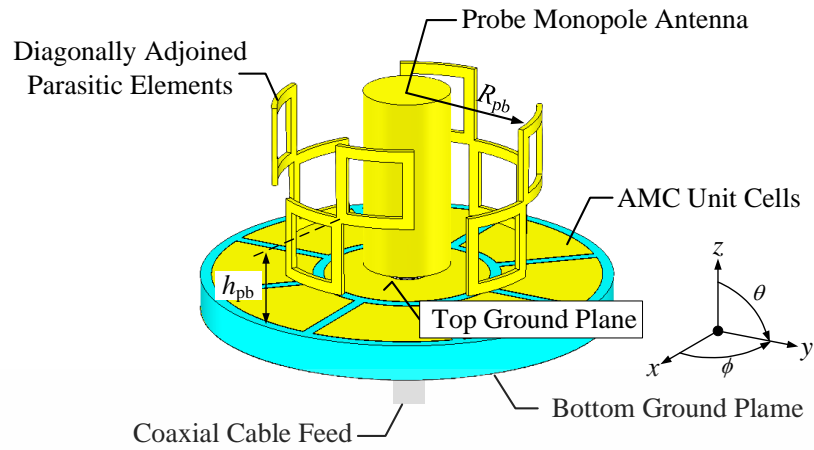
โครงสร้าง C มีค่าเท่ากับศูนย์ โดยมีแบนด์วิดท์ของเฟสการสะท้อน (ความกว้างแถบความถี่ของ AMC) อยู่ระหว่าง -90° (ขอบบนของย่านความถี่สูงสุด) และ $+90^\circ$ (ขอบล่างของย่านความถี่ต่ำสุด) ครอบคลุมความถี่ 4.5 – 9.6 GHz คิดเป็น 48.21% ครอบคลุมย่านความถี่ใช้งานเครือข่ายท้องถิ่นไร้สาย (WLAN) และเมื่อทำการเปรียบเทียบกับระนาบกราวนด์ตัวนำแม่เหล็กประดิษฐ์แบบรูปร่างแหวนเดี่ยว (SA-AMC) จะช่วยเพิ่มแบนด์วิดท์ของเฟสการสะท้อนจากที่แบนด์วิดท์ของเฟสการสะท้อนโครงสร้าง B ได้ 24.13% เป็น 48.21% (โครงสร้าง C) และเมื่อคำนวณเปอร์เซ็นต์แบนด์วิดท์ของเฟสการสะท้อนจะกว้างขึ้นกว่าเดิมคิดเป็น 72.34%



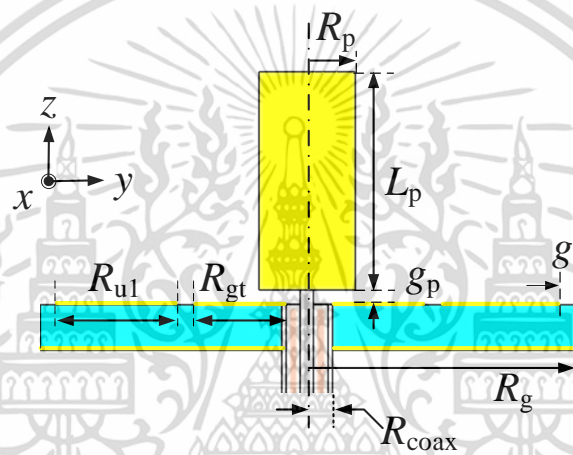
รูปที่ 4.6 ผลการจำลองเฟสการสะท้อนของระนาบกราวนด์ตัวนำแม่เหล็กประดิษฐ์แบบรูปร่างแหวนคู่ (DA-AMC)

4.2.3 สายอากาศโมโนโพลโพลาริซวงกลมแพร่กระจายคลื่นรอบทิศทาง (OCPA) ร่วมกับระนาบกราวนด์ตัวนำแม่เหล็กประดิษฐ์แบบรูปร่างแหวนเดี่ยว (SA-AMC)

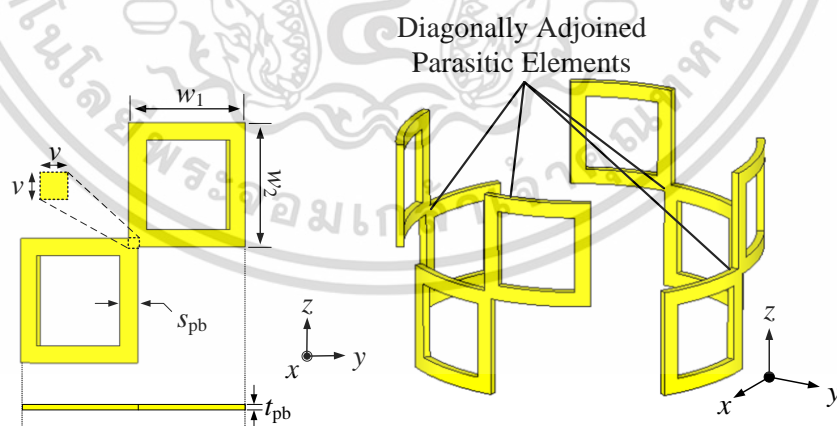
จากรูปที่ 4.7 แสดงโครงสร้างสายอากาศโมโนโพลโพลาริซวงกลมแพร่กระจายคลื่นรอบทิศทาง (OCPA) ร่วมกับระนาบกราวนด์ตัวนำแม่เหล็กประดิษฐ์แบบรูปร่างแหวนเดี่ยว (SA-AMC) หรือโครงสร้าง B โดยสายอากาศโครงสร้าง B นั้นจะใช้ระนาบกราวนด์ตัวนำแม่เหล็กประดิษฐ์แบบรูปร่างแหวนเดี่ยว (SA-AMC) มาออกแบบร่วมกับสายอากาศโมโนโพลโพลาริซวงกลมแพร่กระจายคลื่นรอบทิศทาง (OCPA) ที่ได้ถูกออกแบบไว้ในบทที่ 3 ถูกสร้างขึ้นบนวัสดุฐานรองชนิด FR-4 รุ่น Chukoh CGP-500A จำนวน 1 ชั้น 2 หน้า (ชั้นบนและชั้นล่าง) โดยไม่มีช่องว่างอากาศระหว่างวัสดุฐานรอง ความหนาของวัสดุฐานรองคือ (h_s) ค่าคงที่ไดอิเล็กตริก (ϵ_r) และค่าการสูญเสียแทนเจนต์ ($\tan \delta$) เท่ากับ 4.3 และ 0.0025 ตามลำดับ โดยขนาดของสายอากาศเท่ากับ $36.8 \text{ mm} \times 36.8 \text{ mm} \times 21.5 \text{ mm}$ ($R_g \times R_g \times H_t$)



(ก) โครงสร้างสายอากาศโครงสร้าง B



(ข) มุมมองภาพตัดกลางด้านหน้าสายอากาศ



(ค) มุมมองด้านหน้าและการวางพาราสิติกส์เหลี่ยม

รูปที่ 4.7 โครงสร้างสายอากาศโมโนโพลโพลาริซิงกลมแพร่กระจายคลื่นรอบทิศทาง (OCPA) ร่วมกับระนาบกราวด์ตัวนำแม่เหล็กประดิษฐ์แบบรูปวงแหวนเดี่ยว (SA-AMC) ที่นำเสนอ (ต่อ)

เอกสารนี้เป็นเอกสารที่สงวนไว้สำหรับการใช้งานเพื่อการศึกษาเท่านั้น ไม่อนุญาตให้นำไปใช้ประโยชน์ด้านการค้า ไม่ว่าจะกรณีใดๆ ทั้งสิ้น อีกทั้งห้ามมิให้ดัดแปลงเนื้อหา และต้องอ้างอิงถึงเจ้าของเอกสารทุกครั้งที่มีการนำไปใช้

สายอากาศโมโนโพลโพลาริซวงกลมแพร่กระจายคลื่นรอบทิศทาง (OCPA) ร่วมกับระนาบกราวนด์ตัวนำแม่เหล็กประดิษฐ์แบบรูปวงแหวนเดี่ยว (SA-AMC) ที่นำเสนอขึ้นประกอบไปด้วยกราวนด์ตัวนำแม่เหล็กประดิษฐ์แบบรูปวงแหวนเดี่ยวที่มีองค์ประกอบหน่วยเซลล์จำนวน 8 หน่วยสายอากาศโมโนโพล และพาราไดคส์เหลี่ยมที่เชื่อมต่อกันในแนวทแยงจำนวน 4 องค์ประกอบ ซึ่งทำการจัดเรียงให้สอดคล้องกันที่มุม 0° 90° 180° และ 270° ซึ่งในตารางที่ 4.3 ได้แสดงการกำหนดพารามิเตอร์และขนาดที่เหมาะสมของสายอากาศโมโนโพลโพลาริซวงกลมแพร่กระจายคลื่นรอบทิศทาง (OCPA) ร่วมกับระนาบกราวนด์ตัวนำแม่เหล็กประดิษฐ์แบบรูปวงแหวนเดี่ยว (SA-AMC) ที่นำเสนอ

ตารางที่ 4.3 พารามิเตอร์และขนาดของสายอากาศโมโนโพลโพลาริซวงกลมแพร่กระจายคลื่นรอบทิศทาง (OCPA) ร่วมกับระนาบกราวนด์ตัวนำแม่เหล็กประดิษฐ์แบบรูปวงแหวนเดี่ยว (SA-AMC)

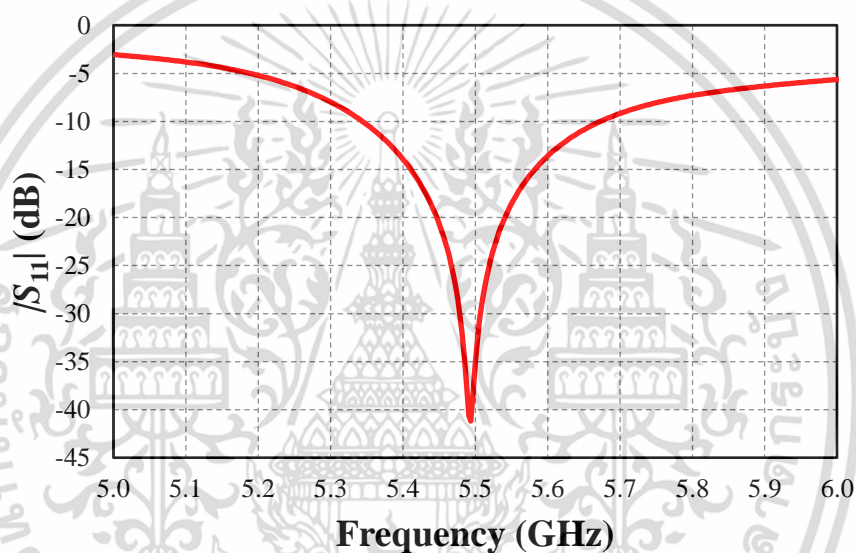
พารามิเตอร์	ขนาด (mm)	ขนาดทางไฟฟ้า (m)	หมายเหตุ
L_p	16.20	$0.297 \lambda_c$	ความสูงโพรบโมโนโพล
R_p	3.90	$0.071 \lambda_c$	รัศมีโพรบโมโนโพล
g_p	1.00	$0.018 \lambda_c$	ช่องว่างโพรบโมโนโพลกับระนาบกราวนด์ AMC
w_1	7.20	$0.132 \lambda_c$	ความกว้างพาราไดค
w_2	7.20	$0.132 \lambda_c$	ความยาวพาราไดค
s_{pb}	1.00	$0.018 \lambda_c$	ความกว้างวงขอบพาราไดค
v	0.50	$0.0092 \lambda_c$	ขนาดกว้าง \times ยาว ของจุดเชื่อมต่อพาราไดค
R_{pb}	11.50	$0.211 \lambda_c$	รัศมีพาราไดค
h_{pb}	11.50	$0.211 \lambda_c$	ความสูงจากกึ่งกลางพาราไดคถึงระนาบกราวนด์ AMC
t_{pb}	0.50	$0.0092 \lambda_c$	ความหนาพาราไดค
R_{u1}	9.00	$0.165 \lambda_c$	รัศมีหน่วยเซลล์
R_{gt}	7.40	$0.135 \lambda_c$	รัศมีกราวนด์บน
g_u	1.00	$0.018 \lambda_c$	ช่องว่างหน่วยเซลล์
R_g	18.40	$0.337 \lambda_c$	รัศมีกราวนด์ล่าง
h_s	3.20	$0.058 \lambda_c$	ความสูงวัสดุฐานรอง

เอกสารนี้เป็นเอกสารที่สงวนไว้สำหรับการใช้งานเพื่อการศึกษาเท่านั้น ไม่อนุญาตให้นำไปใช้ประโยชน์ด้านการค้าไม่ว่ากรณีใดๆ ทั้งสิ้น อีกทั้งห้ามมิให้ดัดแปลงเนื้อหา และต้องอ้างอิงถึงเจ้าของเอกสารทุกครั้งที่มีการนำไปใช้

t_c	0.018	$0.0003 \lambda_c$	ความหนาทองแดง วัสดุฐานรอง
R_{coax}	1.80	$0.0003 \lambda_c$	รัศมีสายนำสัญญาณโคแอกเซียล

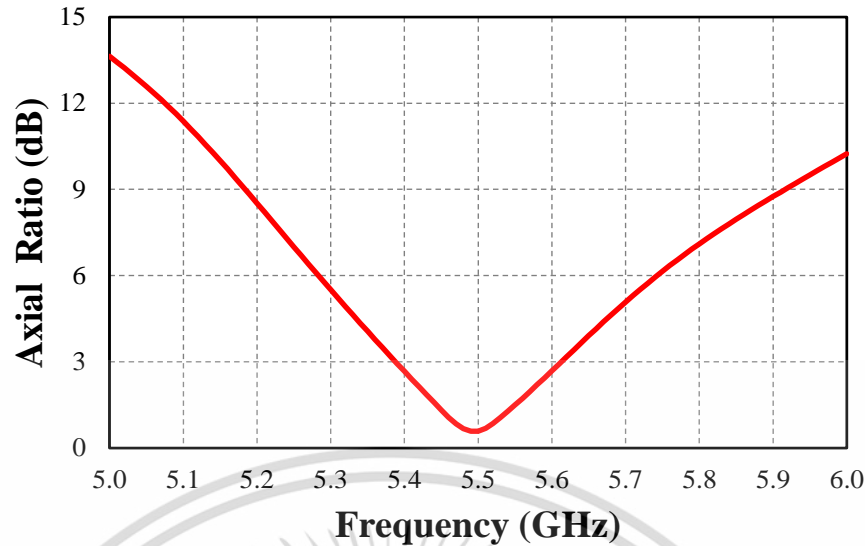
*หมายเหตุ λ_c คือ ความยาวคลื่นในสภาวะอากาศว่างที่ความถี่กลาง 5.5 GHz

จากรูปที่ 4.8 ผลการจำลอง $|S_{11}|$ ของสายอากาศโมโนโพลโพลาริซิงกลมแพร่กระจายคลื่นรอบทิศทาง (OCPA) ร่วมกับระนาบกราวด์ตัวนำแม่เหล็กประดิษฐ์แบบรูปวงแหวนเดี่ยว (SA-AMC) โดยผลการจำลองของ $|S_{11}| \leq -10$ dB มีช่วงความถี่ครอบคลุม 5.34 GHz – 5.69 GHz คิดเป็น 6.34% ของความถี่กลาง 5.5 GHz ค่า $|S_{11}|$ ต่ำสุดของผลการจำลองคือ 5.49 GHz



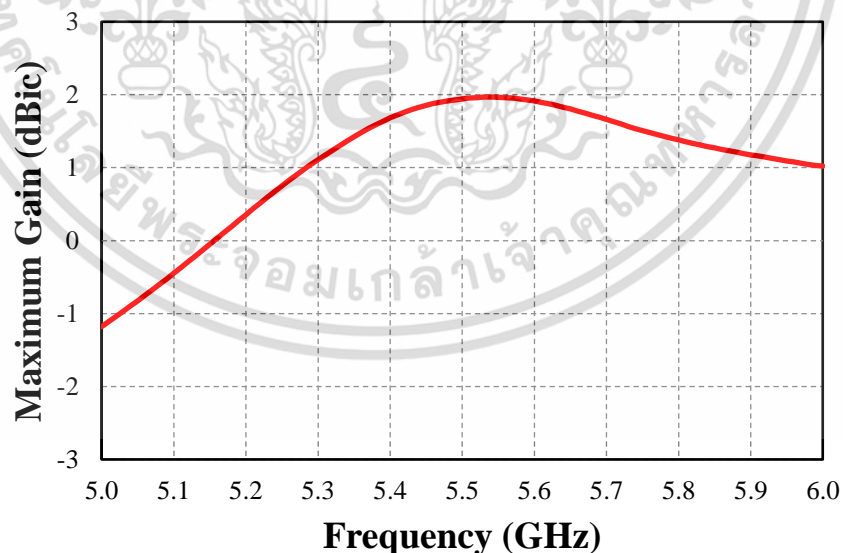
รูปที่ 4.8 ผลการจำลอง $|S_{11}|$ ของสายอากาศโมโนโพลโพลาริซิงกลมแพร่กระจายคลื่นรอบทิศทาง (OCPA) ร่วมกับระนาบกราวด์ตัวนำแม่เหล็กประดิษฐ์แบบรูปวงแหวนเดี่ยว (SA-AMC)

จากรูปที่ 4.9 แสดงผลการจำลองอัตราส่วนแกน (Axial ratio : AR) ของสายอากาศโมโนโพลโพลาริซิงกลมแพร่กระจายคลื่นรอบทิศทาง (OCPA) ร่วมกับระนาบกราวด์ตัวนำแม่เหล็กประดิษฐ์แบบรูปวงแหวนเดี่ยว (SA-AMC) โดยผลการจำลองของอัตราส่วนแกน ($AR \leq 3$ dB) มีช่วงความถี่ครอบคลุม 5.38 GHz – 5.62 GHz คิดเป็น 4.36% ของความถี่กลาง 5.5 GHz ซึ่งพบว่าผลการจำลองมีค่าอัตราส่วนแกนต่ำสุดที่ความถี่ 5.49 GHz



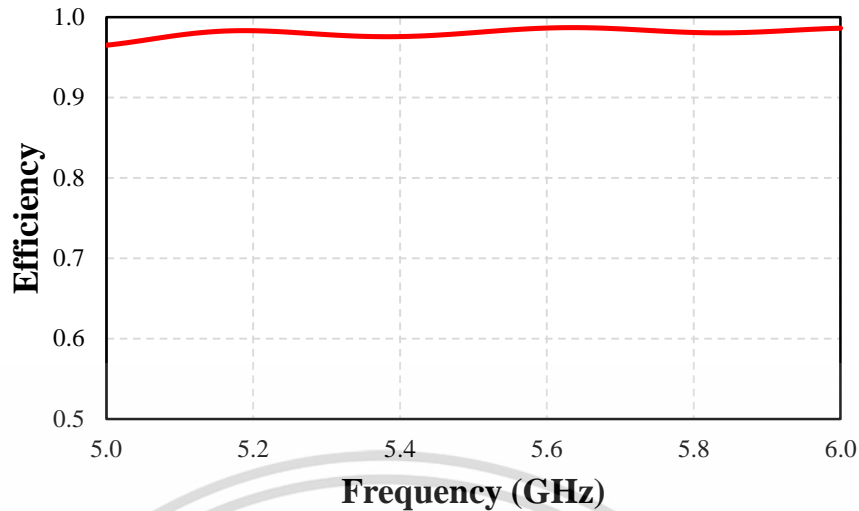
รูปที่ 4.9 ผลการจำลองอัตราส่วนแกนของสายอากาศโมโนโพลโพลาริซิงวงกลมแพร่กระจายคลื่นรอบทิศทาง (OCPA) ร่วมกับระนาบกราวด์ตัวนำแม่เหล็กประดิษฐ์แบบรูปวงแหวนเดี่ยว (SA-AMC)

จากรูปที่ 4.10 แสดงผลการจำลองอัตราขยายและรูปที่ 4.11 แสดงผลการจำลองประสิทธิภาพของสายอากาศโมโนโพลโพลาริซิงวงกลมแพร่กระจายคลื่นรอบทิศทาง (OCPA) ร่วมกับระนาบกราวด์ตัวนำแม่เหล็กประดิษฐ์แบบรูปวงแหวนเดี่ยว (SA-AMC) โดยผลการทดสอบของอัตราขยายสูงสุดมีค่าเท่ากับ 2.0 dBic ที่ความถี่ 5.52 GHz และประสิทธิภาพการแพร่กระจายคลื่นมีค่าสูงกว่า 95% ตลอดช่วงความถี่ใช้งาน (5.15 GHz – 5.875 GHz) ของความถี่กลาง 5.5 GHz



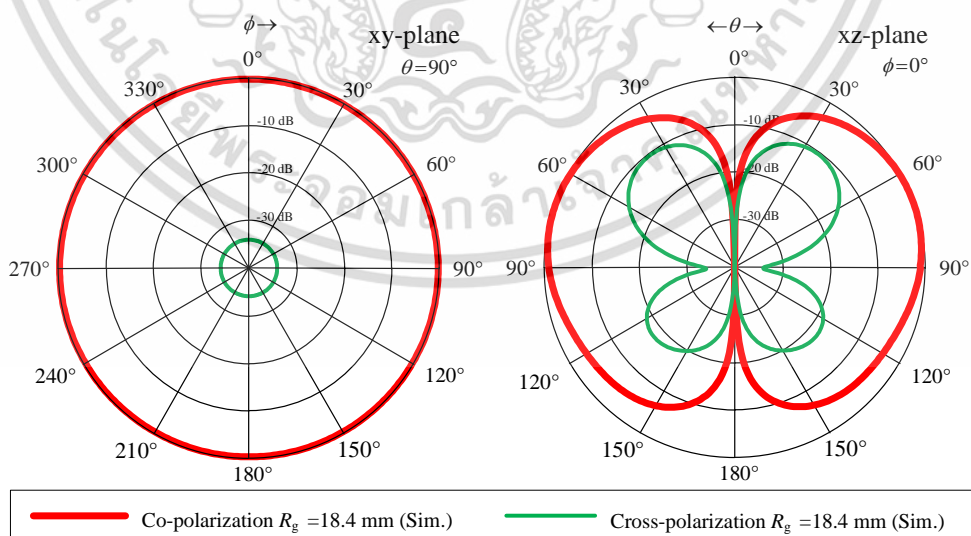
รูปที่ 4.10 ผลการจำลองอัตราขยายของสายอากาศโมโนโพลโพลาริซิงวงกลมแพร่กระจายคลื่นรอบทิศทาง (OCPA) ร่วมกับระนาบกราวด์ตัวนำแม่เหล็กประดิษฐ์แบบรูปวงแหวนเดี่ยว (SA-AMC)

เอกสารนี้เป็นเอกสารที่สงวนไว้สำหรับการใช้งานเพื่อการศึกษาเท่านั้น ไม่อนุญาตให้นำไปใช้ประโยชน์ด้านการค้า ไม่ว่าจะกรณีใดๆ ทั้งสิ้น อีกทั้งห้ามมิให้ดัดแปลงเนื้อหา และต้องอ้างอิงถึงเจ้าของเอกสารทุกครั้งที่มีการนำไปใช้



รูปที่ 4.11 ผลการจำลองประสิทธิภาพของสายอากาศโมโนโพลโพลาริซวงกลมแพร่กระจายคลื่นรอบทิศทาง (OCPA) ร่วมกับระนาบกราวด์ตัวนำแม่เหล็กประดิษฐ์แบบรูปร่างแหวนเดี่ยว (SA-AMC)

จากรูปที่ 4.12 แสดงผลการจำลองแบบรูปการแพร่กระจายคลื่นของสายอากาศโมโนโพลโพลาริซวงกลมแพร่กระจายคลื่นรอบทิศทาง (OCPA) ร่วมกับระนาบกราวด์ตัวนำแม่เหล็กประดิษฐ์แบบรูปร่างแหวนเดี่ยว (SA-AMC) ซึ่งกระทำโดยจำลองโพลาริซร่วม (Co-polarization) และโพลาริซไขว้ (Cross-polarization level) จากผลการจำลองแสดงให้เห็นว่าสายอากาศที่นำเสนอสามารถแพร่กระจายคลื่นแบบรอบทิศทางได้ ซึ่งสังเกตได้จากระนาบ xy -plane ที่เป็นเส้นรูปร่างกลม ในส่วนระนาบ xz -plane จะเห็นว่าสายอากาศแพร่กระจายคลื่นได้ดีในมุม $\theta = 90^\circ$ (รอบตัว) ซึ่งค่า XPL ต่ำกว่า -35 dB ทั้งระนาบ xy -plane และ xz -plane จากผลการจำลองที่ความถี่กลาง 5.5 GHz นั้นมีผลการจำลองที่ให้ผลที่ดีมากในการนำไปประยุกต์ใช้งานเครือข่ายท้องถิ่นไร้สาย (WLAN)

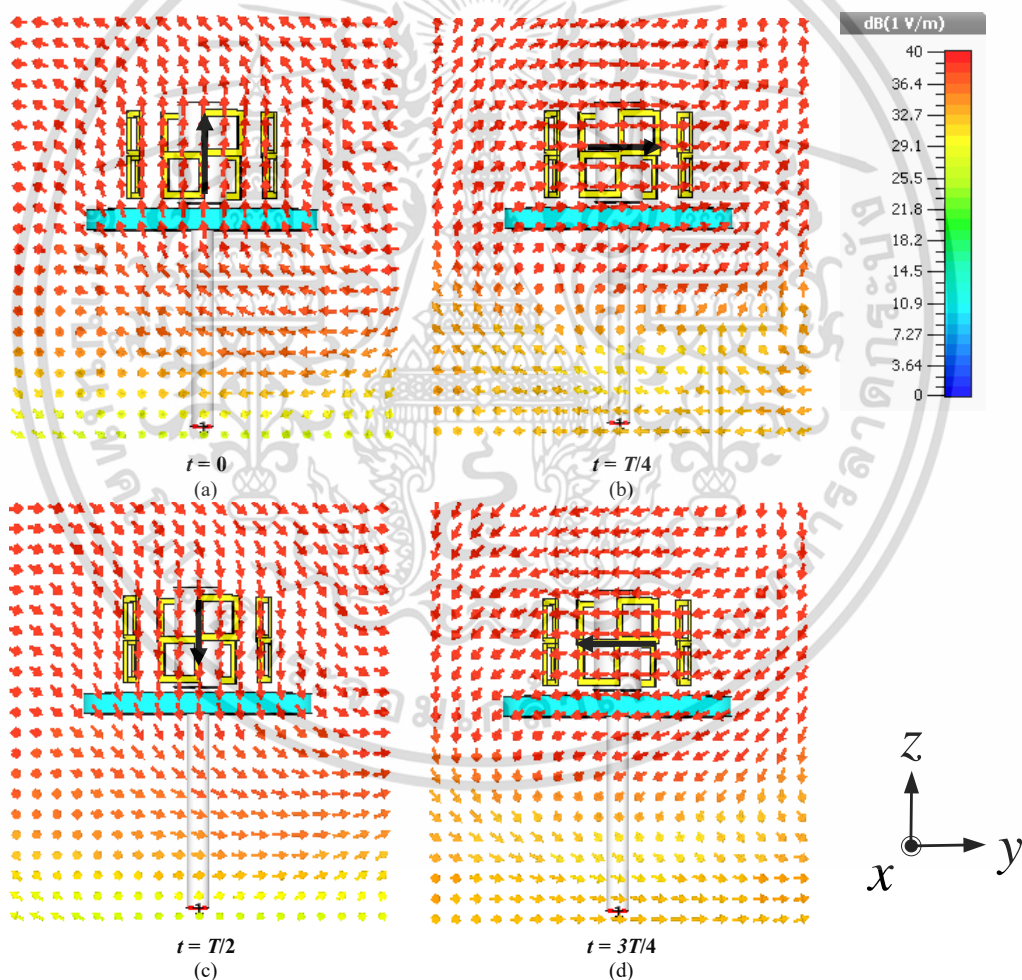


รูปที่ 4.12 ผลการจำลองแบบรูปการแพร่กระจายคลื่นของสายอากาศโมโนโพลโพลาริซวงกลมแพร่กระจายคลื่นรอบทิศทาง (OCPA) ร่วมกับระนาบกราวด์ตัวนำแม่เหล็กประดิษฐ์แบบรูปร่างแหวนเดี่ยว (SA-AMC) ที่ความถี่ 5.5 GHz

เอกสารนี้เป็นเอกสารที่สงวนไว้สำหรับการใช้ในเอกสารเท่านั้น ไม่ควรเผยแพร่ให้ผู้อื่นโดยไม่ได้รับอนุญาตให้นำไปใช้ประโยชน์ด้านการค้า ไม่ว่าจะกรณีใดๆ ทั้งสิ้น อีกทั้งห้ามมิให้ดัดแปลงเนื้อหา และต้องอ้างอิงถึงเจ้าของเอกสารทุกครั้งที่มีการนำไปใช้

ในการตรวจสอบผลกระทบของระนาบกราวด์ตัวนำแม่เหล็กประดิษฐ์ที่แตกต่างกันต่อคุณลักษณะของโพลาริซวงกลม จำเป็นต้องตรวจสอบการกระจายสนามไฟฟ้าในบริเวณใกล้สายอากาศ เพื่อดูปฏิกิริยาของสายอากาศโมโนโพลโพลาริซวงกลมแพร่กระจายคลื่นรอบทิศทาง (OCPA) ร่วมกับระนาบกราวด์ตัวนำแม่เหล็กประดิษฐ์ระนาบพื้น SA- (โครงสร้าง B) และ DA-AMC (โครงสร้าง C) และเป็นการตรวจสอบว่าสายอากาศสามารถแพร่กระจายคลื่นโพลาริซวงกลม

ในรูปที่ 4.13 แสดงสนามไฟฟ้าที่เวลาต่าง ๆ ของสายอากาศโมโนโพลโพลาริซวงกลมแพร่กระจายคลื่นรอบทิศทาง (OCPA) ร่วมกับระนาบกราวด์ตัวนำแม่เหล็กประดิษฐ์แบบรูปวงแหวนเดี่ยว (SA-AMC) โดยสังเกตทิศทางการหมุนของสนามไฟฟ้าสามารถศึกษาได้จากแอมพลิจูดสนามไฟฟ้า ทิศทางของสนามไฟฟ้า ทิศทางของกระแสเชิงพื้นผิว จากผลการจำลองกระแสเชิงพื้นผิวที่เวลา $t = 0$ $T/4$ $T/2$ และ $3T/4$ ที่ความถี่กลาง 5.5 GHz โดยพบว่าสนามไฟฟ้าเคลื่อนที่ไปในทิศทาง $+x$ และหมุนทวนเข็มนาฬิกา (Counterclockwise) ทำให้เกิดโพลาริซวงกลมด้านซ้าย (LHCP)

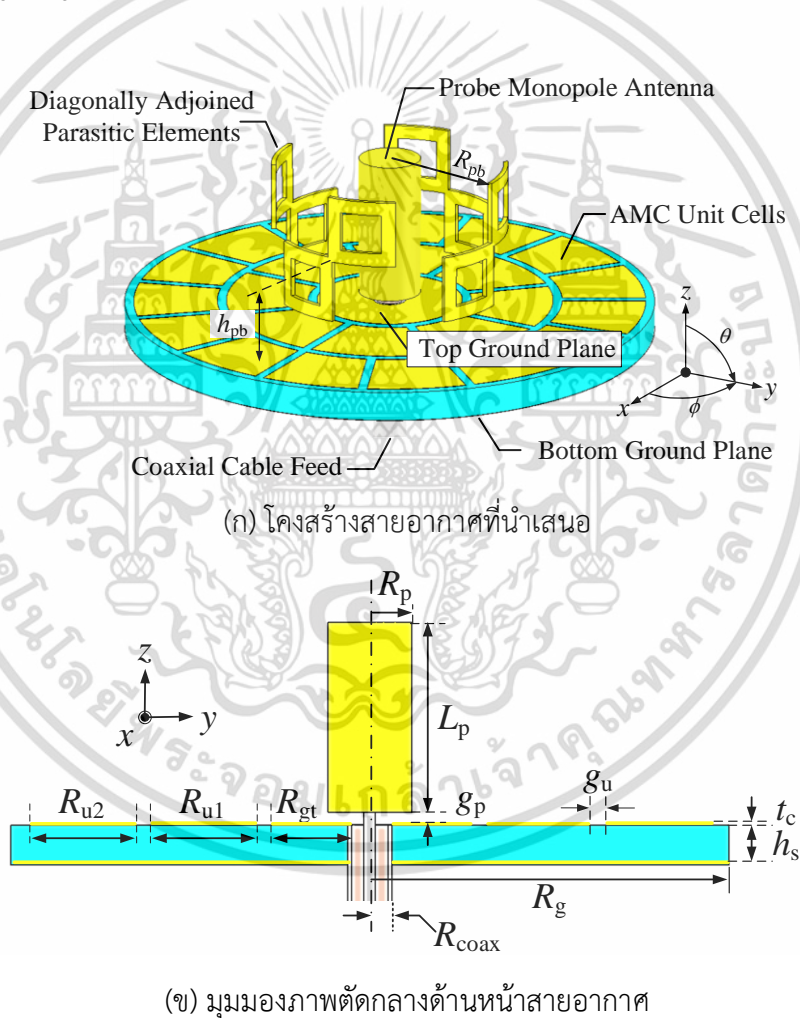


รูปที่ 4.13 กระแสเชิงพื้นผิวสายอากาศโมโนโพลโพลาริซวงกลมแพร่กระจายคลื่นรอบทิศทาง (OCPA) ร่วมกับระนาบกราวด์ตัวนำแม่เหล็กประดิษฐ์แบบรูปวงแหวนเดี่ยว (SA-AMC) ที่ความถี่ 5.5 GHz

เอกสารนี้เป็นเอกสารที่สงวนไว้สำหรับการใช้งานเพื่อการศึกษาเท่านั้น ไม่อนุญาตให้นำไปใช้ประโยชน์ด้านการค้า ไม่ว่ากรณีใดๆ ทั้งสิ้น อีกทั้งห้ามมิให้ดัดแปลงเนื้อหา และต้องอ้างอิงถึงเจ้าของเอกสารทุกครั้งที่มีการนำไปใช้

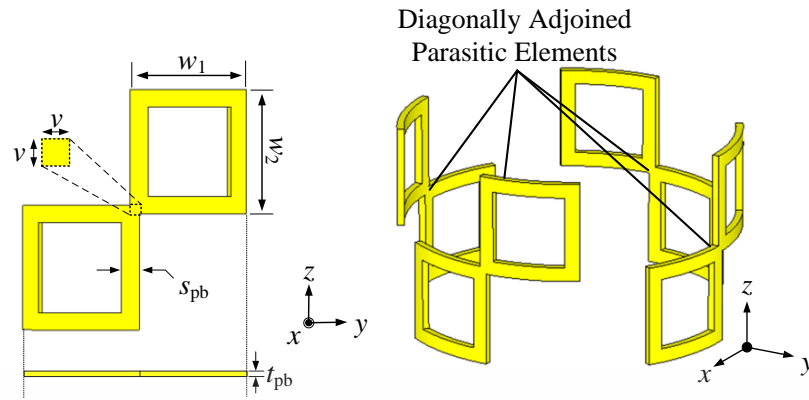
4.2.4 สายอากาศโมโนโพลโพลาริซวงกลมแพร์กระจายคลื่นรอบทิศทาง (OCPA) ร่วมกับระนาบกราวด์ตัวนำแม่เหล็กประดิษฐ์แบบรูปวงแหวนคู่ (DA-AMC)

จากรูปที่ 4.14 แสดงโครงสร้างสายอากาศโมโนโพลโพลาริซวงกลมแพร์กระจายคลื่นรอบทิศทาง (OCPA) ร่วมกับระนาบกราวด์ตัวนำแม่เหล็กประดิษฐ์แบบรูปวงแหวนคู่ (DA-AMC) หรือโครงสร้าง C โดยสายอากาศโครงสร้าง C นั้นจะใช้ระนาบกราวด์ตัวนำแม่เหล็กประดิษฐ์แบบรูปวงแหวนคู่ (DA-AMC) มาออกแบบร่วมกับสายอากาศโมโนโพลโพลาริซวงกลมแพร์กระจายคลื่นรอบทิศทาง (OCPA) ที่ได้ถูกออกแบบไว้ในบทที่ 3 ถูกสร้างขึ้นบนวัสดุฐานรองชนิด FR-4 รุ่น Chukoh CGP-500A จำนวน 1 ชั้น 2 หน้า (ชั้นบนและชั้นล่าง) โดยไม่มีช่องว่างอากาศระหว่างวัสดุฐานรอง ความหนาของวัสดุฐานรองคือ (h_s) ค่าคงที่ไดอิเล็กตริก (ϵ_r) และค่าการสูญเสียแทนเจนต์ ($\tan \delta$) เท่ากับ 4.3 และ 0.0025 ตามลำดับ โดยขนาดของสายอากาศเท่ากับ $58.4 \text{ mm} \times 58.4 \text{ mm} \times 21.5 \text{ mm}$ ($R_g \times R_g \times H_t$)



รูปที่ 4.14 โครงสร้างสายอากาศโมโนโพลโพลาริซวงกลมแพร์กระจายคลื่นรอบทิศทาง (OCPA) ร่วมกับระนาบกราวด์ตัวนำแม่เหล็กประดิษฐ์แบบรูปวงแหวนคู่ (DA-AMC) ที่นำเสนอ

เอกสารนี้เป็นเอกสารที่สงวนไว้สำหรับการใช้งานเพื่อการศึกษาเท่านั้น ไม่อนุญาตให้นำไปใช้ประโยชน์ด้านการค้า ไม่ว่ากรณีใดๆ ทั้งสิ้น อีกทั้งห้ามมิให้ดัดแปลงเนื้อหา และต้องอ้างอิงถึงเจ้าของเอกสารทุกครั้งที่มีการนำไปใช้



(ค) มุมมองด้านหน้าและการวางพาราซิติกสี่เหลี่ยม

รูปที่ 4.14 โครงสร้างสายอากาศโมโนโพลโพลาริซวงกลมแพร่กระจายคลื่นรอบทิศทาง (OCPA) ร่วมกับระนาบกราวด์ตัวนำแม่เหล็กประดิษฐ์แบบรูปวงแหวนคู่ (DA-AMC) ที่นำเสนอ (ต่อ)

สายอากาศโมโนโพลโพลาริซวงกลมแพร่กระจายคลื่นรอบทิศทาง (OCPA) ร่วมกับระนาบกราวด์ตัวนำแม่เหล็กประดิษฐ์แบบรูปวงแหวนคู่ (DA-AMC) ที่นำเสนอ นั้นประกอบไปด้วยกราวด์ตัวนำแม่เหล็กประดิษฐ์แบบรูปวงแหวนคู่เดี่ยวที่มีองค์ประกอบหน่วยเซลล์จำนวน 8 หน่วย สายอากาศโมโนโพล และพาราซิติกสี่เหลี่ยมที่เชื่อมต่อกันในแนวทแยงจำนวน 4 องค์ประกอบ ซึ่งทำการจัดเรียงให้สอดคล้องกันที่มุม 0° 90° 180° และ 270° ซึ่งในตารางที่ 4.4 ได้แสดงการกำหนดพารามิเตอร์และขนาดที่เหมาะสมของสายอากาศโมโนโพลโพลาริซวงกลมแพร่กระจายคลื่นรอบทิศทาง (OCPA) ร่วมกับระนาบกราวด์ตัวนำแม่เหล็กประดิษฐ์แบบรูปวงแหวนคู่ (DA-AMC) ที่นำเสนอ

ตารางที่ 4.4 พารามิเตอร์และขนาดของสายอากาศโมโนโพลโพลาริซวงกลมแพร่กระจายคลื่นรอบทิศทาง (OCPA) ร่วมกับระนาบกราวด์ตัวนำแม่เหล็กประดิษฐ์แบบรูปวงแหวนคู่ (DA-AMC)

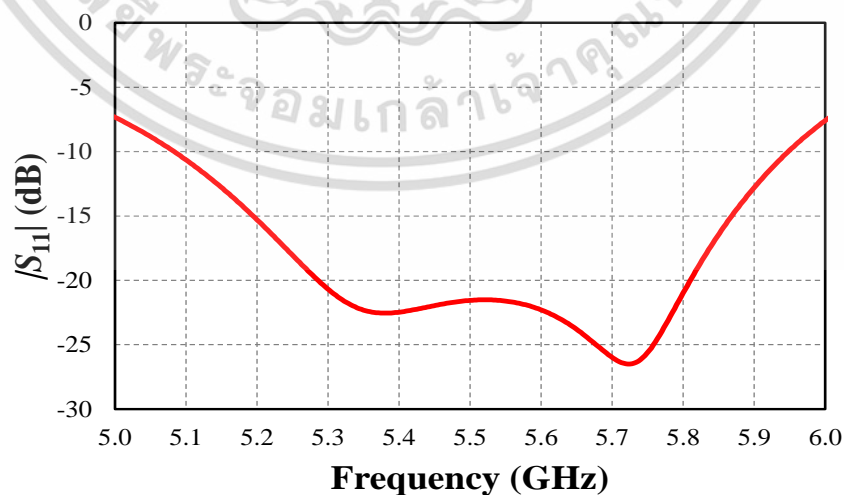
พารามิเตอร์	ขนาด (mm)	ขนาดทางไฟฟ้า (m)	หมายเหตุ
L_p	15.50	$0.284 \lambda_c$	ความสูงโพรบโมโนโพล
R_p	3.40	$0.062 \lambda_c$	รัศมีโพรบโมโนโพล
g_p	1.00	$0.018 \lambda_c$	ช่องว่างโพรบโมโนโพลกับระนาบกราวด์ AMC
w_1	7.40	$0.135 \lambda_c$	ความกว้างพาราซิติก
w_2	7.40	$0.135 \lambda_c$	ความยาวพาราซิติก
s_{pb}	1.50	$0.027 \lambda_c$	ความกว้างวงขอบพาราซิติก
v	0.50	$0.0092 \lambda_c$	ขนาดกว้าง \times ยาว ของจุดเชื่อมต่อพาราซิติก
R_{pb}	12.50	$0.229 \lambda_c$	รัศมีพาราซิติก

เอกสารนี้เป็นเอกสารที่สงวนไว้สำหรับการใช้งานเพื่อการศึกษาเท่านั้น ไม่อนุญาตให้นำไปใช้ประโยชน์ด้านการค้า ไม่ว่าจะกรณีใดๆ ทั้งสิ้น อีกทั้งห้ามมิให้ดัดแปลงเนื้อหา และต้องอ้างอิงถึงเจ้าของเอกสารทุกครั้งที่มีการนำไปใช้

พารามิเตอร์	ขนาด (mm)	ขนาดทางไฟฟ้า (m)	หมายเหตุ
h_{pb}	11.50	$0.211 \lambda_c$	ความสูงจากกึ่งกลางพาราซิติคถึงระนาบกราวด์ AMC
t_{pb}	0.50	$0.0092 \lambda_c$	ความหนาพาราซิติค
R_{u1}	9.00	$0.165 \lambda_c$	รัศมีหน่วยเซลล์วงใน
R_{u2}	9.20	$0.168 \lambda_c$	รัศมีหน่วยเซลล์วงนอก
R_{gt}	8.00	$0.146 \lambda_c$	รัศมีกราวด์บน
g_u	1.00	$0.018 \lambda_c$	ช่องว่างหน่วยเซลล์
R_g	29.20	$0.535 \lambda_c$	รัศมีกราวด์ล่าง
h_s	3.20	$0.058 \lambda_c$	ความสูงวัสดุฐานรอง
t_c	0.018	$0.0003 \lambda_c$	ความหนาทองแดงวัสดุฐานรอง
R_{coax}	1.80	$0.0003 \lambda_c$	รัศมีสายนำสัญญาณโคแอกเซียล

*หมายเหตุ λ_c คือ ความยาวคลื่นในสภาวะอากาศว่างที่ความถี่กลาง 5.5 GHz

จากรูปที่ 4.15 แสดงผลการจำลอง $|S_{11}|$ ของสายอากาศโมโนโพลโพลาริซวงกลมแพร์กระจายคลื่นรอบทิศทาง (OCPA) ร่วมกับระนาบกราวด์ตัวนำแม่เหล็กประดิษฐ์แบบรูปวงแหวนคู่ (DA-AMC) โดยผลการจำลองของ $|S_{11}| \leq -10$ dB มีช่วงความถี่ครอบคลุมความถี่ตั้งแต่ 5.08 GHz – 5.95 GHz คิดเป็น 15.77% ของความถี่กลาง 5.5 GHz สามารถครอบคลุมย่านความถี่ใช้งานในระบบสื่อสารเครือข่ายท้องถิ่นไร้สาย (WLAN)

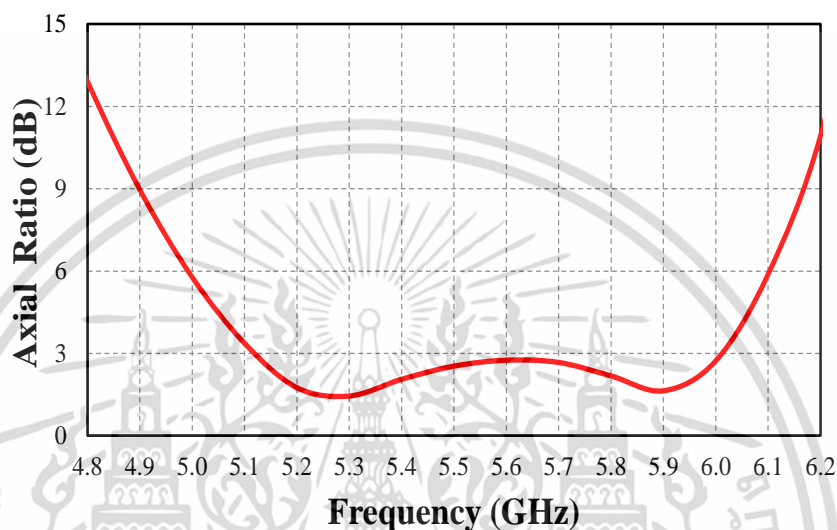


รูปที่ 4.15 ผลการจำลอง $|S_{11}|$ ของสายอากาศโมโนโพลโพลาริซวงกลมแพร์กระจายคลื่นรอบทิศทาง (OCPA) ร่วมกับระนาบกราวด์ตัวนำแม่เหล็กประดิษฐ์แบบรูปวงแหวนคู่ (DA-AMC)

เอกสารนี้เป็นเอกสารที่สงวนลิขสิทธิ์ไว้เพื่อใช้ในการศึกษาเท่านั้น ขอสงวนสิทธิ์ในประการต่าง ๆ

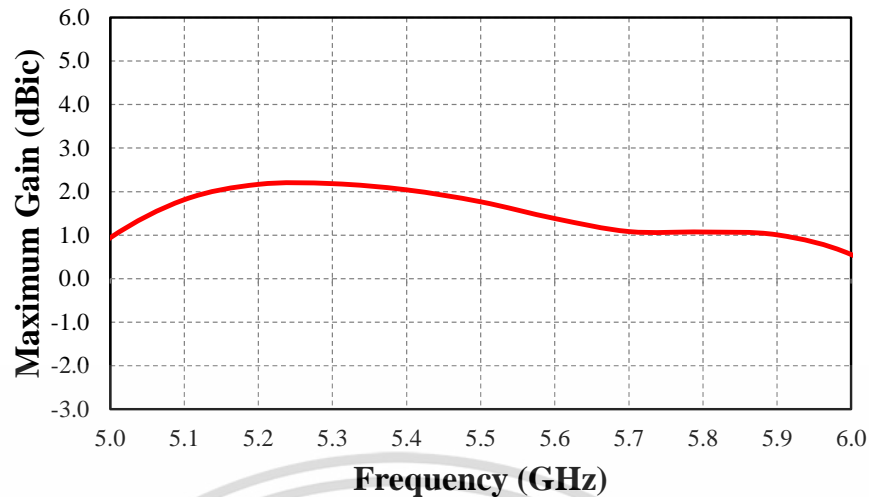
ไม่ว่ากรณีใดๆ ทั้งสิ้น อีกทั้งห้ามมิให้ดัดแปลงเนื้อหา และต้องอ้างอิงถึงเจ้าของเอกสารทุกครั้งที่มีการนำไปใช้

จากรูปที่ 4.16 แสดงผลการจำลองอัตราส่วนแกน (Axial ratio : AR) ของสายอากาศโมโนโพลโพลาริซวงกลมแพร่กระจายคลื่นรอบทิศทาง (OCPA) ร่วมกับระนาบกราวด์ตัวนำแม่เหล็กประดิษฐ์แบบรูปวงแหวนคู่ (DA-AMC) โดยผลการจำลองของอัตราส่วนแกน ($AR \leq 3$ dB) มีช่วงความถี่ครอบคลุม 5.12 GHz – 6.01 GHz คิดเป็น 15.99% ของความถี่กลาง 5.5 GHz และพบว่าผลการจำลองมีค่าอัตราส่วนแกนต่ำสุดที่ความถี่ 5.25 GHz ซึ่งสามารถแพร่กระจายคลื่นโพลาริซวงกลมครอบคลุมย่านความถี่ใช้งานในระบบสื่อสารเครือข่ายท้องถิ่นไร้สาย (WLAN) ได้

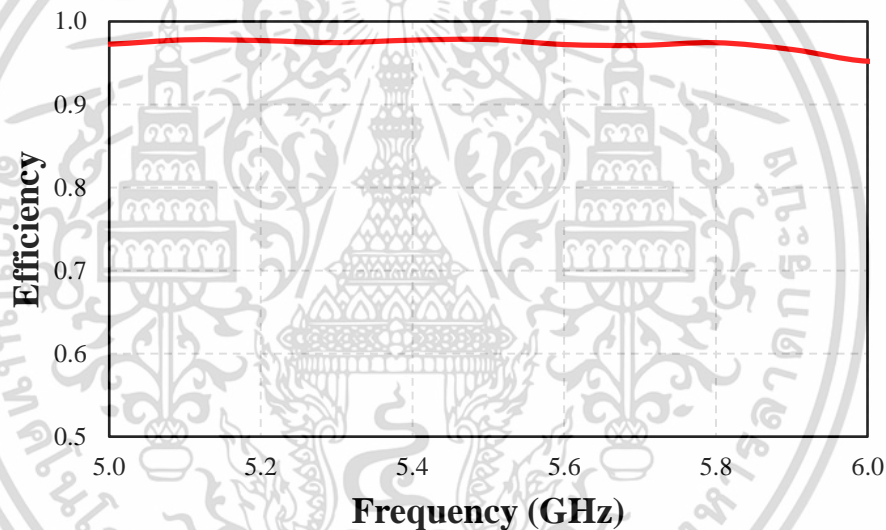


รูปที่ 4.16 ผลการจำลองอัตราส่วนแกนของสายอากาศโมโนโพลโพลาริซวงกลมแพร่กระจายคลื่นรอบทิศทาง (OCPA) ร่วมกับระนาบกราวด์ตัวนำแม่เหล็กประดิษฐ์แบบรูปวงแหวนคู่ (DA-AMC)

จากรูปที่ 4.17 แสดงผลการจำลองอัตราขยายและรูปที่ 4.18 แสดงผลการจำลองประสิทธิภาพของสายอากาศโมโนโพลโพลาริซวงกลมแพร่กระจายคลื่นรอบทิศทาง (OCPA) ร่วมกับระนาบกราวด์ตัวนำแม่เหล็กประดิษฐ์แบบรูปวงแหวนเดี่ยว (DA-AMC) โดยผลการจำลองของอัตราขยายสูงสุดมีค่าเท่ากับ 2.18 dBic ที่ความถี่ 5.25 GHz อัตราขยายแบนด์วิดท์ในทิศทางตั้งฉากมีค่าสูงกว่า 17.0% ที่ช่วงความถี่ 5.0 GHz – 5.92 GHz และประสิทธิภาพการแพร่กระจายคลื่นมีค่าสูงกว่า 95% ที่ช่วงความถี่ใช้งาน (5.15 GHz – 5.875 GHz) ของความถี่กลาง 5.5 GHz

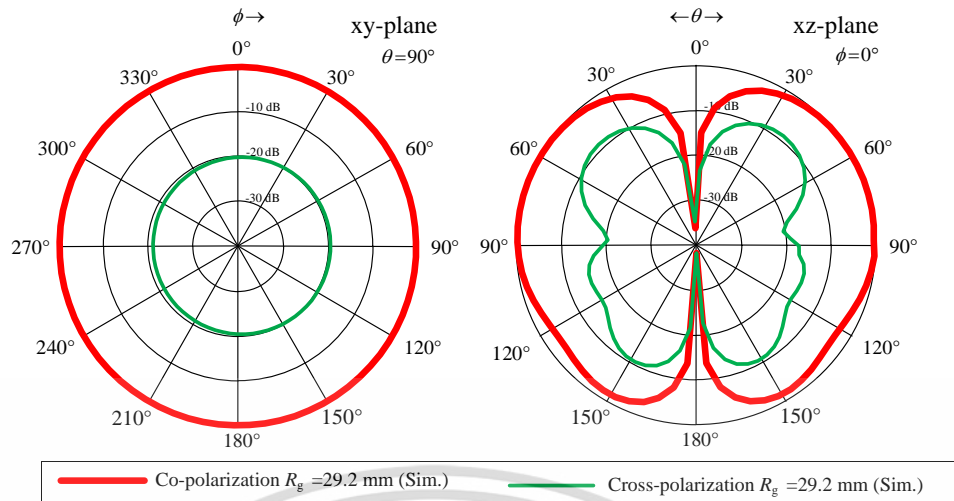


รูปที่ 4.17 ผลการจำลองอัตราขยายของสายอากาศโมโนโพลโพลาริซิงวงกลมแพร่กระจายคลื่นรอบทิศทาง (OCPA) ร่วมกับระนาบกราวด์ตัวนำแม่เหล็กประดิษฐ์แบบรูปวงแหวนคู่ (DA-AMC)



รูปที่ 4.18 ผลการจำลองประสิทธิภาพของสายอากาศโมโนโพลโพลาริซิงวงกลมแพร่กระจายคลื่นรอบทิศทาง (OCPA) ร่วมกับระนาบกราวด์ตัวนำแม่เหล็กประดิษฐ์แบบรูปวงแหวนคู่ (DA-AMC)

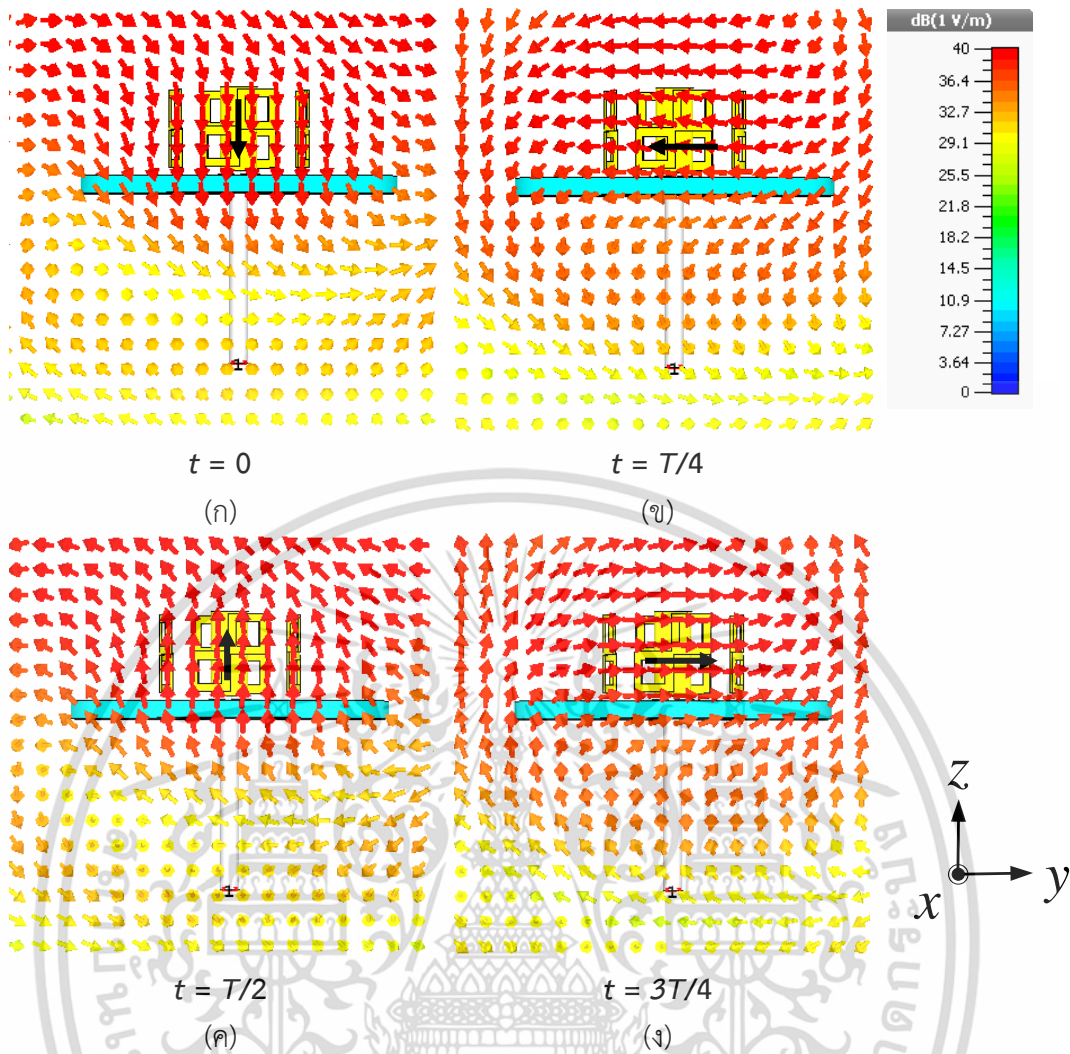
จากรูปที่ 4.19 แสดงผลการจำลองแบบรูปการแพร่กระจายคลื่นของสายอากาศโมโนโพลโพลาริซิงวงกลมแพร่กระจายคลื่นรอบทิศทาง (OCPA) ร่วมกับระนาบกราวด์ตัวนำแม่เหล็กประดิษฐ์แบบรูปวงแหวนคู่ (DA-AMC) ซึ่งกระทำโดยการทดสอบโพลาริซิงร่วม (Co-polarization) และโพลาริซิงไขว้ (Cross-polarization level) จากผลการจำลองแสดงให้เห็นว่าสายอากาศที่นำเสนอสามารถแพร่กระจายคลื่นแบบรอบทิศทาง ซึ่งสังเกตได้จากระนาบ xy-plane เป็นรูปวงกลม ในส่วนระนาบ xz-plane จะเห็นว่าสายอากาศแพร่กระจายคลื่นได้ดีในมุม $\theta = 90^\circ$ (รอบตัว) ซึ่งค่า XPL ต่ำกว่า -20 dB ทั้งระนาบ xy-plane และ xz-plane จากผลการจำลองที่ความถี่กลาง 5.5 GHz นั้นสายอากาศประยุกต์ใช้งานเครือข่ายท้องถิ่นไร้สาย (WLAN)



รูปที่ 4.19 ผลการจำลองแบบรูปการแพร่กระจายคลื่นของสายอากาศโมโนโพลโพลาไรซ์วงกลม แพร่กระจายคลื่นรอบทิศทาง (OCPA) ร่วมกับระนาบกราวนด์ตัวนำแม่เหล็กประดิษฐ์แบบรูปวงแหวน คู่ (DA-AMC) ที่ความถี่ 5.5 GHz

ในรูปที่ 4.20 แสดงสนามไฟฟ้าที่เวลาต่าง ๆ ของสายอากาศโมโนโพลโพลาไรซ์วงกลม แพร่กระจายคลื่นรอบทิศทาง (OCPA) ร่วมกับระนาบกราวนด์ตัวนำแม่เหล็กประดิษฐ์แบบรูปวงแหวน คู่ (DA-AMC) โดยสังเกตทิศทางการหมุนของสนามไฟฟ้าสามารถศึกษาได้จากแอมพลิจูดสนามไฟฟ้า ทิศทางของกระแสเชิงพื้นผิว จากผลการจำลองกระแสเชิงพื้นผิวที่เวลา $t = 0$, $T/4$, $T/2$ และ $3T/4$ ที่ความถี่กลาง 5.5 GHz โดยพบว่าสนามไฟฟ้าเคลื่อนที่ไปในทิศทาง $+x$ และ หมุนทวนเข็มนาฬิกา (Counterclockwise) ทำให้เกิดโพลาไรซ์วงกลมด้านซ้าย (LHCP)

ดังแสดงในรูป 4.13 และ 4.20 สนามไฟฟ้ารอบระนาบกราวนด์ตัวนำแม่เหล็กประดิษฐ์ SA- และ DA-AMC เป็นองค์ประกอบแนวตั้งเมื่อ $(t = 0$ และ $t = T/2)$ และองค์ประกอบแนวนอน เมื่อ $(t = T/4$ และ $t = 3T/4)$ ส่งผลให้เกิดการหมุนทวนเข็มนาฬิกาเกิดโพลาไรซ์แบบวงกลมหมุนซ้าย (LHCP) โดยพื้นฐานแล้วระนาบกราวนด์ตัวนำแม่เหล็กประดิษฐ์ของ SA- และ DA-AMC ช่วยเพิ่มแบนด์วิดท์ของอัตราส่วนแกน ส่งผลให้มีการแพร่กระจายคลื่นแบบรอบตัวโพลาไรซ์วงกลมที่แบนด์วิดท์กว้างขึ้น จากการสังเกตสนามไฟฟ้าของโครงสร้าง B และ C เกิดการแพร่กระจายคลื่นแบบรอบตัวโพลาไรซ์วงกลมที่กว้างขึ้นอาจเกิดจากสนามไฟฟ้าแนวนอนบนพื้นผิวของระนาบกราวนด์ตัวนำแม่เหล็กประดิษฐ์ โดยเฉพาะอย่างยิ่งเฟสการสะท้อนแบนด์วิดท์ของโครงสร้างระนาบกราวนด์ตัวนำแม่เหล็กประดิษฐ์แบบรูปวงแหวนคู่ (DA-AMC) นั้นกว้างกว่าระนาบกราวนด์ตัวนำแม่เหล็กประดิษฐ์แบบรูปวงแหวนเดี่ยว (SA-AMC) ส่งผลให้แบนด์วิดท์ของอัตราส่วนแกนกว้างขึ้นและการแพร่กระจายคลื่นแบบรอบตัวโพลาไรซ์วงกลมที่กว้างขึ้น อย่างไรก็ตาม ในกรณีที่ไม่มีโครงสร้างระนาบกราวนด์ตัวนำแม่เหล็กประดิษฐ์แบบ SA-AMC หรือ DA-AMC (เช่น โครงสร้าง A) จะมีเพียงสนามไฟฟ้าแนวตั้งบนระนาบกราวนด์ของตัวนำ ทำให้เกิดโพลาไรซ์แบบวงกลมที่มีแบนด์วิดท์แคบ และเกิดการลดทอนประสิทธิภาพของอัตราส่วนแกน

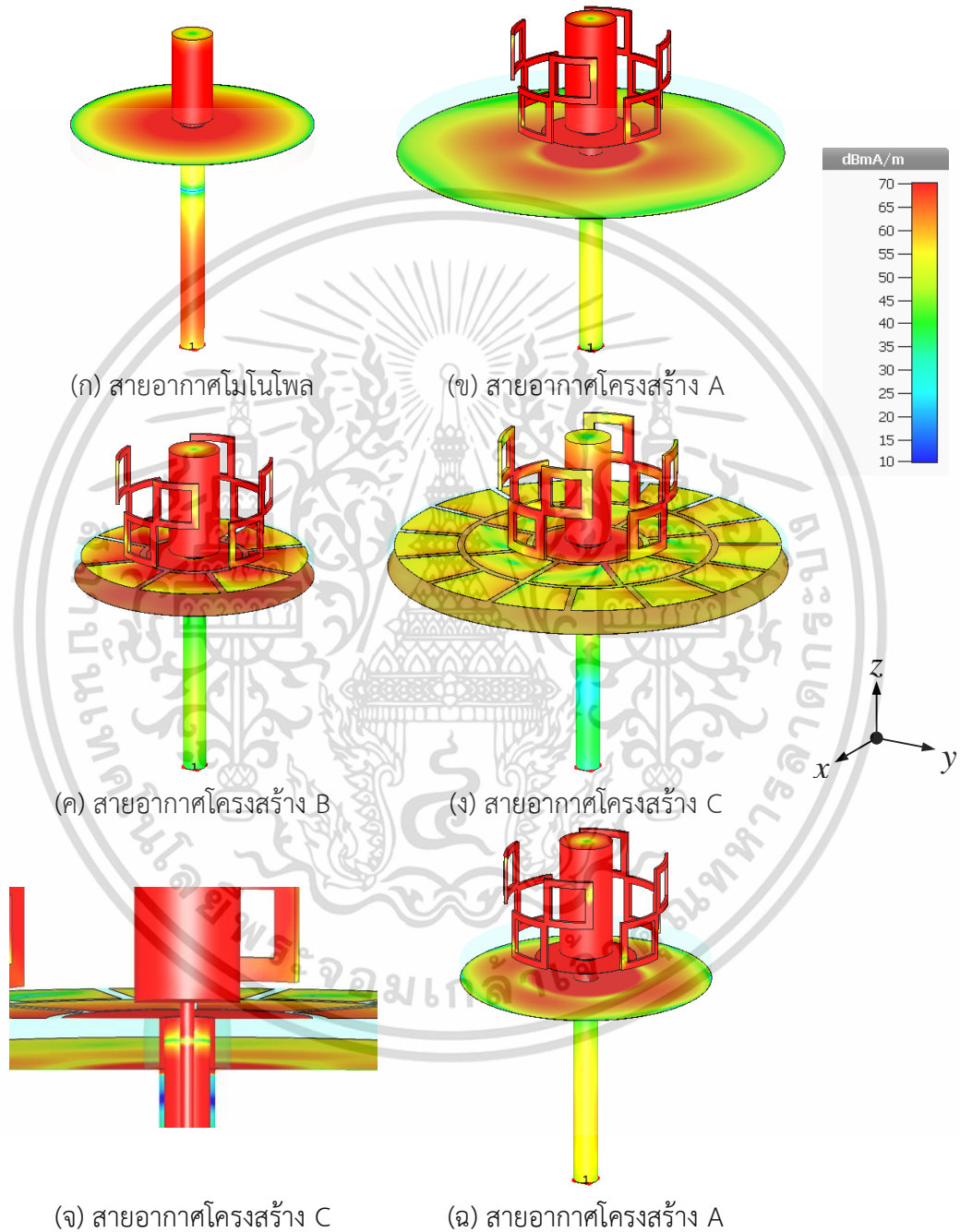


รูปที่ 4.20 กระแสเชิงพื้นผิวของสายอากาศโมโนโพลโพลาริซิงกลมแพร่กระจายคลื่นรอบทิศทาง (OCPA) ร่วมกับระนาบกราวด์ตัวนำแม่เหล็กประดิษฐ์แบบรูวงแหวนคู่ (DA-AMC) ที่ความถี่ 5.5 GHz

รูปที่ 4.21(ก)-(ง) แสดงการกระจายกระแสเชิงพื้นผิวที่ความถี่ 5.5 GHz ของสายอากาศโมโนโพลโพลาริซิงกลมแพร่กระจายคลื่นรอบทิศทาง (OCPA) แบบทั่วไป (โครงสร้าง A) เปรียบเทียบกับสายอากาศโมโนโพลโพลาริซิงกลมแพร่กระจายคลื่นรอบทิศทางที่มีระนาบกราวด์ตัวนำแม่เหล็กประดิษฐ์แบบ SA-AMC (โครงสร้าง B) และสายอากาศโมโนโพลโพลาริซิงกลมแพร่กระจายคลื่นรอบทิศทางที่มีระนาบกราวด์ตัวนำแม่เหล็กประดิษฐ์แบบ DA-AMC (โครงสร้าง C) ในขณะเดียวกันรูปที่ 4.21(จ) และ (ฉ) แสดงการกระจายกระแสเชิงพื้นผิวระหว่างระนาบกราวด์บนและล่างของโครงสร้าง C และการกระจายกระแสเชิงพื้นผิวของโครงสร้าง A ที่กำหนด $R_g = 18.4$ mm (เพื่อเปรียบเทียบกับโครงสร้าง B ในรูปที่ 4.21(ค))

ในรูปที่ 4.21(ก) เมื่อสังเกตที่สายนำสัญญาณโคแอกเซียลจะเกิดกระแสไฟรั่วที่มีความเข้มข้นสูง (สีแดง) สามารถมองเห็นได้บนสายป้อนโคแอกเซียล ระนาบกราวด์ และโพรบแบบโมโนโพล (กำหนด $R_g = 18$ mm ($0.33 \lambda_c$)) ส่งผลให้อิมพีแดนซ์ไม่แมตชิงและไม่สามารถแพร่กระจายคลื่นแบบรอบเอกสารนี้เป็นเอกสารที่สงวนไว้สำหรับการใช้งานเพื่อการศึกษาเท่านั้น ไม่อนุญาตให้นำไปใช้ประโยชน์ด้านการค้า ไม่ว่ากรณีใดๆ ทั้งสิ้น อีกทั้งห้ามมิให้ดัดแปลงเนื้อหา และต้องอ้างอิงถึงเจ้าของเอกสารทุกครั้งที่มีการนำไปใช้

ทิศทางได้ดังแสดงในรูปที่ 4.21(ข) (โครงสร้าง A) และเมื่อนำสายอากาศโมโนโพลโพลาไรซ์วงกลมแพร่กระจายคลื่นรอบทิศทางที่มีระนาบกราวด์ตัวนำแม่เหล็กประดิษฐ์แบบ DA- AMC กำหนดให้ $R_g = 29.2 \text{ mm}$ ($0.54 \lambda_c$) กระแสไฟรั่วบนสายป้อนโคแอกเซียลจะลดลงอย่างมากเมื่อเปรียบเทียบกับสายอากาศโมโนโพลแบบทั่วไป



รูปที่ 4.21 กระแสเชิงพื้นผิวสายอากาศโครงสร้าง A B และ C

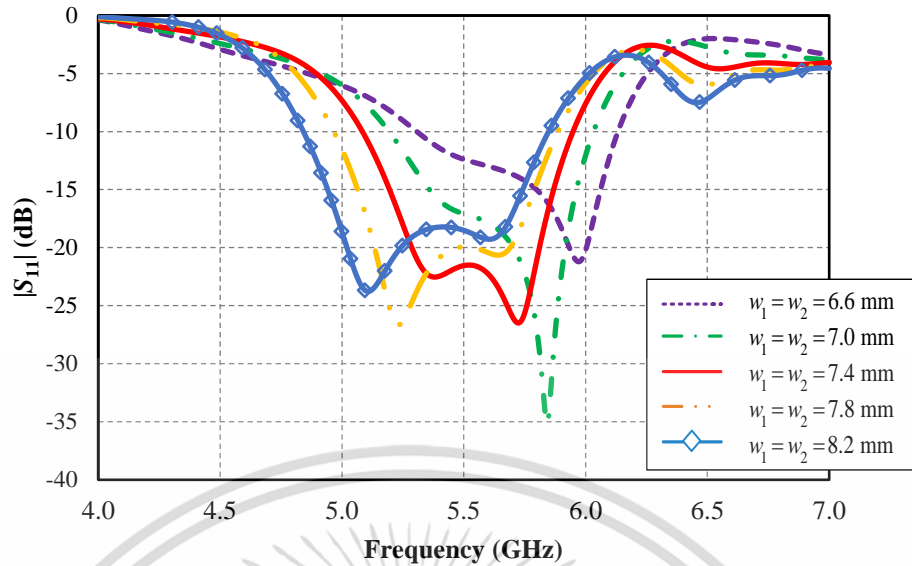
เอกสารนี้เป็นเอกสารที่สงวนไว้สำหรับการใช้งานเพื่อการศึกษาเท่านั้น ไม่อนุญาตให้นำไปใช้ประโยชน์ด้านการค้า ไม่ว่ากรณีใดๆ ทั้งสิ้น อีกทั้งห้ามมิให้ดัดแปลงเนื้อหา และต้องอ้างอิงถึงเจ้าของเอกสารทุกครั้งที่มีการนำไปใช้

4.3 การศึกษาพารามิเตอร์

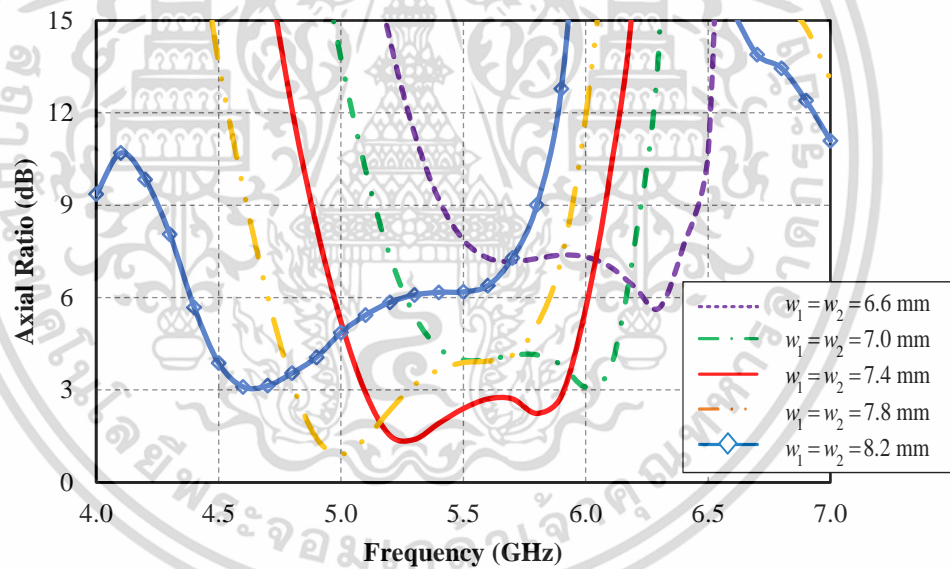
ในส่วนนี้จะทำการศึกษาผลการเปลี่ยนแปลงของพารามิเตอร์ที่เกี่ยวข้องสายอากาศโมโนโพล โพลาริซวงกลมแพร่กระจายคลื่นรอบทิศทาง (OCPA) ร่วมกับระนาบกราวด์ตัวนำแม่เหล็กประดิษฐ์แบบรูปร่างแหวนคู่ (DA-AMC) เป็นตัวหลัก เนื่องจากผลกระทบที่เกิดขึ้นกับโครงสร้างสายอากาศโมโนโพลโพลาริซวงกลมแพร่กระจายคลื่นรอบทิศทาง (OCPA) ร่วมกับระนาบกราวด์ตัวนำแม่เหล็กประดิษฐ์แบบรูปร่างแหวนเดี่ยว (SA-AMC) นั้นจะมีผลกระทบคล้ายกัน เพราะมีโครงสร้างที่ถูกพัฒนาด้วยหลักการและเทคนิคเดียวกัน โดยพารามิเตอร์ที่ทำการศึกษานั้นได้แก่ ความกว้าง×ยาว ของพาราซิติกสี่เหลี่ยม w_1 และ w_2 รัศมีโพรบของโมโนโพล R_p ความสูงของโพรบ L_p รัศมีพาราซิติก R_{pb} ความสูงจากกึ่งกลางพาราซิติกถึงระนาบกราวด์ตัวนำแม่เหล็กประดิษฐ์ h_{pb} ความกว้างวงขอบพาราซิติก s_{pb} รัศมีกราวด์บน R_{gt} และรัศมีกราวด์ล่าง R_g ซึ่งเป็นพารามิเตอร์ที่สำคัญในการออกแบบของสายอากาศที่นำเสนอนี้ จึงจะถูกวิเคราะห์อย่างละเอียดเพิ่มเติมจากพารามิเตอร์อื่น ๆ ซึ่งจะถูกละทิ้งไปในช่วงท้ายในบทนี้

4.3.1 พาราซิติกสี่เหลี่ยม w_1 และ w_2 (กว้าง × ยาว)

รูปที่ 4.22(ก)-(ข) แสดงผลการจำลอง $|S_{11}|$ และอัตราส่วนแอมพลิจูด (AR) ของสายอากาศโมโนโพลโพลาริซวงกลมแพร่กระจายคลื่นรอบทิศทาง (OCPA) ร่วมกับระนาบกราวด์ตัวนำแม่เหล็กประดิษฐ์แบบรูปร่างแหวนคู่ (DA-AMC) ที่มีขนาดพารามิเตอร์ w_1 และ w_2 เท่ากัน พารามิเตอร์ที่ทำการปรับคือความ กว้าง × ยาว ของพาราซิติกสี่เหลี่ยมที่เชื่อมต่อกันในแนวทแยง โดยทำการปรับขนาด w_1 และ w_2 ระหว่าง 6.6 ถึง 8.2 mm พบว่า เมื่อ w_1 และ $w_2 = 6.6$ มม. พีแอดแอมพลิจูด (AR) คือ 5.35 – 6.15 GHz ครอบคลุมย่านความถี่สูง (5.80 GHz) แต่ไม่ครอบคลุมย่านความถี่ต่ำ (5.15 GHz) เช่นเดียวกับผลการจำลองค่าอัตราส่วนแอมพลิจูดนั้นมีค่ามากกว่า 3dB (AR > 3 dB) สำหรับทั้งย่านความถี่ใช้งาน จากนั้นทำการปรับ w_1 และ $w_2 = 7.0$ ถึง 8.2 mm พิจารณาทั้ง $|S_{11}|$ และอัตราส่วนแอมพลิจูดจึงสรุปได้ว่า เมื่อทำการขยายขนาดความกว้างวงขอบพาราซิติกสี่เหลี่ยมที่เชื่อมต่อกันในแนวทแยงให้มีขนาดใหญ่มากขึ้นจะทำให้ $|S_{11}|$ และอัตราส่วนแอมพลิจูดเลื่อนความถี่ไปยังขอบด้านต่ำ ซึ่งค่าที่เหมาะสมคือ w_1 และ $w_2 = 7.4$ mm เนื่องจากครอบคลุมย่านความถี่ใช้งานตั้งแต่ 5.15 – 5.875 GHz



(ก) ค่าสัมประสิทธิ์การสะท้อน

รูปที่ 4.22 ผลการจำลองปรับขนาดพารามิเตอร์ w_1 และ w_2 ของพาราซิติกสี่เหลี่ยม

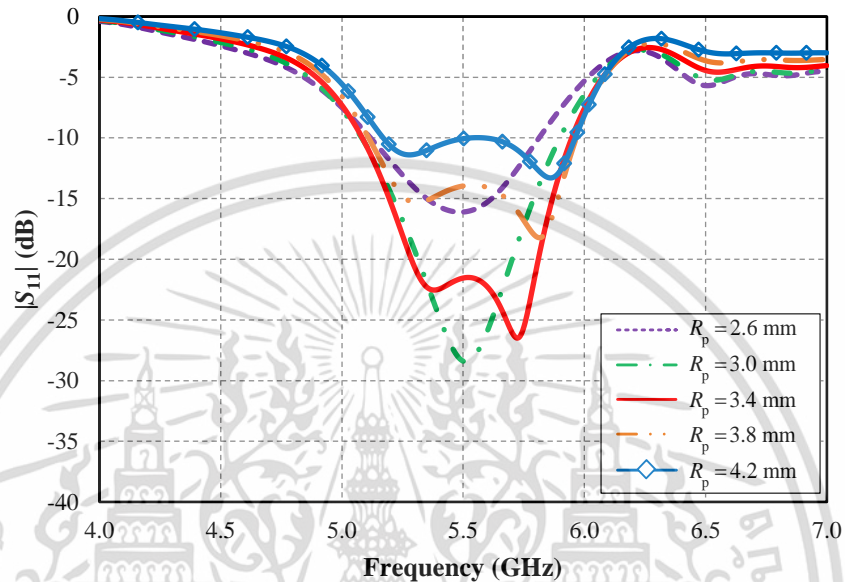
(ข) ค่าอัตราส่วนแกน

รูปที่ 4.22 ผลการจำลองปรับขนาดพารามิเตอร์ w_1 และ w_2 ของพาราซิติกสี่เหลี่ยม (ต่อ)

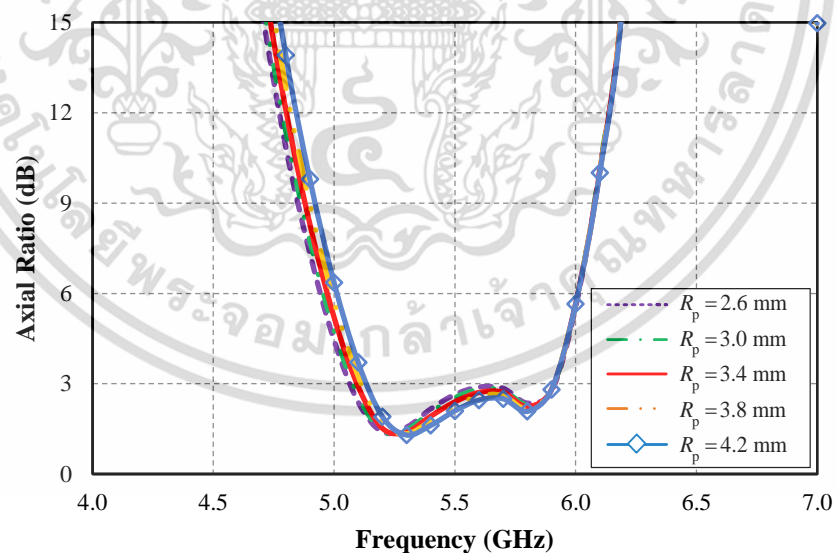
4.3.2 รัศมีโพรบโมโนโพล R_p

รูปที่ 4.23(ก)-(ข) แสดงผลการจำลอง $|S_{11}|$ และอัตราส่วนแกน (AR) ของสายอากาศโมโนโพลโพลารไรซ์วงกลมแพร่กระจายคลื่นรอบทิศทาง (OCPA) ร่วมกับระนาบกราวด์ตัวนำแม่เหล็กประดิษฐ์แบบรูปวงแหวนคู่ (DA-AMC) พารามิเตอร์ที่ทำการปรับคือรัศมีโพรบโมโนโพล R_p โดยทำการปรับขนาด R_p ระหว่าง 2.6 ถึง 4.2 mm พบว่า เมื่อ $R_p = 2.6$ อิมพีแดนซ์แบนด์วิดท์ ($|S_{11}| \leq -10$ dB) สามารถครอบคลุมย่านความถี่กลาง 5.5 GHz แต่อิมพีแดนซ์แบนด์วิดท์ไม่ครอบคลุมย่านความถี่เอกสารนี้เป็นเอกสารที่สงวนไว้สำหรับการใช้งานเพื่อการศึกษาเท่านั้น ไม่อนุญาตให้นำไปใช้ประโยชน์ด้านการค้า ไม่ว่าจะกรณีใดๆ ทั้งสิ้น อีกทั้งห้ามมิให้ดัดแปลงเนื้อหา และต้องอ้างอิงถึงเจ้าของเอกสารทุกครั้งที่มีการนำไปใช้

ต่ำ (5.15 GHz) และย่านความถี่สูง (5.875 GHz) ในขณะที่ผลการจำลองค่าอัตราส่วนแแกนนั้นยังคงมีค่าต่ำกว่า 3dB ($AR \leq 3$ dB) สำหรับทั้งย่านความถี่ใช้งาน จึงสรุปได้ว่า เมื่อทำการขยายขนาดรัศมีโพรบโมโนโพล R_p ให้มีขนาดใหญ่มากขึ้นจะทำให้ $|S_{11}|$ มีอิมพีแดนซ์แมตซ์ซึ่งเปลี่ยนแปลงไป ซึ่งค่าที่เหมาะสมคือ $R_p = 3.4$ mm เนื่องจากครอบคลุมย่านความถี่ใช้งานตั้งแต่ 5.15 – 5.875 GHz ในส่วนค่าอัตราส่วนแแกนนั้นขนาดรัศมีโพรบโมโนโพล R_p มีผลกระทบต่อค่อนข้างน้อย



(ก) ค่าสัมประสิทธิ์การสะท้อน



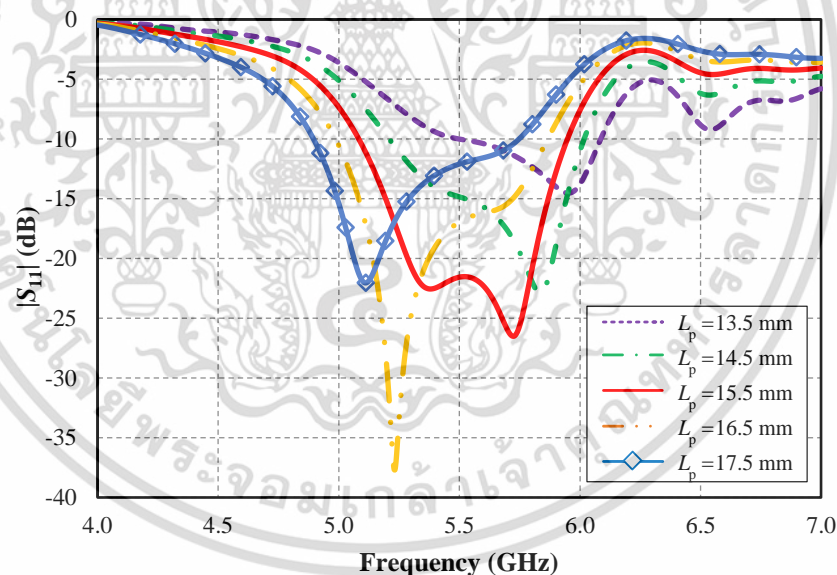
(ข) ค่าอัตราส่วนแแกน

รูปที่ 4.23 ผลการจำลองอิมพีแดนซ์และอัตราส่วนแแกนเมื่อปรับขนาดพารามิเตอร์ R_p ของรัศมีโพรบโมโนโพล

เอกสารนี้เป็นเอกสารที่สงวนไว้สำหรับการใช้งานเพื่อการศึกษาเท่านั้น ไม่อนุญาตให้นำไปใช้ประโยชน์ด้านการค้า ไม่ว่าจะกรณีใดๆ ทั้งสิ้น อีกทั้งห้ามมิให้ดัดแปลงเนื้อหา และต้องอ้างอิงถึงเจ้าของเอกสารทุกครั้งที่มีการนำไปใช้

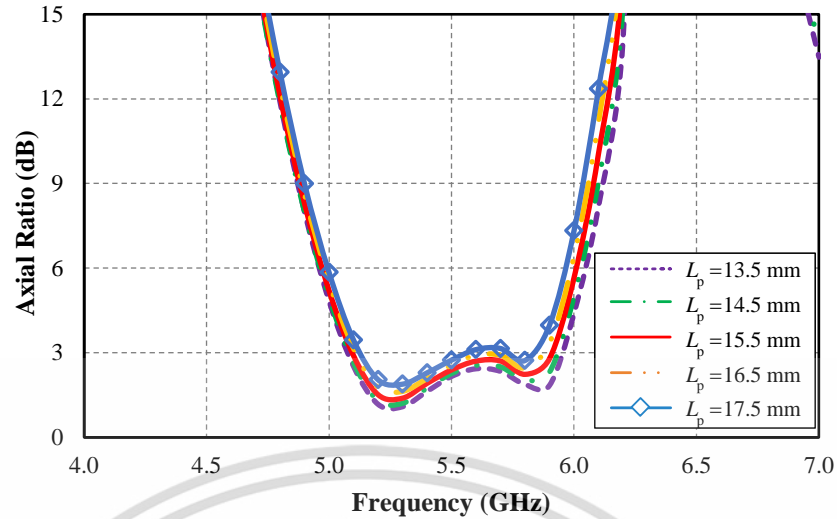
4.3.3 ความสูงของโพรบโมโนโพล L_p

รูปที่ 4.24(ก)-(ข) แสดงผลการจำลอง $|S_{11}|$ และอัตราส่วนแแกน (AR) ของสายอากาศโมโนโพลโพลารไรซ์วงกลมแพร่กระจายคลื่นรอบทิศทาง (OCPA) ร่วมกับระนาบกราวด์ตัวนำแม่เหล็กประดิษฐ์แบบรูปวงแหวนคู่ (DA-AMC) พารามิเตอร์ที่ทำการปรับคือความสูงของโพรบโมโนโพล L_p โดยทำการปรับขนาด L_p ระหว่าง 13.5 ถึง 17.5 mm พบว่า เมื่อ $L_p = 13.5$ มม. อิมพีแดนซ์แบนด์วิดท์ ($|S_{11}| \leq -10$ dB) สามารถครอบคลุมย่านความถี่สูง 5.875 GHz ได้ แต่อิมพีแดนซ์แบนด์วิดท์ไม่ครอบคลุมย่านความถี่ต่ำ (5.15 GHz) และย่านความถี่กลาง (5.5 GHz) ในขณะที่ผลการจำลองค่าอัตราส่วนแแกนนั้นยังคงมีค่าต่ำกว่า 3dB ($AR \leq 3$ dB) ตลอดช่วงย่านความถี่ใช้งาน จากนั้นทำการปรับ $R_p = 14.5$ ถึง 17.5 mm พิจารณา $|S_{11}|$ จึงสรุปได้ว่า เมื่อทำการเพิ่มความสูงของโพรบโมโนโพล L_p ให้มีความสูงเพิ่มมากขึ้นจะทำให้ $|S_{11}|$ มีอิมพีแดนซ์แมตซ์ซึ่งเปลี่ยนแปลงไปในทิศทางย่านความถี่ต่ำ โดยเป็นไปตามทฤษฎีของสายอากาศโมโนโพลที่ความยาวโพรบเพิ่มขึ้น ค่าความยาวทางไฟฟ้าก็จะเพิ่มตาม ทำให้เกิดการตอบสนองต่ออิมพีแดนซ์แมตซ์ซึ่งในย่านความถี่ต่ำ ในกรณีนี้รัศมีของโพรบโมโนโพล และรัศมีระนาบกราวด์ต้องคงที่ สำหรับค่า L_p ที่เหมาะสมคือ $L_p = 15.5$ mm เนื่องจากครอบคลุมย่านความถี่ใช้งานตั้งแต่ 5.15 – 5.875 GHz ในส่วนค่าอัตราส่วนแแกนนั้นขนาดความสูงโพรบโมโนโพล L_p มีผลกระทบที่ค่อนข้างน้อย แต่ก็ยังส่งผลกระทบต่อความถี่สูงมากกว่าขอบความถี่ต่ำ



(ก) ค่าสัมประสิทธิ์การสะท้อน

รูปที่ 4.24 ผลการจำลองอิมพีแดนซ์และอัตราส่วนแแกนเมื่อปรับขนาดพารามิเตอร์ L_p ของความสูงโพรบโมโนโพล

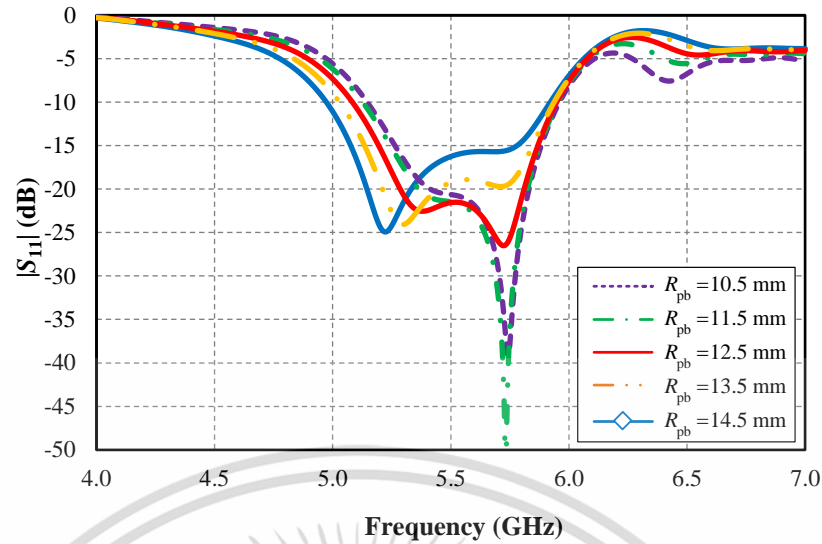


(ข) ค่าอัตราส่วนแกน

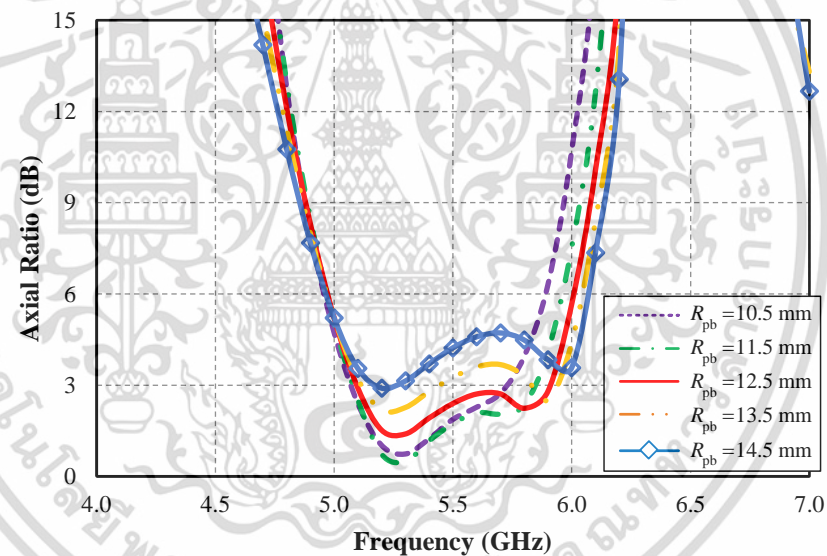
รูปที่ 4.24 ผลการจำลองอิมพีแดนซ์และอัตราส่วนแกนเมื่อปรับขนาดพารามิเตอร์ L_p ของความสูงโพรบโมโนโพล (ต่อ)

4.3.4 รัศมีพาราซิติคส์เหลี่ยมที่เชื่อมต่อกันในแนวทแยง R_{pb}

รูปที่ 4.25(ก)-(ข) แสดงผลการจำลอง $|S_{11}|$ และอัตราส่วนแกน (AR) ของสายอากาศโมโนโพลโพลาริซวงกลมแพร่กระจายคลื่นรอบทิศทาง (OCPA) ร่วมกับระนาบกราวด์ตัวนำแม่เหล็กประดิษฐ์แบบรูปร่างแหวนคู่ (DA-AMC) พารามิเตอร์ที่ทำการปรับคือรัศมีพาราซิติคส์เหลี่ยมที่เชื่อมต่อกันในแนวทแยง R_{pb} โดยทำการปรับขนาด R_{pb} ระหว่าง 10.5 ถึง 14.5 mm พบว่า เมื่อ $R_{pb} = 10.5$ ถึง 14.5 mm อิมพีแดนซ์แบนด์วิดท์ ($|S_{11}| \leq -10$ dB) สามารถครอบคลุมย่านความถี่ใช้งานได้ตลอดช่วงความถี่ (5.15-5.875 GHz) จากผลการจำลองอิมพีแดนซ์แบนด์วิดท์พบว่ามีความกว้างเพิ่มมากขึ้นเมื่อทำการเพิ่มระยะรัศมีจาก $R_{pb} = 10.5$ ถึง 14.5 mm และอิมพีแดนซ์แมตซ์ซิ่งยังมีค่าที่ต่ำกว่า -10 dB อีกด้วย แต่ในขณะที่เดียวกันเมื่อมาทำการพิจารณาผลการจำลองค่าอัตราส่วนแกนนั้น เมื่อ $R_{pb} = 10.5$ mm ค่าอัตราส่วนแกนยังคงมีค่าต่ำกว่า 3dB ($AR \leq 3$ dB) ในช่วงย่านความถี่ต่ำ (5.15 GHz) แต่ในช่วงของขอบด้านความถี่สูงนั้นไม่ครอบคลุม ($AR > 3$ dB) จากนั้นทำการปรับ $R_p = 11.5$ ถึง 14.5 mm ตามลำดับ พิจารณาอัตราส่วนแกนจึงสรุปได้ว่า เมื่อทำการเพิ่มรัศมีพาราซิติคส์เหลี่ยมที่เชื่อมต่อกันในแนวทแยง R_{pb} ให้มีรัศมีเพิ่มมากขึ้นจะทำให้อัตราส่วนแกนแบนด์วิดท์มีการเปลี่ยนแปลงไปในทิศทางที่ค่าอัตราส่วนแกนเพิ่มมากขึ้น $AR > 3$ dB และสูญเสียการเกิดโพลาริซวงกลมในย่านความถี่ใช้งานไป โดยเฉพาะหาก R_{pb} มีค่ารัศมีที่มากกว่า 13.5 mm ขึ้นไป สำหรับค่า R_{pb} ที่เหมาะสมคือ $R_{pb} = 12.5$ mm เนื่องจากครอบคลุมย่านความถี่ใช้งานตั้งแต่ 5.15 – 5.875 GHz ในส่วนค่าอัตราส่วนแกนนั้นขนาดรัศมีพาราซิติคส์เหลี่ยมที่เชื่อมต่อกันในแนวทแยง R_{pb} มีผลกระทบที่ค่อนข้างมากกว่า $|S_{11}|$ แต่ก็ยังส่งผลกระทบต่อขอบความถี่ต่ำอยู่บ้าง



(ก) ค่าสัมประสิทธิ์การสะท้อน



(ข) ค่าอัตราส่วนแกน

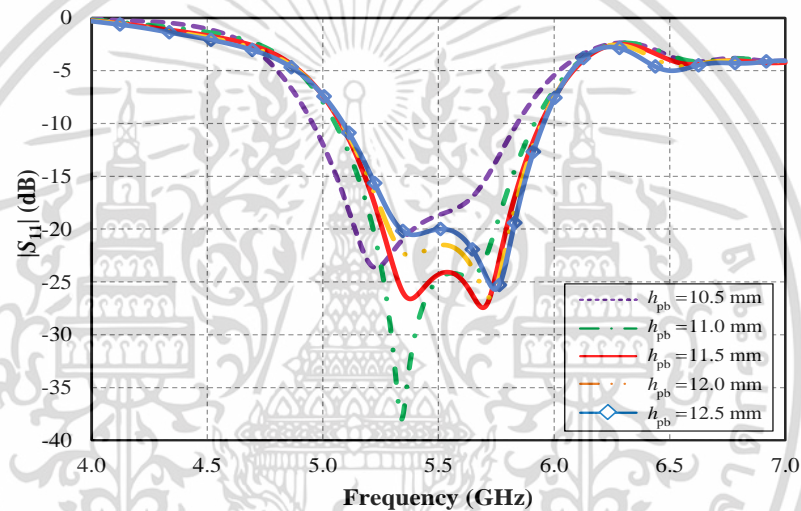
รูปที่ 4.25 ผลการจำลองอิมพีแดนซ์และอัตราส่วนแกนเมื่อปรับขนาดพารามิเตอร์ R_{pb} ของพาราซิติคสี่เหลี่ยมที่เชื่อมต่อกันในแนวทแยง

4.3.5 ความสูงจากระนาบกราวด์ตัวนำแม่เหล็กประดิษฐ์ถึงกึ่งกลางพาราซิติค h_{pb}

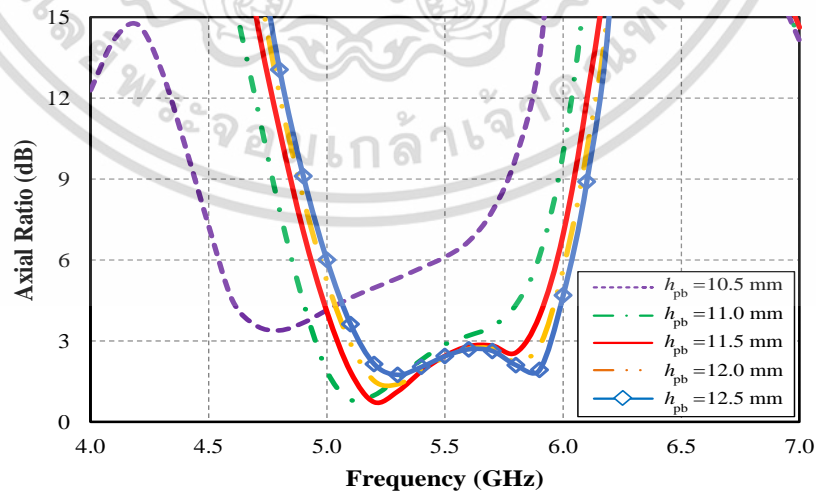
รูปที่ 4.26(ก)-(ข) แสดงผลการจำลอง $|S_{11}|$ และอัตราส่วนแกน (AR) ของสายอากาศโมโนโพลโพลาริซวงกลมแพร่กระจายคลื่นรอบทิศทาง (OCPA) ร่วมกับระนาบกราวด์ตัวนำแม่เหล็กประดิษฐ์แบบรูปร่างวงแหวนคู่ (DA-AMC) พารามิเตอร์ที่ทำการปรับคือความสูงจากระนาบกราวด์ตัวนำแม่เหล็กประดิษฐ์ถึงกึ่งกลางพาราซิติค h_{pb} โดยทำการปรับตำแหน่งความสูงของพาราซิติค h_{pb} ระหว่าง 10.5 ถึง 12.5 mm พบว่า เมื่อ $h_{pb} = 10.5$ mm อิมพีแดนซ์แบนด์วิดท์ ($|S_{11}| \leq -10$ dB)

สามารถครอบคลุมย่านความถี่ใช้งานได้ในช่วงความถี่ต่ำ และช่วงความถี่กลาง (5.15 GHz และ 5.5 GHz) ไม่ว่ากรณีใดๆ ทั้งสิ้น อีกทั้งห้ามมิให้ดัดแปลงเนื้อหา และต้องอ้างอิงถึงเจ้าของเอกสารทุกครั้งที่มีการนำไปใช้

GHz) แต่ไม่สามารถครอบคลุมย่านความถี่สูงได้ และเมื่อทำการปรับ $h_{pb} = 11$ mm ถึง 12.5 mm จากผลการจำลองอิมพีแดนซ์แบนด์วิดท์พบว่ามีความกว้างอิมพีแดนซ์แบนด์วิดท์ค่อนข้างคงที่ และอิมพีแดนซ์แมตซ์ซึ่งยังมีค่าที่ต่ำกว่า -10 dB ครอบคลุมย่านความถี่ใช้งานเครือข่ายท้องถิ่นไร้สาย WLAN (5.15-5.875 GHz) แต่ในขณะที่เดียวกันเมื่อทำการพิจารณาผลการจำลองค่าอัตราส่วนแกนนั้น ที่ $h_{pb} = 10.5$ mm ค่าอัตราส่วนแกนมีค่ามากกว่ามาตรฐาน ($AR > 3$ dB) ตลอดช่วงย่านความถี่ใช้งาน แต่เมื่อทำการปรับความสูงพาราซิติกมาที่ $h_{pb} = 11.0$ mm ถึง 12.5 mm ค่าอัตราส่วนแกนมีค่าที่ต่ำกว่า 3 dB แต่ในช่วงของขอบด้านความถี่สูงนั้นไม่ครอบคลุม ($AR > 3$ dB) จากการพิจารณา ค่าอัตราส่วนแกนจึงสรุปได้ว่า เมื่อทำการเพิ่มความสูงของพาราซิติก h_{pb} ระหว่าง 11.0 ถึง 12.5 mm จะทำให้อัตราส่วนแกนแบนด์วิดท์มีค่า $AR \leq 3$ dB และการเกิดโพลาไรซ์วงกลมในย่านความถี่ด้านต่ำ โดยเฉพาะหาก $h_{pb} = 11.0$ mm สำหรับค่า h_{pb} ที่เหมาะสมคือ $h_{pb} = 11.5$ mm เนื่องจากครอบคลุมย่านความถี่ใช้งานตั้งแต่ 5.15 – 5.875 GHz



(ก) ค่าสัมประสิทธิ์การสะท้อน



(ข) ค่าอัตราส่วนแกน

รูปที่ 4.26 ผลการจำลองอิมพีแดนซ์และอัตราส่วนแกนเมื่อปรับขนาดพารามิเตอร์ h_{pb}

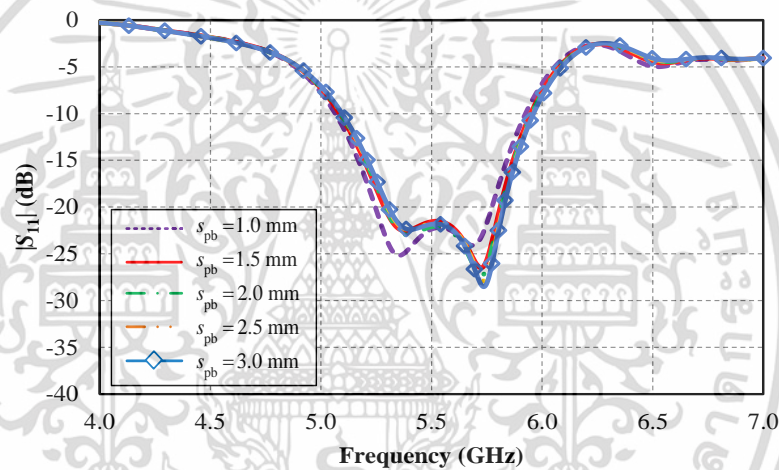
ของตำแหน่งความสูงพาราซิติกสี่เหลี่ยม

เอกสารนี้เป็นเอกสารที่สงวนไว้สำหรับการใช้งานเพื่อการศึกษาเท่านั้น มิได้อนุญาตให้นำไปใช้ประโยชน์ด้านการค้า

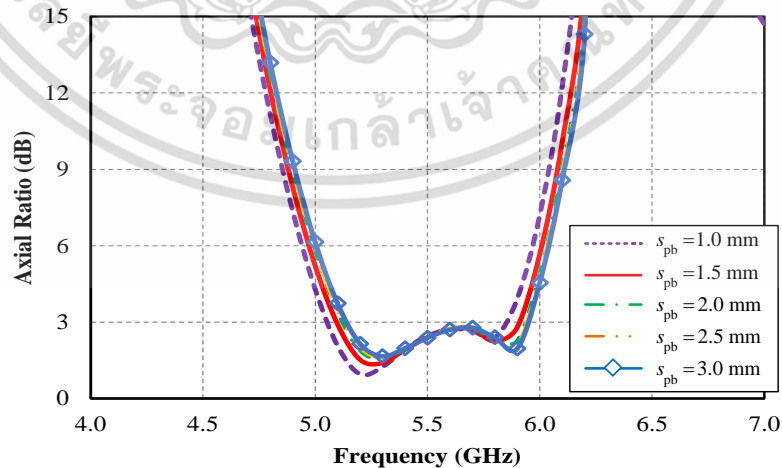
ไม่ว่ากรณีใดๆ ทั้งสิ้น อีกทั้งห้ามมิให้ดัดแปลงเนื้อหา และต้องอ้างอิงถึงเจ้าของเอกสารทุกครั้งที่มีการนำไปใช้

4.3.6 ความกว้างวงขอบพาราซิติคส์เหลี่ยมที่เชื่อมต่อกันในแนวทแยง s_{pb}

รูปที่ 4.27(ก)-(ข) แสดงผลการจำลอง $|S_{11}|$ และอัตราส่วนแกน (AR) ของสายอากาศโมโนโพลโพลาไรซ์วงกลมแพร่กระจายคลื่นรอบทิศทาง (OCPA) ร่วมกับระนาบกราวด์ตัวนำแม่เหล็กประดิษฐ์แบบรูปวงแหวนคู่ (DA-AMC) พารามิเตอร์ที่ทำการปรับคือความกว้างวงขอบพาราซิติคส์เหลี่ยมที่เชื่อมต่อกันในแนวทแยง s_{pb} โดยทำการปรับขนาด s_{pb} ระหว่าง 1.0 mm ถึง 3.0 mm พบว่า เมื่อ $R_{pb} = 1.0$ ถึง 3.0 mm มีอิมพีแดนซ์แบนด์วิดท์ ($|S_{11}| \leq -10$ dB) สามารถครอบคลุมย่านความถี่ใช้งานได้ตลอดช่วงความถี่ (5.15-5.875 GHz) และพบว่า การปรับขนาด s_{pb} ส่งผลต่อค่าอิมพีแดนซ์แบนด์วิดท์น้อยมาก เช่นเดียวกับกับผลการจำลองค่าอัตราส่วนแกนพบว่าค่าความกว้างวงขอบพาราซิติคส์เหลี่ยมที่เชื่อมต่อกันในแนวทแยง s_{pb} เมื่อมีค่า $s_{pb} = 1.0$ mm ถึง 3.0 mm ค่าอัตราส่วนแกนยังคงมีค่าต่ำกว่า 3dB ($AR \leq 3$ dB) แต่ในช่วงย่านความถี่ต่ำ (5.15 GHz) และในช่วงของขอบด้านความถี่สูงนั้นไม่ครอบคลุม ($AR > 3$ dB) มีเพียง $s_{pb} = 1.5$ mm เท่านั้นที่ครอบคลุมย่านความถี่ใช้งาน ดังนั้นค่า s_{pb} ที่เหมาะสมคือ $R_{pb} = 1.5$ mm



(ก) ค่าสัมประสิทธิ์การสะท้อน



(ข) ค่าอัตราส่วนแกน

รูปที่ 4.27 ผลการจำลองอิมพีแดนซ์และอัตราส่วนแกนเมื่อปรับขนาดพารามิเตอร์ s_{pb}

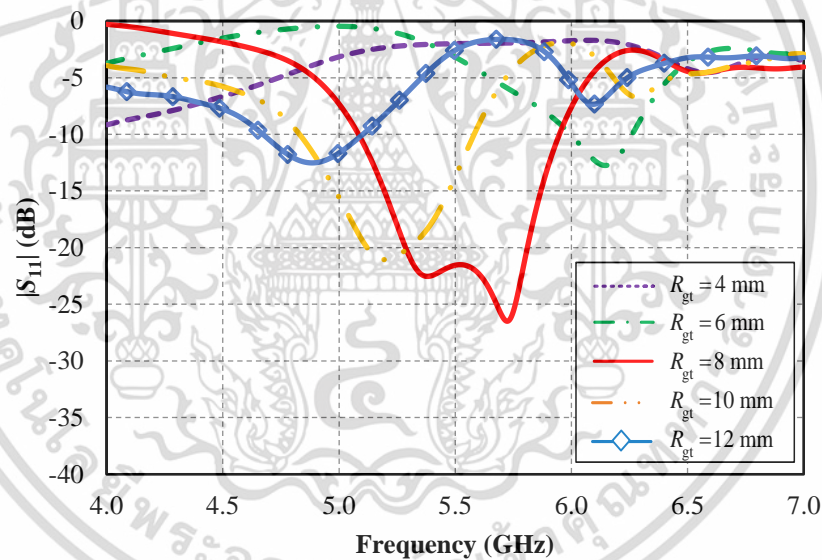
ของความกว้างวงขอบพาราซิติคส์เหลี่ยมที่เชื่อมต่อกันในแนวทแยง

เอกสารนี้เป็นเอกสารที่สงวนไว้สำหรับการใช้งานเพื่อการศึกษาเท่านั้น ไม่อนุญาตให้นำไปใช้ประโยชน์ด้านการค้า

ไม่ว่ากรณีใดๆ ทั้งสิ้น อีกทั้งห้ามมิให้ดัดแปลงเนื้อหา และต้องอ้างอิงถึงเจ้าของเอกสารทุกครั้งที่มีการนำไปใช้

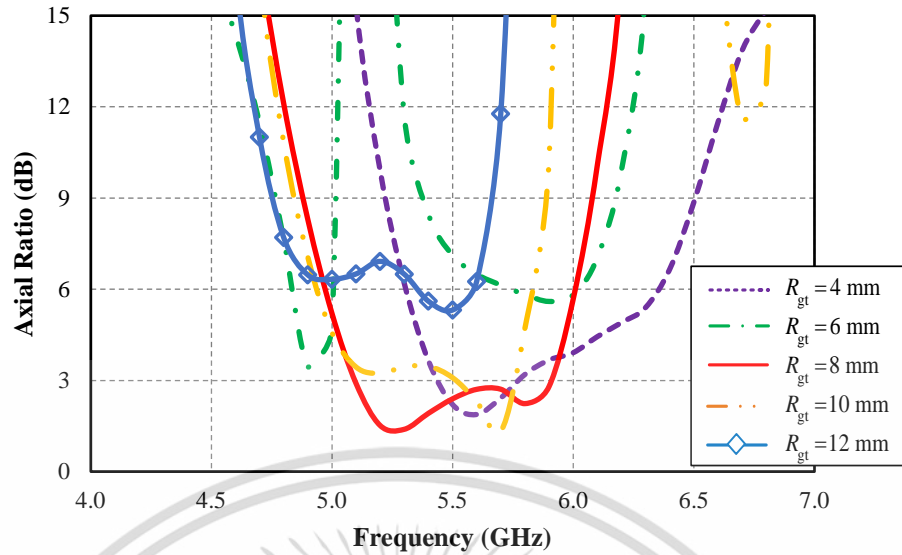
4.3.7 รัศมีกราวนด์บน R_{gt}

รูปที่ 4.28(ก)-(ข) แสดงผลการจำลอง $|S_{11}|$ และอัตราส่วนแกน (AR) ของสายอากาศ โมโนโพลโพลาริซิงกลมแพร่กระจายคลื่นรอบทิศทาง (OCPA) ร่วมกับระนาบกราวนด์ตัวนำแม่เหล็ก ประดิษฐ์แบบรูปวงแหวนคู่ (DA-AMC) พารามิเตอร์ที่ทำการปรับคือรัศมีกราวนด์บน R_{gt} โดยทำการปรับขนาดรัศมีกราวนด์บน R_{gt} ระหว่าง 4 mm ถึง 12 mm พบว่า เมื่อ $R_{gt} = 4$ mm อิมพีแดนซ์แบนด์วิดท์ ($|S_{11}| \leq -10$ dB) ไม่สามารถครอบคลุมย่านความถี่ใช้งานได้ทั้งหมด และเมื่อทำการปรับ $R_{gt} = 6$ mm พบว่ามีความกว้างอิมพีแดนซ์แบนด์วิดท์ค่อนข้างแคบครอบคลุมความถี่ 6.0-6.25 GHz ซึ่งไม่ใช่ช่วงความถี่ใช้งาน เช่นเดียวกับกับ $R_{gt} = 10$ mm และ 12 mm ดังนั้นเมื่อพิจารณาค่าผลการจำลอง $|S_{11}|$ พบว่าขนาดที่เหมาะสมคือ $R_{gt} = 8$ mm สามารถครอบคลุมย่านความถี่ใช้งานเครือข่ายท้องถิ่นไร้สาย WLAN (5.15-5.875 GHz) และเมื่อทำการพิจารณาผลการจำลองค่าอัตราส่วนแกนนั้นที่ $R_{gt} = 8$ mm อัตราส่วนแกน ($AR \leq 3$ dB) ครอบคลุมตลอดช่วงย่านความถี่ใช้งานตั้งแต่ 5.15 – 5.875 GHz ในส่วนอัตราส่วนแกนที่ $R_{gt} = 4$ 6 10 และ 12 mm ไม่สามารถครอบคลุมตลอดช่วงย่านความถี่ใช้งานได้



(ก) ค่าสัมประสิทธิ์การสะท้อน

รูปที่ 4.28 ผลการจำลองอิมพีแดนซ์และอัตราส่วนแกนเมื่อปรับขนาดพารามิเตอร์ R_{gt} ของรัศมีระนาบกราวนด์บน

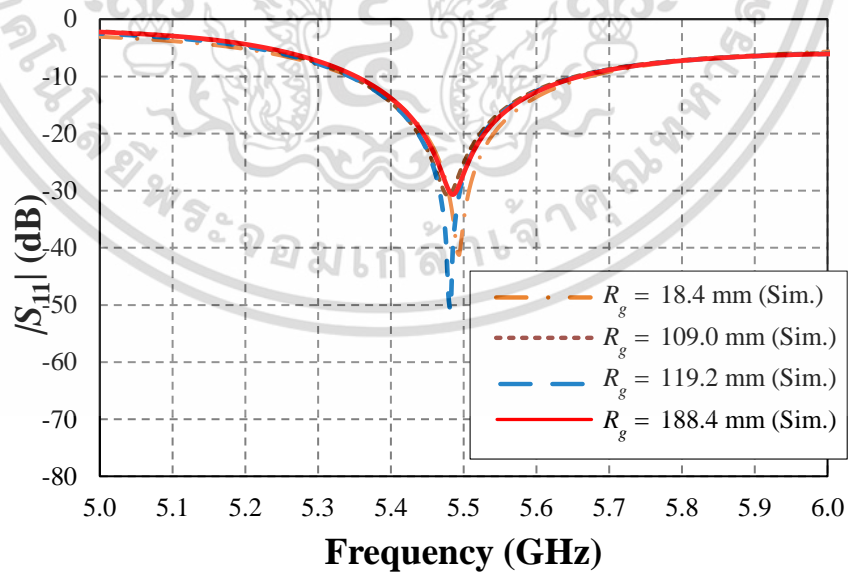


(ข) ค่าอัตราส่วนแกน

รูปที่ 4.28 ผลการจำลองอิมพีแดนซ์และอัตราส่วนแกนเมื่อปรับขนาดพารามิเตอร์ R_{gt} ของรัศมีระนาบกราวด์บน (ต่อ)

4.3.8 รัศมีกราวด์ล่าง R_g ของสายอากาศโครงสร้าง B

จากรูปที่ 4.29 แสดงผลการจำลอง $|S_{11}|$ ของสายอากาศโมโนโพลโพลาริซวงกลม แพร์กระจายคลื่นรอบทิศทาง (OCPA) ร่วมกับระนาบกราวด์ตัวนำแม่เหล็กประดิษฐ์แบบรูปวงแหวนเดี่ยว (SA-AMC) หรือโครงสร้าง B ที่ทำการขยายรัศมีระนาบกราวด์ ($R_g = 18.4$ mm ถึง 188.4 mm)

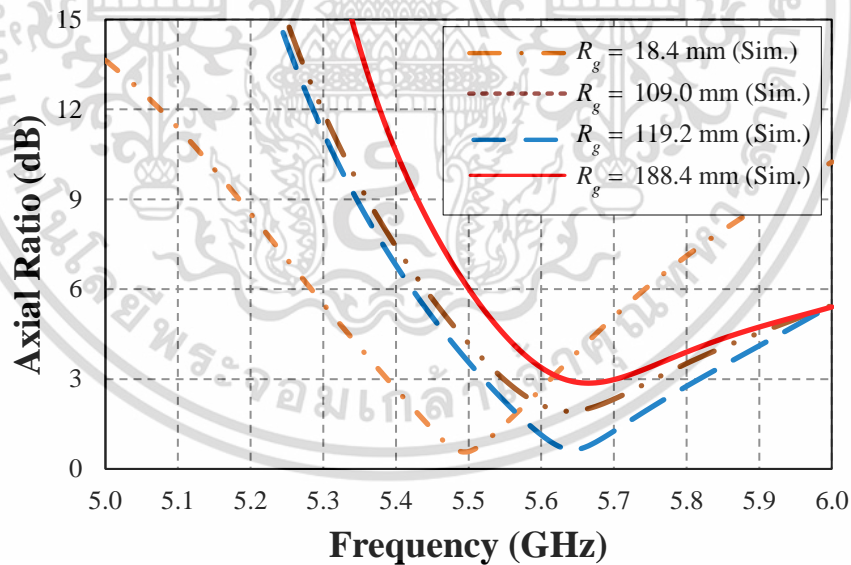


รูปที่ 4.29 ผลการจำลองอิมพีแดนซ์เมื่อปรับขนาดพารามิเตอร์ R_g ของรัศมีระนาบกราวด์ล่างโครงสร้าง B

เอกสารนี้เป็นเอกสารที่สงวนไว้สำหรับการใช้งานเพื่อการศึกษาเท่านั้น ไม่อนุญาตให้นำไปใช้ประโยชน์ด้านการค้า ไม่ว่าจะกรณีใดๆ ทั้งสิ้น อีกทั้งห้ามมิให้ดัดแปลงเนื้อหา และต้องอ้างอิงถึงเจ้าของเอกสารทุกครั้งที่มีการนำไปใช้

โดยผลการจำลองของ $|S_{11}| \leq -10$ dB มีช่วงความถี่ที่เปลี่ยนแปลงอยู่ระหว่าง 5.33 GHz – 5.69 GHz ในส่วนของผลกระทบที่เกิดขึ้นของการเปลี่ยนขนาดรัศมีระนาบกราวด์จากการจำลองพบว่า มีความเปลี่ยนแปลงของค่า $|S_{11}|$ แบนด์วิดท์และอิมพีแดนซ์แมตซ์ซิ่งน้อยมาก จึงสรุปได้ว่าสายอากาศ โครงสร้าง B ทนต่อผลกระทบของการเปลี่ยนขนาดระนาบกราวด์ล่าง

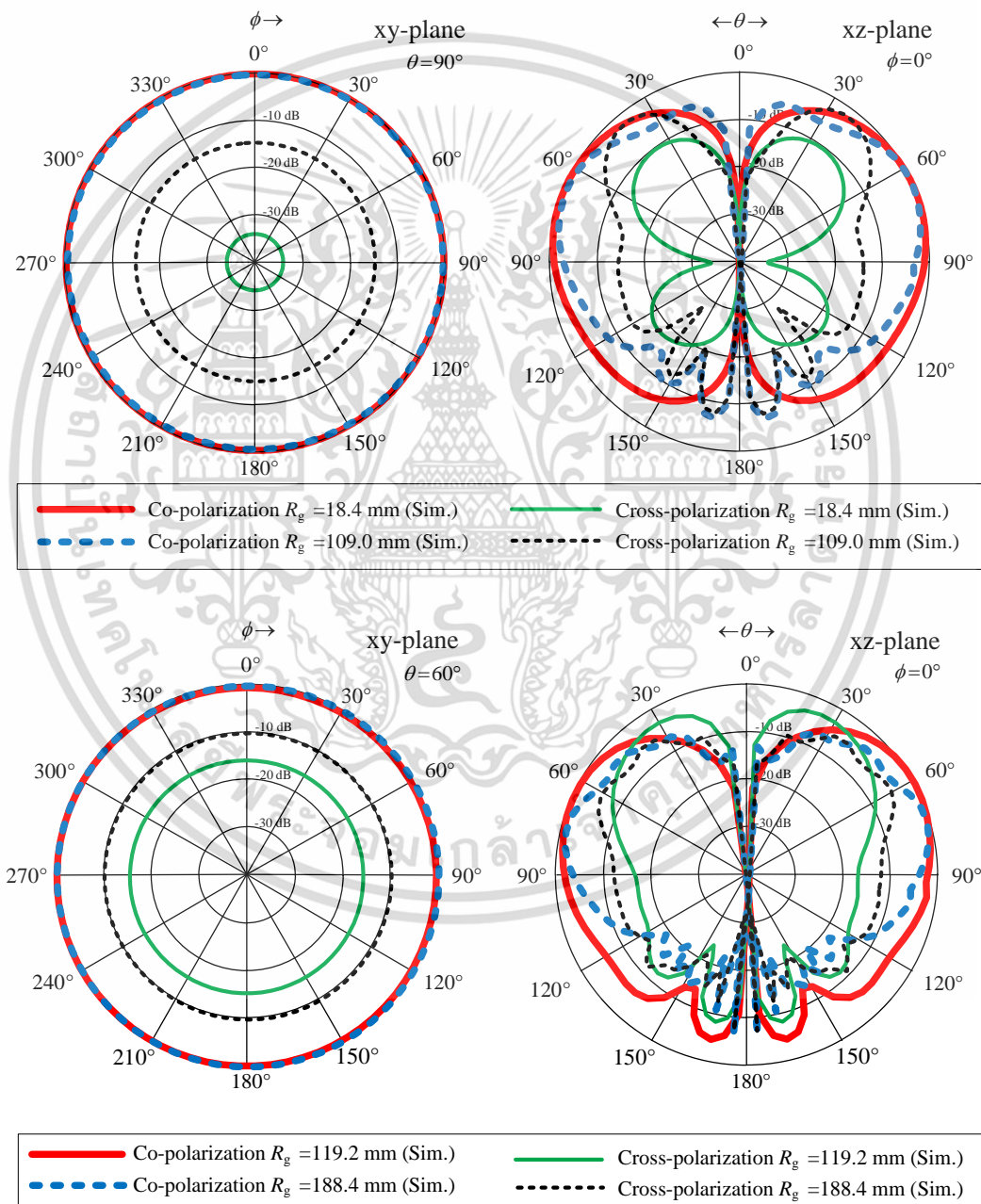
จากรูปที่ 4.30 แสดงผลการจำลองอัตราส่วนแกน (Axial ratio : AR) ของสายอากาศโมโนโพลโพลาริซวงกลมแพร่กระจายคลื่นรอบทิศทาง (OCPA) ร่วมกับระนาบกราวด์ตัวนำแม่เหล็กประดิษฐ์แบบรูปวงแหวนเดี่ยว (SA-AMC) ที่ทำการขยายรัศมีระนาบกราวด์ ($R_g = 18.4$ mm ถึง 188.4 mm) โดยผลการจำลองของอัตราส่วนแกน ($AR \leq 3$ dB) ที่ $R_g = 18.4$ mm มีช่วงความถี่ครอบคลุมอยู่ระหว่าง 5.39 GHz – 5.61 GHz เมื่อพิจารณาที่ $R_g = 109.0$ mm 119.2 mm และ 188.4 mm มีค่าอัตราส่วนแกนต่ำกว่า $AR \leq 3$ dB ซึ่งพบว่าหากเปรียบเทียบผลการจำลองอัตราส่วนแกนที่ $R_g = 18.4$ mm ถึง 188.4 mm ค่าอัตราส่วนแกนจะเลื่อนไปช่วงย่านความถี่สูงเล็กน้อย และยังมีค่าอัตราส่วนแกนต่ำกว่าหรือเท่ากับ 3 dB อยู่ แต่ถ้าหากขนาดของระนาบกราวด์ด้านล่างมีการขยายจนมีขนาดที่ใหญ่เกิน 188.4 mm มีแนวโน้มที่ค่าอัตราส่วนแกนจะมีค่าเพิ่มขึ้นสูงกว่า 3 dB อันเนื่องมาจากผลการขยายขนาดของระนาบกราวด์ จึงสามารถยืนยันได้ว่าสายอากาศโครงสร้าง B ที่นำเสนอสามารถลดผลกระทบของระนาบกราวด์ล่างลงได้ และเพิ่มความยืดหยุ่นในการออกแบบสายอากาศ แต่อย่างไรก็ตามข้อจำกัดในเรื่องของขนาดระนาบกราวด์ล่างต้องมีขนาดไม่เกิน $R_g = 188.4$ mm ในการนำไปติดตั้งบนฐานที่เป็นตัวทางนำไฟฟ้า ซึ่งผลการจำลองจะถูกยืนยันอีกครั้งจากการเปรียบเทียบผลทดสอบในบทที่ 5



รูปที่ 4.30 ผลการจำลองอัตราส่วนแกนเมื่อปรับขนาดพารามิเตอร์ R_g ของรัศมีระนาบกราวด์ล่างโครงสร้าง B

จากรูปที่ 4.31 แสดงผลการจำลองแบบรูปการแพร่กระจายคลื่นของสายอากาศโมโนโพลโพลาริซวงกลมแพร่กระจายคลื่นรอบทิศทาง (OCPA) ร่วมกับระนาบกราวด์ตัวนำแม่เหล็กประดิษฐ์แบบรูปวงแหวนเดี่ยว (SA-AMC) ที่ทำการขยายรัศมีระนาบกราวด์ ($R_g = 18.4$ mm ถึง 188.4 mm) ที่ความถี่ 5.5 GHz จากผลการจำลองแสดงให้เห็นว่าสายอากาศที่นำเสนอสามารถแพร่กระจายไม่ว่ากรณีใดๆ ทั้งสิ้น อีกทั้งห้ามมิให้ดัดแปลงเนื้อหา และต้องอ้างอิงถึงเจ้าของเอกสารทุกครั้งที่มีการนำไปใช้

คลื่นแบบรอบทิศทางได้ ซึ่งสังเกตได้จากระนาบ xy-plane ในส่วนระนาบ xz-plane จะเห็นว่าสายอากาศแพร่กระจายคลื่นได้ดีในมุม $\theta = 90^\circ$ ที่ $R_g = 18.4$ mm และเมื่อทำการขยายระนาบกราวด์เพิ่มขึ้นเป็น $R_g = 109.0$ mm 119.2 mm และ 188.4 mm สายอากาศจะมีลำคลื่นยกขึ้นเล็กน้อยไปที่มุม $\theta = 70^\circ$ (ครอบคลุมการแพร่กระจายคลื่นแบบรอบตัว) ซึ่งค่า XPL ต่ำกว่า -10 dB ในทิศทางลำคลื่นหลัก ทั้งระนาบ xy-plane และ xz-plane จากผลการจำลองที่ความถี่กลาง 5.5 GHz ที่ R_g ขนาดต่าง ๆ สรุปได้ว่าสายอากาศที่นำเสนอโครงสร้าง B นั้นได้รับผลกระทบต่อการขยายระนาบกราวด์ที่น้อย สามารถนำไปประยุกต์ใช้บนฐานวางตัวนำทางไฟฟ้า หรือวัสดุอื่น ๆ ได้ โดยไม่มีผลกระทบต่อคุณลักษณะของสายอากาศ



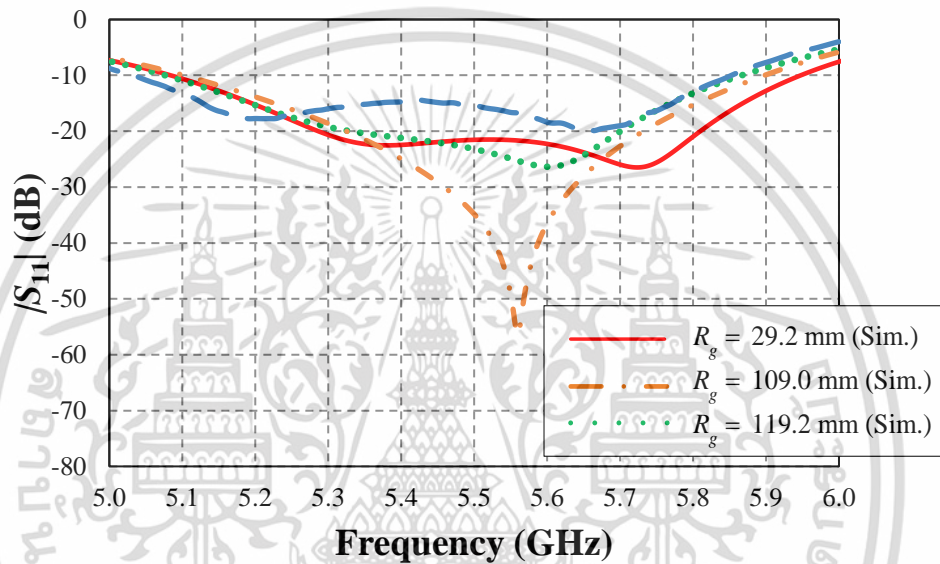
รูปที่ 4.31 ผลการจำลองแบบรูปการแพร่กระจายคลื่นเมื่อปรับขนาดพารามิเตอร์ R_g

ของรัศมีระนาบกราวด์ล่างโครงสร้าง B

เอกสารนี้เป็นเอกสารที่สงวนไว้สำหรับการใช้งานเพื่อการศึกษาเท่านั้น ไม่อนุญาตให้นำไปใช้ประโยชน์ด้านการค้า ไม่ว่าจะกรณีใดๆ ทั้งสิ้น อีกทั้งห้ามมิให้ดัดแปลงเนื้อหา และต้องอ้างอิงถึงเจ้าของเอกสารทุกครั้งที่มีการนำไปใช้

4.3.9 รัศมีกราวนด์ล่าง R_g ของสายอากาศโครงสร้าง C

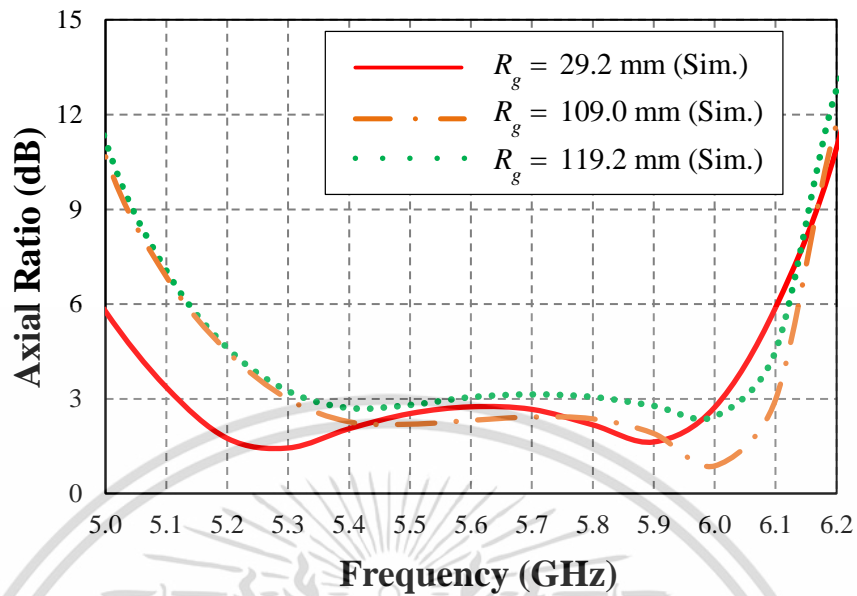
จากรูปที่ 4.32 แสดงการเปรียบเทียบระหว่างผลการจำลองและผลการทดสอบ $|S_{11}|$ ของสายอากาศโมโนโพลโพลาริซิงกลมแพร่กระจายคลื่นรอบทิศทาง (OCPA) ร่วมกับระนาบกราวนด์ตัวนำแม่เหล็กประดิษฐ์แบบรูปวงแหวนคู่ (DA-AMC) ที่ทำการขยายรัศมีระนาบกราวนด์ตั้งแต่ $R_g = 29.2$ mm ถึง 119.2 mm โดยผลการจำลองของ $|S_{11}| \leq -10$ dB มีช่วงความถี่ที่เปลี่ยนแปลงอยู่ที่ 5.06 GHz – 5.95 พบว่าผลกระทบที่เกิดขึ้นของการเปลี่ยนขนาดรัศมีระนาบกราวนด์ของผลการจำลองพบว่ามีความเปลี่ยนแปลงของค่า $|S_{11}|$ แบนด์วิดท์น้อย จึงสรุปได้ว่าสายอากาศโครงสร้าง C ทนต่อผลกระทบของการเปลี่ยนขนาดระนาบกราวนด์ได้ดี



รูปที่ 4.32 ผลการจำลองอิมพีแดนซ์และอัตราส่วนแกนเมื่อปรับขนาดพารามิเตอร์ R_g ของรัศมีระนาบกราวนด์ล่างโครงสร้าง C

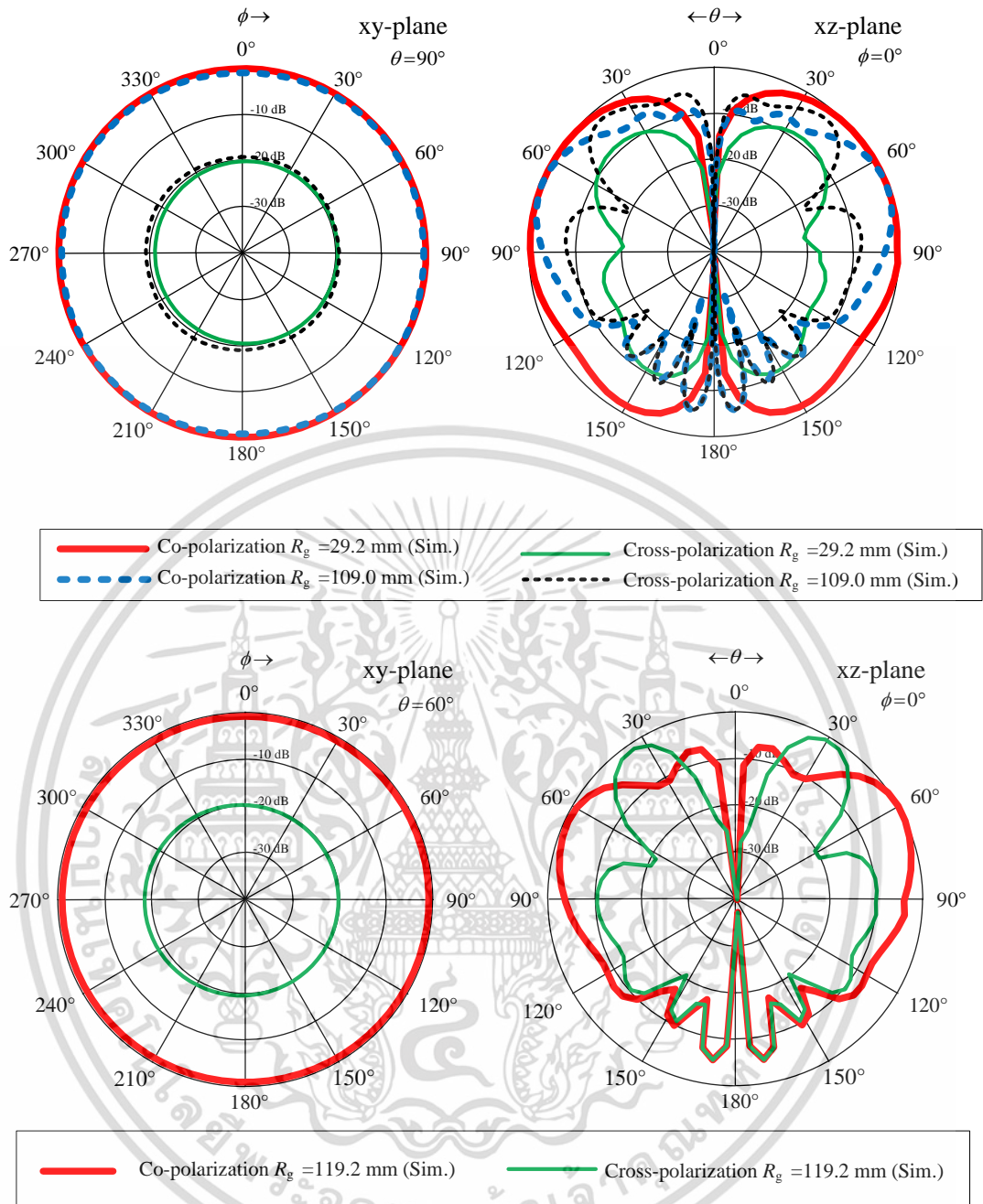
จากรูปที่ 4.33 แสดงผลการจำลองอัตราส่วนแกน (Axial ratio : AR) ของสายอากาศโมโนโพลโพลาริซิงกลมแพร่กระจายคลื่นรอบทิศทาง (OCPA) ร่วมกับระนาบกราวนด์ตัวนำแม่เหล็กประดิษฐ์แบบรูปวงแหวนคู่ (DA-AMC) ที่ทำการขยายรัศมีระนาบกราวนด์ ($R_g = 29.2$ mm 109.2 และ 119.2 mm) โดยผลการจำลองของอัตราส่วนแกน ($AR \leq 3$ dB) ที่ $R_g = 29.2$ mm ถึง 119.2 mm พบว่ามีช่วงความถี่ครอบคลุมอยู่ระหว่าง 5.10 GHz – 6.10 GHz ซึ่งพบว่าค่าอัตราส่วนแกนจะเลื่อนไปช่วงย่านความถี่สูงเล็กน้อยเมื่อขยายรัศมีระนาบกราวนด์ และยังมีค่าอัตราส่วนแกนต่ำกว่าหรือประมาณ 3 dB อยู่ แต่ถ้าหากทำการเพิ่มขนาดของระนาบกราวนด์ด้านล่างมีการขยายจนมีขนาดที่ใหญ่เกิน $R_g > 119.2$ mm มีแนวโน้มที่ค่าอัตราส่วนแกนจะมีค่าเพิ่มขึ้นมากกว่า 3 dB อันเนื่องมาจากผลการขยายขนาดของระนาบกราวนด์ จึงสามารถยืนยันได้ว่าสายอากาศโครงสร้าง C ที่นำเสนอสามารถลดผลกระทบของระนาบกราวนด์ล่างลงได้ เพิ่มความยืดหยุ่นในการออกแบบสายอากาศ แต่ยังมีข้อจำกัดในเรื่องของขนาดระนาบกราวนด์ล่างต้องมีขนาดไม่เกิน $R_g = 119.2$ mm ในการนำไปติดตั้งบนฐานที่เป็นตัวทางนำไฟฟ้า และเมื่อเปรียบเทียบกับสายอากาศโครงสร้าง A และ B พบว่ามีอิมพีแดนซ์แบนด์วิดท์ และอัตราส่วนแกนแบนด์วิดท์ที่กว้างเพิ่มขึ้นอย่างมีนัยสำคัญ

เอกสารนี้เป็นเอกสารที่สงวนไว้สำหรับการใช้งานเพื่อการศึกษาเท่านั้น ไม่อนุญาตให้นำไปใช้ประโยชน์ด้านการค้า ไม่ว่าจะกรณีใดๆ ทั้งสิ้น อีกทั้งห้ามมิให้ดัดแปลงเนื้อหา และต้องอ้างอิงถึงเจ้าของเอกสารทุกครั้งที่มีการนำไปใช้



รูปที่ 4.33 ผลการจำลองอัตราส่วนแกนเมื่อปรับขนาดพารามิเตอร์ R_g ของรัศมีระนาบกราวด์ล่างโครงสร้าง C

จากรูปที่ 4.34 แสดงการเปรียบเทียบระหว่างผลการจำลองและผลการทดสอบแบบรูปการแพร่กระจายคลื่นของสายอากาศโมโนโพลโพลาริซิงวงกลมแพร่กระจายคลื่นรอบทิศทาง (OCPA) ร่วมกับระนาบกราวด์ตัวนำแม่เหล็กประดิษฐ์แบบรูปวงแหวนคู่ (DA-AMC) ที่ทำการขยายรัศมีระนาบกราวด์ ($R_g = 29.2$ mm 109.0 mm และ 119.2 mm) ที่ความถี่ 5.5 GHz จากผลการจำลองแสดงให้เห็นว่าสายอากาศที่นำเสนอสามารถแพร่กระจายคลื่นแบบรอบทิศทาง ซึ่งสังเกตได้จากระนาบ xy-plane ที่มีการแพร่กระจายคลื่นรอบทิศทางเป็นวงกลม ในส่วนระนาบ xz-plane จะเห็นว่าสายอากาศแพร่กระจายคลื่นได้ดีในมุม $\theta = 80^\circ$ ที่ $R_g = 29.2$ mm และเมื่อทำการขยายระนาบกราวด์เพิ่มขึ้นเป็น $R_g = 109.0$ mm และ 119.2 mm ตามลำดับ สายอากาศจะมีลำคลื่นยกขึ้นเล็กน้อยไปที่มุม $\theta = 70^\circ$ และ $\theta = 65^\circ$ (ครอบคลุมการแพร่กระจายคลื่นแบบรอบตัว) ซึ่งค่าโพลาริซัซซ์ (XPL) มีค่าต่ำกว่า -10 dB ในทิศทางลำคลื่นหลัก ทั้งระนาบ xy-plane และ xz-plane จากผลการจำลองที่ความถี่กลาง 5.5 GHz นั้น ที่ R_g ขนาดต่าง ๆ สรุปได้ว่าสายอากาศโครงสร้าง C ที่นำเสนอสามารถลดผลกระทบของระนาบกราวด์ล่างลงได้ เพิ่มความยืดหยุ่นในการออกแบบสายอากาศในการนำไปติดตั้งบนฐานที่เป็นตัวทางนำไฟฟ้า และเมื่อเปรียบเทียบกับสายอากาศโครงสร้าง B พบว่ามีแบบรูปการแผ่กระจายคลื่นที่แผ่กระจายแบบรอบทิศทางเช่นเดียวกัน ต่างจากสายอากาศโครงสร้าง A ที่มีผลกระทบของแบบรูปการแผ่กระจายคลื่นต่อขนาดระนาบกราวด์ที่สูงกว่าสายอากาศที่นำเสนอ



รูปที่ 4.34 ผลการจำลองแบบรูปการแพร่กระจายคลื่นเมื่อปรับขนาดพารามิเตอร์ R_g ของรัศมีระนาบกราวด์ล่างโครงสร้าง C

4.4 สรุป

ในบทนี้ได้ทำการจำลอง ออกแบบ และศึกษาผลกระทบของพารามิเตอร์ต่าง ๆ ที่เกี่ยวข้องกับของสายอากาศโมโนโพลโพลาริซิงวงกลมแพร่กระจายคลื่นรอบทิศทาง (OCPA) ร่วมกับระนาบกราวด์ตัวนำแม่เหล็กประดิษฐ์แบบรูปวงแหวนเดี่ยว (SA-AMC) และสายอากาศโมโนโพลโพลาริซิงวงกลมแพร่กระจายคลื่นรอบทิศทาง (OCPA) ร่วมกับระนาบกราวด์ตัวนำแม่เหล็กประดิษฐ์แบบรูปวงแหวนคู่ (DA-AMC) สำหรับการสื่อสารเครือข่ายท้องถิ่นไร้สาย (WLAN) ย่านความถี่ 5.5 GHz โดยเอกสารนี้เป็นเอกสารทงวนเวส้าหรับการใช้งานเพื่อการศึกษาเท่านั้น ไม่อนุญาตให้นำไปใช้ประโยชน์ด้านการค้า ไม่ว่าจะกรณีใดๆ ทั้งสิ้น อีกทั้งห้ามมิให้ดัดแปลงเนื้อหา และต้องอ้างอิงถึงเจ้าของเอกสารทุกครั้งที่มีการนำไปใช้

ทำการออกแบบระบบกราวด์ตัวนำแม่เหล็กประดิษฐ์แบบรูปวงแหวนเดี่ยว (SA-AMC) และระบบกราวด์ตัวนำแม่เหล็กประดิษฐ์แบบรูปวงแหวนคู่ (DA-AMC) ซึ่งโครงสร้างกราวด์ตัวนำแม่เหล็กประดิษฐ์ที่นำเสนอสามารถนำมาใช้ร่วมกับสายอากาศโมโนโพลโพลาริซวงกลมแพร่กระจายคลื่นรอบทิศทาง (OCPA) ที่มีพาราซิติกส์เหลี่ยมที่เชื่อมต่อกันแนวทแยงจำนวน 4 องค์ประกอบในการแปลงโพลาริซเชิงเส้นเป็นโพลาริซวงกลม และจากการศึกษาพบว่าสายอากาศที่นำเสนอสามารถขยายแบนด์วิดท์ของค่าอิมพีแดนซ์และค่าอัตราส่วนแกน รวมไปถึงปรับปรุงอัตราขยายของสายอากาศที่นำเสนอทั้งสองโครงสร้าง นอกจากนี้ยังทำการศึกษาคูณลักษณะของสายอากาศ เช่น $|S_{11}|$ อัตราส่วนแกน อัตราขยาย แบบรูปการแผ่กระจายคลื่น สนามไฟฟ้า กระแสไฟฟ้าเชิงพื้นผิว และผลกระทบเนื่องจากการขยายระบบกราวด์ อีกทั้งศึกษาผลกระทบของการเปลี่ยนแปลงขนาดพารามิเตอร์ต่างๆ ที่เกี่ยวข้องกับสายอากาศโมโนโพลโพลาริซวงกลมแพร่กระจายคลื่นรอบทิศทาง (OCPA) ร่วมกับระบบกราวด์ตัวนำแม่เหล็กประดิษฐ์แบบรูปวงแหวนเดี่ยว (SA-AMC) และสายอากาศโมโนโพลโพลาริซวงกลมแพร่กระจายคลื่นรอบทิศทาง (OCPA) ร่วมกับระบบกราวด์ตัวนำแม่เหล็กประดิษฐ์แบบรูปวงแหวนคู่ (DA-AMC) ซึ่งสอดคล้องกับการเปลี่ยนแปลงของค่าความยาวทางไฟฟ้า และในบทถัดไป (บทที่ 5) จะทำการสร้าง ทดสอบและวิเคราะห์ถึงคุณลักษณะต่าง ๆ ของสายอากาศเพื่อนำผลทดสอบมาเปรียบเทียบกับผลจากการจำลอง เพื่อเป็นการยืนยันว่าผลการจำลองและทฤษฎีที่เกี่ยวข้องในการศึกษาของวิทยานิพนธ์นี้มีความถูกต้อง

เอกสารนี้เป็นเอกสารที่สงวนไว้สำหรับการใช้งานเพื่อการศึกษาเท่านั้น ไม่อนุญาตให้นำไปใช้ประโยชน์ด้านการค้า ไม่ว่าจะกรณีใดๆ ทั้งสิ้น อีกทั้งห้ามมิให้ดัดแปลงเนื้อหา และต้องอ้างอิงถึงเจ้าของเอกสารทุกครั้งที่มีการนำไปใช้

บทที่ 5

ผลการจำลองและทดสอบสายอากาศ

5.1 บทนำ

ในบทที่ 3 และ 4 ก่อนหน้านี้ได้กล่าวถึงการศึกษาการออกแบบและวิเคราะห์สายอากาศ โมโนโพลโพลาริซวงกลมแพร่กระจายคลื่นรอบทิศทาง (OCPA) และสายอากาศโมโนโพลโพลาริซวงกลมแพร่กระจายคลื่นรอบทิศทาง (OCPA) ร่วมกับระนาบกราวด์ตัวนำแม่เหล็กประดิษฐ์แบบรูปวงแหวนเดี่ยว (SA-AMC) และระนาบกราวด์ตัวนำแม่เหล็กประดิษฐ์แบบรูปวงแหวนคู่ (DA-AMC) สำหรับย่านความถี่ 5.5 GHz ในบทนี้จึงนำเสนอการทดสอบคุณลักษณะและสมรรถนะของสายอากาศ โมโนโพลโพลาริซวงกลมแพร่กระจายคลื่นรอบทิศทาง (OCPA) ร่วมกับระนาบกราวด์ตัวนำแม่เหล็กประดิษฐ์แบบรูปวงแหวนเดี่ยว (SA-AMC) และระนาบกราวด์ตัวนำแม่เหล็กประดิษฐ์แบบรูปวงแหวนคู่ (DA-AMC) โดยจะพิจารณาคูณลักษณะต่าง ๆ ของสายอากาศที่ทำการทดสอบซึ่งจะนำผลที่ได้ทำการเปรียบเทียบกับผลการจำลอง ดังนี้ สัมประสิทธิ์การสะท้อน ($|S_{11}|$) ของสายอากาศ อัตราส่วนแกน อัตราขยาย และแบบรูปการแพร่กระจายคลื่นของสายอากาศ เพื่อการยืนยันและพิสูจน์ความถูกต้องของผลการจำลองของสายอากาศที่นำเสนอ

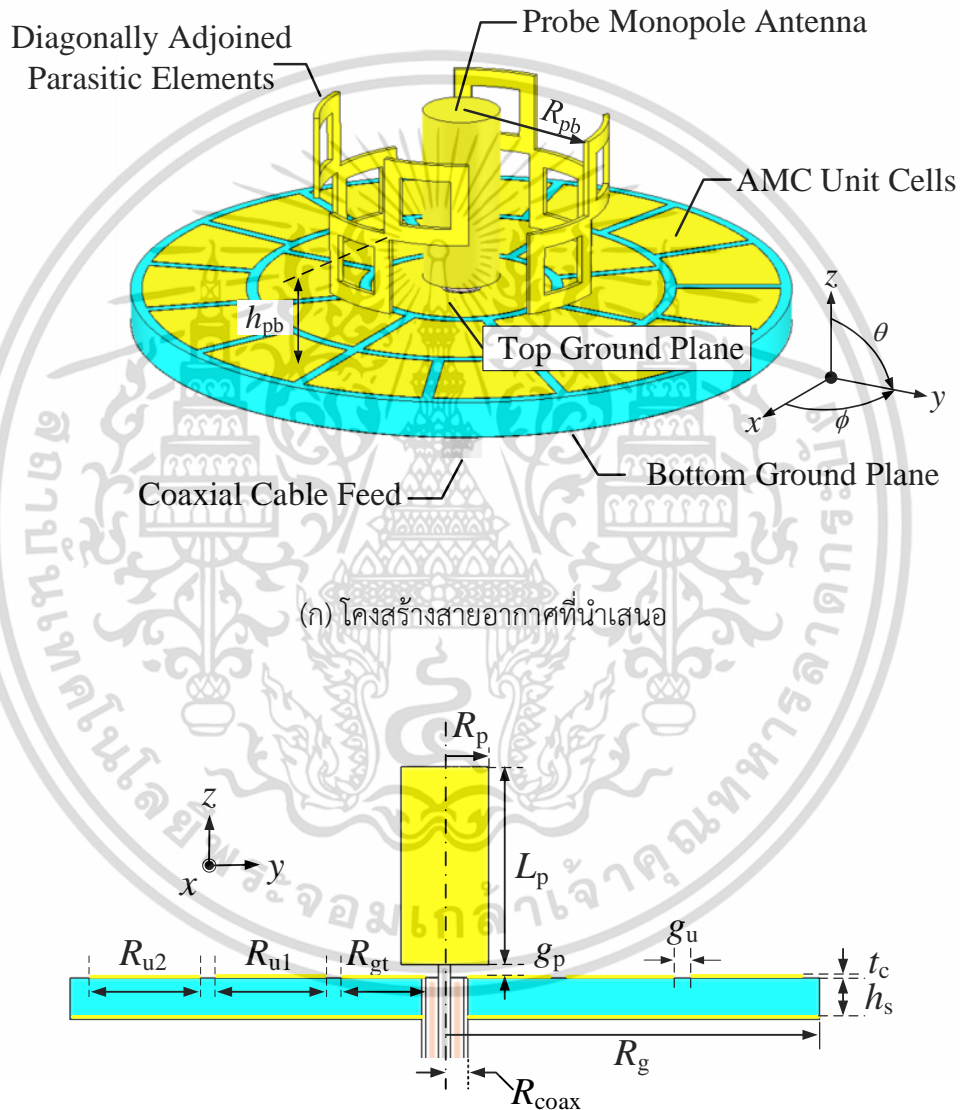
5.2 สายอากาศโมโนโพลโพลาริซวงกลมแพร่กระจายคลื่นรอบทิศทางร่วมกับระนาบกราวด์ตัวนำแม่เหล็กประดิษฐ์แบบรูปวงแหวนเดี่ยว (SA-AMC) และแบบรูปวงแหวนคู่ (DA-AMC)

ในหัวข้อนี้นำเสนอสายอากาศโมโนโพลโพลาริซวงกลมแพร่กระจายคลื่นรอบทิศทางร่วมกับระนาบกราวด์ตัวนำแม่เหล็กประดิษฐ์แบบรูปวงแหวนเดี่ยว (SA-AMC) และแบบรูปวงแหวนคู่ (DA-AMC) ต่อไปสายอากาศโมโนโพลโพลาริซวงกลมแพร่กระจายคลื่นรอบทิศทางร่วมกับระนาบกราวด์ตัวนำแม่เหล็กประดิษฐ์แบบรูปวงแหวนเดี่ยว (SA-AMC) คือ โครงสร้าง B และสายอากาศโมโนโพลโพลาริซวงกลมแพร่กระจายคลื่นรอบทิศทางร่วมกับระนาบกราวด์ตัวนำแม่เหล็กประดิษฐ์แบบรูปวงแหวนคู่ (DA-AMC) คือ โครงสร้าง C ซึ่งสายอากาศโมโนโพลโพลาริซวงกลมแพร่กระจายคลื่นรอบทิศทางของทั้งโครงสร้าง B และโครงสร้าง C นั้นจะมีส่วนประกอบไปด้วย โพรบโมโนโพลองค์ประกอบพาราซีติกส์เหลี่ยมที่เชื่อมต่อกันในแนวทแยง จำนวน 4 องค์ประกอบ ที่ถูกวางเหนือระนาบกราวด์ตัวนำแม่เหล็กประดิษฐ์ (AMC) แบบวงกลม ระนาบกราวด์บน ระนาบกราวด์ด้านล่างของโครงสร้างตัวนำแม่เหล็กประดิษฐ์ และหน่วยเซลล์รูปตัด แสดงดังรูปที่ 1(ก) สำหรับรูปที่ 1(ข) แสดงภาพตัดขวางขององค์ประกอบโมโนโพล และตัวนำแม่เหล็กประดิษฐ์ รูปที่ 1(ค) แสดงองค์ประกอบพาราซีติกส์เหลี่ยมที่อยู่ติดกันในแนวทแยงมุมจำนวน 4 องค์ประกอบ ซึ่งสายอากาศโมโนโพลที่มีองค์ประกอบพาราซีติกส์เหลี่ยมที่อยู่ติดกันในแนวทแยงมุมถูกติดตั้งที่กึ่งกลางของระนาบกราวด์ตัวนำแม่เหล็กประดิษฐ์ (AMC) แบบวงกลมที่มีการวางอาร์เรย์ของหน่วยเซลล์รูปตัด

เอกสารนี้เป็นเอกสารที่สงวนลิขสิทธิ์ไว้เพื่อการศึกษาเท่านั้น เมื่ออนุญาตเห็นเป็นประโยชน์ในการใช้

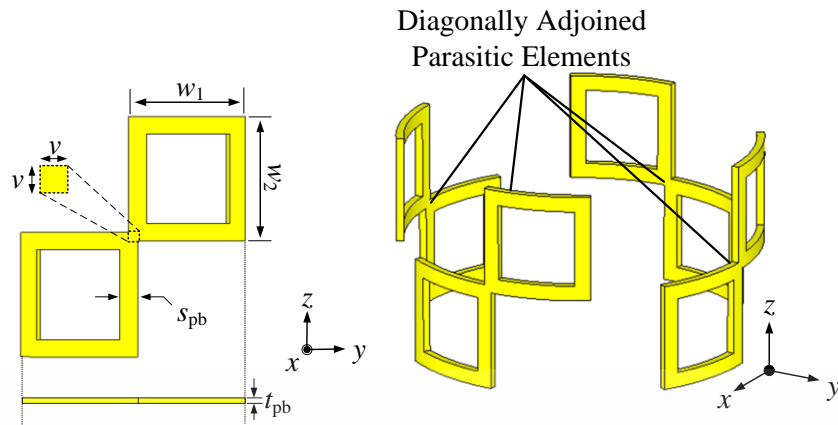
ไม่ว่ากรณีใดๆ ทั้งสิ้น อีกทั้งห้ามมิให้ดัดแปลงเนื้อหา และต้องอ้างอิงถึงเจ้าของเอกสารทุกครั้งที่มีการนำไปใช้

จำนวนสองวงรอบ โดยใช้วัสดุฐานรองชนิด FR-4 รุ่น Chukoh CGP-500A ที่มีค่าสภาพยอมไฟฟ้าสัมพัทธ์ (Relative permittivity : ϵ_r) เท่ากับ 2.6 มีค่าการสูญเสียแทนเจนต์ (Tangent loss : $\tan \delta$) เท่ากับ 0.0025 โดยมีความหนาของวัสดุฐานรอง (h_s) เท่ากับ 3.2 mm และใช้คอนเนคเตอร์ชนิด SMA Connector (4 Hole Flange Mount Jack) ต่อร่วมกับสายนำสัญญาณโคแอกเซียล ซึ่งโครงสร้างของสายอากาศโมโนโพลโพลาริซิงวงกลมแพร่กระจายคลื่นรอบทิศทางร่วมกับระนาบกราวนด์ตัวนำแม่เหล็กประดิษฐ์แบบรูปวงแหวนคู่ (DA-AMC) จะนำเสนอแสดงดังรูปที่ 5.1 พารามิเตอร์และขนาดแสดงในตารางที่ 4.4



รูปที่ 5.1 โครงสร้างและขนาดของสายอากาศสายอากาศโมโนโพลโพลาริซิงวงกลมแพร่กระจายคลื่นรอบทิศทางร่วมกับระนาบกราวนด์ตัวนำแม่เหล็กประดิษฐ์แบบรูปวงแหวนคู่ (DA-AMC) ที่นำเสนอ

เอกสารนี้เป็นเอกสารที่สงวนไว้สำหรับการใช้งานเพื่อการศึกษาเท่านั้น ไม่อนุญาตให้นำไปใช้ประโยชน์ด้านการค้า ไม่ว่าจะกรณีใดๆ ทั้งสิ้น อีกทั้งห้ามมิให้ดัดแปลงเนื้อหา และต้องอ้างอิงถึงเจ้าของเอกสารทุกครั้งที่มีการนำไปใช้



(ค) โครงสร้างพาราซิติคสี่เหลี่ยม

รูปที่ 5.1 โครงสร้างและขนาดของสายอากาศสายอากาศโมนโพลโพลาริซวงกลมแพร์กระจายคลื่นรอบทิศทางร่วมกับระนาบกราวด์ตัวนำแม่เหล็กประดิษฐ์แบบรูปวงแหวนคู่ (DA-AMC) ที่นำเสนอ (ต่อ)



(ก) มุมมองทั่วไป

(ข) มุมมองด้านบน

รูปที่ 5.2 สายอากาศโมนโพลโพลาริซวงกลมแพร์กระจายคลื่นรอบทิศทางร่วมกับระนาบกราวด์ตัวนำแม่เหล็กประดิษฐ์แบบรูปวงแหวนเดี่ยว (SA-AMC) ต้นแบบ



(ก) มุมมองทั่วไป

(ข) มุมมองด้านบน

รูปที่ 5.3 สายอากาศโมนโพลโพลาริซวงกลมแพร์กระจายคลื่นรอบทิศทางร่วมกับระนาบกราวด์ตัวนำแม่เหล็กประดิษฐ์แบบรูปวงแหวนคู่ (DA-AMC) ต้นแบบ

เอกสารนี้เป็นเอกสารที่สงวนไว้สำหรับการใช้งานเพื่อการศึกษาเท่านั้น มิอนุญาตให้นำไปใช้ประโยชน์ด้านการค้า ไม่ว่าจะกรณีใดๆ ทั้งสิ้น อีกทั้งห้ามมิให้ดัดแปลงเนื้อหา และต้องอ้างอิงถึงเจ้าของเอกสารทุกครั้งที่มีการนำไปใช้

จากรูปที่ 5.2 แสดงถึงโครงสร้างและองค์ประกอบของสายอากาศโมโนโพลโพลาริซวงกลมแพร่กระจายคลื่นรอบทิศทางร่วมกับระนาบกราวด์ตัวนำแม่เหล็กประดิษฐ์แบบรูปวงแหวนเดี่ยว (SA-AMC) :ซึ่งถูกกำหนดให้เป็นโครงสร้าง B นั้น จะมีส่วนประกอบไปด้วย โพรบโมโนโพล องค์ประกอบพาราซีติกส์เหลี่ยมที่เชื่อมต่อกันในแนวทแยง จำนวน 4 องค์ประกอบ ที่ถูกวางเหนือระนาบกราวด์ตัวนำแม่เหล็กประดิษฐ์ (AMC) แบบวงกลม ระนาบกราวด์บน ระนาบกราวด์ด้านล่างของโครงสร้างตัวนำแม่เหล็กประดิษฐ์ และหน่วยเซลล์รูปพัดจำนวน 8 องค์ประกอบ จำนวนหนึ่งวงรอบ ในส่วนรูปที่ 5.3 แสดงต้นแบบของสายอากาศโมโนโพลโพลาริซวงกลมแพร่กระจายคลื่นรอบทิศทางร่วมกับระนาบกราวด์ตัวนำแม่เหล็กประดิษฐ์แบบรูปวงแหวนคู่ (DA-AMC) :ซึ่งถูกกำหนดให้เป็นโครงสร้าง C โดยจะมีส่วนประกอบไปด้วย โพรบโมโนโพล องค์ประกอบพาราซีติกส์เหลี่ยมที่เชื่อมต่อกันในแนวทแยง จำนวน 4 องค์ประกอบ ที่ถูกวางเหนือระนาบกราวด์ตัวนำแม่เหล็กประดิษฐ์ (AMC) แบบวงกลม ระนาบกราวด์บน ระนาบกราวด์ด้านล่างของโครงสร้างตัวนำแม่เหล็กประดิษฐ์ และหน่วยเซลล์รูปพัดจำนวนสองวงรอบ ซึ่งวงในจะมีจำนวน 8 หน่วยเซลล์ และวงนอกจะมีจำนวน 15 หน่วยเซลล์ โดยสายอากาศต้นแบบทั้งโครงสร้าง B และ C นั้นถูกสร้างโดยโดยใช้วัสดุฐานรองชนิด FR-4 รุ่น Chukoh CGP-500A ที่มีค่าสภาพยอมไฟฟ้าสัมพัทธ์ (Relative permittivity : ϵ_r) เท่ากับ 2.6 มีค่าการสูญเสียแทนเจนต์ (Tangent loss : $\tan \delta$) เท่ากับ 0.0025 โดยมีความหนาของวัสดุฐานรอง (h_s) เท่ากับ 3.2 mm และใช้คอนเนคเตอร์ชนิด SMA Connector (4 Hole Flange Mount Jack) ต่อร่วมกับสายนำสัญญาณโคแอกเซียล

5.3 ขั้นตอนและผลการทดสอบสายอากาศ

การทดสอบคุณลักษณะต่าง ๆ เพื่อตรวจสอบสมรรถนะของสายอากาศจะต้องใช้เครื่องมือที่มีความเที่ยงตรงและแม่นยำเพื่อทดสอบสายอากาศต้นแบบของสายอากาศโมโนโพลโพลาริซวงกลมแพร่กระจายคลื่นรอบทิศทาง (OCPA) ร่วมกับระนาบกราวด์ตัวนำแม่เหล็กประดิษฐ์แบบรูปวงแหวนเดี่ยว (SA-AMC) และสายอากาศโมโนโพลโพลาริซวงกลมแพร่กระจายคลื่นรอบทิศทาง (OCPA) ร่วมกับระนาบกราวด์ตัวนำแม่เหล็กประดิษฐ์แบบรูปวงแหวนคู่ (DA-AMC) เนื่องจากสายอากาศต้นแบบที่ได้ทำการออกแบบและนำมาทดสอบนั้นครอบคลุมย่านแถบความถี่กว้างโดยใช้เครื่องมือดังนี้

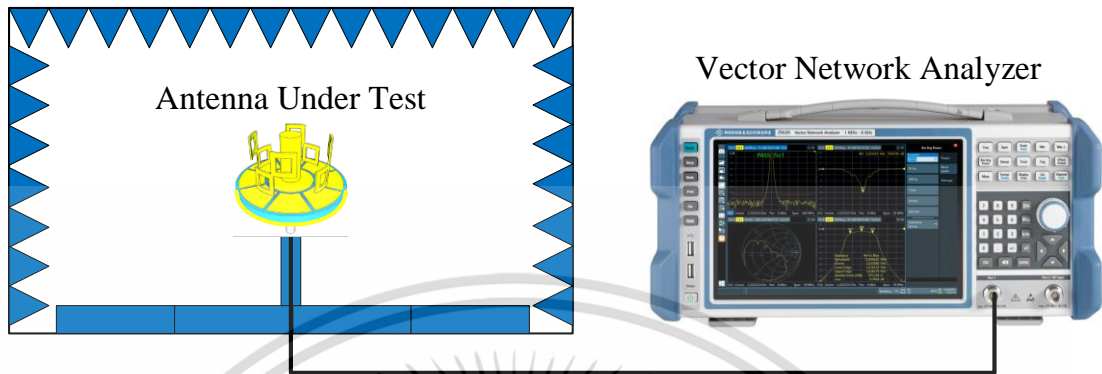
- ห้องไร้การสะท้อนของคลื่นไมโครเวฟ (Microwave anechoic chamber)
- เครื่องวิเคราะห์โครงข่าย (Vector network analyzer)
- สายอากาศกันหอยมาตรฐาน
- สายนำสัญญาณที่มีอิมพีแดนซ์ 50 Ω
- คอนเนคเตอร์

5.3.1 ค่าสัมประสิทธิ์การสะท้อน $|S_{11}|$ ของสายอากาศต้นแบบ

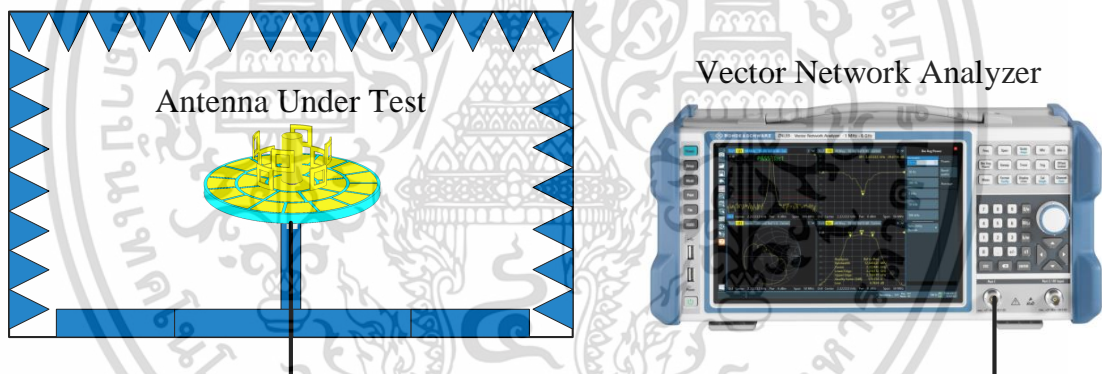
การทดสอบค่าสัมประสิทธิ์การสะท้อน $|S_{11}|$ ของสายอากาศต้นแบบสามารถกระทำได้โดยเชื่อมต่อสายอากาศต้นแบบสายอากาศโมโนโพลโพลาริซวงกลมแพร่กระจายคลื่นรอบทิศทาง (OCPA) ร่วมกับระนาบกราวด์ตัวนำแม่เหล็กประดิษฐ์แบบรูปวงแหวนเดี่ยว (SA-AMC) และสายอากาศโมโนโพลโพลาริซวงกลมแพร่กระจายคลื่นรอบทิศทาง (OCPA) ร่วมกับระนาบกราวด์ตัวนำแม่เหล็กประดิษฐ์แบบรูปวงแหวนคู่ (DA-AMC) เข้ากับสายนำสัญญาณโดยใช้พอร์ตที่ 1 ของเครื่องวิเคราะห์โครงข่ายยี่ห้อ Rohde & Schwarz รุ่น ZNLE6 ซึ่งแสดงได้ดังรูปที่ 5.4 และ 5.5

เอกสารนี้เป็นเอกสารที่สงวนลิขสิทธิ์ การใช้งานโดยไม่ได้รับอนุญาตถือว่าผิดกฎหมาย
ไม่ว่ากรณีใดๆ ทั้งสิ้น อีกทั้งห้ามมิให้ดัดแปลงเนื้อหา และต้องอ้างอิงถึงเจ้าของเอกสารทุกครั้งที่มีการนำไปใช้

การทดสอบโดยสายอากาศจะถูกวางในห้องไร้การสะท้อน ทำการเก็บข้อมูลและวิเคราะห์ผลเปรียบเทียบระหว่างผลการจำลองกับผลการทดสอบสามารถแสดงได้ดังรูปที่ 5.6 และ 5.7 ตามลำดับ



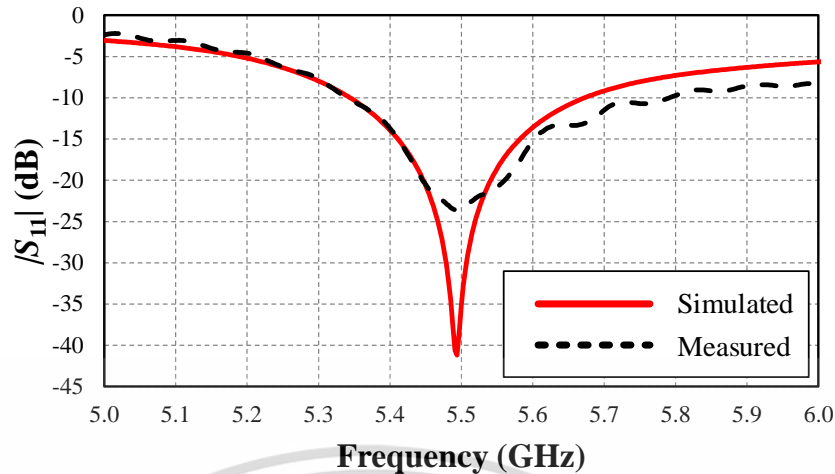
รูปที่ 5.4 การทดสอบค่าสัมประสิทธิ์การสะท้อน $|S_{11}|$ ของสายอากาศโมโนโพลโพลาไรซ์วงกลม แพร่กระจายคลื่นรอบทิศทาง (OCPA) ร่วมกับระนาบกราวด์ตัวนำแม่เหล็กประดิษฐ์แบบรูปวงแหวนเดี่ยว (SA-AMC)



รูปที่ 5.5 การทดสอบค่าสัมประสิทธิ์การสะท้อน $|S_{11}|$ ของสายอากาศโมโนโพลโพลาไรซ์วงกลม แพร่กระจายคลื่นรอบทิศทาง (OCPA) ร่วมกับระนาบกราวด์ตัวนำแม่เหล็กประดิษฐ์แบบรูปวงแหวนคู่ (DA-AMC)

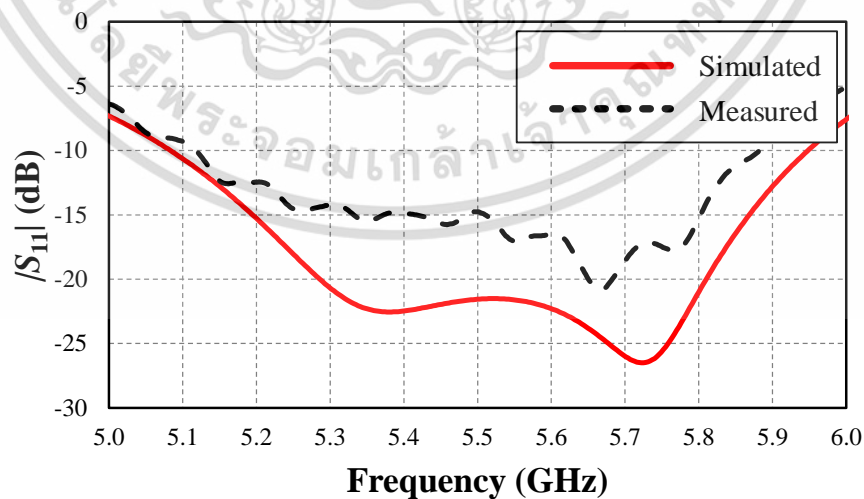
จากรูปที่ 5.6 ผลการเปรียบเทียบระหว่างผลการจำลองและผลการทดสอบ $|S_{11}|$ ของสายอากาศโมโนโพลโพลาไรซ์วงกลม แพร่กระจายคลื่นรอบทิศทาง (OCPA) ร่วมกับระนาบกราวด์ตัวนำแม่เหล็กประดิษฐ์แบบรูปวงแหวนเดี่ยว (SA-AMC) โดยผลการจำลองของ $|S_{11}| \leq -10$ dB มีช่วงความถี่ 5.34 GHz – 5.69 GHz คิดเป็น 6.34% ของความถี่กลาง 5.5 GHz และผลการทดสอบของ $|S_{11}| \leq -10$ dB มีช่วงความถี่ 5.34 GHz – 5.80 GHz คิดเป็น 8.26% ของความถี่กลาง 5.5 GHz ค่า $|S_{11}|$ ต่ำสุดของผลการจำลองและทดสอบคือ 5.49 GHz และพบว่าผลการทดสอบมีค่า $|S_{11}|$ แบนด์วิดท์มากกว่าผลการจำลองเล็กน้อยโดยเฉพาะอย่างยิ่งในช่วงย่านความถี่สูง

เอกสารนี้เป็นเอกสารที่สงวนไว้สำหรับการใช้งานเพื่อการศึกษาเท่านั้น ไม่อนุญาตให้นำไปใช้ประโยชน์ด้านการค้า ไม่ว่าจะกรณีใดๆ ทั้งสิ้น อีกทั้งห้ามมิให้ดัดแปลงเนื้อหา และต้องอ้างอิงถึงเจ้าของเอกสารทุกครั้งที่มีการนำไปใช้



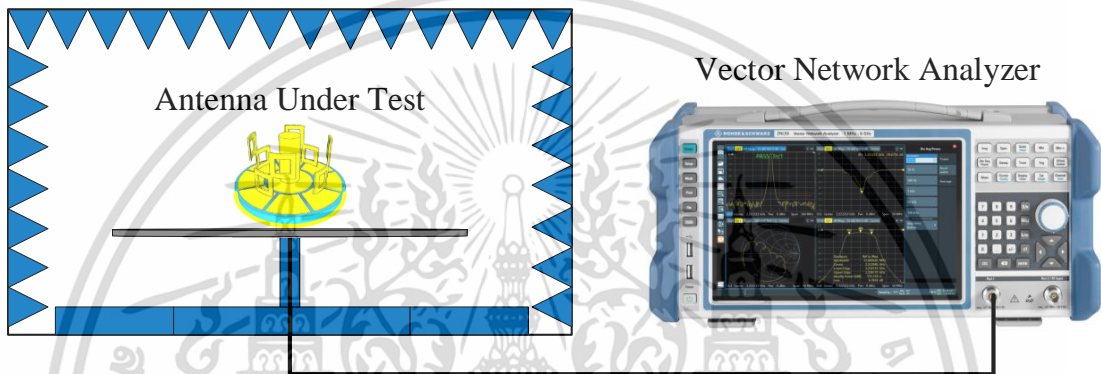
รูปที่ 5.6 การเปรียบเทียบระหว่างผลการจำลองและผลการทดสอบ $|S_{11}|$ ของสายอากาศโมโนโพล โพลาริซิงกลมแพร์กระจายคลื่นรอบทิศทาง (OCPA) ร่วมกับระนาบกราวด์ตัวนำแม่เหล็กประดิษฐ์แบบรูปวงแหวนเดี่ยว (SA-AMC)

จากรูปที่ 5.7 การเปรียบเทียบระหว่างผลการจำลองและผลการทดสอบ $|S_{11}|$ ของสายอากาศโมโนโพลโพลาริซิงกลมแพร์กระจายคลื่นรอบทิศทาง (OCPA) ร่วมกับระนาบกราวด์ตัวนำแม่เหล็กประดิษฐ์แบบรูปวงแหวนคู่ (DA-AMC) ต้นแบบ โดยผลการจำลองของ $|S_{11}| \leq -10$ dB มีช่วงความถี่ 5.08 GHz – 5.95 GHz คิดเป็น 15.77% ของความถี่กลาง 5.5 GHz และผลการทดสอบของ $|S_{11}| \leq -10$ dB มีช่วงความถี่ 5.11 GHz – 5.89 GHz คิดเป็น 14.36% ของความถี่กลาง 5.5 GHz ซึ่งพบว่าผลการทดสอบมีค่า $|S_{11}|$ แบนด์วิดท์แคบกว่าผลการจำลองเล็กน้อย โดยเฉพาะอย่างยิ่งในช่วงย่านความถี่สูงอันเนื่องมาจากการสร้างสายอากาศต้นแบบมีความคลาดเคลื่อนเล็กน้อยเกี่ยวกับตำแหน่งการวางของพาราซิติกส์เหลี่ยมที่เชื่อมต่อกันในแนวทแยงทำให้ผลการทดสอบ $|S_{11}|$ ของสายอากาศต้นแบบคลาดเคลื่อนกับผลการจำลองเล็กน้อย แต่มีแนวโน้มไปในทิศทางเดียวกัน

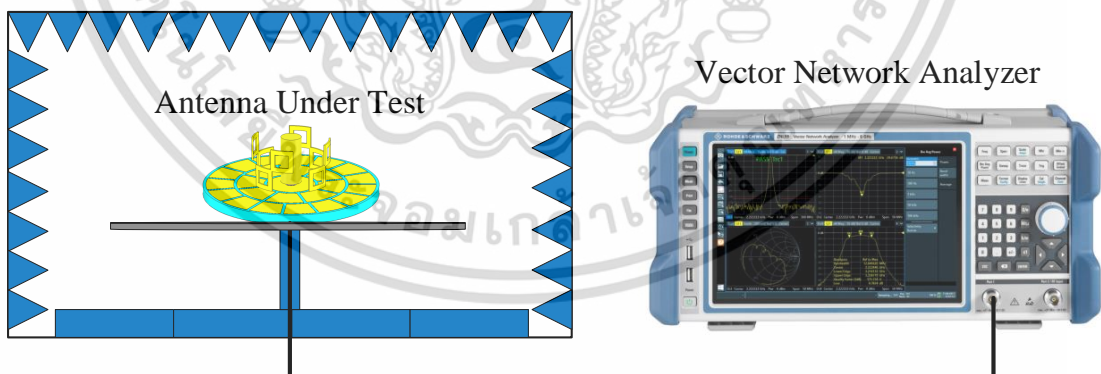


รูปที่ 5.7 การเปรียบเทียบระหว่างผลการจำลองและผลการทดสอบ $|S_{11}|$ ของสายอากาศโมโนโพล โพลาริซิงกลมแพร์กระจายคลื่นรอบทิศทาง (OCPA) ร่วมกับระนาบกราวด์ตัวนำแม่เหล็กประดิษฐ์ เอกสารนี้เป็นเอกสารที่สงวนไว้สำหรับการใช้งานแบบรูปวงแหวนคู่ (DA-AMC) อนุญาตให้นำไปใช้ประโยชน์ด้านการค้า ไม่ว่าจะกรณีใดๆ ทั้งสิ้น อีกทั้งห้ามมิให้ดัดแปลงเนื้อหา และต้องอ้างอิงถึงเจ้าของเอกสารทุกครั้งที่มีการนำไปใช้

การทดสอบค่าสัมประสิทธิ์การสะท้อน $|S_{11}|$ ของสายอากาศต้นแบบโมโนโพลโพลาริซวงกลมแพร์กระจายคลื่นรอบทิศทาง (OCPA) ร่วมกับระนาบกราวด์ตัวนำแม่เหล็กประดิษฐ์แบบรูปวงแหวนเดี่ยว (SA-AMC) และสายอากาศโมโนโพลโพลาริซวงกลมแพร์กระจายคลื่นรอบทิศทาง (OCPA) ร่วมกับระนาบกราวด์ตัวนำแม่เหล็กประดิษฐ์แบบรูปวงแหวนคู่ (DA-AMC) ที่ทำการขยายระนาบกราวด์ด้านล่างของตัวนำแม่เหล็กประดิษฐ์ที่กำหนดขนาดรัศมี $R_g = 119.2$ mm และ 188.4 mm เพื่อเป็นการศึกษาถึงผลกระทบที่เกิดขึ้นของค่าสัมประสิทธิ์การสะท้อน $|S_{11}|$ ที่ได้รับจากการเปลี่ยนแปลงของระนาบกราวด์ตัวนำแม่เหล็กประดิษฐ์ ซึ่งแสดงการติดตั้งสายอากาศในการทดสอบได้ดังรูปที่ 5.8 และ 5.9 ตามลำดับ โดยทำการเก็บข้อมูลและวิเคราะห์ผลเปรียบเทียบระหว่างผลการจำลองกับผลการทดสอบสามารถแสดงได้ดังรูปที่ 5.10 และ 5.11 ตามลำดับ



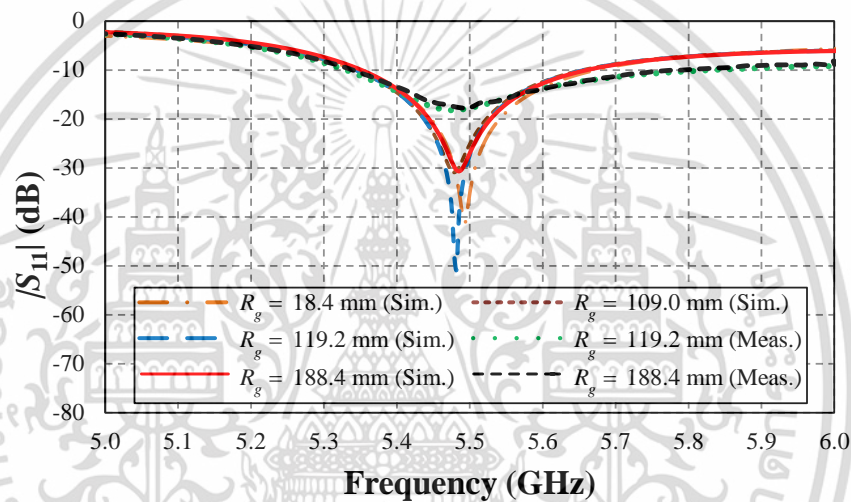
รูปที่ 5.8 การทดสอบค่าสัมประสิทธิ์การสะท้อน $|S_{11}|$ ของสายอากาศโมโนโพลโพลาริซวงกลมแพร์กระจายคลื่นรอบทิศทาง (OCPA) ร่วมกับระนาบกราวด์ตัวนำแม่เหล็กประดิษฐ์แบบรูปวงแหวนเดี่ยว (SA-AMC) ที่ทำการขยายรัศมีระนาบกราวด์ ($R_g = 119.2$ mm และ 188.4 mm)



รูปที่ 5.9 การทดสอบค่าสัมประสิทธิ์การสะท้อน $|S_{11}|$ ของสายอากาศโมโนโพลโพลาริซวงกลมแพร์กระจายคลื่นรอบทิศทาง (OCPA) ร่วมกับระนาบกราวด์ตัวนำแม่เหล็กประดิษฐ์แบบรูปวงแหวนคู่ (DA-AMC) ที่ทำการขยายรัศมีระนาบกราวด์ ($R_g = 119.2$ mm)

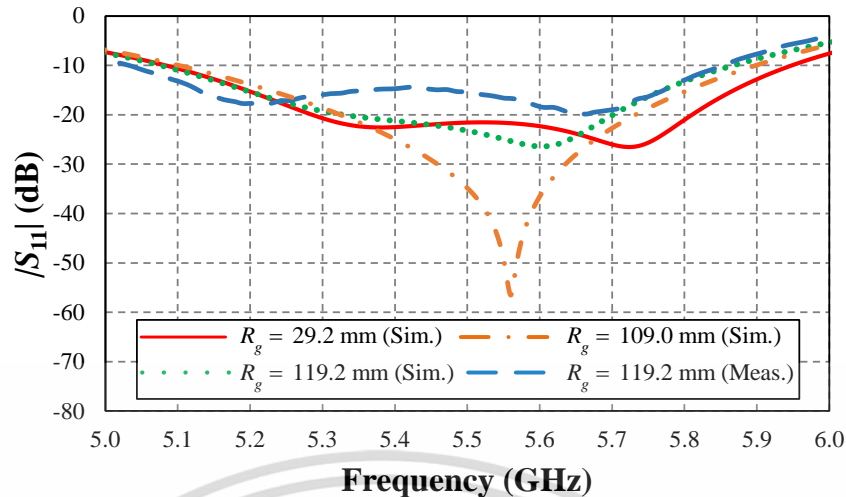
เอกสารนี้เป็นเอกสารที่สงวนไว้สำหรับการใช้งานเพื่อการศึกษาเท่านั้น ไม่อนุญาตให้นำไปใช้ประโยชน์ด้านการค้า ไม่ว่าจะกรณีใดๆ ทั้งสิ้น อีกทั้งห้ามมิให้ดัดแปลงเนื้อหา และต้องอ้างอิงถึงเจ้าของเอกสารทุกครั้งที่มีการนำไปใช้

จากรูปที่ 5.10 แสดงการเปรียบเทียบระหว่างผลการจำลองและผลการทดสอบ $|S_{11}|$ ของสายอากาศโมโนโพลโพลาริซิงกลมแพร่กระจายคลื่นรอบทิศทาง (OCPA) ร่วมกับระนาบกราวนด์ตัวนำแม่เหล็กประดิษฐ์แบบรูปร่างแหวนเดี่ยว (SA-AMC) ที่ทำการขยายรัศมีระนาบกราวนด์ ($R_g = 119.2$ mm และ 188.4 mm) โดยผลการจำลองของ $|S_{11}| \leq -10$ dB มีช่วงความถี่ที่เปลี่ยนแปลงอยู่ระหว่าง 5.33 GHz – 5.69 GHz และผลการทดสอบของ $|S_{11}| \leq -10$ dB มีช่วงความถี่ที่เปลี่ยนแปลงอยู่ระหว่าง 5.33 GHz – 5.85 GHz ซึ่งพบว่าผลการทดสอบมีค่า $|S_{11}|$ แบนด์วิดท์มากกว่าผลการจำลองเล็กน้อยโดยเฉพาะอย่างยิ่งในช่วงย่านความถี่สูง ในส่วนของผลกระทบที่เกิดขึ้นของการเปลี่ยนขนาดรัศมีระนาบกราวนด์ทั้งผลการจำลองและทดสอบพบว่ามีความเปลี่ยนแปลงของค่า $|S_{11}|$ แบนด์วิดท์น้อยมาก จึงสรุปได้ว่าสายอากาศโครงสร้าง B ทนต่อผลกระทบของการเปลี่ยนขนาดระนาบกราวนด์



รูปที่ 5.10 การเปรียบเทียบระหว่างผลการจำลองและผลการทดสอบ $|S_{11}|$ ของสายอากาศโมโนโพลโพลาริซิงกลมแพร่กระจายคลื่นรอบทิศทาง (OCPA) ร่วมกับระนาบกราวนด์ตัวนำแม่เหล็กประดิษฐ์แบบรูปร่างแหวนเดี่ยว (SA-AMC) ที่ทำการขยายรัศมีระนาบกราวนด์ ($R_g = 119.2$ mm และ 188.4 mm)

จากรูปที่ 5.11 แสดงการเปรียบเทียบระหว่างผลการจำลองและผลการทดสอบ $|S_{11}|$ ของสายอากาศโมโนโพลโพลาริซิงกลมแพร่กระจายคลื่นรอบทิศทาง (OCPA) ร่วมกับระนาบกราวนด์ตัวนำแม่เหล็กประดิษฐ์แบบรูปร่างแหวนคู่ (DA-AMC) ที่ทำการขยายรัศมีระนาบกราวนด์ $R_g = 119.2$ mm โดยผลการจำลองของ $|S_{11}| \leq -10$ dB มีช่วงความถี่ที่เปลี่ยนแปลงอยู่ที่ 5.06 GHz – 5.95 GHz และผลการทดสอบของ $|S_{11}| \leq -10$ dB มีช่วงความถี่ที่เปลี่ยนแปลงอยู่ระหว่าง 5.01 GHz – 5.85 GHz ซึ่งพบว่าผลการทดสอบมีค่า $|S_{11}|$ แบนด์วิดท์ที่ใกล้เคียงกับผลการจำลอง เพียงแต่ผลการทดสอบความถี่เลื่อนลงในช่วงความถี่ต่ำเล็กน้อย ในส่วนของผลกระทบที่เกิดขึ้นของการเปลี่ยนขนาดรัศมีระนาบกราวนด์ทั้งผลการจำลองและทดสอบพบว่ามีความเปลี่ยนแปลงของค่า $|S_{11}|$ แบนด์วิดท์น้อย จึงสรุปได้ว่าสายอากาศโครงสร้าง C ทนต่อผลกระทบของการเปลี่ยนขนาดระนาบกราวนด์ได้ดี



รูปที่ 5.11 การเปรียบเทียบระหว่างผลการจำลองและผลการทดสอบ $|S_{11}|$ ของสายอากาศโมโนโพล โพลาริซิงกลมแพร์กระจายคลื่นรอบทิศทาง (OCPA) ร่วมกับระนาบกราวด์ตัวนำแม่เหล็กประดิษฐ์แบบรูปร่างวงแหวนคู่ (DA-AMC) ที่ทำการขยายรัศมีระนาบกราวด์ ($R_g = 119.2$ mm)

5.3.2 การทดสอบอัตราส่วนแกนของสายอากาศ

การทดสอบอัตราส่วนแกน อัตราขยาย ประสิทธิภาพและแบบรูปการแพร่กระจายคลื่น จะต้องกระทำภายในห้องไร้การสะท้อนคลื่นไมโครเวฟ โดยจะทำการทดสอบสายอากาศต้นแบบทั้ง 2 โครงสร้าง ได้แก่สายอากาศโมโนโพลโพลาริซิงกลมแพร์กระจายคลื่นรอบทิศทาง (OCPA) ร่วมกับระนาบกราวด์ตัวนำแม่เหล็กประดิษฐ์แบบรูปร่างวงแหวนเดี่ยว (SA-AMC) และสายอากาศโมโนโพลโพลาริซิงกลมแพร์กระจายคลื่นรอบทิศทาง (OCPA) ร่วมกับระนาบกราวด์ตัวนำแม่เหล็กประดิษฐ์แบบรูปร่างวงแหวนคู่ (DA-AMC) ซึ่งจะทำการทดสอบในแบบสนามระยะไกล (R) โดยการคำนวณระยะห่างระหว่างสายอากาศภาครับ (สายอากาศต้นแบบ) และสายอากาศภาคส่ง (สายอากาศแบบกันหอย) จะต้องเป็นไปตามเงื่อนไขดังสมการที่ 5.1

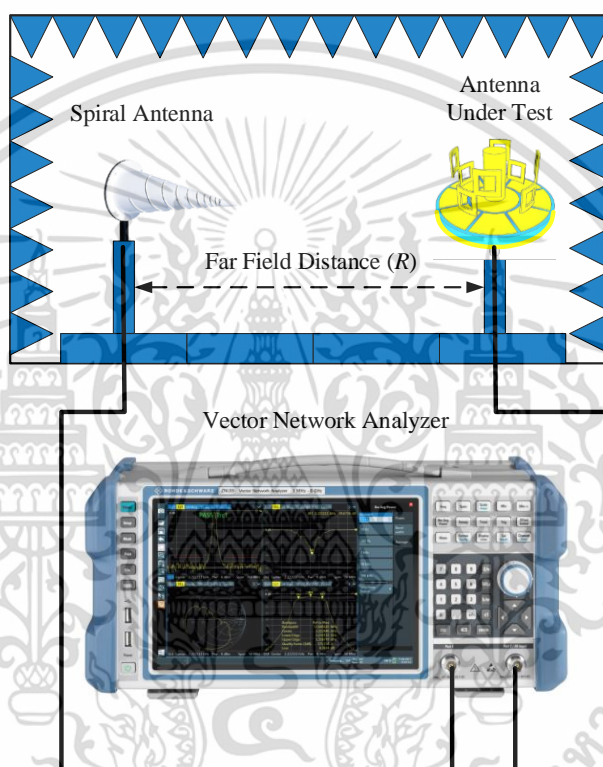
$$R \geq \frac{2(D^2)}{\lambda} \quad (5.1)$$

โดยที่

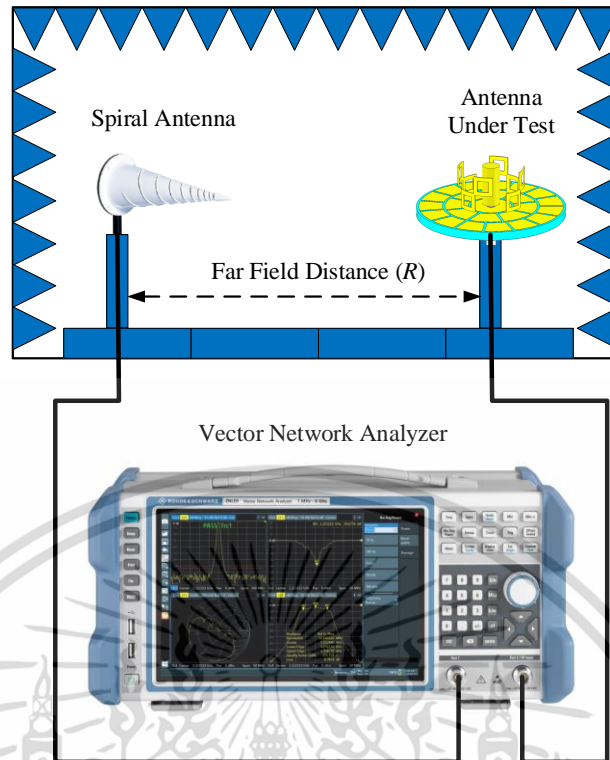
- R คือ ระยะของสนามระยะไกล (m)
- D คือ มิติที่ยาวที่สุดของสายอากาศต้นแบบ (m)
- λ คือ ความยาวคลื่นในอากาศ ณ ที่ความถี่ใช้งาน

การทดสอบอัตราส่วนแกน อัตราขยาย และแบบรูปการแพร่กระจายคลื่นของสายอากาศต้นแบบของสายอากาศโมโนโพลโพลาริซิงกลมแพร์กระจายคลื่นรอบทิศทาง (OCPA) ร่วมกับระนาบกราวด์ตัวนำแม่เหล็กประดิษฐ์แบบรูปร่างวงแหวนเดี่ยว (SA-AMC) และสายอากาศโมโนโพลโพลาริซิงกลมแพร์กระจายคลื่นรอบทิศทาง (OCPA) ร่วมกับระนาบกราวด์ตัวนำแม่เหล็กประดิษฐ์แบบรูปร่างวงแหวนคู่ (DA-AMC) จะกระทำโดยทดสอบในห้องไร้การสะท้อนของคลื่นไมโครเวฟ ซึ่งเป็นเอกสารนี้เป็นเอกสารที่สงวนไว้สำหรับการใช้งานเพื่อการศึกษาเท่านั้น ไม่อนุญาตให้นำไปใช้ประโยชน์ด้านการค้า ไม่ว่าจะกรณีใดๆ ทั้งสิ้น อีกทั้งห้ามมิให้ดัดแปลงเนื้อหา และต้องอ้างอิงถึงเจ้าของเอกสารทุกครั้งที่มีการนำไปใช้

ห้องที่มีสภาวะแวดล้อมที่ใกล้เคียงกับช่องว่างอิสระ (Free space) โดยการทดสอบอัตราส่วนแกนของสายอากาศต้นแบบได้เลือกใช้สายอากาศภาคส่งเป็นสายอากาศแบบก้นหอย (Spiral Antennas) รุ่น ETS Lindgren 3102 ซึ่งมีคุณลักษณะการโพลาไรซ์เป็นแบบวงกลมหมุนซ้ายจำนวน 1 ตัว และการโพลาไรซ์เป็นแบบวงกลมหมุนขวาจำนวน 1 ตัว โดยต้นแบบสายอากาศโมนโพลโพลาไรซ์วงกลมแพร์กระจายคลื่นรอบทิศทาง (OCPA) ร่วมกับระนาบกราวด์ตัวนำแม่เหล็กประดิษฐ์แบบรูปวงแหวนเดี่ยว (SA-AMC) และต้นแบบสายอากาศโมนโพลโพลาไรซ์วงกลมแพร์กระจายคลื่นรอบทิศทาง (OCPA) ร่วมกับระนาบกราวด์ตัวนำแม่เหล็กประดิษฐ์แบบรูปวงแหวนคู่ (DA-AMC) นั้นเป็นสายอากาศภาครับแสดงได้ดังรูปที่ 5.12 และ 5.13 ตามลำดับ



รูปที่ 5.12 การทดสอบอัตราส่วนแกนของสายอากาศโมนโพลโพลาไรซ์วงกลมแพร์กระจายคลื่นรอบทิศทาง (OCPA) ร่วมกับระนาบกราวด์ตัวนำแม่เหล็กประดิษฐ์แบบรูปวงแหวนเดี่ยว (SA-AMC) ต้นแบบ



รูปที่ 5.13 การทดสอบอัตราส่วนแกนของสายอากาศโมโนโพลโพลาริซิงวงกลมแพร่กระจายคลื่นรอบทิศทาง (OCPA) ร่วมกับระบบกราวด์ตัวนำแม่เหล็กประดิษฐ์แบบรูปร่างแหวนคู่ (DA-AMC) ต้นแบบ

จากรูปที่ 5.12 และ 5.13 สายอากาศภาคส่งซึ่งเป็นสายอากาศแบบกันหอยที่ใช้ในการทดสอบจะทำการติดตั้งและทดสอบผลได้ทั้งโพลาริซิงร่วม (Co-polarization) และโพลาริซิงไขว้ (Cross-polarization) เพื่อใช้ในการคำนวณหาอัตราส่วนแกน ซึ่งสามารถคำนวณหาอัตราส่วนแกนได้ดังสมการที่ 5.2 ด้านล่าง

$$AR(\text{dB}) = 20 \log \left(\frac{|E_{co-pol}| + |E_{cross-pol}|}{|E_{co-pol}| - |E_{cross-pol}|} \right), \quad 0 \leq AR \leq \infty \quad (5.2)$$

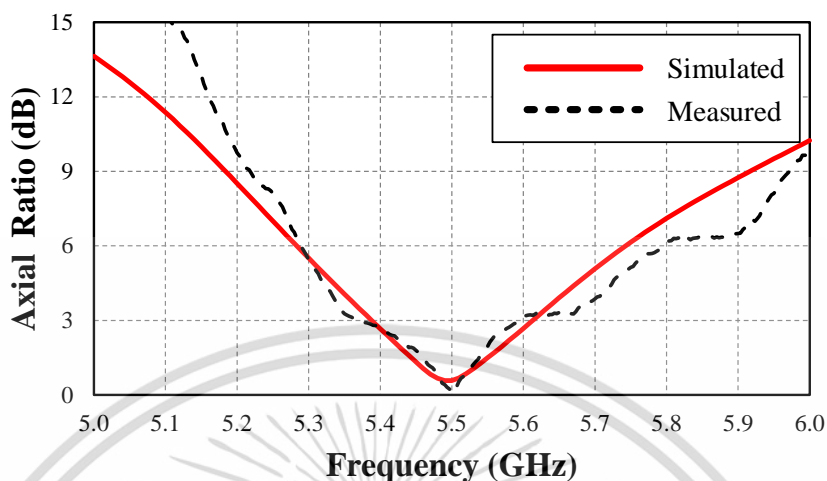
โดยที่

$$\begin{aligned} |E_{co-pol}| & \text{ คือ สนามไฟฟ้าโพลาริซิงร่วม} \\ |E_{cross-pol}| & \text{ คือ สนามไฟฟ้าโพลาริซิงไขว้} \end{aligned}$$

จากรูปที่ 5.14 การเปรียบเทียบระหว่างผลการจำลองและผลการทดสอบอัตราส่วนแกน (Axial ratio : AR) ของสายอากาศโมโนโพลโพลาริซิงวงกลมแพร่กระจายคลื่นรอบทิศทาง (OCPA) ร่วมกับระบบกราวด์ตัวนำแม่เหล็กประดิษฐ์แบบรูปร่างแหวนเดี่ยว (SA-AMC) ต้นแบบ โดยผลการจำลองของอัตราส่วนแกน ($AR \leq 3 \text{ dB}$) มีช่วงความถี่ครอบคลุม 5.38 GHz – 5.62 GHz คิดเป็น 4.36% ของความถี่กลาง 5.5 GHz และผลการทดสอบของอัตราส่วนแกน ($AR \leq 3 \text{ dB}$) มีช่วงความถี่

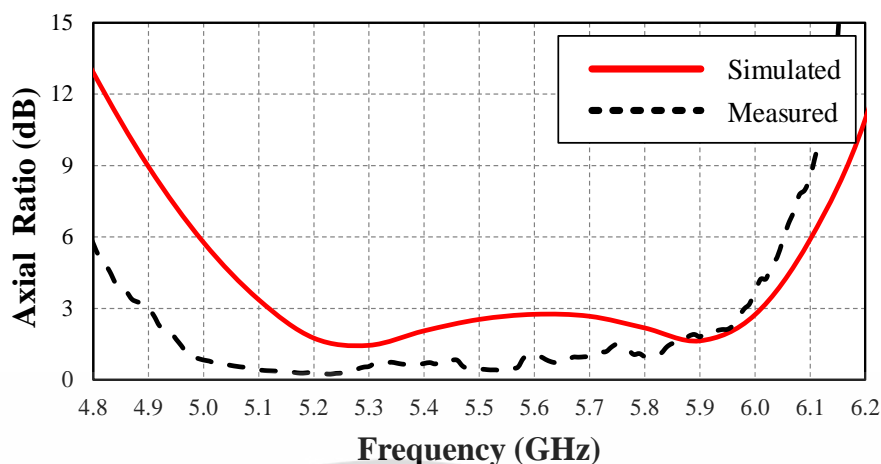
เอกสารนี้เป็นเอกสารที่สงวนไว้สำหรับการใช้งานเพื่อการศึกษาเท่านั้น ไม่อนุญาตให้นำไปใช้ประโยชน์ด้านการค้า
ไม่ว่ากรณีใดๆ ทั้งสิ้น อีกทั้งห้ามมิให้ดัดแปลงเนื้อหา และต้องอ้างอิงถึงเจ้าของเอกสารทุกครั้งที่มีการนำไปใช้

5.36 GHz – 5.60 GHz คิดเป็น 4.38% ของความถี่กลาง 5.5 GHz ซึ่งพบว่าผลการจำลองและทดสอบอัตราส่วนแกนมีแนวโน้มไปในทิศทางเดียวกัน



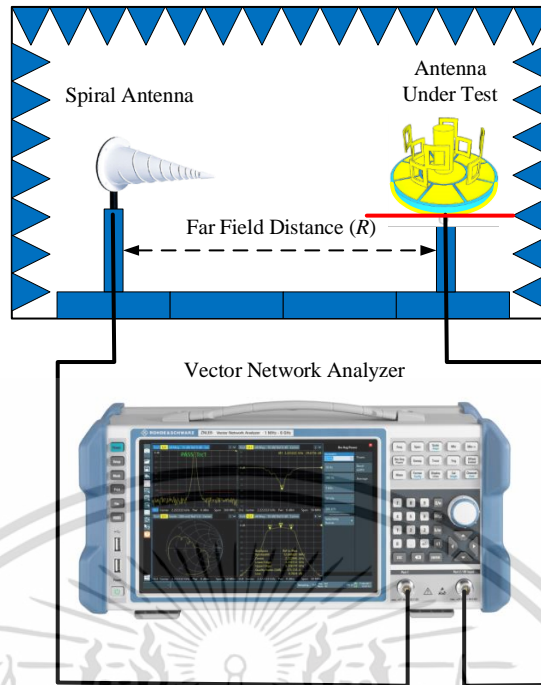
รูปที่ 5.14 การเปรียบเทียบระหว่างผลการจำลองและผลการทดสอบอัตราส่วนแกนของสายอากาศโมโนโพลโพลาริซิงกลมแพร่กระจายคลื่นรอบทิศทาง (OCPA) ร่วมกับระนาบกราวด์ตัวนำแม่เหล็กประดิษฐ์แบบรูปวงแหวนเดี่ยว (SA-AMC) ต้นแบบ

จากรูปที่ 5.15 แสดงผลการเปรียบเทียบระหว่างผลการจำลองและผลการทดสอบอัตราส่วนแกน (Axial ratio : AR) ของสายอากาศโมโนโพลโพลาริซิงกลมแพร่กระจายคลื่นรอบทิศทาง (OCPA) ร่วมกับระนาบกราวด์ตัวนำแม่เหล็กประดิษฐ์แบบรูปวงแหวนคู่ (DA-AMC) ต้นแบบ โดยผลการจำลองของอัตราส่วนแกน ($AR \leq 3$ dB) มีช่วงความถี่ครอบคลุม 5.12 GHz – 6.01 GHz คิดเป็น 15.99% ของความถี่กลาง 5.5 GHz และผลการทดสอบของอัตราส่วนแกน ($AR \leq 3$ dB) มีช่วงความถี่ 4.9 GHz – 5.98 GHz คิดเป็น 19.85% ของความถี่กลาง 5.5 GHz ซึ่งพบว่าผลการทดสอบมีการเลื่อนความถี่ไปทางด้านความถี่ต่ำเมื่อเปรียบเทียบกับผลการจำลอง เนื่องจากสายอากาศต้นแบบได้ถูกประดิษฐ์ขึ้นโดยนักวิจัยเอง อาจจะมีส่วนพาราซิติคที่ความไวต่ออัตราส่วนแกนจึงทำให้ผลทดสอบคลาดเคลื่อนจากการจำลองผลในโปรแกรมเล็กน้อย

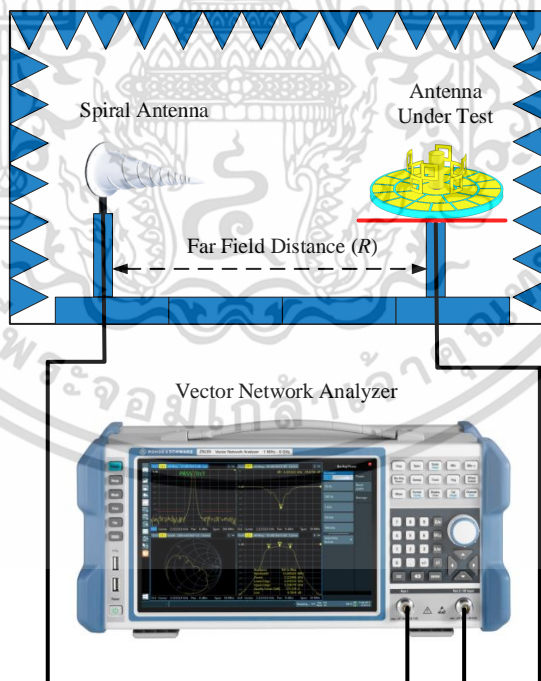


รูปที่ 5.15 การเปรียบเทียบผลการจำลองและผลการทดสอบของอัตราส่วนแกนของสายอากาศโมโนโพลโพลาริซิงกลมแพร์กระจายคลื่นรอบทิศทาง (OCPA) ร่วมกับระนาบกราวด์ตัวนำแม่เหล็กประดิษฐ์แบบรูปวงแหวนคู่ (DA-AMC) ต้นแบบ

การทดสอบอัตราส่วนแกนของสายอากาศต้นแบบของสายอากาศโมโนโพลโพลาริซิงกลมแพร์กระจายคลื่นรอบทิศทาง (OCPA) ร่วมกับระนาบกราวด์ตัวนำแม่เหล็กประดิษฐ์แบบรูปวงแหวนเดี่ยว (SA-AMC) และสายอากาศโมโนโพลโพลาริซิงกลมแพร์กระจายคลื่นรอบทิศทาง (OCPA) ร่วมกับระนาบกราวด์ตัวนำแม่เหล็กประดิษฐ์แบบรูปวงแหวนคู่ (DA-AMC) ต้นแบบ ที่จะทำให้การเพิ่มขนาดระนาบกราวด์ด้านล่างของตัวนำแม่เหล็กประดิษฐ์ของสายอากาศทั้งโครงสร้าง B และ C โดยจะกระทำโดยทดสอบในห้องไร้การสะท้อนของคลื่นไมโครเวฟเช่นเดียวกันกับกรณีก่อนหน้านี้ ซึ่งเป็นห้องที่มีสถานะแวลด์ล้อมที่ใกล้เคียงกับช่องว่างอิสระ (Free space) โดยการทดสอบอัตราส่วนแกนของสายอากาศต้นแบบได้เลือกใช้สายอากาศภาคส่งเป็นสายอากาศแบบก้นหอย (Spiral Antennas) รุ่น ETS Lindgren 3102 ซึ่งมีคุณลักษณะการโพลาไรซ์เป็นแบบวงกลมหมุนซ้ายจำนวน 1 ตัว และการโพลาไรซ์เป็นแบบวงกลมหมุนขวาจำนวน 1 ตัว โดยสายอากาศโมโนโพลโพลาริซิงกลมแพร์กระจายคลื่นรอบทิศทาง (OCPA) ร่วมกับระนาบกราวด์ตัวนำแม่เหล็กประดิษฐ์แบบรูปวงแหวนเดี่ยว (SA-AMC) ที่ทำการขยายรัศมีระนาบกราวด์ที่ขนาด $R_g = 119.2$ mm และ 188.4 mm วางทดสอบในระยะสนามระยะไกล ในส่วนสายอากาศโมโนโพลโพลาริซิงกลมแพร์กระจายคลื่นรอบทิศทาง (OCPA) ร่วมกับระนาบกราวด์ตัวนำแม่เหล็กประดิษฐ์แบบรูปวงแหวนคู่ (DA-AMC) ต้นแบบก็จะทำการขยายรัศมีระนาบกราวด์ที่ $R_g = 119.2$ mm เช่นเดียวกัน โดยวัสดุตัวนำที่ใช้ในการขยายระนาบกราวด์คือ แผ่นอลูมิเนียมหนา 1 mm รูปวงกลม ซึ่งสายอากาศที่นำเสนอจะเป็นสายอากาศภาครับ แสดงได้ดังรูปที่ 5.16 และ 5.17 ตามลำดับ



รูปที่ 5.16 การทดสอบอัตราส่วนแกนของสายอากาศโมโนโพลโพลาริซิงวงกลมแพร่กระจายคลื่นรอบทิศทาง (OCPA) ร่วมกับระนาบกราวด์ตัวนำแม่เหล็กประดิษฐ์แบบรูปวงแหวนเดี่ยว (SA-AMC) ที่ทำการขยายรัศมีระนาบกราวด์ ($R_g = 119.2$ mm และ 188.4 mm)

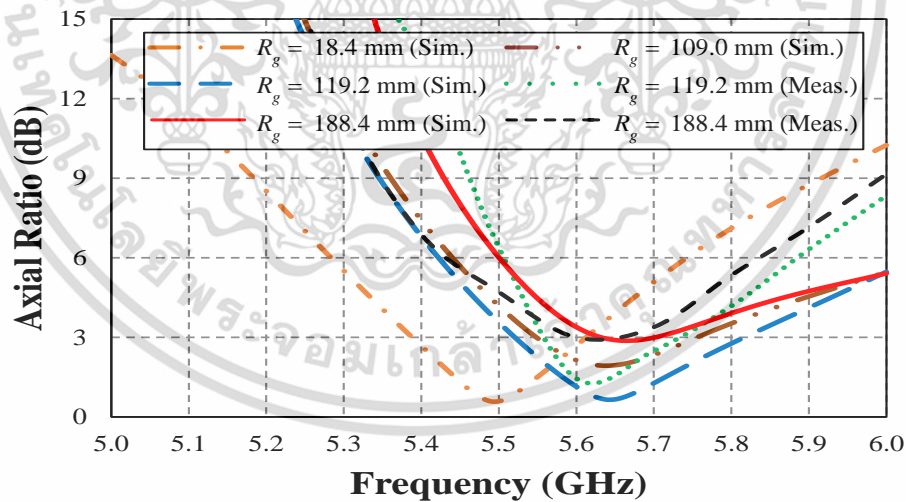


รูปที่ 5.17 การทดสอบอัตราส่วนแกนของสายอากาศโมโนโพลโพลาริซิงวงกลมแพร่กระจายคลื่นรอบทิศทาง (OCPA) ร่วมกับระนาบกราวด์ตัวนำแม่เหล็กประดิษฐ์แบบรูปวงแหวนคู่ (DA-AMC) ที่ทำการขยายรัศมีระนาบกราวด์ ($R_g = 119.2$ mm)

เอกสารนี้เป็นเอกสารที่สงวนไว้สำหรับการใช้งานเพื่อการศึกษาเท่านั้น ไม่อนุญาตให้นำไปใช้ประโยชน์ด้านการค้า ไม่ว่าจะกรณีใดๆ ทั้งสิ้น อีกทั้งห้ามมิให้ดัดแปลงเนื้อหา และต้องอ้างอิงถึงเจ้าของเอกสารทุกครั้งที่มีการนำไปใช้

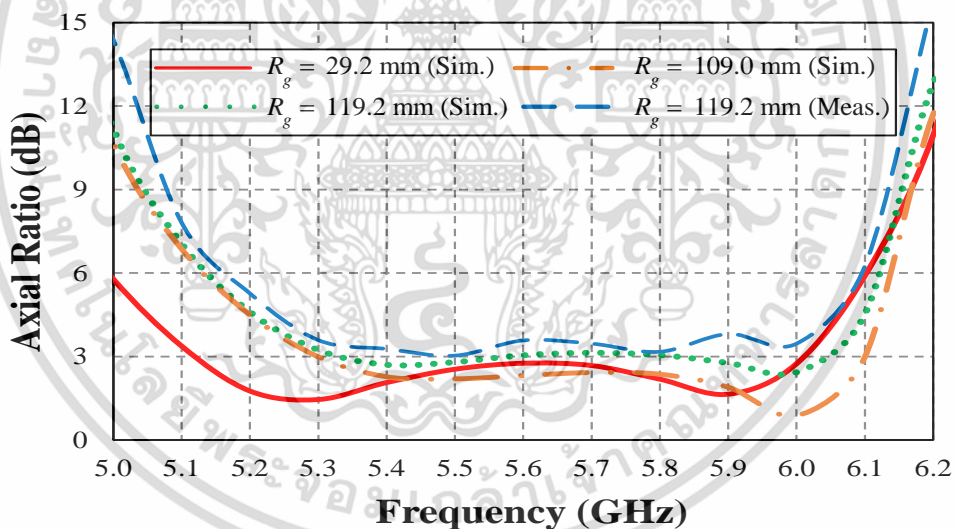
จากรูปที่ 5.16 และ 5.17 สายอากาศภาคส่งซึ่งเป็นสายอากาศแบบก้นหอยที่ใช้ในการทดสอบจะทำการติดตั้งและทดสอบผลได้ทั้งโพลาไรซ์ร่วม (Co-polarization) และโพลาไรซ์ไขว้ (Cross-polarization) เพื่อใช้ในการคำนวณหาค่าอัตราส่วนแกน ซึ่งสามารถคำนวณหาอัตราส่วนแกนได้จากสมการที่ 5.2 ที่ได้กล่าวไว้ในเนื้อหาก่อนหน้านี้แล้ว

จากรูปที่ 5.18 แสดงการเปรียบเทียบระหว่างผลการจำลองและผลการทดสอบอัตราส่วนแกน (Axial ratio : AR) ของสายอากาศโมโนโพลโพลาไรซ์วงกลมแพร่กระจายคลื่นรอบทิศทาง (OCPA) ร่วมกับระนาบกราวด์ตัวนำแม่เหล็กประดิษฐ์แบบรูปวงแหวนเดี่ยว (SA-AMC) ต้นแบบ ที่ทำการขยายรัศมีระนาบกราวด์ ($R_g = 119.2$ mm และ 188.4 mm) โดยผลการจำลองของอัตราส่วนแกน ($AR \leq 3$ dB) ที่ $R_g = 119.2$ mm มีช่วงความถี่ครอบคลุมอยู่ระหว่าง 5.51 GHz – 5.82 GHz และผลการทดสอบของอัตราส่วนแกน ($AR \leq 3$ dB) มีช่วงความถี่ครอบคลุมอยู่ระหว่าง 5.55 GHz – 5.74 GHz และเมื่อพิจารณาที่ $R_g = 188.4$ mm มีค่าอัตราส่วนแกนที่ประมาณ $AR = 3$ dB ซึ่งพบว่าหากเปรียบเทียบผลการทดสอบอัตราส่วนแกนที่ $R_g = 18.4$ mm ถึง 188.4 mm ค่าอัตราส่วนแกนจะเลื่อนไปช่วงย่านความถี่สูงเล็กน้อย และยังมีค่าอัตราส่วนแกนต่ำกว่าหรือเท่ากับ 3 dB อยู่ แต่ถ้าหากขนาดของระนาบกราวด์ด้านล่างมีการขยายจนมีขนาดที่ใหญ่เกิน 188.4 mm มีแนวโน้มที่ค่าอัตราส่วนแกนจะมีค่าเพิ่มขึ้นสูงกว่า 3 dB อันเนื่องมาจากผลการขยายขนาดของระนาบกราวด์ ในส่วนของผลการจำลองเปรียบเทียบผลการทดสอบมีแนวโน้มไปในทิศทางเดียวกัน จึงสามารถยืนยันได้ว่าสายอากาศโครงสร้าง B ที่นำเสนอสามารถลดผลกระทบของระนาบกราวด์ด้านล่างได้ เพิ่มความยืดหยุ่นในการออกแบบสายอากาศ แต่อย่างไรก็ตามข้อจำกัดในเรื่องของขนาดระนาบกราวด์ด้านล่างต้องมีขนาดไม่เกิน $R_g = 188.4$ mm ในการนำไปติดตั้งบนฐานที่เป็นตัวทางนำไฟฟ้า



รูปที่ 5.18 การเปรียบเทียบระหว่างผลการจำลองและผลการทดสอบอัตราส่วนแกนของสายอากาศโมโนโพลโพลาไรซ์วงกลมแพร่กระจายคลื่นรอบทิศทาง (OCPA) ร่วมกับระนาบกราวด์ตัวนำแม่เหล็กประดิษฐ์แบบรูปวงแหวนเดี่ยว (SA-AMC) ต้นแบบ ที่ทำการขยายรัศมีระนาบกราวด์ ($R_g = 119.2$ mm และ 188.4 mm)

จากรูปที่ 5.19 การเปรียบเทียบระหว่างผลการจำลองและผลการทดสอบอัตราส่วนแกน (Axial ratio : AR) ของสายอากาศโมโนโพลโพลาริซิงวงกลมแพร่กระจายคลื่นรอบทิศทาง (OCPA) ร่วมกับระนาบกราวด์ตัวนำแม่เหล็กประดิษฐ์แบบรูปวงแหวนคู่ (DA-AMC) ต้นแบบที่ทำการขยายรัศมีระนาบกราวด์ ($R_g = 119.2$ mm) โดยผลการจำลองของอัตราส่วนแกน ($AR \leq 3$ dB) ที่ $R_g = 29.2$ mm ถึง 119.2 mm พบว่ามีช่วงความถี่ครอบคลุมอยู่ระหว่าง 5.10 GHz – 6.10 GHz และผลการทดสอบของอัตราส่วนแกน ($AR \leq 3$ dB) ที่ $R_g = 119.2$ mm มีค่าอัตราส่วนแกนที่ประมาณ 3 dB ซึ่งพบว่าหากเปรียบเทียบผลการทดสอบอัตราส่วนแกนที่ $R_g = 18.4$ mm ถึง 119.2 mm พบว่าค่าอัตราส่วนแกนจะเลื่อนไปช่วงย่านความถี่สูงเล็กน้อย และยังมีค่าอัตราส่วนแกนต่ำกว่าหรือประมาณ 3 dB อยู่ แต่ถ้าหากขนาดของระนาบกราวด์ด้านล่างมีการขยายจนมีขนาดที่ใหญ่เกิน $R_g > 119.2$ mm มีแนวโน้มที่ค่าอัตราส่วนแกนจะมีค่าเพิ่มขึ้นสูงกว่า 3 dB อันเนื่องมาจากผลการขยายขนาดของระนาบกราวด์ ในส่วนของผลการจำลองเปรียบเทียบผลการทดสอบมีแนวโน้มไปในทิศทางเดียวกัน จึงสามารถยืนยันได้ว่าสายอากาศโครงสร้าง C ที่นำเสนอสามารถลดผลกระทบของระนาบกราวด์ล่างลงได้ เพิ่มความยืดหยุ่นในการออกแบบสายอากาศ แต่ยังมีข้อจำกัดในเรื่องของขนาดระนาบกราวด์ล่างต้องมีขนาดไม่เกิน $R_g = 119.2$ mm ในการนำไปติดตั้งบนฐานที่เป็นตัวทางนำไฟฟ้า และเมื่อเปรียบเทียบกับสายอากาศโครงสร้าง A และ B พบว่ามีอิมพีแดนซ์แบนด์วิดท์และอัตราส่วนแกนแบนด์วิดท์ที่กว้างเพิ่มขึ้นอย่างมีนัยสำคัญ



รูปที่ 5.19 การเปรียบเทียบผลการจำลองและผลการทดสอบของอัตราส่วนแกนของสายอากาศโมโนโพลโพลาริซิงวงกลมแพร่กระจายคลื่นรอบทิศทาง (OCPA) ร่วมกับระนาบกราวด์ตัวนำแม่เหล็กประดิษฐ์แบบรูปวงแหวนคู่ (DA-AMC) ต้นแบบ ที่ทำการขยายรัศมีระนาบกราวด์ ($R_g = 119.2$ mm)

5.3.3 การทดสอบอัตราขยายของสายอากาศ

การทดสอบอัตราขยายของสายอากาศโมโนโพลโพลาริซิงวงกลมแพร่กระจายคลื่นรอบทิศทาง (OCPA) ร่วมกับระนาบกราวด์ตัวนำแม่เหล็กประดิษฐ์แบบรูปวงแหวนเดี่ยว (SA-AMC) ต้นแบบ และสายอากาศโมโนโพลโพลาริซิงวงกลมแพร่กระจายคลื่นรอบทิศทาง (OCPA) ร่วมกับระนาบกราวด์ตัวนำแม่เหล็กประดิษฐ์แบบรูปวงแหวนคู่ (DA-AMC) ต้นแบบ (สายอากาศภาครับ) เอกสารนี้เป็นเอกสารที่สงวนไว้สำหรับการใช้งานเพื่อการศึกษาเท่านั้น ไม่อนุญาตให้นำไปใช้ประโยชน์ด้านการค้า ไม่ว่าจะกรณีใดๆ ทั้งสิ้น อีกทั้งห้ามมิให้ดัดแปลงเนื้อหา และต้องอ้างอิงถึงเจ้าของเอกสารทุกครั้งที่มีการนำไปใช้

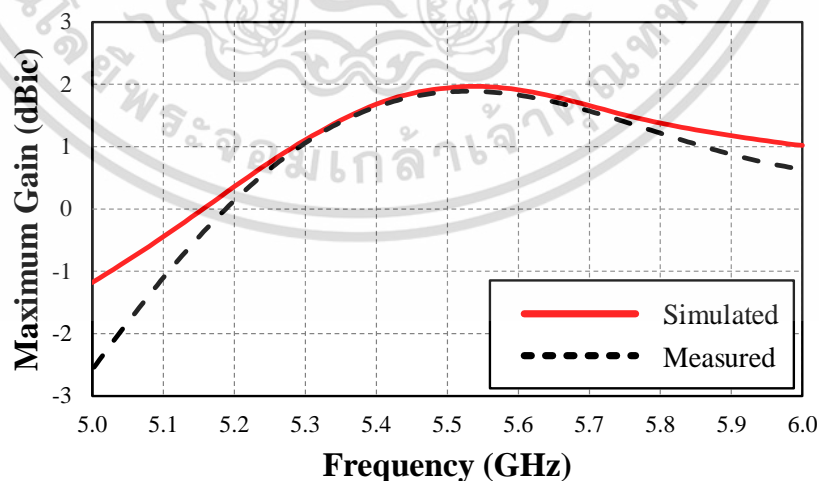
สามารถกระทำได้โดยการใช้สายอากาศกันหอยเป็นสายอากาศภาคส่ง ซึ่งสายอากาศกันหอยนั้นมีคุณลักษณะโพลาไรซ์แบบวงกลมและเลือกใช้สายอากาศทั้งภาครับและภาคส่งแบบโพลาไรซ์ร่วม (Co-polarization) ในการทดสอบอัตราขยาย (G_{rx}) และประสิทธิภาพการแพร่กระจายคลื่น (Radiation efficiency) ของสายอากาศต้นแบบซึ่งสามารถคำนวณได้จากสมการที่ 5.3 และ 5.4 ตามลำดับ

$$G_{tx} \text{ (dBic)} + G_{rx} \text{ (dBic)} = 20 \log_{10} \left(\frac{4\pi R}{\lambda} \right) + 10 \log_{10} \left(\frac{P_{rx}}{P_{tx}} \right) \quad (5.3)$$

โดย

- G_{tx} คือ อัตราขยายของสายอากาศภาคส่ง (สายอากาศกันหอย)
 G_{rx} คือ อัตราขยายของสายอากาศภาครับ (สายอากาศต้นแบบ)
 R คือ ระยะห่างระหว่างสายอากาศภาคส่งและสายอากาศภาครับ
 λ คือ ความยาวคลื่น ณ ที่ความถี่ใช้งาน
 P_{tx} คือ กำลังงานของภาคส่ง
 P_{rx} คือ กำลังงานของภาครับ

จากรูปที่ 5.20 การเปรียบเทียบระหว่างผลการจำลองและผลการทดสอบอัตราขยายและรูปที่ 5.21 แสดงผลการจำลองและผลการทดสอบประสิทธิภาพของสายอากาศโมโนโพลโพลาไรซ์วงกลมแพร่กระจายคลื่นรอบทิศทาง (OCPA) ร่วมกับระนาบกราวด์ตัวนำแม่เหล็กประดิษฐ์แบบรูปวงแหวนเดี่ยว (SA-AMC) ต้นแบบ โดยผลการทดสอบของอัตราขยายสูงสุดมีค่าเท่ากับ 2.0 dBic ที่ความถี่ 5.52 GHz อัตราขยายแบนด์วิดท์ในทิศทางตั้งฉากมีค่าสูงกว่า 18.0% ที่ช่วงความถี่ 5.02 GHz – 6.0 GHz และประสิทธิภาพการแพร่กระจายคลื่นมีค่าสูงกว่า 95% ที่ช่วงความถี่ใช้งาน (5.15 GHz – 5.875 GHz) ของความถี่กลาง 5.5 GHz



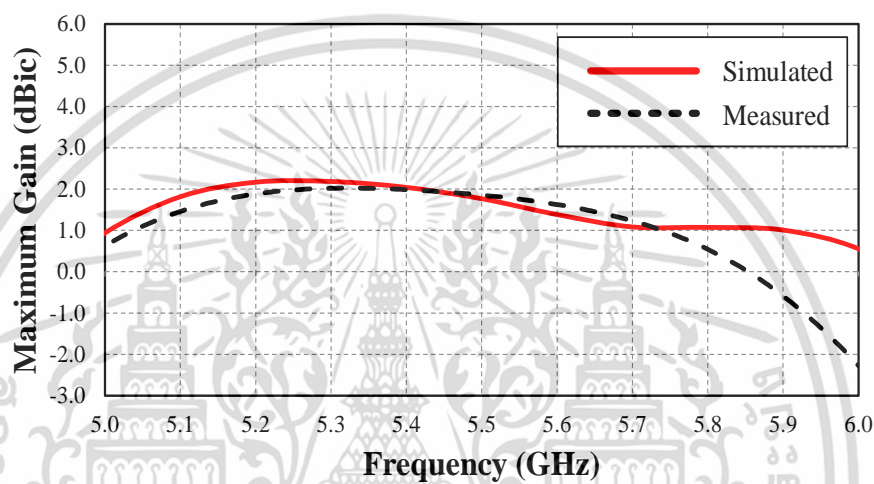
รูปที่ 5.20 การเปรียบเทียบระหว่างผลการจำลองและผลการทดสอบอัตราขยายของสายอากาศโมโนโพลโพลาไรซ์วงกลมแพร่กระจายคลื่นรอบทิศทาง (OCPA) ร่วมกับระนาบกราวด์ตัวนำแม่เหล็ก

ประดิษฐ์แบบรูปวงแหวนเดี่ยว (SA-AMC) ต้นแบบ

เอกสารนี้เป็นเอกสารที่สงวนไว้สำหรับการใช้งานเพื่อการศึกษาเท่านั้น ไม่อนุญาตให้นำไปใช้ประโยชน์ด้านการค้า

ไม่ว่ากรณีใดๆ ทั้งสิ้น อีกทั้งห้ามมิให้ดัดแปลงเนื้อหา และต้องอ้างอิงถึงเจ้าของเอกสารทุกครั้งที่มีการนำไปใช้

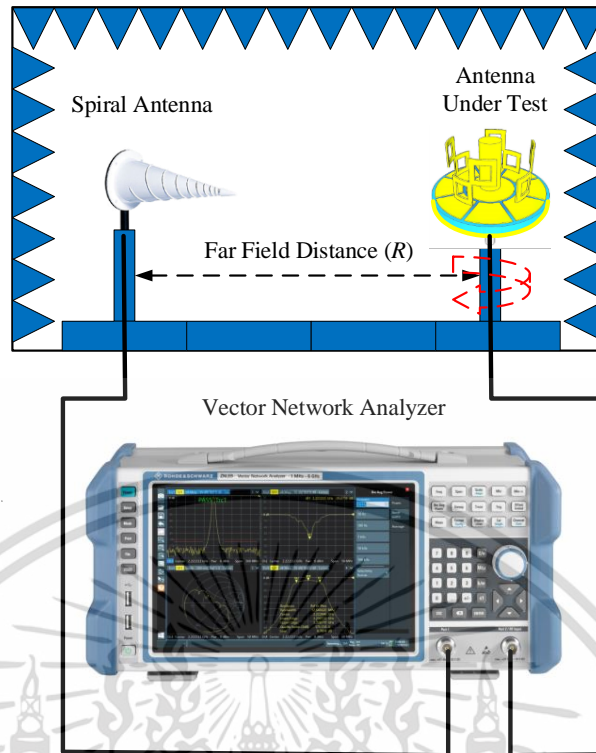
จากรูปที่ 5.22 การเปรียบเทียบระหว่างผลการจำลองและผลการทดสอบอัตราขยายและรูปที่ 5.23 แสดงผลการจำลองและผลการทดสอบประสิทธิภาพของสายอากาศโมโนโพลโพลาริซิงกลมแพร่กระจายคลื่นรอบทิศทาง (OCPA) ร่วมกับระนาบกราวนด์ตัวนำแม่เหล็กประดิษฐ์แบบรูปวงแหวนเดี่ยว (DA-AMC) ต้นแบบ โดยผลการทดสอบของอัตราขยายสูงสุดมีค่าเท่ากับ 2.18 dBic ที่ความถี่ 5.25 GHz อัตราขยายในทิศทางตั้งฉากมีค่าสูงกว่า 17.0% ที่ช่วงความถี่ 5.0 GHz – 5.92 GHz และประสิทธิภาพการแพร่กระจายคลื่นมีค่าสูงกว่า 95% ที่ช่วงความถี่ใช้งาน (5.15 GHz – 5.875 GHz) ของความถี่กลาง 5.5 GHz



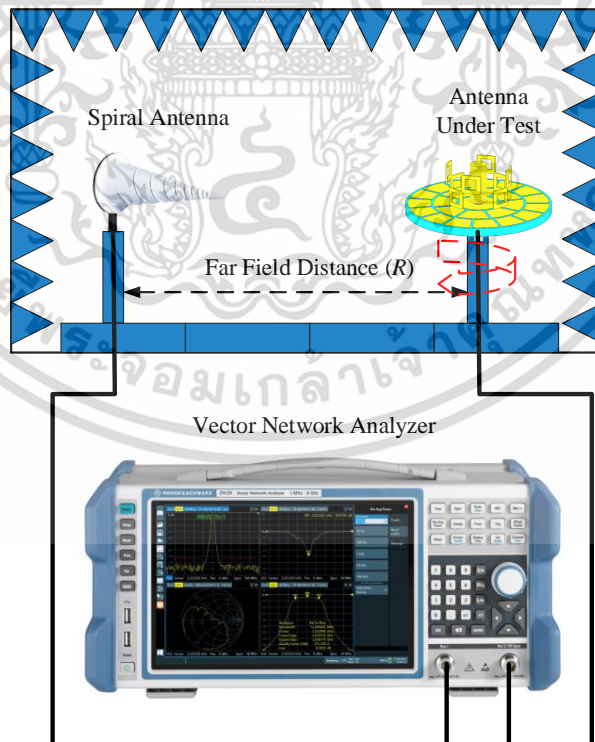
รูปที่ 5.21 การเปรียบเทียบระหว่างผลการจำลองและผลการทดสอบอัตราขยายของสายอากาศโมโนโพลโพลาริซิงกลมแพร่กระจายคลื่นรอบทิศทาง (OCPA) ร่วมกับระนาบกราวนด์ตัวนำแม่เหล็กประดิษฐ์แบบรูปวงแหวนคู่ (DA-AMC) ต้นแบบ

5.3.4 การทดสอบแบบรูปการแพร่กระจายคลื่นของสายอากาศ

การพิจารณาแบบรูปการแพร่กระจายคลื่นของสายอากาศโมโนโพลโพลาริซิงกลมแพร่กระจายคลื่นรอบทิศทาง (OCPA) ร่วมกับระนาบกราวนด์ตัวนำแม่เหล็กประดิษฐ์แบบรูปวงแหวนเดี่ยว (SA-AMC) ต้นแบบ และสายอากาศโมโนโพลโพลาริซิงกลมแพร่กระจายคลื่นรอบทิศทาง (OCPA) ร่วมกับระนาบกราวนด์ตัวนำแม่เหล็กประดิษฐ์แบบรูปวงแหวนคู่ (DA-AMC) ต้นแบบ ซึ่งแบบรูปการแพร่กระจายคลื่นของสายอากาศต้นแบบนี้มีความสำคัญในด้านของทิศทางการแพร่กระจายสัญญาณและวัตถุประสงค์ในการใช้งานของสายอากาศที่ออกแบบที่ต้องเหมาะสมในการนำไปประยุกต์ใช้งานการสื่อสารเครือข่ายท้องถิ่นไร้สาย (WLAN)



รูปที่ 5.22 การทดสอบแบบรูปการแพร่กระจายคลื่นของสายอากาศโมโนโพลโพลาริซวงกลม
แพร่กระจายคลื่นรอบทิศทาง (OCPA) ร่วมกับระนาบกราวด์ตัวนำแม่เหล็กประดิษฐ์แบบรูปวงแหวน
เดี่ยว (SA-AMC) ต้นแบบ

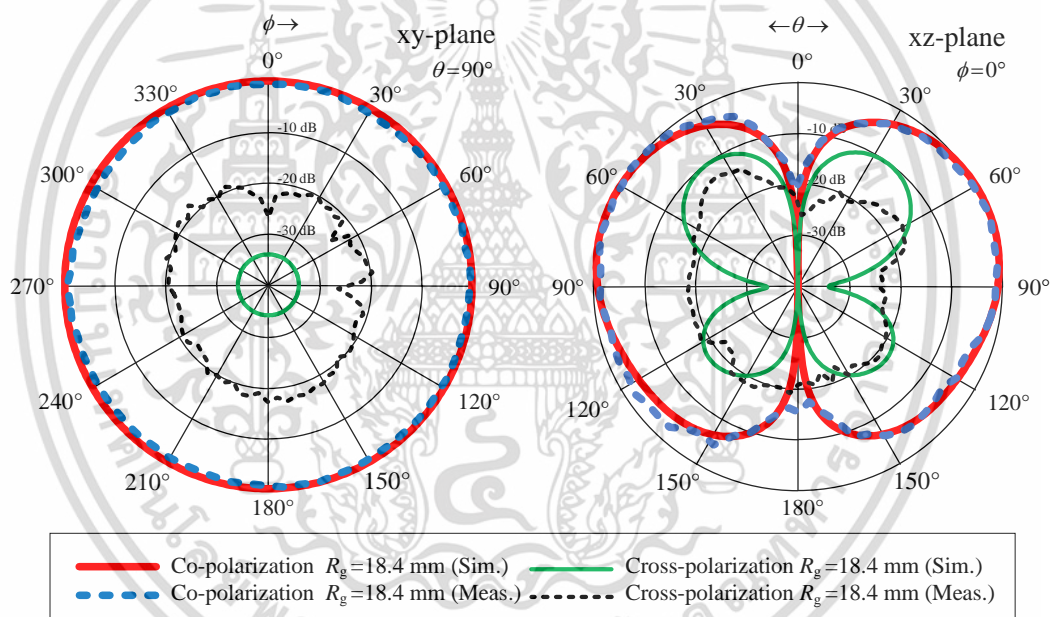


รูปที่ 5.23 การทดสอบแบบรูปการแพร่กระจายคลื่นของสายอากาศโมโนโพลโพลาริซวงกลม
แพร่กระจายคลื่นรอบทิศทาง (OCPA) ร่วมกับระนาบกราวด์ตัวนำแม่เหล็กประดิษฐ์แบบรูปวงแหวน
คู่ (DA-AMC) ต้นแบบ

เอกสารนี้เป็นเอกสารที่สงวนไว้สำหรับการใช้งานเพื่อการศึกษาเท่านั้น ไม่อนุญาตให้นำไปใช้ประโยชน์ด้านการค้า
ไม่ว่ากรณีใดๆ ทั้งสิ้น อีกทั้งห้ามมิให้ดัดแปลงเนื้อหา และต้องอ้างอิงถึงเจ้าของเอกสารทุกครั้งที่มีการนำไปใช้

โดยการทดสอบแบบรูปการแพร่กระจายคลื่นของสายอากาศต้นแบบนั้นจะกระทำได้โดยการใช้สายอากาศมาตรฐานที่มีคุณลักษณะโพลาริซวงกลม (สายอากาศแบบก้นหอย) ซึ่งสามารถทดสอบได้ทั้งโพลาริซร่วมและโพลาริซไขว้ทำหน้าที่เป็นสายอากาศภาคส่ง และสายอากาศต้นแบบที่นำเสนอเป็นสายอากาศภาครับแสดงได้ดังรูปที่ 5.22 และ 5.23 ตามลำดับ

จากรูปที่ 5.24 แสดงการเปรียบเทียบระหว่างผลการจำลองและผลการทดสอบแบบรูปการแพร่กระจายคลื่นของสายอากาศโมโนโพลโพลาริซวงกลมแพร่กระจายคลื่นรอบทิศทาง (OCPA) ร่วมกับระนาบกราวด์ตัวนำแม่เหล็กประดิษฐ์แบบรูปวงแหวนเดี่ยว (SA-AMC) ต้นแบบ ซึ่งกระทำโดยการทดสอบโพลาริซร่วม (Co-polarization: LHCP) และโพลาริซไขว้ (Cross-polarization : RHCP) จากผลการทดสอบและผลการจำลองแสดงให้เห็นว่าสายอากาศที่นำเสนอสามารถแพร่กระจายคลื่นแบบรอบทิศทาง ซึ่งสังเกตได้จากระนาบ xy-plane ในส่วนระนาบ xz-plane จะเห็นว่าสายอากาศแพร่กระจายคลื่นได้ดีในมุม $\theta = 90^\circ$ (รอบตัว) ซึ่งค่า Cross-polarization level : XPL ต่ำกว่า -15 dB ทั้งระนาบ xy-plane และ xz-plane จากผลการจำลองเปรียบเทียบกับผลการทดสอบที่ความถี่กลาง 5.5 GHz นั้นมีความสอดคล้องกัน

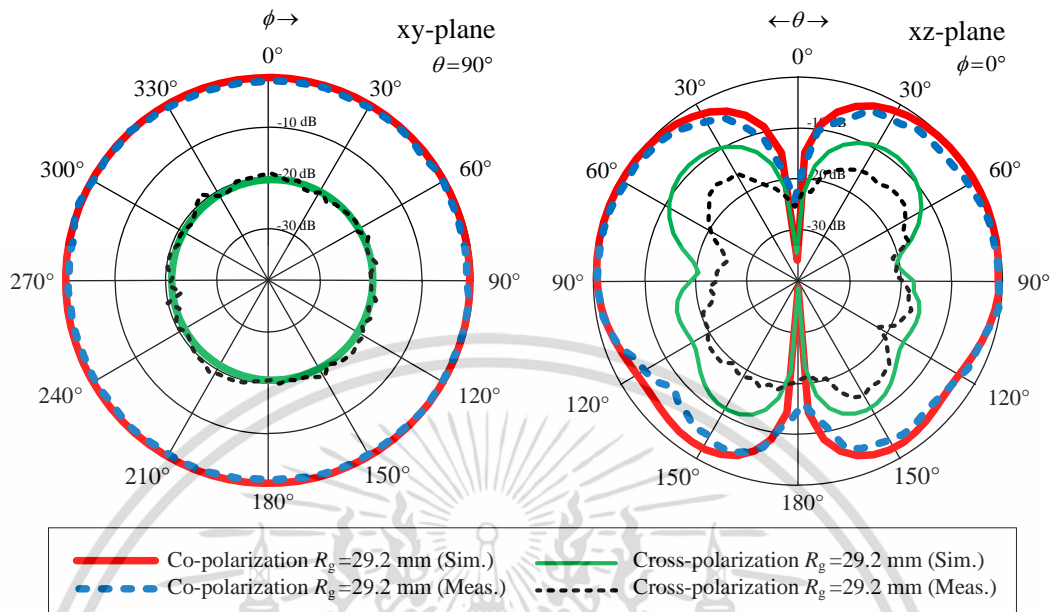


รูปที่ 5.24 ผลการจำลองและผลการทดสอบแบบรูปการแพร่กระจายคลื่นของสายอากาศโมโนโพลโพลาริซวงกลมแพร่กระจายคลื่นรอบทิศทาง (OCPA) ร่วมกับระนาบกราวด์ตัวนำแม่เหล็กประดิษฐ์แบบรูปวงแหวนเดี่ยว (SA-AMC) ต้นแบบ ที่ความถี่ 5.5 GHz

จากรูปที่ 5.25 แสดงการเปรียบเทียบระหว่างผลการจำลองและผลการทดสอบแบบรูปการแพร่กระจายคลื่นของสายอากาศโมโนโพลโพลาริซวงกลมแพร่กระจายคลื่นรอบทิศทาง (OCPA) ร่วมกับระนาบกราวด์ตัวนำแม่เหล็กประดิษฐ์แบบรูปวงแหวนคู่ (DA-AMC) ต้นแบบ ซึ่งกระทำโดยการทดสอบโพลาริซร่วม (Co-polarization) และโพลาริซไขว้ (Cross-polarization level) จากผลการทดสอบและผลการจำลองแสดงให้เห็นว่าสายอากาศที่นำเสนอสามารถแพร่กระจายคลื่นแบบรอบทิศทาง ซึ่งสังเกตได้จากระนาบ xy-plane ในส่วนระนาบ xz-plane จะเห็นว่าสายอากาศแพร่กระจายคลื่นได้ดีในมุม $\theta = 90^\circ$ (รอบตัว) ซึ่งค่า XPL ต่ำกว่า -15 dB ทั้งระนาบ xy-plane และ

เอกสารนี้เป็นเอกสารที่สงวนไว้สำหรับการใช้งานเพื่อการศึกษาค้นคว้าเท่านั้น เมื่ออนุญาตให้นำไปใช้ประโยชน์อื่นใด ไม่ว่ากรณีใดๆ ทั้งสิ้น อีกทั้งห้ามมิให้ดัดแปลงเนื้อหา และต้องอ้างอิงถึงเจ้าของเอกสารทุกครั้งที่มีการนำไปใช้

xz-plane จากผลการจำลองเปรียบเทียบกับผลการทดสอบที่ความถี่กลาง 5.5 GHz นั้นมีความสอดคล้องกัน



รูปที่ 5.25 ผลการจำลองและผลการทดสอบแบบรูปการแพร่กระจายคลื่นของสายอากาศโมโนโพลโพลาริซิงกลมแพร่กระจายคลื่นรอบทิศทาง (OCPA) ร่วมกับระนาบกราวด์ตัวนำแม่เหล็กประดิษฐ์แบบรูปวงแหวนคู่ (DA-AMC) ต้นแบบ ที่ความถี่ 5.5 GHz

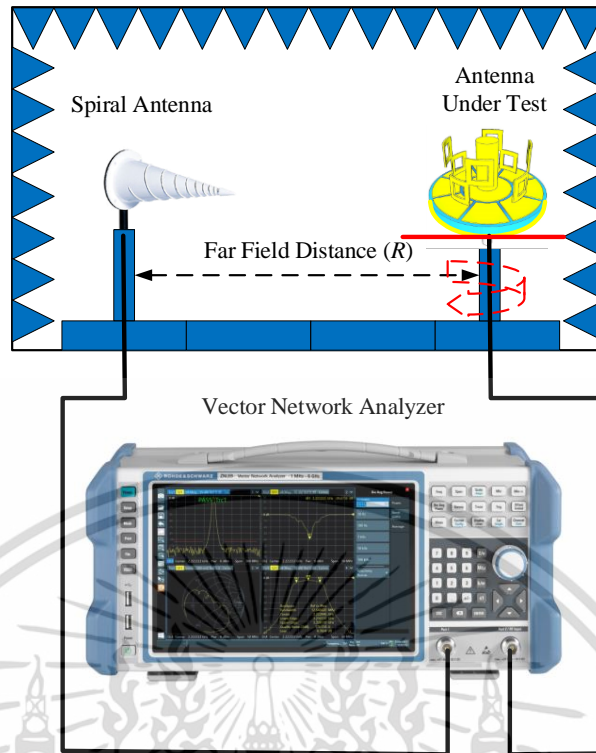
การพิจารณาแบบรูปการแพร่กระจายคลื่นของสายอากาศโมโนโพลโพลาริซิงกลมแพร่กระจายคลื่นรอบทิศทาง (OCPA) ร่วมกับระนาบกราวด์ตัวนำแม่เหล็กประดิษฐ์แบบรูปวงแหวนเดี่ยว (SA-AMC) ต้นแบบที่ทำการขยายรัศมีระนาบกราวด์ ($R_g = 119.2$ mm และ 188.4 mm) และสายอากาศโมโนโพลโพลาริซิงกลมแพร่กระจายคลื่นรอบทิศทาง (OCPA) ร่วมกับระนาบกราวด์ตัวนำแม่เหล็กประดิษฐ์แบบรูปวงแหวนคู่ (DA-AMC) ต้นแบบที่ทำการขยายรัศมีระนาบกราวด์ ($R_g = 119.2$ mm) ซึ่งการจำลองผลและทดสอบแบบรูปการแพร่กระจายคลื่นของสายอากาศต้นแบบที่ทำการขยายระนาบกราวด์นั้นมีความสำคัญในด้านของทิศทางการแพร่กระจายสัญญาณและวัตถุประสงค์ในการใช้งานของสายอากาศที่ออกแบบที่ตรงเหมาะสมในการนำไปประยุกต์ใช้งานการสื่อสารเครือข่ายท้องถิ่นไร้สาย (WLAN) ได้ แม้ว่าจะทำการขยายรัศมีระนาบกราวด์ออกไปให้มีขนาดใหญ่มากขึ้น แบบรูปการแพร่กระจายคลื่นของสายอากาศก็ยังคงจำเป็นต้องเป็นการแพร่กระจายคลื่นแบบรอบทิศทางอยู่

โดยการทดสอบแบบรูปการแพร่กระจายคลื่นของสายอากาศต้นแบบที่ทำการขยายรัศมีระนาบกราวด์ของโครงสร้าง B และ C โดยจะนำแผ่นอลูมิเนียมวงกลมขนาดตามที่ระบุ ($R_g = 119.2$ mm และ 188.4 mm) เป็นฐานในการติดตั้งสายอากาศ จากนั้นจะทำการทดสอบโดยการใช้สายอากาศมาตรฐานที่มีคุณลักษณะโพลาริซิงกลม (สายอากาศแบบก้นหอย) ซึ่งสามารถทดสอบได้ทั้งโพลาริซิงร่วมและโพลาริซิงหัวทำหน้าที่เป็นสายอากาศภาคส่ง และสายอากาศต้นแบบที่นำเสนอเป็นสายอากาศภาครับทดสอบภายในห้องไร้การสะท้อนคลื่นไมโครเวฟแสดงได้ดังรูปที่ 5.26 และ

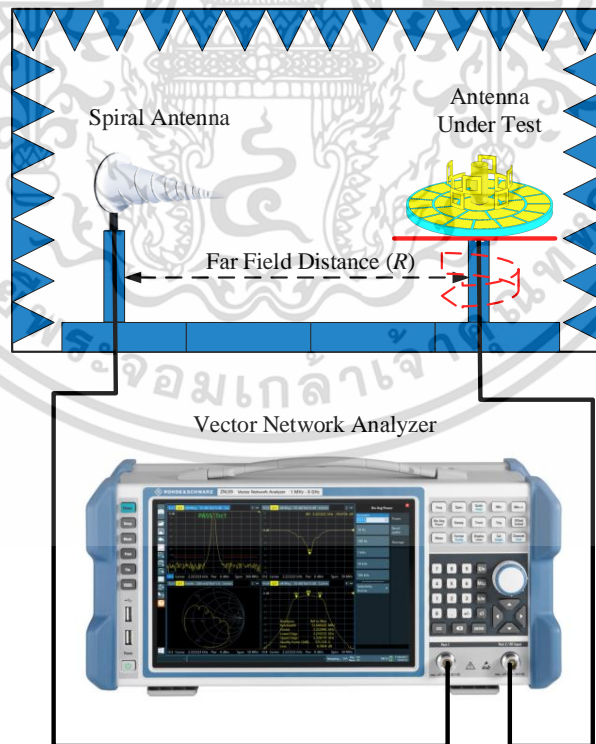
5.27 ตามลำดับ

เอกสารนี้เป็นเอกสารที่สงวนไว้สำหรับการใช้งานเพื่อการศึกษาเท่านั้น ไม่อนุญาตให้นำไปใช้ประโยชน์ด้านการค้า

ไม่ว่ากรณีใดๆ ทั้งสิ้น อีกทั้งห้ามมิให้ดัดแปลงเนื้อหา และต้องอ้างอิงถึงเจ้าของเอกสารทุกครั้งที่มีการนำไปใช้

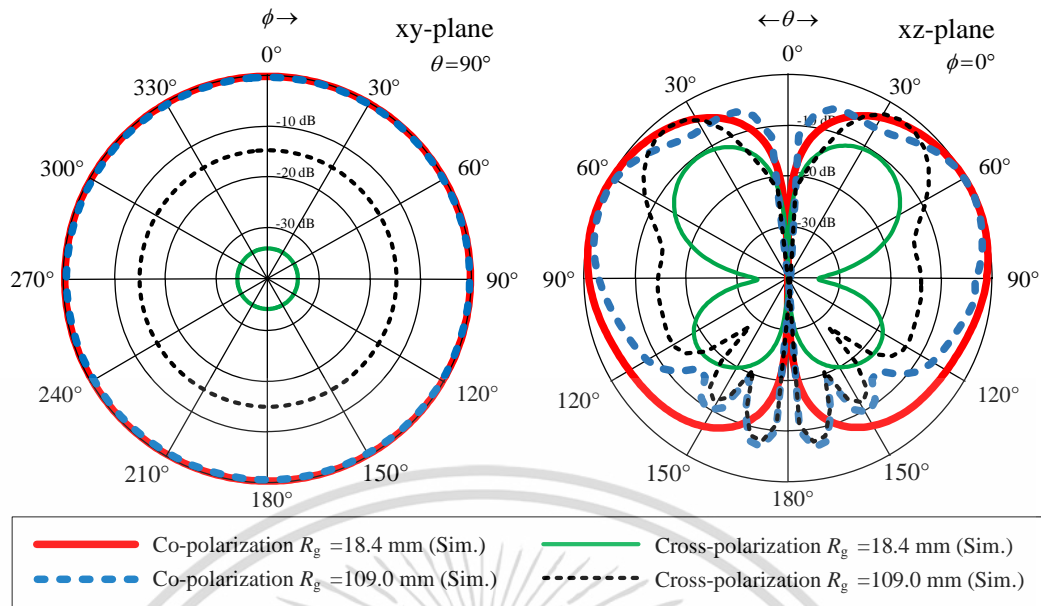


รูปที่ 5.26 การทดสอบแบบรูปการแพร่กระจายคลื่นของสายอากาศโมโนโพลโพลาริซวงกลม แพร่กระจายคลื่นรอบทิศทาง (OCPA) ร่วมกับระนาบกราวด์ตัวนำแม่เหล็กประดิษฐ์แบบรูปวงแหวนเดี่ยว (SA-AMC) ต้นแบบที่ทำการขยายรัศมีระนาบกราวด์ ($R_g = 119.2$ mm และ 188.4 mm)

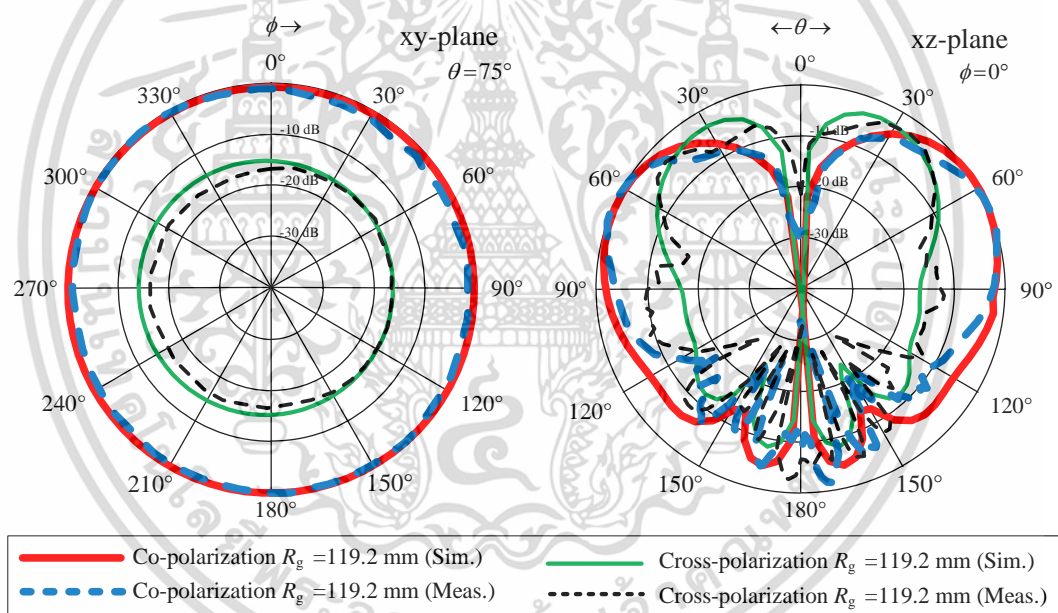


รูปที่ 5.27 การทดสอบแบบรูปการแพร่กระจายคลื่นของสายอากาศโมโนโพลโพลาริซวงกลม แพร่กระจายคลื่นรอบทิศทาง (OCPA) ร่วมกับระนาบกราวด์ตัวนำแม่เหล็กประดิษฐ์แบบรูปวงแหวนคู่ (DA-AMC) ต้นแบบที่ทำการขยายรัศมีระนาบกราวด์ ($R_g = 119.2$ mm)

เอกสารนี้เป็นเอกสารที่สงวนไว้สำหรับการใช้งานเพื่อการศึกษาเท่านั้น ไม่อนุญาตให้นำไปใช้ประโยชน์ด้านการค้า ไม่ว่ากรณีใดๆ ทั้งสิ้น อีกทั้งห้ามมิให้ดัดแปลงเนื้อหา และต้องอ้างอิงถึงเจ้าของเอกสารทุกครั้งที่มีการนำไปใช้



(ก) ผลการจำลองระนาบกราวนด์ R_g ที่ขนาดรัศมี 18.4 mm เปรียบเทียบ 109.0 mm

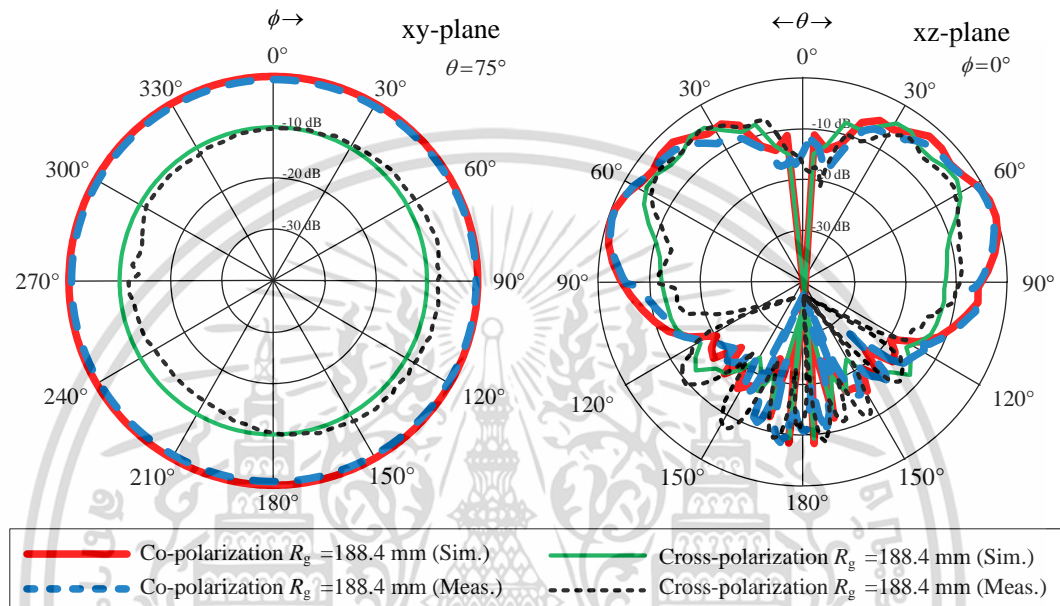


(ข) ผลการจำลองและทดสอบระนาบกราวนด์ R_g ที่ขนาดรัศมี 119.2 mm

รูปที่ 5.28 ผลการจำลองและผลการทดสอบแบบรูปการแพร่กระจายคลื่นของสายอากาศโมโนโพลโพลาไรซ์วงกลมแพร่กระจายคลื่นรอบทิศทาง (OCPA) ร่วมกับระนาบกราวนด์ตัวนำแม่เหล็กประดิษฐ์แบบรูปวงแหวนเดี่ยว (SA-AMC) ต้นแบบที่ทำการขยายรัศมีระนาบกราวนด์ ($R_g = 119.2$ mm และ 188.4 mm) ที่ความถี่ 5.5 GHz

จากรูปที่ 5.28 แสดงการเปรียบเทียบระหว่างผลการจำลองและผลการทดสอบแบบรูปการแพร่กระจายคลื่นของสายอากาศโมโนโพลโพลาไรซ์วงกลมแพร่กระจายคลื่นรอบทิศทาง (OCPA) ร่วมกับระนาบกราวนด์ตัวนำแม่เหล็กประดิษฐ์แบบรูปวงแหวนเดี่ยว (SA-AMC) ต้นแบบที่ทำการขยายรัศมีระนาบกราวนด์ ($R_g = 119.2$ mm และ 188.4 mm) ที่ความถี่ 5.5 GHz จากผลการจำลองและผลทดสอบแสดงให้เห็นว่าสายอากาศที่น่าเสนอสามารถแพร่กระจายคลื่นแบบรอบทิศทาง ซึ่งไม่ว่ากรณีใดๆ ทั้งสิ้น อีกทั้งห้ามมิให้ดัดแปลงเนื้อหา และต้องอ้างอิงถึงเจ้าของเอกสารทุกครั้งที่มีการนำไปใช้

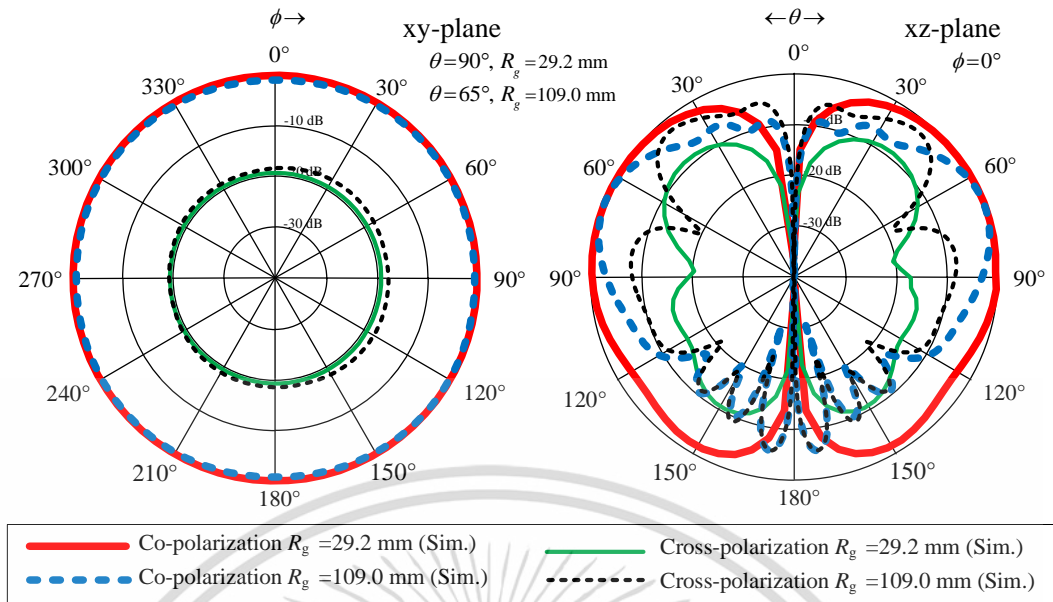
สังเกตได้จากระนาบ xy-plane ในส่วนระนาบ xz-plane จะเห็นว่าสายอากาศแพร่กระจายคลื่นได้ดี ในมุม $\theta = 90^\circ$ ที่ $R_g = 18.4$ mm และเมื่อทำการขยายระนาบกราวด์เพิ่มขึ้นเป็น $R_g = 119.2$ mm และ 188.4 mm สายอากาศจะมีลำคลื่นยกขึ้นเล็กน้อยไปที่มุม $\theta = 70^\circ$ (ครอบคลุมการแพร่กระจายคลื่นแบบรอบตัว) ซึ่งค่า XPL ต่ำกว่า -10 dB ในทิศทางลำคลื่นหลัก ทั้งระนาบ xy-plane และ xz-plane จากผลการจำลองเปรียบเทียบกับผลการทดสอบที่ความถี่กลาง 5.5 GHz นั้นที่ R_g ขนาดต่างๆ มีผลการจำลองและทดสอบความสอดคล้องกัน



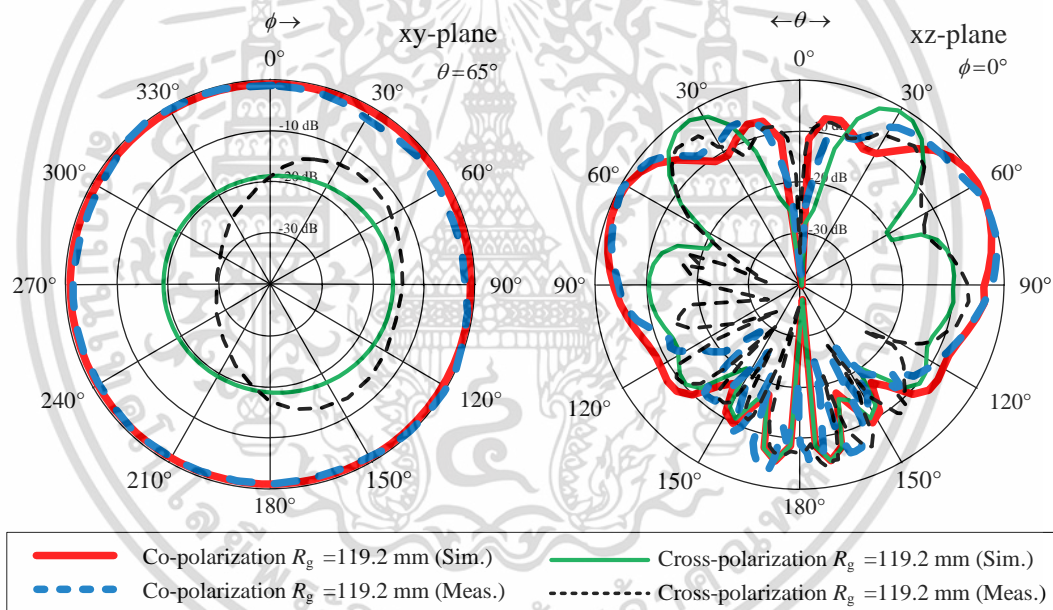
รูปที่ 5.28 ผลการจำลองและผลการทดสอบแบบรูปการแพร่กระจายคลื่นของสายอากาศโมโนโพล โพลาริซิงกลมแพร่กระจายคลื่นรอบทิศทาง (OCPA) ร่วมกับระนาบกราวด์ตัวนำแม่เหล็กประดิษฐ์ แบบรูปวงแหวนเดี่ยว (SA-AMC) ต้นแบบที่ทำการขยายรัศมีระนาบกราวด์ ($R_g = 119.2$ mm และ 188.4 mm) ที่ความถี่ 5.5 GHz (ต่อ)

จากรูปที่ 5.29 แสดงการเปรียบเทียบระหว่างผลการจำลองและผลการทดสอบแบบรูปการแพร่กระจายคลื่นของสายอากาศโมโนโพลโพลาริซิงกลมแพร่กระจายคลื่นรอบทิศทาง (OCPA) ร่วมกับระนาบกราวด์ตัวนำแม่เหล็กประดิษฐ์แบบรูปวงแหวนคู่ (DA-AMC) ต้นแบบที่ทำการขยายรัศมีระนาบกราวด์ ($R_g = 119.2$ mm) ที่ความถี่ 5.5 GHz จากผลการจำลองและผลทดสอบแสดงให้เห็นว่าสายอากาศที่นำเสนอสามารถแพร่กระจายคลื่นแบบรอบทิศทาง ซึ่งสังเกตได้จากระนาบ xy-plane ในส่วนระนาบ xz-plane จะเห็นว่าสายอากาศแพร่กระจายคลื่นได้ดีในมุม $\theta = 80^\circ$ ที่ $R_g = 29.2$ mm และเมื่อทำการขยายระนาบกราวด์เพิ่มขึ้นเป็น $R_g = 109.0$ mm และ 119.2 mm สายอากาศจะมีลำคลื่นยกขึ้นเล็กน้อยไปที่มุม $\theta = 70^\circ$ และ $\theta = 65^\circ$ (ครอบคลุมการแพร่กระจายคลื่นแบบรอบตัว) ตามลำดับ ซึ่งค่า XPL ต่ำกว่า -10 dB ในทิศทางลำคลื่นหลัก ทั้งระนาบ xy-plane และ xz-plane จากผลการจำลองเปรียบเทียบกับผลการทดสอบที่ความถี่กลาง 5.5 GHz นั้นที่ R_g ขนาดต่างๆ มีผลการจำลองและทดสอบความสอดคล้องกัน

เอกสารนี้เป็นเอกสารที่สงวนไว้สำหรับการใช้งานเพื่อการศึกษาเท่านั้น ไม่อนุญาตให้นำไปใช้ประโยชน์ด้านการค้า ไม่ว่าจะกรณีใดๆ ทั้งสิ้น อีกทั้งห้ามมิให้ดัดแปลงเนื้อหา และต้องอ้างอิงถึงเจ้าของเอกสารทุกครั้งที่มีการนำไปใช้



(ก) ผลการจำลองระนาบกราวนด์ R_g ที่ขนาดรัศมี 29.2 mm เปรียบเทียบกับ 109.0 mm



(ข) ผลการจำลองและทดสอบระนาบกราวนด์ R_g ที่ขนาดรัศมี 119.2 mm

รูปที่ 5.29 ผลการจำลองและผลการทดสอบแบบรูปการแพร่กระจายคลื่นของสายอากาศโมโนโพลโพลาไรซ์วงกลมแพร่กระจายคลื่นรอบทิศทาง (OCPA) ร่วมกับระนาบกราวนด์ตัวนำแม่เหล็กประดิษฐ์แบบรูปวงแหวนคู่ (DA-AMC) ต้นแบบที่ทำการขยายรัศมีระนาบกราวนด์ ($R_g = 119.2 \text{ mm}$) ที่ความถี่ 5.5 GHz

5.4 การเปรียบเทียบสมรรถนะของสายอากาศ

จากตารางที่ 5.1 เปรียบเทียบสมรรถนะของสายอากาศโมโนโพลโพลาไรซ์วงกลมแพร่กระจายคลื่นรอบทิศทาง (OCPA) ร่วมกับระนาบกราวนด์ตัวนำแม่เหล็กประดิษฐ์แบบรูปวงแหวนเดี่ยว (SA-AMC) และสายอากาศโมโนโพลโพลาไรซ์วงกลมแพร่กระจายคลื่นรอบทิศทาง (OCPA) เอกสารนี้เป็นเอกสารที่สงวนไว้สำหรับการใช้งานเพื่อการศึกษาเท่านั้น เมื่ออนุญาตให้นำไปเผยแพร่โดยไม่หวังกำไรใดๆ ทั้งสิ้น อีกทั้งห้ามมิให้ดัดแปลงเนื้อหา และต้องอ้างอิงถึงเจ้าของเอกสารทุกครั้งที่มีการนำไปใช้

ร่วมกับระนาบกราวนด์ตัวนำแม่เหล็กประดิษฐ์แบบรูปวงแหวนคู่ (DA-AMC) กับงานวิจัยที่มีอยู่ก่อนหน้าในแง่ของค่าอิมพีแดนซ์แบนด์วิดท์ อัตราส่วนแบนด์วิดท์ อัตราขยายสูงสุด ความต้องการใช้บาลันในโครงสร้างสายอากาศ ความเสถียรของแบบรูปการแพร่กระจายคลื่นเมื่อติดตั้งบนระนาบกราวนด์ขนาดใหญ่ และขนาดโดยรวมของสายอากาศเมื่อเทียบกับความยาวคลื่น พบว่าในเอกสารอ้างอิงที่ [1] แม้จะมีอิมพีแดนซ์แบนด์วิดท์ และอัตราส่วนแบนด์วิดท์ที่กว้างกว่า แต่ขนาดของสายอากาศแพตช์โพลาริซวงกลมแพร่กระจายคลื่นรอบทิศทางสัญญาณต่ำมีขนาดใหญ่กว่าโครงสร้าง B และ C อย่างมาก

ตารางที่ 5.1 เปรียบเทียบสมรรถนะของสายอากาศโพลาริซวงกลมแพร่กระจายคลื่นรอบทิศทางแบบทั่วไปกับงานวิจัยที่มีมาก่อน

References	$ S_{11} $ bandwidth (%)	AR bandwidth (%)	Maximum gain (dBic)	Center frequency (GHz)	Balun requirement	Occurrence of non-omnidirectionality when in direct contact with installation base	Overall antenna dimensions
[1]	19.84% 2.27-2.77GHz	17.67% 2.27-2.71 GHz	3.75	2.49 GHz	yes	yes	$1.362\lambda_L \times 1.362\lambda_L \times 0.023\lambda_L$ at 2.27 GHz
[3]	13.17% 2.34-2.67 GHz	10.50% 2.26-2.51 GHz	1.12	2.38 GHz	yes	yes	$0.390\lambda_L \times 0.390\lambda_L \times 0.156\lambda_L$ at 2.34 GHz
[11]	9.00% 2.32-2.54 GHz	11.76% 2.32-2.61 GHz	1.20	2.43 GHz	no	yes	$0.255\lambda_L \times 0.255\lambda_L \times 0.155\lambda_L$ at 2.32 GHz
[12]	4.48% 2.40-2.51 GHz	1.21% 2.46-2.48 GHz	1.90	2.47 GHz	yes	yes	$0.640\lambda_L \times 0.368\lambda_L \times 0.048\lambda_L$ at 2.40 GHz
[13]	24.42% 2.30-2.94 GHz	7.25% 2.39-2.57 GHz	0.91	2.48 GHz	yes	yes	$0.299\lambda_L \times 0.299\lambda_L \times 0.253\lambda_L$ at 2.30 GHz
[14]	10.40% 2.37-2.63 GHz	8.90% 2.36-2.58 GHz	1.56	2.47 GHz	yes	yes	$0.418\lambda_L \times 0.418\lambda_L \times 0.158\lambda_L$ at 2.37 GHz
[23]	9.37% 2.34-2.57 GHz	8.00% 2.40-2.60GHz	2.07	2.48 GHz	yes	yes	$0.407\lambda_L \times 0.407\lambda_L \times 0.438\lambda_L$ at 2.35 GHz
Structure B* (proposed)	8.08% 5.34-5.79 GHz	4.38% 5.36-5.60 GHz	1.96	5.48 GHz	no	no	$0.655\lambda_L \times 0.655\lambda_L \times 0.363\lambda_L$ at 5.34 GHz
Structure C** (proposed)	14.37% 5.08-5.89 GHz	19.85% 4.90-5.98 GHz	2.18	5.50 GHz	no	no	$0.982\lambda_L \times 0.982\lambda_L \times 0.333\lambda_L$ at 5.08 GHz

หมายเหตุ: * ในโครงสร้าง B ค่า AR ขั้นต่ำทำได้ที่มุม $(\theta, \phi) = (90^\circ, 0^\circ)$ และระนาบกราวนด์ล่างที่เหมาะสมที่สุด (R_g) = 18.4 mm

** ในโครงสร้าง C ค่า ขั้นต่ำทำได้ที่ $(\theta, \phi) = (90^\circ, 0^\circ)$ และระนาบกราวนด์ล่างที่เหมาะสมที่สุด (R_g) = 29.2 mm

λ_L : คือความยาวคลื่นในสภาวะอากาศว่างที่สอดคล้องกับความถี่การทำงานต่ำสุดของสายอากาศ

นอกจากนี้ ยังจำเป็นต้องใช้บาลัน ซึ่งส่งผลให้สายอากาศมีขนาดใหญ่ อีกข้อด้อยหนึ่งคือมีองค์ประกอบที่แพร่กระจายคลื่นรอบทิศทางโพลาริซวงกลมอยู่ใต้ระนาบกราวนด์ด้านล่างของโครงสร้างสายอากาศของเอกสารอ้างอิงที่ [1] ดังนั้นสายอากาศจึงมีความไวต่อการติดตั้งฐานที่เป็นสื่อ เอกสารนี้เป็นเอกสารที่สงวนไว้สำหรับการใช้งานเพื่อการศึกษาเท่านั้น ไม่นิยามให้นำไปใช้ประโยชน์ด้านการค้า ไม่ว่าจะกรณีใดๆ ทั้งสิ้น อีกทั้งห้ามมิให้ดัดแปลงเนื้อหา และต้องอ้างอิงถึงเจ้าของเอกสารทุกครั้งที่มีการนำไปใช้

นำกระแสไฟฟ้า นอกจากนี้ โครงสร้างสายอากาศที่นำเสนอยังมีประโยชน์ในเรื่องการป้องกันแบบจุดเดี่ยว แบนด์วิดท์กว้าง และไม่จำเป็นต้องใช้บาลูน โดยพื้นฐานแล้ว การรวมระนาบกราวด์ตัวนำแม่เหล็กประดิษฐ์ DA-AMC เข้ากับสายอากาศโมโนโพลโพลาริซวงกลมแพร่กระจายคลื่นรอบทิศทาง (โครงสร้าง C) ช่วยเพิ่มอิมพีแดนซ์แบนด์วิดท์ และอัตราส่วนแบนด์วิดท์ โดยมีค่าอัตราขยายก่อนข้างคกที่ในช่วงความถี่ใช้งาน และมีประสิทธิภาพการแพร่กระจายคลื่นสูง ในขณะที่สามารถแพร่กระจายคลื่นรอบทิศทางโพลาริซวงกลม และลดกระแสไฟรั่วบนโครงสร้างสายอากาศที่นำเสนอ

ดังนั้นสายอากาศโมโนโพลโพลาริซวงกลมแพร่กระจายคลื่นรอบทิศทาง (OCPA) ร่วมกับระนาบกราวด์ตัวนำแม่เหล็กประดิษฐ์แบบรูปวงแหวนเดี่ยว (SA-AMC) และสายอากาศโมโนโพลโพลาริซวงกลมแพร่กระจายคลื่นรอบทิศทาง (OCPA) ร่วมกับระนาบกราวด์ตัวนำแม่เหล็กประดิษฐ์แบบรูปวงแหวนคู่ (DA-AMC) สำหรับประยุกต์ใช้งานเครือข่ายท้องถิ่นไร้สาย (WLAN) ย่านความถี่ 5.5 GHz ที่นำเสนอมีค่าอิมพีแดนซ์แบนด์วิดท์ และอัตราส่วนแบนด์วิดท์เท่ากับ 8.08% (5.34 – 5.79 GHz) และ 4.38% (5.36 – 5.60 GHz) สำหรับโครงสร้าง B ที่ความถี่กลาง 5.5 GHz และมีขนาดเล็ก ($0.655 \lambda_L \times 0.655 \lambda_L \times 0.363 \lambda_L$) เมื่อ λ_L คือ ความยาวคลื่นที่สอดคล้องกับความถี่ใช้งานต่ำสุดของสายอากาศ ทำให้สายอากาศโมโนโพลโพลาริซวงกลมแพร่กระจายคลื่นรอบทิศทาง (OCPA) ร่วมกับระนาบกราวด์ตัวนำแม่เหล็กประดิษฐ์แบบรูปวงแหวนเดี่ยว (SA-AMC) หรือโครงสร้าง B นั้นจึงเหมาะสำหรับสำหรับประยุกต์ใช้งานเครือข่ายท้องถิ่นไร้สาย (WLAN) ย่านความถี่ 5.5 GHz หรือ 5G ได้

สำหรับสายอากาศโมโนโพลโพลาริซวงกลมแพร่กระจายคลื่นรอบทิศทาง (OCPA) ร่วมกับระนาบกราวด์ตัวนำแม่เหล็กประดิษฐ์แบบรูปวงแหวนคู่ (DA-AMC) หรือ โครงสร้าง C มีค่าอิมพีแดนซ์แบนด์วิดท์ และอัตราส่วนแบนด์วิดท์เท่ากับ 14.37% (5.10 – 5.89 GHz) และ 19.85% (4.90 – 5.98 GHz) ตามลำดับ ที่ความถี่กลาง 5.5 GHz และมีขนาดเล็ก ($0.982 \lambda_L \times 0.982 \lambda_L \times 0.333 \lambda_L$) ทำให้สายอากาศโมโนโพลโพลาริซวงกลมแพร่กระจายคลื่นรอบทิศทาง (OCPA) ร่วมกับระนาบกราวด์ตัวนำแม่เหล็กประดิษฐ์แบบรูปวงแหวนคู่ (DA-AMC) นั้นจึงเหมาะสำหรับสำหรับประยุกต์ใช้งานเครือข่ายท้องถิ่นไร้สาย (WLAN) ย่านความถี่ 5.5 GHz หรือ 5G ได้

จากตารางที่ 5.2 แสดงการเปรียบเทียบสมรรถนะของสายอากาศสายอากาศโมโนโพลโพลาริซวงกลมแพร่กระจายคลื่นรอบทิศทางของแต่ละโครงสร้างที่นำเสนอ โดยกำหนดโครงสร้างสายอากาศดังนี้

- สายอากาศโมโนโพลโพลาริซวงกลมแพร่กระจายคลื่นรอบทิศทาง (OCPA) : โครงสร้าง A
- สายอากาศโมโนโพลโพลาริซวงกลมแพร่กระจายคลื่นรอบทิศทางร่วมกับระนาบกราวด์ตัวนำแม่เหล็กประดิษฐ์แบบรูปวงแหวนเดี่ยว (SA-AMC) : โครงสร้าง B
- สายอากาศโมโนโพลโพลาริซวงกลมแพร่กระจายคลื่นรอบทิศทาง (OCPA) ร่วมกับระนาบกราวด์ตัวนำแม่เหล็กประดิษฐ์แบบรูปวงแหวนคู่ (DA-AMC) : โครงสร้าง C

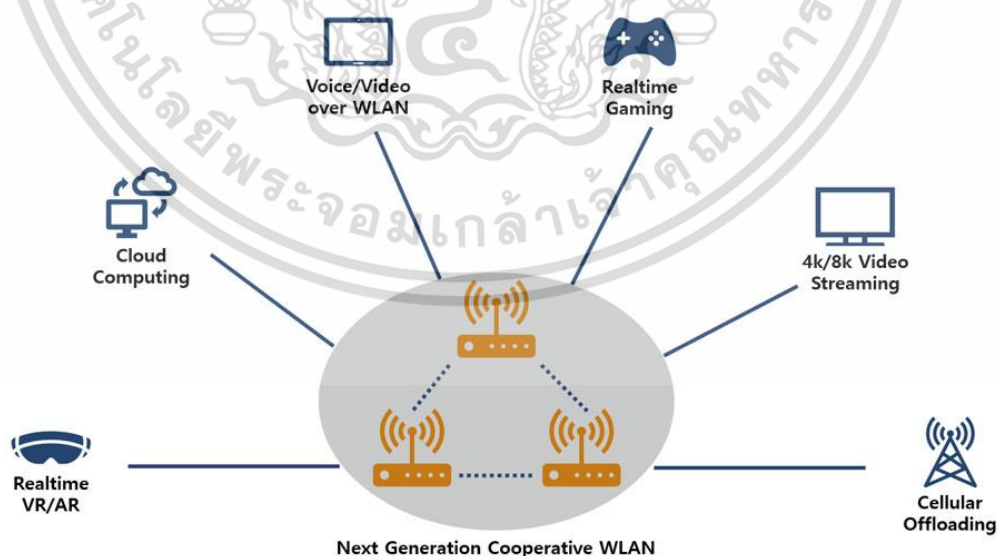
ซึ่งจากผลการจำลองและทดสอบพบว่าสายอากาศโครงสร้าง B และ C มีความยืดหยุ่นต่อโครงสร้างระนาบกราวด์ของสายอากาศ มีระดับโพลาริซัวิตีที่ต่ำกว่าสายอากาศโครงสร้าง A อย่างมาก ในส่วนค่าอิมพีแดนซ์แบนด์วิดท์ และอัตราส่วนแบนด์วิดท์พบว่าสายอากาศโครงสร้าง C มีแบนด์วิดท์ที่กว้างมากที่สุด มีเหมาะสมสำหรับการนำไปประยุกต์ใช้งานเครือข่ายท้องถิ่นไร้สาย (WLAN) ย่านความถี่ 5.5 GHz

ตารางที่ 5.2 เปรียบเทียบสมรรถนะของสายอากาศโมนโพลโพลาไรซ์วงกลมแพร่กระจายคลื่นรอบทิศทางของแต่ละโครงสร้างที่นำเสนอ

Structure-res	S ₁₁ bandwidth (%)	ARBW (%)	XPL (dB)		Elevation of θ for min. AR	Gain	R _g Radius for CP
			xy-plane	xz-plane			
A	4.68	4.49	-12.70	-12.70	75°	2.49 dBic	0.72 λ_c
B	5.99	4.38	-34.73	-34.57	75°	1.96 dBic	0.34 λ_c – 3.5 λ_c
C	15.77	15.99	-20.36	-20.62	65°	2.18 dBic	0.54 λ_c – 2.15 λ_c

5.5 การประยุกต์ใช้งาน

การสื่อสารเครือข่ายท้องถิ่นไร้สาย (Wireless Local Area Network : WLAN) คือระบบการสื่อสารและส่งผ่านข้อมูลแบบไม่มีสายนำสัญญาณ โดยการส่งสัญญาณและข้อมูลเพื่อทำการแลกเปลี่ยนข้อมูลกันนั้นจะใช้ความถี่วิทยุ (Radio Frequency : RF) และคลื่นอินฟราเรดผ่านอากาศไปยังเครื่องรับสัญญาณโดยตรง โดยคลื่นวิทยุที่ถูกส่งจากเครื่องส่งจะสามารถผ่านทะลุวัตถุที่เกิดขวางสัญญาณได้ ทำให้การใช้การสื่อสารเครือข่ายท้องถิ่นไร้สายสามารถครอบคลุมพื้นที่การใช้งานได้เหมือนกับระบบเครือข่ายที่ใช้สายนำสัญญาณอย่าง LAN (Local Area Network) สำหรับการนำระบบการสื่อสารเครือข่ายท้องถิ่นไร้สายไปใช้งานในปัจจุบันและอนาคตได้แสดงดังรูปที่ 5.30



รูปที่ 5.30 ระบบการสื่อสารเครือข่ายท้องถิ่นไร้สาย [39]

เอกสารนี้เป็นเอกสารที่สงวนไว้สำหรับการใช้งานเพื่อการศึกษาเท่านั้น ไม่อนุญาตให้นำไปใช้ประโยชน์ด้านการค้า ไม่ว่าจะกรณีใดๆ ทั้งสิ้น อีกทั้งห้ามมิให้ดัดแปลงเนื้อหา และต้องอ้างอิงถึงเจ้าของเอกสารทุกครั้งที่มีการนำไปใช้

ความท้าทายในการออกแบบสายอากาศโมโนโพลโพลาริซวงกลมแพร่กระจายคลื่นรอบทิศทางเพื่อประยุกต์ใช้งานสำหรับระบบการสื่อสารเครือข่ายท้องถิ่นไร้สายจึงเป็นที่นิยมน้อยกว่าแพร่หลายเพื่อให้สายอากาศที่มีโพลาริซวงกลมแพร่กระจายคลื่นรอบทิศทางนั้นบรรลุคุณสมบัติต่างๆ เช่น สายอากาศสามารถครอบคลุมความถี่ใช้งาน มีแบบรูปการแผ่กระจายคลื่นแบบรอบทิศทาง มีการโพลาริซวงกลม อัตราขยายตามมาตรฐาน อีกทั้งยังต้องสามารถรองรับการใช้งานในการติดตั้งบนฐานระนาบกราวด์ตัวนำหรือวัสดุอื่น ๆ ได้อีกด้วย เพื่อลดผลกระทบที่เกิดขึ้นเมื่อนำสายอากาศไปใช้งานในสภาวะสิ่งแวดล้อมที่แตกต่างกัน ดังนั้นในงานวิจัยนี้ ผู้วิจัยสามารถออกแบบสายอากาศที่มีโพลาริซวงกลมแพร่กระจายคลื่นรอบทิศทางที่สามารถใช้งานในการสื่อสารเครือข่ายท้องถิ่นไร้สายโดยใช้ระนาบกราวด์ตัวนำแม่เหล็กประดิษฐ์มาประยุกต์ใช้ในการออกแบบร่วมกับสายอากาศสายอากาศโมโนโพลโพลาริซวงกลมแพร่กระจายคลื่นรอบทิศทาง ซึ่งมีขนาดเล็ก น้ำหนักเบา มีความยืดหยุ่นของระนาบกราวด์ และลดผลกระทบของสัญญาณเนื่องจากสิ่งแวดล้อม เช่น ดึก ต้นไม้ ยานพาหนะ ดังนั้นสายอากาศที่นำเสนอมีความเหมาะสมสำหรับการประยุกต์ใช้งานสำหรับการสื่อสารเครือข่ายท้องถิ่นไร้สายในยุคสมัยใหม่ได้

5.6 สรุป

ในบทนี้ได้ทำการทดสอบสมรรถนะของสายอากาศโมโนโพลโพลาริซวงกลมแพร่กระจายคลื่นรอบทิศทาง (OCPA) ร่วมกับระนาบกราวด์ตัวนำแม่เหล็กประดิษฐ์แบบรูปวงแหวนเดี่ยว (SA-AMC) และสายอากาศโมโนโพลโพลาริซวงกลมแพร่กระจายคลื่นรอบทิศทาง (OCPA) ร่วมกับระนาบกราวด์ตัวนำแม่เหล็กประดิษฐ์แบบรูปวงแหวนคู่ (DA-AMC) สำหรับประยุกต์ใช้งานเครือข่ายท้องถิ่นไร้สาย (WLAN) ย่านความถี่ 5.5 GHz เพื่อยืนยันและเปรียบเทียบระหว่างผลจากการทดสอบและผลการจำลองของสายอากาศที่นำเสนอ โดยทดสอบค่าคุณลักษณะของสายอากาศต้นแบบซึ่งประกอบไปด้วยค่าสัมประสิทธิ์การสะท้อน $|S_{11}|$ อัตราส่วนแกน อัตราขยาย ประสิทธิภาพ และแบบรูปการแผ่กระจายคลื่นของสายอากาศต้นแบบโดยใช้สายอากาศแบบกันหอยที่มีคุณลักษณะโพลาริซแบบวงกลมโดยทำการทดสอบทั้งโพลาริซร่วม (Co-polarization) และโพลาริซไขว้ (Cross-polarization) จากผลการทดสอบแสดงให้เห็นว่าสมรรถนะของสายอากาศต้นแบบมีความสอดคล้องกับผลการจำลองและเป็นที่ยอมรับได้ในสากล อีกทั้งได้มีการเปรียบเทียบสมรรถนะของสายอากาศโมโนโพลโพลาริซวงกลมแพร่กระจายคลื่นรอบทิศทาง (OCPA) ร่วมกับระนาบกราวด์ตัวนำแม่เหล็กประดิษฐ์แบบรูปวงแหวนเดี่ยว (SA-AMC) และสายอากาศโมโนโพลโพลาริซวงกลมแพร่กระจายคลื่นรอบทิศทาง (OCPA) ร่วมกับระนาบกราวด์ตัวนำแม่เหล็กประดิษฐ์แบบรูปวงแหวนคู่ (DA-AMC) ต้นแบบกับงานวิจัยอื่น ๆ ที่มีอยู่ก่อนหน้า พบว่าสายอากาศต้นแบบมีค่าอิมพีแดนซ์แบนด์วิดท์ ค่าอัตราส่วนแกนแบนด์วิดท์ ค่าอัตราขยายที่สูงกว่า และมีความยืดหยุ่นของระนาบกราวด์ของสายอากาศมากกว่าเมื่อเทียบกับสายอากาศอื่น ๆ ที่เกี่ยวข้อง โดยไม่จำเป็นต้องใช้บาลูน ดังนั้นทำให้สายอากาศโมโนโพลโพลาริซวงกลมแพร่กระจายคลื่นรอบทิศทาง (OCPA) ร่วมกับระนาบกราวด์ตัวนำแม่เหล็กประดิษฐ์แบบรูปวงแหวนเดี่ยว (SA-AMC) และสายอากาศโมโนโพลโพลาริซวงกลมแพร่กระจายคลื่นรอบทิศทาง (OCPA) ร่วมกับระนาบกราวด์ตัวนำแม่เหล็กประดิษฐ์แบบรูปวงแหวนคู่ (DA-AMC) ที่มีการแผ่กระจายคลื่นแบบรอบตัวโพลาริซวงกลมแถบความถี่กว้างที่นำเสนอขึ้นจึง

เอกสารนี้เป็นเอกสารที่สงวนไว้สำหรับการใช้งานเพื่อการศึกษาเท่านั้น ไม่อนุญาตให้นำไปใช้ประโยชน์ด้านการค้า
ไม่ว่ากรณีใดๆ ทั้งสิ้น อีกทั้งห้ามมิให้ดัดแปลงเนื้อหา และต้องอ้างอิงถึงเจ้าของเอกสารทุกครั้งที่มีการนำไปใช้

เหมาะสำหรับการประยุกต์ใช้งานทางการสื่อสารเครือข่ายท้องถิ่นไร้สายในยุคสมัยใหม่ได้
ที่สามารถครอบคลุมย่านความถี่ 5.5 GHz (5.15 GHz – 5.875 GHz)



เอกสารนี้เป็นเอกสารที่สงวนไว้สำหรับการใช้งานเพื่อการศึกษาเท่านั้น ไม่อนุญาตให้นำไปใช้ประโยชน์ด้านการค้า
ไม่ว่ากรณีใดๆ ทั้งสิ้น อีกทั้งห้ามมิให้ดัดแปลงเนื้อหา และต้องอ้างอิงถึงเจ้าของเอกสารทุกครั้งที่มีการนำไปใช้

บทที่ 6

สรุปผลการวิจัยและข้อเสนอแนะ

วิทยานิพนธ์นี้นำเสนอสายอากาศโมโนโพลโพลาริซวงกลมแพร่กระจายคลื่นรอบทิศทาง (OCPA) ร่วมกับระนาบกราวด์ตัวนำแม่เหล็กประดิษฐ์แบบรูปร่างแหวนเดี่ยว (SA-AMC) และระนาบกราวด์ตัวนำแม่เหล็กประดิษฐ์แบบรูปร่างแหวนคู่ (DA-AMC) สำหรับการสื่อสารเครือข่ายท้องถิ่นไร้สาย (WLAN) ย่านความถี่ 5.5 GHz โดยมีวัตถุประสงค์ในการออกแบบโมโนโพลโพลาริซวงกลมแพร่กระจายคลื่นรอบทิศทางที่ใช้งานร่วมกับระนาบกราวด์ตัวนำแม่เหล็กประดิษฐ์เพื่อให้สายอากาศสามารถมีความยืดหยุ่นในการออกแบบของสายอากาศโมโนโพลโพลาริซวงกลมแพร่กระจายคลื่นรอบทิศทาง ที่มีข้อเสียในการออกแบบระนาบกราวด์ด้านล่างที่ต้องมีขนาดคงที่ตลอดเวลาในการนำไปใช้งานหรือติดตั้ง ทั้งนี้การนำระนาบกราวด์ตัวนำแม่เหล็กประดิษฐ์มาใช้ยังช่วยเพิ่มความกว้างช่วงความถี่ของอิมพีแดนซ์แบนด์วิดท์ และอัตราส่วนแกนแบนด์วิดท์ให้มากขึ้น โดยวิทยานิพนธ์นี้ได้ออกแบบพาราซิติคส์เหลี่ยมที่เชื่อมต่อกันในแนวทแยงมุม จำนวน 4 องค์ประกอบวางรอบสายอากาศโมโนโพลเพื่อทำหน้าที่เป็นตัวแปลงโพลาริซเชิงเส้นเป็นโพลาริซวงกลมและใช้งานร่วมกับระนาบกราวด์ตัวนำแม่เหล็กประดิษฐ์แบบรูปร่างแหวนเดี่ยว (SA-AMC) และระนาบกราวด์ตัวนำแม่เหล็กประดิษฐ์แบบรูปร่างแหวนคู่ (DA-AMC) โดยเริ่มต้นจากการออกแบบสายอากาศโมโนโพลก่อน และพัฒนาโครงสร้างสายอากาศโมโนโพลร่วมกับพาราซิติคส์เหลี่ยมที่เชื่อมต่อกันในแนวทแยงมุมจำนวน 4 องค์ประกอบ ซึ่งพาราซิติคส์เหลี่ยมที่เชื่อมต่อกันในแนวทแยงมุมจะทำหน้าที่เหนี่ยวนำสนามไฟฟ้าที่มีการโพลาริซเชิงเส้นแนวตั้ง แล้วทำการเปลี่ยนเฟสและแอมพลิจูดของสนามไฟฟ้าที่ได้รับมาจากสายอากาศโมโนโพล ให้สนามไฟฟ้าทั้งในแนวนอนและแนวตั้งมีขนาดแอมพลิจูดเท่ากัน สนามไฟฟ้าในแนวนอนและแนวตั้งมีการตั้งฉากกัน และมีเฟสต่างกัน 90° ทำให้สายอากาศสามารถแพร่กระจายคลื่นรอบตัวโพลาริซวงกลม จากนั้นทำการออกแบบระนาบกราวด์ตัวนำแม่เหล็กประดิษฐ์แบบรูปร่างแหวนเดี่ยว (SA-AMC) และระนาบกราวด์ตัวนำแม่เหล็กประดิษฐ์แบบรูปร่างแหวนคู่ (DA-AMC) ตามลำดับ โดยพิจารณาจากค่าเฟสการสะท้อนแบนด์วิดท์ที่ออกแบบให้ครอบคลุมความถี่ใช้งาน สำหรับระนาบกราวด์ตัวนำแม่เหล็กประดิษฐ์แบบรูปร่างแหวนเดี่ยว SA-AMC และระนาบกราวด์ตัวนำแม่เหล็กประดิษฐ์แบบรูปร่างแหวนคู่ DA-AMC สามารถปรับปรุงอิมพีแดนซ์แบนด์วิดท์ ($|S_{11}| \leq -10$ dB) และอัตราส่วนแกนแบนด์วิดท์ ($AR \leq 3$ dB) ของสายอากาศโมโนโพลโพลาริซวงกลมแพร่กระจายคลื่นรอบทิศทาง ในขณะที่สามารถลดกระแสไฟรั่วไหลบนระนาบกราวด์ด้านล่างและสายป้อนสัญญาณโคแอกเซียล กระแสไฟรั่วที่ลดลงเกิดจากพื้นผิวตัวนำแม่เหล็กประดิษฐ์ที่มีค่าอิมพีแดนซ์สูงบนโครงสร้างระนาบกราวด์ตัวนำแม่เหล็กประดิษฐ์แบบรูปร่างแหวนเดี่ยว SA-AMC และระนาบกราวด์ตัวนำแม่เหล็กประดิษฐ์แบบรูปร่างแหวนคู่ DA-AMC

จากการออกแบบและทดสอบสายอากาศโมโนโพลโพลาริซวงกลมแพร่กระจายคลื่นรอบทิศทาง (OCPA) ร่วมกับระนาบกราวด์ตัวนำแม่เหล็กประดิษฐ์แบบรูปร่างแหวนเดี่ยว (SA-AMC) และระนาบกราวด์ตัวนำแม่เหล็กประดิษฐ์แบบรูปร่างแหวนคู่ (DA-AMC) สำหรับการสื่อสารเครือข่ายท้องถิ่นไร้สาย (WLAN) ย่านความถี่ 5.5 GHz ดังที่ได้กล่าวมาข้างต้นนี้สายอากาศโมโนโพลโพลาริซวงกลมแพร่กระจายคลื่นรอบทิศทางที่นำเสนอในวิทยานิพนธ์นี้เป็นเอกสารที่สงวนไว้สำหรับการใช้งานเพื่อการศึกษาเท่านั้น ไม่อนุญาตให้นำไปใช้ประโยชน์ด้านการค้า ไม่ว่าจะกรณีใดๆ ทั้งสิ้น อีกทั้งห้ามมิให้ดัดแปลงเนื้อหา และต้องอ้างอิงถึงเจ้าของเอกสารทุกครั้งที่มีการนำไปใช้

วงกลมแพร่กระจายคลื่นรอบทิศทาง (OCPA) ที่ร่วมกับระนาบกราวด์ตัวนำแม่เหล็กประติษฐานแบบรูปร่างวงแหวนเดี่ยว (SA-AMC) สามารถปรับปรุงอิมพีแดนซ์แบนด์วิดท์ที่กว้าง 8.08% (5.34 - 5.79 GHz) และอัตราส่วนแบนด์วิดท์ 4.38% (5.36 - 5.60 GHz) ในส่วนสายอากาศโมโนโพลโพลาริซวงกลมแพร่กระจายคลื่นรอบทิศทาง (OCPA) ร่วมกับระนาบกราวด์ตัวนำแม่เหล็กประติษฐานแบบรูปร่างวงแหวนคู่ (DA-AMC) สามารถปรับปรุงอิมพีแดนซ์แบนด์วิดท์ที่กว้าง 14.37% (5.10 - 5.89 GHz) และอัตราส่วนแบนด์วิดท์ 19.85% (4.90 - 5.98 GHz) ตามลำดับ และทั้งนี้สายอากาศยังมีความยืดหยุ่นในการออกแบบของสายอากาศโมโนโพลโพลาริซวงกลมแพร่กระจายคลื่นรอบทิศทาง พร้อมทั้งลดกระแสรั่วไหลบนโครงสร้างสายอากาศโดยไม่จำเป็นต้องใช้งานบาลัน ซึ่งสมรรถนะของสายอากาศที่นำเสนอขึ้นดีกว่าเมื่อเปรียบเทียบกับสายอากาศโพลาริซวงกลมแพร่กระจายคลื่นรอบทิศทางที่ได้รับการตีพิมพ์มาก่อน และความใหม่ของงานวิจัยนี้อยู่ที่การนำโครงสร้างระนาบกราวด์ตัวนำแม่เหล็กประติษฐานแบบ SA- และ DA-AMC เพื่อเพิ่มความยืดหยุ่นในการออกแบบของระนาบกราวด์ของสายอากาศโมโนโพลโพลาริซวงกลมแพร่กระจายคลื่นรอบทิศทางแบบดั้งเดิม โดยเฉพาะอย่างยิ่งการออกแบบของโครงสร้างตัวนำแม่เหล็กประติษฐาน (AMC) ทำให้นักพัฒนาสายอากาศสามารถออกแบบสายอากาศโมโนโพลโพลาริซวงกลมแพร่กระจายคลื่นรอบทิศทางได้อย่างยืดหยุ่นในการสร้างสายอากาศ

6.1 สรุปเนื้อหาของวิทยานิพนธ์

ที่มาความสำคัญและความแปลกใหม่ของวิทยานิพนธ์นี้ อันเป็นเหตุผลสำคัญสำหรับการออกแบบสายอากาศโมโนโพลโพลาริซวงกลมแพร่กระจายคลื่นรอบทิศทาง (OCPA) ร่วมกับระนาบกราวด์ตัวนำแม่เหล็กประติษฐานแบบรูปร่างวงแหวนเดี่ยว (SA-AMC) และระนาบกราวด์ตัวนำแม่เหล็กประติษฐานแบบรูปร่างวงแหวนคู่ (DA-AMC) สำหรับการสื่อสารเครือข่ายท้องถิ่นไร้สาย (WLAN) ย่านความถี่ 5.5 GHz ซึ่งมีการนำระนาบกราวด์ตัวนำแม่เหล็กประติษฐานมาประยุกต์ใช้กับสายอากาศประเภทสายอากาศโมโนโพลร่วมกับพาราซีติกส์เหลี่ยมที่เชื่อมต่อกันในแนวทแยงมุม จำนวน 4 องค์ประกอบที่มีโพลาริซวงกลมแพร่กระจายคลื่นแบบรอบตัว ซึ่งซึ่งความท้าทายในการออกแบบคือการนำระนาบกราวด์ตัวนำแม่เหล็กประติษฐานมาประยุกต์ใช้เพื่อให้สายอากาศยังมีความยืดหยุ่นในการออกแบบของระนาบกราวด์สายอากาศโมโนโพลโพลาริซวงกลมแพร่กระจายคลื่นรอบทิศทาง พร้อมทั้งลดกระแสรั่วไหลบนโครงสร้างสายอากาศโดยไม่จำเป็นต้องใช้งานบาลัน และยังสามารถปรับปรุงอิมพีแดนซ์และอัตราส่วนแบนด์วิดท์ที่มีแถบความถี่ที่กว้างยิ่งขึ้น เพื่อให้ได้ตามสมรรถนะของสายอากาศที่ได้กล่าวไว้ในบทที่ 1 จากนั้นได้ทำการศึกษารายละเอียดขั้นตอนตลอดจนการวิเคราะห์ต่าง ๆ ที่เกี่ยวข้องของสายอากาศโดยจะนำเสนอในบทต่อไปนี้

บทที่ 2 กล่าวถึงหลักการและทฤษฎีพื้นฐานที่เกี่ยวข้องกับสายอากาศที่นำเสนอและออกแบบในที่นี้คือ สายอากาศโมโนโพลโพลาริซวงกลมแพร่กระจายคลื่นรอบทิศทาง (OCPA) ร่วมกับระนาบกราวด์ตัวนำแม่เหล็กประติษฐานแบบรูปร่างวงแหวนเดี่ยว (SA-AMC) และระนาบกราวด์ตัวนำแม่เหล็กประติษฐานแบบรูปร่างวงแหวนคู่ (DA-AMC) สำหรับการสื่อสารเครือข่ายท้องถิ่นไร้สาย (WLAN) ย่านความถี่ 5.5 GHz ซึ่งกล่าวถึงการออกแบบสายอากาศที่ประกอบไปด้วยสายอากาศโมโนโพล พาราซีติก และกล่าวถึงพื้นผิวอภิวัดในรูปแบบต่าง ๆ ในการประยุกต์ใช้ร่วมกับสายอากาศให้มีสมรรถนะตามที่นำเสนอไว้ข้างต้น นอกจากนี้ได้กล่าวถึงการเปรียบเทียบงานวิจัยของสายอากาศโพลาริซวงกลมแพร่กระจายคลื่นรอบทิศทางที่มีมาก่อนหน้าโดยสายอากาศที่มีโพลาริซวงกลมแต่ละงานวิจัยเอกสารนี้เป็นเอกสารที่สงวนไว้สำหรับการใช้งานเพื่อการศึกษาเท่านั้น ไม่อนุญาตให้นำไปใช้ประโยชน์ด้านการค้าไม่ว่ากรณีใดๆ ทั้งสิ้น อีกทั้งห้ามมิให้ดัดแปลงเนื้อหา และต้องอ้างอิงถึงเจ้าของเอกสารทุกครั้งที่มีการนำไปใช้

นั้นได้นำมาเปรียบเทียบในด้านของการปรับปรุงอิมพีแดนซ์และอัตราส่วนแชนเนลให้มีความถี่กว้างขึ้น สามารถแพร่กระจายคลื่นได้รอบทิศทาง ซึ่งมีจุดประสงค์บางส่วนที่มีความเกี่ยวข้องกับการทำวิทยานิพนธ์นี้ สำหรับส่วนที่ต่างกันก็คืองานวิจัยที่นำเสนอนี้ได้ให้ความสำคัญกับความยืดหยุ่นในการออกแบบสายอากาศ และมีการศึกษาผลกระทบกระแสรั่วไหลที่เกิดขึ้นบนโครงสร้างสายอากาศเพิ่มเติม

บทที่ 3 กล่าวถึงการออกแบบและการจำลองสายอากาศสายอากาศโมโนโพลโพลาริซวงกลมแพร่กระจายคลื่นรอบทิศทาง (OCPA) ร่วมกับพาราติคีสี่เหลี่ยมที่เชื่อมต่อกันในแนวทแยงมุมจำนวน 4 องค์กรประกอบเพื่อทำหน้าที่แปลงโพลาริซเชิงเส้นเป็นโพลาริซวงกลมในย่านความถี่ 5.5 GHz โดยอาศัยหลักการจากทฤษฎีของพื้นผิวอภิวัด อีกทั้งทำการจำลองวงจรสมมูลเพื่อเปรียบเทียบและศึกษาพารามิเตอร์ต่าง ๆ ที่เกี่ยวข้องกันกับสายอากาศเพื่อให้ได้ค่าที่เหมาะสมที่สุดสำหรับสายอากาศโมโนโพลโพลาริซวงกลมแพร่กระจายคลื่นรอบทิศทาง จากนั้นนำไปออกแบบสายโมโนโพลโพลาริซวงกลมแพร่กระจายคลื่นรอบทิศทางร่วมกับระนาบกราวด์ตัวนำแม่เหล็กประดิษฐ์แบบรูปร่างวงแหวนเดี่ยว (SA-AMC) และระนาบกราวด์ตัวนำแม่เหล็กประดิษฐ์แบบรูปร่างวงแหวนคู่ (DA-AMC) ต่อไป

บทที่ 4 กล่าวถึงการออกแบบและการจำลองสายโมโนโพลโพลาริซวงกลมแพร่กระจายคลื่นรอบทิศทางร่วมกับระนาบกราวด์ตัวนำแม่เหล็กประดิษฐ์แบบรูปร่างวงแหวนเดี่ยว (SA-AMC) และระนาบกราวด์ตัวนำแม่เหล็กประดิษฐ์แบบรูปร่างวงแหวนคู่ (DA-AMC) โดยเริ่มจากศึกษาและออกแบบระนาบกราวด์ตัวนำแม่เหล็กประดิษฐ์แบบรูปร่างวงแหวนเดี่ยว (SA-AMC) โดยศึกษาจากเฟสการสะท้อนแบนด์วิดท์ เช่นเดียวกันกับระนาบกราวด์ตัวนำแม่เหล็กประดิษฐ์แบบรูปร่างวงแหวนคู่ (DA-AMC) จากนั้นทำการนำสายอากาศโมโนโพลโพลาริซวงกลมแพร่กระจายคลื่นรอบทิศทางร่วมกับระนาบกราวด์ตัวนำแม่เหล็กประดิษฐ์แบบรูปร่างวงแหวนเดี่ยว (SA-AMC) ก่อนและศึกษาผลกระทบต่าง ๆ ของพารามิเตอร์ ก่อนจะมาศึกษาระนาบกราวด์ตัวนำแม่เหล็กประดิษฐ์แบบรูปร่างวงแหวนคู่ (DA-AMC) ร่วมกับสายโมโนโพลโพลาริซวงกลมแพร่กระจายคลื่นรอบทิศทางเป็นลำดับถัดมา ซึ่งผลเป็นไปตามจุดมุ่งหมายของการทำงานวิจัยนี้

บทที่ 5 ในบทนี้เพื่อเป็นการพิสูจน์สมรรถนะของสายอากาศที่ได้ทำการออกแบบสายอากาศในบทก่อนหน้าจึงทำการทดสอบสมรรถนะต่าง ๆ ของสายอากาศ จากการสร้างชิ้นงานและทดสอบต้นแบบของสายอากาศโมโนโพลโพลาริซวงกลมแพร่กระจายคลื่นรอบทิศทาง (OCPA) ร่วมกับระนาบกราวด์ตัวนำแม่เหล็กประดิษฐ์แบบรูปร่างวงแหวนเดี่ยว (SA-AMC) และระนาบกราวด์ตัวนำแม่เหล็กประดิษฐ์แบบรูปร่างวงแหวนคู่ (DA-AMC) สำหรับการสื่อสารเครือข่ายท้องถิ่นไร้สาย (WLAN) ย่านความถี่ 5.5 GHz เมื่อทำการเทียบกับสายอากาศโมโนโพลโพลาริซวงกลมแพร่กระจายคลื่นรอบทิศทางแบบทั่วไป ระนาบกราวด์ของตัวนำแม่เหล็กประดิษฐ์แบบรูปร่างวงแหวนเดี่ยว (SA-AMC) และระนาบกราวด์ตัวนำแม่เหล็กประดิษฐ์แบบรูปร่างวงแหวนคู่ (DA-AMC) สามารถปรับปรุงอิมพีแดนซ์แบนด์วิดท์ ($|S_{11}| \leq -10$ dB) และอัตราส่วนแชนเนลแบนด์วิดท์ ($AR \leq 3$ dB) ของสายอากาศโมโนโพลโพลาริซวงกลมแพร่กระจายคลื่นรอบทิศทาง ในขณะที่ลดกระแสไฟรั่วไหลบนสายนำสัญญาณโคแอกเชียล รัศมีระนาบกราวด์ของสายอากาศโมโนโพลโพลาริซวงกลมแพร่กระจายคลื่นรอบทิศทางที่นำเสนอด้วยระนาบกราวด์ของตัวนำแม่เหล็กประดิษฐ์แบบรูปร่างวงแหวนเดี่ยว (SA-AMC) และระนาบกราวด์ตัวนำแม่เหล็กประดิษฐ์แบบรูปร่างวงแหวนคู่ (DA-AMC) ยังมีขนาดที่เล็กกว่ารัศมีของสายอากาศโมโนโพลโพลาริซวงกลมแพร่กระจายคลื่นรอบทิศทางแบบเดิมอย่างมาก นอกจากนี้สายอากาศโมโนโพลโพลาริซวงกลมแพร่กระจายคลื่นรอบทิศทางร่วมกับระนาบกราวด์ตัวนำ

เอกสารนี้เป็นเอกสารที่สงวนไว้สำหรับการใช้งานเพื่อการศึกษาเท่านั้น ไม่อนุญาตให้นำไปใช้ประโยชน์ด้านการค้า

ไม่ว่ากรณีใดๆ ทั้งสิ้น อีกทั้งห้ามมิให้ดัดแปลงเนื้อหา และต้องอ้างอิงถึงเจ้าของเอกสารทุกครั้งที่มีการนำไปใช้

แม่เหล็กประติษฐ์แบบรูปร่างแหวนเดี่ยว (SA-AMC) และระนาบกราวด์ตัวนำแม่เหล็กประติษฐ์แบบรูปร่างแหวนคู่ (DA-AMC) ไม่จำเป็นต้องมีบาล์นภายนอก อิมพีแดนซ์แบนด์วิดท์ที่ทดสอบและอัตราส่วนแบนด์วิดท์ของสายอากาศโมโนโพลโพลาริซวงกลมแพร่กระจายคลื่นรอบทิศทางที่มีระนาบกราวด์ตัวนำแม่เหล็กประติษฐ์แบบรูปร่างแหวนเดี่ยว (SA-AMC) คือ 8.08% (5.34 – 5.79 GHz) และ 4.38% (5.36 – 5.60 GHz) ในขณะที่ของสายอากาศโมโนโพลโพลาริซวงกลมแพร่กระจายคลื่นรอบทิศทางที่มีระนาบกราวด์ตัวนำแม่เหล็กประติษฐ์แบบรูปร่างแหวนคู่ (DA-AMC) คือ 14.37% (5.10 – 5.89 GHz) และ 19.85% (4.90 – 5.98 GHz) โดยพื้นฐานแล้ว SA- และ DA-AMC จะลดขนาดโดยรวมของสายอากาศโมโนโพลโพลาริซวงกลมแพร่กระจายคลื่นรอบทิศทางอย่างมีประสิทธิภาพในขณะที่ปรับปรุงอิมพีแดนซ์แบนด์วิดท์ และอัตราส่วนแบนด์วิดท์ นอกจากนี้สายอากาศโมโนโพลโพลาริซวงกลมแพร่กระจายคลื่นรอบทิศทางร่วมกับระนาบกราวด์ตัวนำแม่เหล็กประติษฐ์แบบรูปร่างแหวนเดี่ยว (SA-AMC) และระนาบกราวด์ตัวนำแม่เหล็กประติษฐ์แบบรูปร่างแหวนคู่ (DA-AMC) ยังสามารถติดตั้งบนพื้นผิวประเภทต่างๆ เช่น หลังคารถ ตู้คอนเทนเนอร์ขนส่ง ผนังไม้หรือคอนกรีต โดยมีผลกระทบต่ออิมพีแดนซ์แบนด์วิดท์ และอัตราส่วนแบนด์วิดท์ และแบบรูปการแพร่กระจายคลื่นรอบทิศทางน้อยที่สุด

6.2 ข้อเสนอแนะและแนวทางการพัฒนา

จากการออกแบบสายอากาศโมโนโพลโพลาริซวงกลมแพร่กระจายคลื่นรอบทิศทาง (OCPA) ร่วมกับระนาบกราวด์ตัวนำแม่เหล็กประติษฐ์แบบรูปร่างแหวนเดี่ยว (SA-AMC) และระนาบกราวด์ตัวนำแม่เหล็กประติษฐ์แบบรูปร่างแหวนคู่ (DA-AMC) สำหรับการสื่อสารเครือข่ายท้องถิ่นไร้สาย (WLAN) ย่านความถี่ 5.5 GHz ในด้านการออกแบบสายอากาศโมโนโพลนั้น มีข้อจำกัดอยู่บ้างพอสมควร เช่นอิมพีแดนซ์แบนด์วิดท์ที่แคบ ผลกระทบของขนาดรัศมีระนาบกราวด์ที่ส่งผลต่อแบบรูปการแพร่กระจายคลื่น และมุมอัตราส่วนแกนของสายอากาศ ดังนั้นในการออกแบบระนาบกราวด์ตัวนำแม่เหล็กประติษฐ์ต้องให้มีจำนวนวงรอบและขนาดที่เหมาะสม ซึ่งจำเป็นต้องตรวจสอบเฟสการสะท้อนแบนด์วิดท์ให้ครอบคลุมย่านความถี่ใช้งานอยู่ตลอดเวลา

สำหรับปัญหาของสายอากาศโมโนโพลที่มีอิมพีแดนซ์แบนด์วิดท์ที่แคบแม้จะสามารถแก้ปัญหาด้วยการนำมาประยุกต์ใช้กับระนาบกราวด์ตัวนำแม่เหล็กประติษฐ์ที่นำเสนอขึ้น อีกทางหนึ่งผู้วิจัยสามารถเพิ่มความกว้างอิมพีแดนซ์แบนด์วิดท์ได้โดยการออกแบบสายอากาศโมโนโพลให้มีอิมพีแดนซ์แบนด์วิดท์ที่กว้างขึ้นได้โดยอาศัยการเปลี่ยนลักษณะโครงสร้างของโพรบโมโนโพลเป็นรูปแบบอื่น ๆ เช่น รูปกรวย รูปวงรี รูปทรงกลม ก็จะสามารถเพิ่มความกว้างอิมพีแดนซ์แบนด์วิดท์ได้เช่นกัน

ในส่วนของการทดสอบพบว่าค่าอัตราส่วนแบนด์วิดท์มีค่าความกว้างของช่วงความถี่มากกว่าผลการจำลองในย่านความถี่ต่ำเล็กน้อย ทำให้การอัตราส่วนแบนด์วิดท์ที่แพร่กระจายคลื่นของสายอากาศนั้นกว้างขึ้นตามไปด้วย แต่ส่งผลต่อค่าอิมพีแดนซ์แบนด์วิดท์ในขอบของด้านความถี่สูงด้วย อันเนื่องมาจากการสร้างชิ้นงานจริงนั้นได้ทำการติดตั้งพาราซิติคของสายอากาศกับโฟม ซึ่งอาจมีขนาดรัศมีระยะห่างของพาราซิติคทั้ง 4 องค์กรประกอบ คลาดเคลื่อนไปบ้าง ในส่วนของแบบรูปการแพร่กระจายคลื่นของสายอากาศระหว่างผลจากการจำลองและการทดสอบนั้นมีผลลัพธ์ไปในทิศทางเดียวกัน แต่ว่าในอนาคตหากมีการออกแบบพาราซิติคอีกครั้งควรมีแนวทางการพัฒนาคือการสร้าง

ชิ้นงานโดยการเลือกใช้วัสดุฐานรองที่สามารถกักตายนองแดงในลักษณะต่าง ๆ ได้ เพื่อให้สายอากาศมีข้อจำกัดในเรื่องของโครงสร้าง และความยุ่งยากในวิธีการสร้างน้อยลง



เอกสารนี้เป็นเอกสารที่สงวนไว้สำหรับการใช้งานเพื่อการศึกษาเท่านั้น ไม่อนุญาตให้นำไปใช้ประโยชน์ด้านการค้า
ไม่ว่ากรณีใดๆ ทั้งสิ้น อีกทั้งห้ามมิให้ดัดแปลงเนื้อหา และต้องอ้างอิงถึงเจ้าของเอกสารทุกครั้งที่มีการนำไปใช้

เอกสารอ้างอิง

- [1] Y. M. Pan, S. Y. Zheng, and B. J. Hu, "Wideband and Low-Profile Omnidirectional Circularly Polarized Patch Antenna," *IEEE Trans. Antennas Propag.*, vol. 62, no. 8, pp. 4347-4351, Aug. 2014.
- [2] Y. M. Pan, and K. W. Leung, "Wideband Omnidirectional Circularly Polarized Dielectric Resonator Antenna with Parasitic Strips," *IEEE Trans. Antennas Propag.*, vol. 60, no. 6, pp. 2992-2997, June 2012.
- [3] W. W. Li, and K. W. Leung, "Omnidirectional Circularly Polarized Dielectric Resonator Antenna with Top-Loaded Alford Loop for Pattern Diversity Design," *IEEE Trans. Antennas Propag.*, vol. 61, no. 8, pp. 4246-4256, Aug. 2013.
- [4] B. Li, and Q. Xue, "Polarization-Reconfigurable Omnidirectional Antenna Combining Dipole and Loop Radiators," *IEEE Antennas Wireless Propag. Lett.*, vol. 12, pp. 1102-1105, 2013.
- [5] Y. Shi and J. Liu, "Wideband and Low-Profile Omnidirectional Circularly Polarized Antenna with Slits and Shorting-Vias," *IEEE Antennas Wireless Propag. Lett.*, vol. 15, pp. 686-689, 2016.
- [6] Y.-M. Cai, S. Gao, Y. Yin, W. Li, and Q. Luo, "Compact-Size Low-Profile Wideband Circularly Polarized Omnidirectional Patch Antenna with Reconfigurable Polarizations," *IEEE Trans. Antennas Propag.*, vol. 64, no. 5, pp. 2016-2021, May 2016.
- [7] Y. Yu, Z. Shen, and S. He, "Compact Omnidirectional Antenna of Circular Polarization," *IEEE Antennas Wireless Propag. Lett.*, vol. 11, pp. 1466-1469, 2012.
- [8] D. Yu, S.-X. Gong, Y.-T. Wan, Y.-L. Yao, Y.-X. Xu, and F.-W. Wang, "Wideband Omnidirectional Circularly Polarized Patch Antenna Based on Vortex Slots and Shorting Vias," *IEEE Trans. Antennas Propag.*, vol. 62, no. 8, pp. 3970-3977, May 2014.
- [9] X. L. Quan, R. L. Li, and M. M. Tentzeris, "A Broadband Omnidirectional Circularly Polarized Antenna," *IEEE Trans. Antennas Propag.*, vol. 61, no. 5, pp. 2363-2370, May 2013.
- [10] B. Yektakhah, and K. Sarabandi, "A Wideband Circularly Polarized Omnidirectional Antenna Based on Excitation of Two Orthogonal Circular TE₂₁ Modes," *IEEE Trans. Antennas Propag.*, vol. 65, no. 8, pp. 3877-3888, Aug. 2017.
- [11] Y. Yu, J. Xiong, and H. Li, "Compact Omni-Directional Circularly Polarised Antenna Utilising Bended Dipoles and Integrated Baluns," *IET Microwaves, Antennas & Propag.*, vol. 11, no. 10, pp. 1409-1414, July 2017.

เอกสารนี้เป็นเอกสารที่สงวนไว้สำหรับการใช้งานเพื่อการศึกษาเท่านั้น ไม่อนุญาตให้นำไปใช้ประโยชน์ด้านการค้า
ไม่ว่ากรณีใดๆ ทั้งสิ้น อีกทั้งห้ามมิให้ดัดแปลงเนื้อหา และต้องอ้างอิงถึงเจ้าของเอกสารทุกครั้งที่มีการนำไปใช้

- [12] A. Narbudowicz, X. Bao, M. Ammann, H. Shakhtour, and D. Heberling, "Circularly Polarized Antenna with Steerable Dipole Like Radiation Pattern," *IEEE Trans. Antennas Propag.*, vol. 62, no. 2, pp. 519–526, Feb. 2014.
- [13] Y. M. Pan, K. W. Leung, and K. Lu, "Omnidirectional Linearly and Circularly Polarized Rectangular Dielectric Resonator Antennas," *IEEE Trans. Antennas Propag.*, vol. 60, no. 2, pp. 751–759, Feb. 2012.
- [14] W. Li, K. W. Leung, and N. Yang, "Omnidirectional Dielectric Resonator Antenna with a Planar Feed for Circular Polarization Diversity Design," *IEEE Trans. Antennas Propag.*, vol. 66, no. 3, pp. 1189–1197, Mar. 2018.
- [15] K. Lertsakwimarn, C. Phongcharoenpanich and T. Fukusako, "Design of Circularly Polarized and Electrically Small Antenna with Omnidirectional Radiation Pattern," *IEICE Trans. Commun.*, vol. E97-B, 12, pp. 2739-2746, Dec. 2014.
- [16] J. Wu, S. Yang, Y. Chen, S. Qu, and Z. Nie, "A Low Profile Dual-Polarized Wideband Omnidirectional Antenna Based on AMC Reflector," *IEEE Trans. Antennas Propag.*, vol. 65, no. 1, pp. 368-374, Jan. 2017.
- [17] Q. X. Chu, M. Ye, and X. R. Li, "A Low-Profile Omnidirectional Circularly Polarized Antenna Using Planar Sector-Shaped Endfire Elements," *IEEE Trans. Antennas Propag.*, vol. 65, no. 5, pp. 2240-2247, May 2017.
- [18] J. Wu, and K. Sarabandi, "Compact Omnidirectional Circularly Polarized Antenna," *IEEE Trans. Antennas Propag.*, vol. 65, no. 4, pp. 1550-1557, Apr. 2017.
- [19] L. Peng, K. Sun, X. Jiang, S. M. Li, and C. L. Ruan, "EZR-MZR Resonators for Compact Low-Profile Omnidirectional Circular-Polarized Antenna Design," *IEEE Photonics Journal.*, vol. 9, no. 4, Aug. 2017.
- [20] W. Q. Cao, "Compact Dual-Band Dual-Mode Circular Patch Antenna with Broadband Unidirectional Linearly Polarised and Omnidirectional Circularly Polarised Characteristics," *IET Microwaves, Antennas & Propag.*, vol. 10, Iss. 2, pp. 223–229, Sep. 2015.
- [21] B. Zhou, J. Geng, X. Bai, L. Duan, X. Liang, and R. Jin, "An Omnidirectional Circularly Polarized Slot Array Antenna with High Gain in a Wide Bandwidth," *IEEE Antennas Wireless Propag. Lett.*, vol. 14, pp. 666-669, 2015.
- [22] S. Karki, M. Sabbadini, K. Alkhalifeh, and C. Craeye, "Metallic Monopole Parasitic Antenna with Circularly Polarized Conical Patterns," *IEEE Trans. Antennas Propag.*, vol. 67, no. 8, pp. 5243-5252, Aug. 2019.
- [23] P. Dangkham, S. Dentre, C. Phongcharoenpanich, and P. Akkaraekthalin, "Circularly Polarized Omnidirectional Antenna with Dipole Core and Diagonally Adjoined Parasitic Braces for ISM Band Applications," *International Journal of Antennas and Propag.*, vol. 2019, Article ID 2463871, 11 pages, 2019.

- [24] D. Feng, H. Zhai, L. Xi, S. Yang, K. Zhang, and D. Yang, "A Broadband Low-Profile Circular-Polarized Antenna on an AMC Reflector," *IEEE Antennas Wireless Propag. Lett.*, vol. 16, pp. 2840-2843, 2017.
- [25] A. Jafarholi, M. Kamyab, and M. Veysi, "Artificial Magnetic Conductor Loaded Monopole Antenna," *IEEE Antennas Wireless Propag. Lett.*, vol. 9, pp. 211-214, 2010.
- [26] A. Foroozesh, and L. Shafai, "Investigation into the Application of Artificial Magnetic Conductors to Bandwidth Broadening, Gain Enhancement and Beam Shaping of Low Profile and Conventional Monopole Antennas," *IEEE Trans. Antennas Propag.*, vol. 59, no. 1, pp. 4-20, Jan. 2011.
- [27] H. H. Tran, and I. Park, "A Dual-Wideband Circularly Polarized Antenna Using an Artificial Magnetic Conductor," *IEEE Antennas Wireless Propag. Lett.*, vol. 15, pp. 950-953, 2016.
- [28] W. Lin, S. L. Chen, R. W. Ziolkowski, and Y. J. Guo, "Reconfigurable, Wideband, Low-Profile, Circularly Polarized Antenna and Array Enabled by an Artificial Magnetic Conductor Ground," *IEEE Trans. Antennas Propag.*, vol. 66, no. 3, pp. 1564-1569, Mar. 2018.
- [29] J. Sarrazin, A. C. Lepage, and X. Begaud, "Circular High-Impedance Surfaces Characterization," *IEEE Antennas Wireless Propag. Lett.*, vol. 11, pp. 260-263, 2012.
- [30] M. A. Amiri, C. A. Balanis, C. R. Birtcher, and G. C. Barber, "Curvilinear Antennas Above a Spherical HIS," *IEEE Trans. Antennas Propag.*, vol. 68, no. 10, pp. 7208-7213, Oct. 2020.
- [31] M. Tanabe, and H. Nakano, "Low-Profile Wideband Spiral Antenna with a Circular HIS Reflector Composed of Homogenous Fan-Shaped Patch Elements," *IEEE Trans. Antennas Propag.*, vol. 68, no. 10, pp. 7219-7222, Oct. 2020.
- [32] J. Zhang, S. Yan and G. A. E. Vandenbosch, "A Multistandard Antenna Based on a 2-D CRLH-TL in Polar Coordinates," *IEEE Antennas Wireless Propag. Lett.*, vol. 20, 3, pp.332-336, Mar. 2021
- [33] C. A. Balanis, *Antenna Theory: Analysis and Design* 3rd ed. Hoboken, NJ: John Wiley, 2005.
- [34] A. Chen, Y. Zhang, Z. Chen, and S. Cao, "A Ka-Band High-Gain Circularly Polarized Microstrip Antenna Array," *IEEE Antennas and Wireless Propagation Letters*, vol. 9, pp. 1115-1118, 2010.
- [35] Yufeng Wang, *Circularly Polarized Antenna Technology*, De Gruyter, 2020.
- [36] N. Engheta and R. W. Ziolkowski, in *Metamaterials Physics and Engineering Explorations*, John Wiley and Sons, 2006
- [37] Fan Yang and Yahya Rahmat-Samii, *Electromagnetic Band Gap Structures in Antenna Engineering*, Cambridge University Press, 2010.

[38] Ben A. Munk, Frequency Selective Surfaces: Theory and Design, John Wiley, and Sons, 2000.

[39] WILUS group. “WLAN Standard” [Online]. Available: <https://wilusgroup.com/wlan>. 2023.



เอกสารนี้เป็นเอกสารที่สงวนไว้สำหรับการใช้งานเพื่อการศึกษาเท่านั้น ไม่อนุญาตให้นำไปใช้ประโยชน์ด้านการค้า
ไม่ว่ากรณีใดๆ ทั้งสิ้น อีกทั้งห้ามมิให้ดัดแปลงเนื้อหา และต้องอ้างอิงถึงเจ้าของเอกสารทุกครั้งที่มีการนำไปใช้

ประวัติผู้เขียน

ชื่อ-นามสกุล : พิสิทธิ์ จันแปงเงิน
วันเดือนปีเกิด : 3 ตุลาคม พ.ศ. 2534
ที่อยู่ : 40 หมู่ที่ 1 บ้านแม่หืด ตำบลวังแก้ว อำเภอวังเหนือ
จังหวัดลำปาง 52140
ประวัติการศึกษา : พ.ศ. 2558
วิศวกรรมศาสตรบัณฑิต (วิศวกรรมโทรคมนาคม)
สาขาวิชาวิศวกรรมโทรคมนาคม คณะวิศวกรรมศาสตร์
มหาวิทยาลัยเทคโนโลยีราชมงคลธัญบุรี
: พ.ศ. 2560
วิศวกรรมศาสตรมหาบัณฑิต (วิศวกรรมโทรคมนาคม)
สาขาวิชาวิศวกรรมโทรคมนาคม คณะวิศวกรรมศาสตร์
สถาบันเทคโนโลยีพระจอมเกล้าเจ้าคุณทหารลาดกระบัง
ความชำนาญเฉพาะด้าน : สายอากาศโพลารไรซ์วงกลมแพร์กระจายคลื่นสองทิศทาง
สายอากาศโพลารไรซ์วงกลมแพร์กระจายคลื่นรอบทิศทาง
: สายอากาศโพลารไรซ์วงกลมแพร์กระจายคลื่นรอบทิศทาง
โดยใช้พื้นผิวอภิวัด
: เชี่ยวชาญการใช้โปรแกรมจำลองคุณลักษณะของสายอากาศ CST
: เชี่ยวชาญการใช้เครื่องมือทดสอบคุณลักษณะทางคลื่นแม่เหล็กไฟฟ้า

วารสารที่ได้รับการตีพิมพ์และเผยแพร่

- [1] P. Janpangnorn, D. Torrungrueng, M. Kririksh, and C. Phongcharoenpanich, "Dual-Band Circularly Polarized Omni-Directional Biconical Antenna with Double-Circular Parallelepiped Elements for WLAN Applications," *IEEE Access*, vol. 10, pp. 31970-31980, 2022.
- [2] P. Janpangnorn, R. Kuse, C. Phongcharoenpanich, and T. Fukusako, "Omnidirectional Circularly Polarized Monopole Antennas on Artificial Magnetic Conductor Ground Plane," *IEEE Access*, vol. xx, pp. xxx-xxx, 2023. (Peer review).
- [3] N. Supreeratitikul, P. Janpangnorn, T. Lertwiriaprapa, M. Kririksh, and C. Phongcharoenpanich, "CMA-Based Quadruple-Cluster Leaf-Shaped Metasurface-Based Wideband Circularly - Polarized Stacked-Patch Antenna Array for Sub-6 GHz 5G Applications," *IEEE Access*, vol. 11, pp. 14511-14523, 2023.
- [4] B. Luadang, R. Pukraksa, P. Janpangnorn, K. Pookkapund, S. Dentri, S. Kosulvit and C. Phongcharoenpanich, "Portable Wideband Directional Antenna Scheme with Semicircular Corrugated Reflector for Digital Television Reception," *Sensors*, vol. 22, <https://doi.org/10.3390/s22145338>, 2022.

เอกสารนี้เป็นเอกสารต้นฉบับที่ได้รับการตีพิมพ์ในวารสาร IEEE Access และอนุญาตให้นำไปใช้ประโยชน์ด้านการค้า

ไม่ว่ากรณีใดๆ ทั้งสิ้น อีกทั้งห้ามมิให้ดัดแปลงเนื้อหา และต้องอ้างอิงถึงเจ้าของเอกสารทุกครั้งที่มีการนำไปใช้

บทความที่ได้รับการตีพิมพ์และเผยแพร่

- [1] P. Janpangngern and C. Phongcharoenpanich, "Circularly polarized single-fed wide-slot antenna for UHF RFID reader," *2017 International Symposium on Antennas and Propagation (ISAP)*, DOI: 10.1109/ISANP.2017.8228870, Oct. 2017.
- [2] P. Janpangngern and C. Phongcharoenpanich, "Unidirectional suspended fractal antenna for SHF RFID reader," *2017 14th International Conference on Electrical Engineering/Electronics, Computer, Telecommunications and Information Technology (ECTI-CON)*, DOI: 10.1109/ECTICon.2017.8096329, June 2017.
- [3] P. Wouchoum, P. Janpangngern, K. Pookkapund, and C. Phongcharoenpanich, "A rectangular patch rectifying antenna array for wireless power transmission applications," *2017 International Symposium on Antennas and Propagation (ISAP)*, DOI: 10.1109/ISANP.2017.8229047, Oct. 2017.



เอกสารนี้เป็นเอกสารที่สงวนไว้สำหรับการใช้งานเพื่อการศึกษาเท่านั้น ไม่อนุญาตให้นำไปใช้ประโยชน์ด้านการค้า
ไม่ว่ากรณีใดๆ ทั้งสิ้น อีกทั้งห้ามมิให้ดัดแปลงเนื้อหา และต้องอ้างอิงถึงเจ้าของเอกสารทุกครั้งที่มีการนำไปใช้